

MINISTERUL EDUCATIEI SI INVATAMINTULUI
INSTITUTUL POLITEHNIC "TRAIAN VUIA" TIMISOARA
FACULTATEA DE MECANICA

Ing. GHEORGHE I. CALIN

STUDIUL CURGERII VISCOASE PRINTR-O RETEA PLANA DE PROFIL

- TEZA DE DOCTORAT -

CONDUCATOR STIINTIFIC :

Acad.Prof.Dr.Doc.ing.IOAN ANTI

BIBLIOTECA CENTRALĂ
UNIVERSITATEA "POLITEHNICA"
TIMIȘOARA

- Timișoara 1988 -

INSTITUTUL POLITEHNIC TIMISOARA	
BIBLIOTECA	
535BAG46	
Volumele Nr.	
După 282 Lit.	H

Rezistențe mari și piedici mari
se opun numai unei voințe mari
(Lucian Blaga)

CUVINT INAINTE

În amplul proces de valorificare a potențialului hidroenergetic din țara noastră se impune cu consecvență construirea unor agregate capabile să realizeze transformarea energetică a fluidului cu eficiență sporită. Atingerea acestui obiectiv este posibilă numai prin cunoașterea, aprofundarea și stăpânirea tuturor fenomenelor hidrodinamice care apar în procesul transformărilor energetice din elementele mașinilor hidraulice. În rezolvarea acestei problematice, deosebit de complexe, un rol important îl are studiul curgerii fluidelor reale în prezența rețelelor de profile, indisolubil legat de problema pierderilor energetice. Ideea spre care tindem, perfecțiunea, este posibil de realizat numai prin cunoașterea și stăpânirea căilor prin care pot fi reduse aceste pierderi.

În tematica de cercetare a colectivului de mașini hidraulice din Timișoara, colectiv în care m-am format și perfecționat continuu, hidrodinamica rețelelor de profile a stat într-o permanentă atenție. Prin studiile elaborate, de ilustrii săi dascăli, școala timișoreană de mașini hidraulice și-a adus o contribuție importantă la știința și tehnica din țara noastră. Cercetările efectuate au sintetizat o valoroasă și vastă experiență științifică care au oferit bazele și liniile directoare în elaborarea prezentei lucrări.

Lucrarea de față și-a propus, drept scop, aplicarea teoriei stratului limită la studiul curgerii fluidelor reale în rețele plane de profile destinate turbinelor hidraulice. Cercetările teoretice au fost axate pe rezolvarea a două probleme : i) calculul pierderilor hidraulice și al caracteristicilor energetice pentru o rețea dată, sau problema directă, și ii) proiectarea rețelelor, optimizate prin teoria stratului limită, care să funcționeze cu pierderi minime, având cunoscute elementele

cinematice și unghiulare de la intrarea și ieșirea din rețea, sau problema inversă. Cercetările experimentale, efectuate în tunelul de strat limită și turbulență asupra profilului izolat NACA 4412, au fost orientate spre analiza cîmpurilor de presiuni și ale eforturilor turbulente din jurul și în dîra profilului. Rezultatele conținute au stat la baza verificării unor metode și relații folosite în lucrare.

Programul de cercetări, desfășurat pe baza contractelor de colaborare dintre Catedra de mașini hidraulice a Institutului Politehnic "Traian Vuia" din Timișoara și Centrul de cercetări științifice și inginerie tehnologică pentru echipamente hidromecanice din Reșița, a asigurat aplicarea rezultatelor în procesul de analiză și proiectare a rotorilor destinați mașinilor hidraulice axiale.

Pentru sugestiile prețioase, de o înaltă competență științifică, pentru sfaturile profesionale și părintești, precum și pentru îndrumarea continuă pe toată durata elaborării lucrării, care au constituit un sprijin deosebit și un imbold pentru o continuă perfecționare a activității de cercetare, autorul mulțumește, în mod deosebit, conducătorului științific Acad. Ioan Anton.

Sincere mulțumiri pentru ajutorul acordat și discuțiile purtate, care mi-au fost de un real folos în rezolvarea problemelor abordate, țin să le exprim colegului dr. ing. Dumitru Ionescu. Aceleași mulțumiri le aduc tuturor colegilor care au contribuit, în mod direct sau indirect, în obținerea rezultatelor prezentate în cadrul lucrării. De asemenea, îmi exprim recunoștința față de personalul ajutător pentru aportul adus la realizarea modelului experimental și a dispozitivelor necesare investigațiilor experimentale. În același timp, mulțumesc familiei pentru sprijinul și înțelegerea acordată pe toată durata elaborării lucrării.

Întreaga activitate de cercetare a fost sprijinită de conducerea facultății și institutului care au manifestat o deosebită înțelegere și au asigurat condițiile de realizare ale unei baze materiale complexe și moderne pentru care țin să-mi exprim întreaga gratitudine.

Mulțumirile exprimate dovedesc că lucrarea elaborată este rezultatul unui produs de factori, mai mult sau mai puțin cunoscuți. Este o consecință a minunatelor condiții oferite de țară, fiind destinată spre folosința țării. Dacă, pe măsura sprijinului acordat, lucrarea reușește să-și aducă un modest aport la studiul, deosebit de complex, al curgerii fluidelor reale în rețele plane de profile, cred că scopul a fost, cu prisosință, atins.

C U P R I N S

	Pag
Cuvînt înainte.....	
CAPITOLUL 1. PROBLEME GENERALE.....	
1.1 Orientări actuale în hidrodinamica rețelelor plane de profile dispuse într-un curent de fluid real.....	1
1.2 Parametrii și caracteristicile energetice ale rețelelor plane de profile. Notații.....	6
1.3 Considerații privind curgerea fluidelor vîscoase prin rețea.....	11
1.4 Considerații privind determinarea pierderilor hidraulice în rețea.....	14
1.5 Analiza metodelor de calcul a pierderilor. Pre- zentarea temei.....	29
CAPITOLUL 2. NOTIUNI DE TEORIA STRATULUI LIMITĂ.....	29
2.1 Ecuațiile diferențiale ale stratului limită.....	29
2.2 Ecuațiile integrale ale stratului limită.....	30
2.3 Stabilitatea mișcării laminare. Transiția lami- nar-turbulent.....	31
2.4 Stratul limită turbulent.....	34
CAPITOLUL 3. PREDICȚIA PIERDERILOR HIDRAULICE ÎN REȚEA.....	40
3.1 Calculul curgerii potențiale în rețea.....	40
3.2 Calculul stratului limită în lungul suprafeței profilului.....	55
3.3 Calculul pierderilor hidraulice la trecerea curentului în rețea.....	60
CAPITOLUL 4. OPTIMIZAREA REȚELOR PLANE DE PROFILE PRIN TEORIA STRATULUI LIMITĂ.....	84
4.1 Ecuațiile generale ale stratului limită în planul imagine.....	84
4.2 Etalonarea funcțiilor M și C_D	88
4.3 Proprietățile generale ale stratului limită în planul imagine.....	92
4.4 Optimizarea stratului limită.....	96
4.5 Calculul distribuției de viteză.....	100
4.6 Dimensionarea profilului din rețea pentru o distribuție de viteză dată.....	102

4.7 Proiectarea rețelelor de profile pentru turbine axiale.....	107
4.8 Concluzii privind optimizarea rețelelor prin teoria stratului limită.....	125
CAPITOLUL 5. CERCETARI EXPERIMENTALE DE STRAT LIMITA SI TURBULENTA PE UN PROFIL AERODINAMIC.....	128
5.1 Descoperirea stațiunii.....	133
5.2 Modelul experimental.....	141
5.3 Măsurarea vitezei și a turbulenței.....	152
5.4 Rezultate experimentale și comparații cu rezultate teoretice.....	159
CAPITOLUL 6. CONSIDERATII FINALE.....	175
6.1 Concluzii finale.....	175
6.2 Contribuții personale.....	181
6.3 Perspective.....	184
Bibliografie.....	187

CAPITOLUL 1

PROBLEME GENERALE

1.1 Orientări actuale în hidrodinamica rețelelor plane de profile dispuse într-un curent de fluid real

Cunoașterea fenomenelor care apar la curgerea fluidelor prin elementele de bază ale turbomașinilor prezintă o importanță deosebită, deoarece numai în aceste condiții pot fi realizate mașini cu performanțe ridicate.

Mașinile hidraulice în care, prin modul lor de funcționare, are loc transformarea energiei fluidului în energie mecanică sau invers, oferă posibilitatea utilizării lor în diverse ramuri economice și în special în sectorul energetic al economiei naționale. De aceea, ele reprezintă un domeniu în care cunoașterea și reducerea pierderilor energetice devine un lucru deosebit de important. Dacă ținem seama că tipul cel mai important de pierderi îl reprezintă pierderea hidraulică prin rotorii turbomașinilor este lesne de înțeles cât de însemnată devine cunoașterea corectă a pierderilor hidraulice.

Studiul curgerii prin rotorul mașinilor hidraulice este extrem de dificil de realizat, dat fiind faptul că mișcările reale sînt tridimensionale, nepermanente, iar fluidul este viscos. O tratare teoretică sau experimentală a problemei, în general, este foarte greu de făcut, dar nu și neapărat necesară din punct de vedere practic. Din acest motiv, cercetările s-au orientat asupra reducerii curgerii tridimensionale în jurul unor suprafețe simplificate în care mișcarea este mai ușor de analizat. În asemenea condiții a devenit posibilă utilizarea unor tehnici de calcul care au la bază teoria rețelelor de profile /3, 67, 72, 90, 116/.

Intr-o mașină axială componenta radială a vitezei este neglijabilă, iar suprafețele medii de curgere pot fi considerate cilindrii coaxiali cu axa mașinii. Desfășurînd pe un plan tangent o secțiune cilindrică carecare prin rotor se obține rețeaua plană de profile în care curgerea fluidului este bidimensională. Această simplificare a determinat ca cercetările asupra curgerii în rotorii turbomașinilor axiale să se orienteze spre studiul curgerii în rețeaua plană de profile, la care ne vom referi în continuare.

Aspectele sub care poate fi analizată problema curgerii

prin rețeaua plană de profile sînt numeroase, însă cercetarea poate fi considerată finalizată atunci cînd proiectantului de mașini hidraulice i se oferă toate elementele necesare pentru a alege rețeaua optimă care să realizeze caracteristicile energetice dorite cu pierderi hidraulice minime, în condițiile unei funcționări bune din punct de vedere cavitațional.

Rețeaua plană de profile, în decursul timpului, a fost obiectul a numeroase cercetări teoretice și experimentale, însă multitudinea parametrilor de care depinde curgerea în rețea, pe de o parte, și complexitatea curgerii, pe de altă parte, au făcut ca unele probleme să nu-și asigure în totalitate scopul propus. Dacă pentru o rețea cu geometrie dată avem posibilitatea să facem analiza experimentală a curgerii și cu suficientă precizie cu ajutorul unor metode teoretice, problema cea mai importantă rămîne proiectarea unor rețele optimizate cînd sînt cunoscute elementele mișcării la intrarea și ieșirea din rețea. Incercările de a oferi soluții au fost numeroase, însă pînă în prezent nu au reușit să-și atingă maturitatea deoarece, la baza lor au stat mai puțin cunoașterea fenomenelor care apar la curgerea fluidului și mai mult unele rezultate globale obținute pe cale experimentală /6, 51, 87/.

Multă vreme dimensionarea rețelelor plane de profile s-a axat pe cunoștințele în domeniul profilului izolat /3, 67/ care, este adevărat, a jucat un rol important în tehnica aviației și dispunem de un volum mare de informații. Incercările de a stabili o legătură între funcționarea profilului izolat și a aceluiași profil în rețea, deși s-au obținut unele rezultate bune, nu au reușit să conducă la relații universale privind coeficienții de influență ai rețelei și transpunerea caracteristicilor energetice la profilul din rețea.

O soluție ar putea fi obținerea de date experimentale asupra unor oit mai multe rețele de profile /6/, în scopul, analog profilului izolat, întocmirii unor cataloage de rețele. Acestea ar fi deosebit de utile proiectantului, însă multitudinea parametrilor care intervin și volumul mare de muncă ce trebuie depus face aproape imposibilă realizarea unor astfel de cercetări experimentale. Cu toate acestea rolul cercetării experimentale este important, deoarece el vine în ajutorul cercetării teoretice prin informații și verificări utile.

Primele metode teoretice care s-au dezvoltat în teoria rețelelor de profile s-au bazat pe neglijarea efectelor viscozității

la curgerea fluidului în rețea (curgerea potențială); metoda singularităților /44, 50, 86/, metoda transformărilor conforme /70, 71, 83/ și mai târziu metoda ecuațiilor integrale /55, 112/. Aceste metode aproximează în mod satisfăcător curgerea fluidului într-o rețea dată și ne dau caracteristici energetice apropiate, însă nu ne oferă mărimea cea mai importantă, pierderea în rețea. Mai mult, utilizarea acestor metode în proiectarea rețelelor se bazează în general pe considerente geometrice impuse profilului /3, 70, 86, 116/, deduse din cercetări experimentale, astfel că nu întotdeauna rețeaua obținută este cea optimă. Totuși, metodele potențiale, așa cum vom vedea mai departe, sînt deosebit de utile la studiul curgerii în rețea.

Cunoștințele în domeniul stratului limită au făcut posibilă dezvoltarea unor metode privind analiza curgerii fluidelor cu frecare în rețea /51, 73, 74, 90, 93/. Ele permit calculul pierderilor hidraulice și al caracteristicilor energetice cu o precizie destul de bună. Avantajul acestor metode este evident, într-un timp scurt pot fi obținute informații importante asupra performanțelor rețelei. Acestea permit selectarea variantei optime dintr-un număr de rețele analizate.

Lipsa unei teorii generale a stratului limită a făcut ca aplicarea acestuia la optimizarea rețelelor de profile să întîrzie multă vreme. Primele cercetări aparțin lui Worthmann /114/ care aplică teoria stratului limită la dimensionarea profilelor singulare laminare, obținînd rezultate deosebite, verificate cu un volum impresionant de cercetări experimentale. Odată cu dezvoltarea teoriei generale a stratului limită a lui Le Foll /49/ și apariția tehnicilor electronice moderne de calcul au făcut posibilă abordarea problemei optimizării rețelelor plane de profile. Studiile teoretice efectuate în domeniul rețelelor de compresoare și turbine cu gaz, Papailiou /63, 64, 65/, verificate experimental, au dovedit eficiența teoriei, însă modul diferit al transferului de energie și condițiile în care loc curgerea (numărul Reynolds, turbulență, etc.) nu fac posibilă extinderea metodei, în mod asemănător, la mașinile hidraulice axiale. Lipsa unor informații privind aplicarea teoriei lui Le Foll la optimizarea rețelelor de turbine axiale au orientat lucrarea de față spre această direcție la care, într-o strînsă legătură, se adaugă un studiu privind utilizarea teoriei stratului limită la calculul cît mai sigur al pierderilor hidraulice în rețea.

1.2 Parametrii și caracteristicile energetice ale rețelei plane de profile. Notății

În fig.1.2.1 este reprezentată rețeaua plană de profile. De asemenea sînt figurate triunghiurile de viteze în amonte de rețea (indicele 1) și în aval de rețea (indicele 2), aferente curgerii pe linia de curent mijlocie între două profile. Cu U și V s-au notat vitezele absolute, iar cu W și V_m vitezele relative.

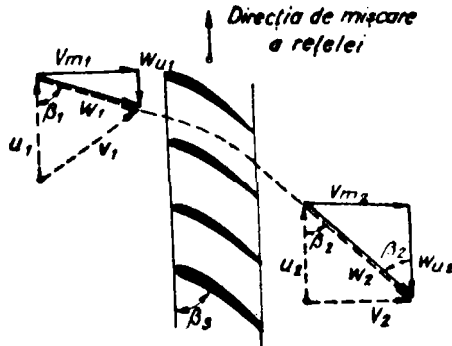


Fig.1.2.1 Rețeaua plană de profile

Parametrii rețelei plane de profile sînt determinați de :

a. parametrii geometrici ai rețelei definiți prin :

- geometria profilului din rețea; curbura maximă relativă $\frac{f}{t}$; grosimea maximă relativă $\frac{d}{t}$; poziția relativă a curburii maxime $\frac{x_f}{t}$; poziția relativă a grosimii maxime $\frac{x_d}{t}$; raza relativă a bordului de atac $\frac{r_a}{t}$; raza relativă a bordului de fugă $\frac{r_f}{t}$, etc.

- geometria rețelei definită prin unghiul de instalare β_3 și pasul relativ $\frac{t}{l}$.

b. parametrii hidrodinamici care caracterizează curgerea în rețea. În principal sînt : viteza curentului, presiunea, unghiul de incidență, numărul Reynolds.

Deoarece rețeaua de profile provoacă o deviație a curentului de la direcția vitezei W_1 la direcția vitezei W_2 , se definește viteza W_∞ ca fiind media vectorială a vitezelor W_1 și W_2

$$\vec{W}_\infty = \frac{\vec{W}_1 + \vec{W}_2}{2} \quad (1.2.1)$$

În fig.1.2.2 sînt reprezentate vitezele respective din care rezultă și convenția admisă la notarea unghiurilor pe care

le fac vitezele cu axa rețelei Y .

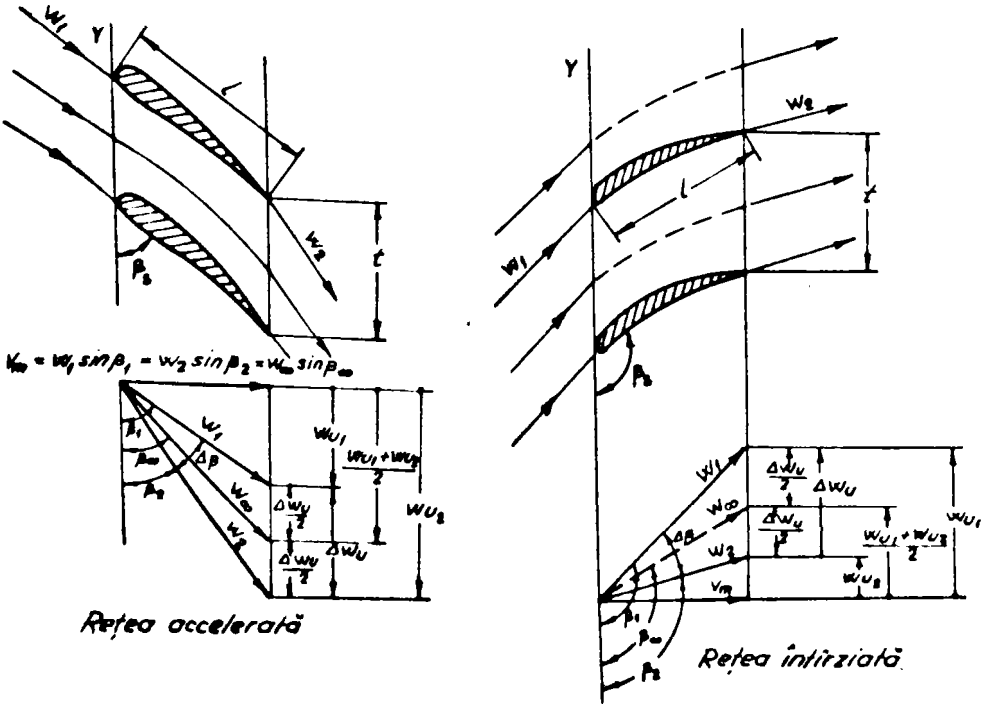


Fig.1.2.2 Schemă de notații pentru mărimile cinematice

Unghiul de incidență α_{∞} este definit ca fiind unghiul pe care îl închide coarda profilului cu direcția vitezei W_{∞} .

Numărul Reynolds raportat la coarda profilului se exprimă în funcție de una din vitezele relative, astfel

$$Re_1 = \frac{W_1 l}{\nu} ; Re_2 = \frac{W_2 l}{\nu} ; Re_{\infty} = \frac{W_{\infty} l}{\nu} \quad (1.2.2)$$

Caracteristicile energetice ale rețelei plane de profile

Ațiunea fluidului asupra profilului dispus în rețea se manifestă printr-o forță rezultantă R și un moment rezultant M , definite prin :

$$R = C_R \frac{\rho}{2} W_{\infty}^2 l L \quad (1.2.3)$$

$$M = C_M l \frac{\rho}{2} W_{\infty}^2 l L \quad (1.2.4)$$

Aici, C_R este coeficientul dimensional a forței rezultante, C_M - coeficientul dimensional al momentului și l - anvergura profilului.

Relația care ne dă legătura între parametrii energetici, geometria și elementele cinematice ale rețelei poartă denumirea de ecuația fundamentală a rețelei de profile. Expresiile cel mai des folosite /3/ sînt :

$$C_{or} = 2 \frac{t}{l} d_u \sin \beta_{\infty} + \zeta_r \frac{t}{l} \sin^2 \beta_{\infty} \cos \beta_{\infty} \quad (1.2.5)$$

$$C_{or} = 2 \frac{t}{l} d_u \sin \beta_{\infty} + C_{wr} \operatorname{ctg} \beta_{\infty} \quad (1.2.6)$$

unde C_{or} este coeficientul adimensional al forței portante, care acționează asupra profilului din rețea, și C_{wr} este coeficientul adimensional a forței de rezistență. Definirea acestor coeficienți se face analog relației (1.2.3).

d_u este coeficientul adimensional de deviație al rețelei, definit prin :

$$d_u = \frac{\Delta W_u}{V_m} = \operatorname{ctg} \beta_2 - \operatorname{ctg} \beta_1 \quad (1.2.7)$$

și este un parametru fundamental în caracterizarea rețelelor plane de profile.

ζ_r reprezintă coeficientul de pierdere hidraulică la trecerea curentului prin rețea, definit prin

$$\zeta_r = \frac{\Delta p_{tot}}{\rho V_m^2 / 2} \quad (1.2.8)$$

unde $\Delta p_{tot} = p_{tot,1} - p_{tot,2}$ este pierderea totală de energie la trecerea curentului prin rețea.

Între coeficientul de rezistență C_{wr} și coeficientul de pierdere ζ_r există următoarea legătură

$$C_{wr} = \frac{t}{l} \zeta_r \sin^3 \beta_{\infty} \quad (1.2.9)$$

Randamentul hidraulic al rețelei plane de profile are expresia, Speidel și Scholz /93/,

$$\eta_h = 1 - \frac{1}{2} \frac{V_m}{U} \frac{\zeta_r}{d_u} \quad (1.2.10)$$

Reprezentarea caracteristicilor energetice ale rețelei

În literatura de specialitate sînt cunoscute o multitudine de forme de reprezentare a caracteristicilor energetice ale rețelelor plane de profile. O prezentare detaliată a diferitelor moduri de reprezentare se află în V. Anton /6/, I. Anton /3/.

Pentru reprezentarea caracteristicilor energetice, în lucrare, au fost utilizate formele primare de reprezentare : $C_{or} = f(\beta_1)$, $C_{or} = f(C_{wr})$, $\zeta_r = f(d_u)$, etc.

1.3 Considerații privind curgerea fluidelor vâscoase prin rețea

În general, curgerea fluidelor vâscoase este guvernată de ecuațiile Navier-Stokes dacă mișcarea este laminară și ecuațiile Reynolds dacă mișcarea este turbulentă (caracterizată prin mișcarea neregulată a unor aglomerații de particule de fluid și un puternic schimb de masă între straturile adiacente). Ecuațiile Reynolds se obțin introducând în primele proprietățile de curgere, descompuse într-o valoare mediată în timp și o valoare fluctuantă, și apoi făcând medierea ecuațiilor rezultate. Aceste ecuații înclud ca necunoscute suplimentare combinații mediate în timp ale cantităților fluctuante /4, 48, 72/. Ele sînt oricum mai simple decît ecuațiile Navier-Stokes nestaționare și pot fi tratate numeric dacă sînt formulate în plus ipoteze pentru necunoscutele suplimentare.

Estă cunoscut faptul că soluționarea numerică a ecuațiilor Navier-Stokes este un lucru aproape imposibil, chiar cu cele mai moderne mijloace de calcul ; soluții au fost găsite numai pentru un număr foarte restrîns de cazuri cu valori la limită foarte simple /62, 65/.

A fost deci necesar să se caute modele simplificate de curgere care să ocolească setul complet de ecuații Navier-Stokes. Cea mai interesantă s-a dovedit a fi teoria stratului limită. Aceasta divide curgerea în două regiuni care se interacționează între ele (Prandtl în 1904):

- o regiune potențială în care efectele vîscoase sînt neglijate,

- stratul limită și regiunea dîrei, în care vîscozitatea trebuie luată în considerare.

Prin urmare, teoria stratului limită reduce analiza în totalitate a curgerii la studiul efectelor vîscozității într-un strat foarte subțire adiacent suprafeței corpului - stratul limită. Apariția, dezvoltarea și desprinderea stratului limită (fig. 1.3.1 și 1.3.2) sînt răspunzătoare în cea mai mare măsură de rezistența la înaintare a unui corp dispus într-un curent de fluid real. Curgerea în stratul limită poate fi laminară și (sau) turbulentă și are un caracter complex și dificil de analizat datorat, în special, apariției turbulenței; necunoscuta principală a problemelor de turbulență.

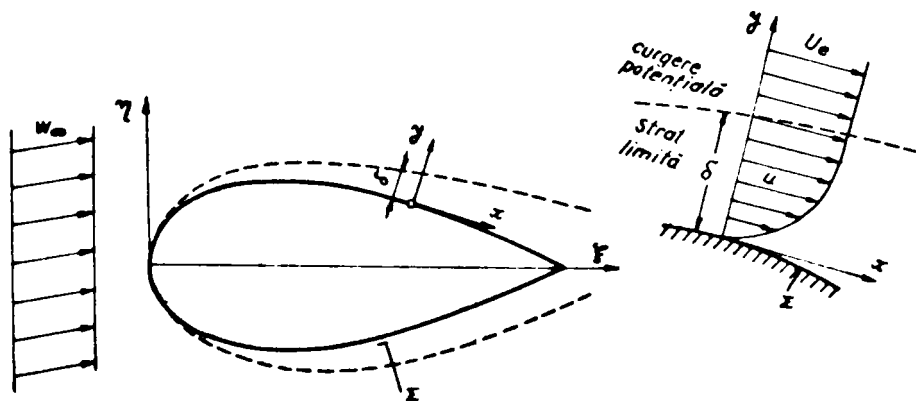


Fig.1.3.1 Dezvoltarea stratului limită

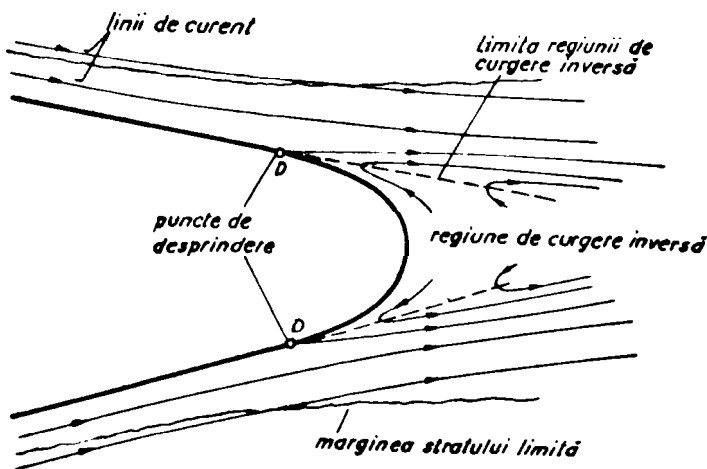


Fig.1.3.2 Desprinderea stratului limită

Mișcarea turbulentă contribuie la apariția unor eforturi suplimentare care nu pot fi obținute decât pe cale experimentală. Prin urmare, curgerea turbulentă este necesar semiempirică. Un alt fenomen nedorit și complex al curgerii îl constituie desprinderea stratului limită (fig.1.3.2). Aceasta are ca efect formarea vârtejurilor între stratul limită și suprafața corpului care împreună cu stratul limită se transformă în dîra aerodinamică. Formarea

virtejurilor necesită un consum suplimentar de energie contribuind la scăderea performanțelor energetice.

Numeroase cercetări experimentale și teoretice au elucidat multe fenomene care apar la curgerea în stratul limită. Prin utilitatea sa teoria stratului limită și-a adus aportul la rezolvarea multor probleme de aerodinamică și în special în tehnica aviației și aeronauticii. Un rol important îl are și în studiul curgerii reale a fluidelor în rețele plane de profile.

În prezent pentru profilul singular sînt suficiente informații privind curgerea în stratul limită și în diră, asociate cu un număr însemnat de date experimentale. Cu toate acestea comportarea stratului limită pe un profil singular nu poate fi asociată, în mod identic, aceluiași profil dispus în rețea. Comportarea profilurilor din rețea este evident diferită deoarece cîmpul vitezelor este altul și prin urmare, profilul este însoțit de un strat limită, desprindere, virtejuri, etc., diferite de cele ale profilului izolat. La profilul izolat perturbațiile provocate de apariția forței

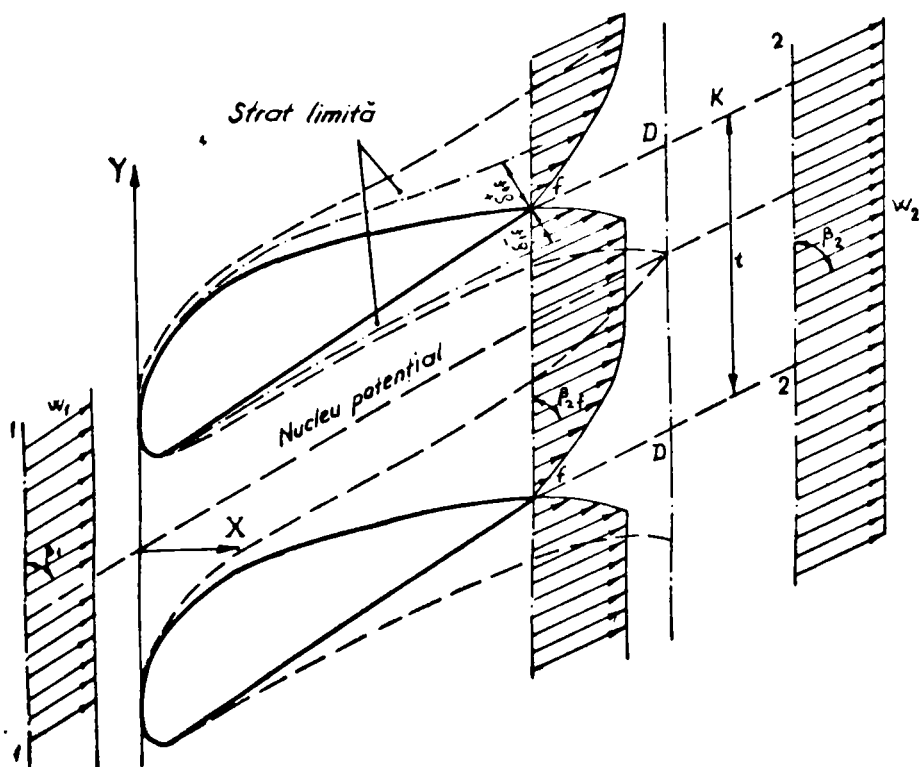


Fig.1.3.3 Schema curgerii viscoase în rețea

portante și a rezistenței se amortizează în aval și nu produc schimbarea parametrilor curgerii la infinit. Cu totul diferit, prezența profilului din rețea produce schimbarea parametrilor curentului la infinit. În acest caz, apariția și modificarea circulației va provoca variația vitezei, atât în amonte, cât și în aval de rețea, în timp ce perturbațiile legate de pierderea de energie produc modificarea parametrilor curentului numai în avalul rețelei (fig.1.3.3).

Prin urmare, influența viscozității la curgerea prin rețea se manifestă prin modificarea parametrilor curentului în spatele rețelei. Desigur că viscozitatea poate influența și direcția vitezei în spatele rețelei deoarece dezvoltarea stratului limită deplasează liniile de curent, existente într-un curent ideal /65,73, 74, 85, 93/. În concluzie, la curgerea prin rețea, apariția stratului limită se manifestă printr-o modificare a direcției vitezei în spatele rețelei (deci, o modificare a circulației) și producerea unui câmp de viteze neuniform la bordul de fugă (datorită variației vitezei în stratul limită). Acest câmp de viteze se uniformizează departe în aval, proces care este strâns legat de pierderile hidraulice în rețea.

În figurile din această secțiune prin δ se înțelege grosimea stratului limită, iar prin :

δ_1 - grosimea de eliminare

$$\delta_1 = \int_0^{\delta} \left(1 - \frac{u}{U_e}\right) dy \quad (1.3.1)$$

δ_2 - grosimea pierderii de impuls.

$$\delta_2 = \int_0^{\delta} \frac{u}{U_e} \left(1 - \frac{u}{U_e}\right) dy \quad (1.3.2)$$

U_e reprezintă viteza la marginea stratului limită, indicii "+" și "-" se referă la extradusul și respectiv intradusul profilului, iar "f" la bordul de fugă.

1.4 Considerații privind determinarea pierderilor hidraulice în rețea

Primele cercetări asupra unei rețele de profile datează din anul 1927 când L. Prandtl și A. Betz determină în tunelul aerodinamic de Göttingen distribuția de presiuni pe profilul GÖ 587 dispus în rețea, însă pînă în anii 1950 aceste cercetări au fost destul de sporadice. După această perioadă problema curgerii în rețele plane de profile a intrat tot mai accentuat în atenția cercetătorilor. Au apărut numeroase lucrări care cuprind, atât studii teoretice, cât și

experimentale privind diferite aspecte ale hidrodinamicii rețelelor de profile.

a. Cercetări experimentale

Studiul experimental al curgerii fluidelor prin rețea a fost abordat de numeroși cercetători. Cea mai reprezentativă din acest punct de vedere este școala de la Braunschweig unde curgerea bidimensională a fluidelor incompresibile, ideale sau reale, a fost studiată, teoretic sau experimental, de cercetători recunoscuți ca H.Schlichting, W.Scholz, M.Speidel, A.Das, etc. /85, 86, 87, 90, 93/. Aspectul complex al curgerii în rețea a fost studiat prin influența unor parametri asupra pierderilor hidraulice; influența geometriei profilului (curbură, grosime) și a geometriei rețelei (pasul relativ, unghiul de instalare), influența numărului Reynolds și a numărului Mach, influența gradului de turbulență, etc. Rezultatele obținute au dat posibilitatea verificării unor metode teoretice de calcul a caracteristicilor energetice ale rețelei și a pierderilor hidraulice, dezvoltate pe baza teoriei singularităților /86/ și a teoriei stratului limită /85, 87, 89, 90, 93/. De asemenea, a fost abordată problema determinării rețelei optime /87, 93/. O sinteză a unor rezultate obținute poate fi găsită în /6/.

Rețeaua plană de profile, sub aspectul curgerii, a fost studiată de cercetători sovietici ca G.F.Proskura, E.A.Gukasova, M.I.Jukovski, M.E.Deici, etc. Pe baza rezultatelor obținute au fost date unele metode și formule utile, din punct de vedere aplicativ, pentru proiectarea mașinilor hidraulice. Preocupări au fost și în cadrul școlii japoneze de la Sendai condusă de F.Numachi, în special, privind studiul unor profile dispuse în rețea cu performanțe cavitaționale optime, și desigur că lista acestor preocupări este mai numeroasă.

Problema curgerii în rețele plane de profile a fost și în atenția școlii de mașini hidraulice a Institutului Politehnic din Timișoara, inițiată de regretatul profesor A.Bărglăzan și condusă de Acad.I.Anton. În cadrul stațiunii experimentale a laboratorului au fost încercate numeroase rețele de profile pentru mașini hidraulice axiale și turbine de foraj. O contribuție importantă în cercetarea experimentală și-a adus prof.V.Anton /6, 7/, care a studiat influența geometriei rețelei asupra caracteristicilor energetice și cavitaționale ale profilului MHT-I-12 %. Reprezentarea rezultatelor sub forma unor diagrame universale constituie un material deosebit de util care stă la îndemna proiectantului de mașini hidraulice

în alegerea rețelei optime.

Cu toate că, în prezent, există o cantitate mare de date experimentale cercetările experimentale asupra rețelelor de profile nu și-au utins scopul așa cum este cazul profilului izolat. Ele sînt insuficiente ca să ofere proiectantului posibilitatea să aleagă rețeaua dorită. De asemenea, metodele, formulele sau coeficienții obținuți pe baza rezultatelor experimentale sînt valabile, în special, pentru cazurile studiate și mai puțin cu caracter de generalitate.

Importanța cercetărilor experimentale constă, în principal, că oferă posibilitatea dezvoltării unor noi metode de calcul a pierderilor hidraulice sau perfecționării altor mai vechi.

b. Cercetări teoretice

Avînd în vedere complexitatea curgerii fluidelor viscoase în rețele plane de profile (secțiunea 1.3) nuse poate aborda direct problema curgerii, dar poate fi posibilă o elaborare etapizată a soluționării teoretice /73, 74, 90, 93/.

În această etapă se presupun cunoscute mărimile curgerii reale în planul bordului de fugă (fig.1.3.3) fără a lua în discuție modul cum acestea pot fi obținute în etapele anterioare (calcul potențial al mișcării și calculul stratului limită) și precizia cu care pot fi calculate. O astfel de analiză va fi dată în capitolele următoare.

Știînd că procesul de uniformizare al vitezelor în dîra rețelei este strîns legat de pierderile hidraulice, atunci acestea pot fi determinate aplicînd transferul impulsului între planul bordului de fugă $f-f$, în care mărimile curgerii sînt date, și un plan în dîră în care dorim să cunoaștem mărimile. Pornind de la această idee au fost numeroase preocupări care au avut ca scop dezvoltarea unor metode și relații de calcul.

Printre primele încercări de-a calcula pierderile amintim pe acelea ale lui Lotiânski în 1947 /73/, Markov în 1947, Mc Gregor în 1952 (un model identic cu Markov), H.Schlichting și N.Scholz în 1952 /85/, etc.

O tendință, privind dezvoltarea unor metode de calcul, a fost de a aplica ecuația transferului impulsului pe o suprafață de control K cuprinsă între planul bordului de fugă $f-f$ și planul $K-K$ departe în aval în care are loc egalizarea vitezelor (fig.1.3.3). Pe această bază H.Schlichting și N.Scholz /85/ elaborează o metodă pentru rețele de profile subțiri. După apariția acestei metode, mai mulți cercetători caută să generalizeze metoda pentru rețele de

profile groase pîntra care și Povh /73, 74/. L.Speidel și Scholz /93/ reiau metoda și o aplică la calculul unor rețele de profile groase și curbate.

În principal, aceste metode constau în descompunerea ecuației impulsului după două direcții X și Y, care împreună cu ecuația de continuitate formează un sistem de trei ecuații integrale cu trei necunoscute : mărimile curgerii în curgerea uniformizată p_2 , W_2 și β_2 . Știind că mărimile curgerii la intrare nu se modifică, din ecuația lui Bernoulli rezultă căderea totală de presiune și deci, pierderea hidraulică în rețea.

L.Speidel și M.Scholz /93/, bine fundamentat, admit că devoltarea inegală a stratului limită pe extradosul și intradosul profilului, prin grosimea de eliminare δ_f , influențează atât distribuția de grosimi, cît și scheletul profilului. Această modificare are o influență mică asupra distribuției de viteză pe contur, însă importanța este modificarea circulației. Utilizînd metoda lui Schlichting /86/, cu unele simplificări (secțiunea 3.3.1), se obține modificarea $\Delta \Gamma$ a circulației. Considerînd că numai o parte a acesteia este echivalenta pierderilor și deci unei modificări a incidenței $\Delta \alpha_\infty$, pentru a obține aceeași portanță în curgerea vîscoasă ea și în cea potențială este necesară rotirea profilului cu $\Delta \alpha_\infty$. În acest mod, din triunghiul vitezelor pot fi obținute unghiurile corectate la intrare β_{1cor} și la ieșire din rețea

β_{2cor} Presupunînd că presiunea și viteza variaza în planul bordului de fugă, pentru a le face să rămînă constante, introduc o mișcare potențial teoretică suplimentară care este identică cu mișcarea potențială corectată departe în aval, adică

$$W_{2E} = W_{2cor}, \quad p_{2E} = p_{2cor}, \quad \beta_{2E} = \beta_{2cor} \quad (1.4.1)$$

Aici, indicele E se referă la mișcarea potențială introdusă suplimentar.

În această situație δ_{1f} și δ_{2f} trebuie recalculat. Din ecuația stratului limită /104/, pentru grosimea de impuls se obține :

$$\frac{\delta_{2E}}{\delta_{2f}} = \frac{\delta_{1E}}{\delta_{1f}} = \left(\frac{W_f}{W_{2E}} \right)^3 = \left(\frac{W_f}{W_{2cor}} \right)^3 \quad (1.4.2)$$

unde W_f este viteza potențială teoretică la bordul de fugă.

Cu notațiile :

$$\theta_1 = \frac{\delta_{1E}^+ + \delta_{1E}^-}{t \sin \beta_{2cor}} \quad \text{și} \quad \theta_2 = \frac{\delta_{2E}^+ + \delta_{2E}^-}{t \sin \beta_{2cor}} \quad (1.4.3)$$

integralele din ecuațiile impulsului pot fi evaluate și pot fi de-

53564p
282 H

terminate mărimile căutate. Pentru calculul pierderii este dată relația simplă, /93/

$$\xi_r = \frac{2\theta_2}{\sin^2 \beta_{2cor}} \quad (1.4.4)$$

iar pentru abaterea unghiului β_2 al curgerii cu frecare

$$\frac{ctg \beta_2}{ctg \beta_{2cor}} = 1 - \theta_1 - \theta_2 \quad (1.4.5)$$

Ținînd seama că $\beta_1 = \beta_{1cor}$ (în amonte nu se modifică parametrii curgerii) pot fi calculate caracteristicile energetice ale rețelei; C_{or} , C_{wr} (secțiunea 1:2, relațiile (1.2.5) și (1.2.9)).

Mai tîrziu, N.Scholz /90/, prezintă același raționament, însă pentru mișcarea potențială teoretică suplimentară (1.4.1) admite că :

$$\beta_{2E} = \beta_{2cor}, \quad W_{2E} = \frac{W_{2cor}}{1 - \theta_1} \quad (1.4.6)$$

Urmărind (1.4.2) și (1.4.3) și ținînd seama de (1.4.6) rezultă că pentru a obține valoarea W_{2E} este necesar un calcul iterativ.

Scholz /90/ rezolvă mai precis integralele din ecuația impulsului, însă pentru calculul pierderilor hidraulice dă o relație aproximativă sub forma :

$$\xi_r = \frac{2\theta_2}{(1 - 2,7\theta_1) \sin^2 \beta_{2cor}} \quad (1.4.7)$$

oricum mai precisă decît (1.4.4).

Metoda /93/ a fost verificată pentru un număr mare de rețele de profile formate din profilul NACA ocol ($\frac{t}{l} = 0,5 ; 0,75 ; 1 ; 1,25 ; \beta_3 = 90^\circ, 120^\circ, 130^\circ$) și profilul NACA 8410 ($\frac{t}{l} = 0,5 ; 0,75 ; 1 ; 1,25 ; \beta_3 = 30^\circ ; 60^\circ ; 90^\circ ; 120^\circ ; 150^\circ$). Comparate cu valorile pierderilor experimentale, valorile calculate s-au dovedit destul de precise dacă nu apare desprinderea stratului limită (metoda se poate aplica la mici desprinderi ale stratului limită, $X_D > 0,8 l$) și dacă pasul relativ și unghiul de instalare nu iau valori extreme.

I.L.Povh /73 și 74/ consideră că mărimile curgerii uniformizate pot fi legate de mărimile din nucleul potențial al curgerii. De asemenea, admite că în planul bordului de fugă presiunea și vitezele sînt constante. Cu notațiile

$$\bar{D}_1 = \frac{\bar{d}_{1f}^+ + \bar{d}_{1f}^-}{t \sin \beta_2}, \quad \bar{D}_2 = \frac{\bar{d}_{2f}^+ + \bar{d}_{2f}^-}{t \sin \beta_2'} \quad (1.4.8)$$

în care β_2' este direcția modificată a vitezei curgerii ideale

W_{2f} în planul bordului de fugă, datorită stratului limită. Valoarea vitezei se modifică și ea datorită modificării secțiunii de curgere

$$\beta_2' = \beta_{2f} + \varepsilon \quad , \quad W_2' = \frac{W_{2f}}{1-d_1'} \frac{\sin \beta_{2f}}{\sin \beta_2'} \quad (1.4.9)$$

unde ε este abaterea unghiulară.

Aplicând ecuația impulsului, pentru abaterea unghiului β_2 al curgerii cu frecare se obține

$$\sigma = \frac{\text{ctg} \beta_2}{\text{ctg} \beta_2'} = \frac{1 - \bar{\sigma}_1 - \bar{\sigma}_2}{(1 - \bar{\sigma}_1')^2} \quad (1.4.10)$$

și pentru coeficientul de pierderi

$$\zeta_r = \frac{\sigma^2 + \text{ctg}^2 \beta_2}{\sigma^2 (1 - \bar{\sigma}_1')^2} + 1 - 2\sigma - \text{ctg}^2 \beta_2 \quad (1.4.11)$$

Se observă din (1.4.10) și (1.4.11) că β_2 și respectiv ζ_r pot fi calculate numai dacă σ și ε sînt cunoscute. Povh /74/, pe baza unor date experimentale, admite pentru turbine axiale

$\sigma = 1,02 - 1,05$, iar pentru ε o relație empirică.

Pentru calculul modificării circulației în /73/ se arată că profilul poate fi îmbrăcat cu grosimea de eliminare σ_f și apoi recalculată distribuția de viteză potențială. În acest caz, este necesar un calcul succesiv. Pentru a evita aceasta, Povh /73/ propune ca, calculul grosimii de eliminare să fie făcut cu o distribuție de viteză potențială modificată la bordul de fugă; (0,8-1) W_2 . Calculul distribuției de viteză cu profilul îmbrăcat cu această grosime de deplasare reduce numărul iterațiilor la cel mult două.

Povh /74/ afirmă că relația (1.4.11) poate fi aplicată și în curgeri cu desprindere (dacă σ_{1f} și σ_{2f} pot fi calculate). De asemenea, consideră că (1.4.11) este mai generală decît cea propusă de Schlichting și Scholz /85/. În /73/ sînt prezentate cîteva rezultate obținute pentru rețele de turbină, comparativ cu rezultate experimentale. Metoda dă valori ale coeficienților de pierdere apropiate de valorile experimentale, cu excepția valorilor mici ale pasului relativ ($t/l = 0,4$) la care se obțin valori calculate inferioare.

Lieblein și Roudebush /52/, folosind aceleași ipoteze pentru curgerea uniformizată, din ecuația impulsului obțin următoarea formulă :

$$\zeta_r = \frac{2\bar{\sigma}_2}{(1-\bar{\sigma}_1')^2 \sin^2 \beta_2'} \left\{ 1 + \frac{\bar{\sigma}_2}{2} \left[\bar{H}_{12} - \cos^2 \beta_2' \left(\bar{H}_{12} - \frac{1}{1-\bar{\sigma}_2'} \right)^2 \right] \right\} \quad (1.4.12)$$

în care $\overline{\sigma}_1$ și $\overline{\sigma}_2$ au aceeași semnificație ca în (1.4.8), iar

$$\overline{H}_{12} = \frac{\overline{\sigma}_1}{\overline{\sigma}_2} \quad (1.4.13)$$

O analiză mai profundă a relației (1.4.12) comparativ cu (1.4.11), pentru un strat limită calculat și același unghi β'_2 , ne conduce la valori aproape identice deși, ca formă, sînt diferite. De asemenea, dacă în (1.4.12) termenul din paranteza acoladă este aproximat cu unitatea ($\overline{\sigma}_2 \ll 1$) și comparăm relația rămasă cu relația (1.4.7) dată de Scholz /90/ observăm o bună asemănare între ele.

Papailiou /65/ utilizează relația (1.4.12) pentru analiza pierderilor în rețele de compresor și turbine cu gaz. Pentru o rețea de compresor încercată în tunel valoarea pierderilor calculate este foarte apropiată de valoarea găsită experimental.

Am arătat pînă aici oțeva relații de calcul a pierderilor hidraulice în care mărimile curgerii cu frecare în mișcarea uniformizată au fost legate de mărimile stratului limită la bordul de fugă de pe extradosul și intradosul profilului din rețea și dintr-o analiză sumară a rezultat că nu pot exista diferențe mari între ele dat fiind pusă problema în mod asemănător.

O altă tendință, bazată tot pe transferul impulsului în diră, a fost de a stabili o legătură între pierderile hidraulice și grosimea de impuls a dîrei. Aceasta este oarecum asemănătoare grosimii de impuls a dîrei la infinit $\overline{\sigma}_{2\omega}$ pentru calculul coeficientului de rezistență al profilului izolat. În practică această valoare nu poate fi calculată teoretic, însă poate fi găsită o legătură empirică între $\overline{\sigma}_{2\omega}$ și parametrii stratului limită la bordul de fugă. Pentru profilul izolat astfel de relații au fost date de Sevaier și Young, Kalihman, Povh /73/ etc.

Loițianski /73/ pentru soluționarea pierderilor în rețea analizează curgerea în diră și folosind o metodă analoagă celei utilizate de Sevaier și Young la profilul izolat, stabilește o relație între grosimea de impuls a dîrei în planul D-D (fig.1.3.3) și parametrii stratului limită la intrarea în diră (planul f-f)

$$\overline{\sigma}_{2D} = \overline{\sigma}_{2f} \overline{W}_f \left(\frac{H_f + 5}{2} \right) \quad (1.4.14)$$

în care, $\overline{W}_f = \frac{W_f}{W_\infty}$ este viteza potențială adimensională la bordul de fugă al profilului, $\overline{\sigma}_{1,2f} = \overline{\sigma}_{1,2f}^+ + \overline{\sigma}_{1,2f}^-$, $H_f = \overline{\sigma}_{1f} / \overline{\sigma}_{2f}$

Admițînd că în secțiunea D-D neuniformitatea curgerii este foarte mică, din ecuația impulsului obține pentru calculul pierderilor relația :

$$\xi_r = 2 \sigma_{2D} \frac{l}{t} \frac{1}{\sin^3 \beta_2} \quad (1.4.15)$$

Datorită aproximațiilor făcute, valorile pierderilor calculate cu această relație sînt, în general, mai mici decît cele reale.

Povh /73/, ținînd seama de rezultatele lui Lotiânski, face o analiză mai profundă a curgerii în diră și obține pentru grosimea de impuls a direi următoarea relație :

$$\sigma_{2D} = \sigma_{2f} \frac{\bar{W}_f^2}{1,5 - 0,5 \bar{W}_f^2} \quad (1.4.16)$$

pentru rețele de turbină, și

$$\sigma_{2D} = \sigma_{2f} \left[\bar{W}_f^2 + 0,5 (\bar{W}_f^2 - 1) H_f \right] \quad (1.4.17)$$

pentru rețele de compresor, iar pentru coeficientul de pierderi

$$\xi_r = 2 \frac{\epsilon_0}{\sin^2 \beta_2} \left[1 + (2,5 + \sin^2 \beta_2) \epsilon_0 \right] \quad (1.4.18)$$

în care

$$\epsilon_0 = \sigma_{2D} \frac{l}{t} \frac{H_D}{\sin \beta_2} \quad (1.4.19)$$

unde H_D este parametrul de formă (H_D) al direi în secțiunea D-D.

Pentru acesta, Povh /73/ consideră o expresie empirică,

$$H_D = 1 + 0,05 \frac{l}{t} \quad (1.4.20)$$

Valorile calculate de Povh cu relația (1.4.18) comparate cu cele calculate cu relația (1.4.11) și valori experimentale sînt într-o bună concordanță, cu deosebirea că (1.4.18) dă rezultate mai bune la valori mici ale pasului relativ ($\frac{l}{t} = 0,4$), în schimb inferioare la valori mai mari ($\frac{l}{t} = 1$).

O relație asemănătoare cu (1.4.18) este dată în /51/

$$\xi_r = 2 \sigma_{2D} \frac{l}{t} \frac{1}{\sin^3 \beta_2} \frac{3 H_D}{3 H_D - 1} \left(1 - \sigma_{2D} \frac{l}{t} \frac{H_D}{\sin \beta_2} \right)^{\frac{1}{3}} \quad (1.4.21)$$

în care termenul din paranteza mare poate fi aproximat cu unitatea, deoarece $\sigma_{2D} \ll 1$. Valoarea lui H_D se admite constantă $H_D = 1,0$.

Pentru determinarea grosimii de impuls a direi Lieblein /51/, dintr-o analiză a ecuației impulsului stratului limită, arată că aceasta poate fi pusă în raport cu factorul de difuzie, definit prin :

$$\frac{U_{max}}{W_2} = (C_{pW})_{max} \frac{\sin \beta_2}{\sin \beta_1} \left(1 - \sigma_{2D} \frac{l}{t} \frac{H_D}{\sin \beta_2} \right) \quad (1.4.22)$$

în care $(C_{pW})_{max}$ este valoarea maximă a coeficientului de presiune pe extrados. În acest mod stabilește o legătură între $\frac{U_{max}}{W_2}$ și σ_{2D} , pe baza unor date experimentale, pentru rețele de profile

NACA 65 (A_{10}) și schelet în arc de cerc C_4 (cu curburi simetrice și grosimea maximă de 10 %) la unghiuri de incidență α_{amin} , corespunzătoare pierderii minime. Pentru scopuri de proiectare (1.4.22) poate fi exprimată empiric în funcție de parametrii circulației. La incidențe α_{amin} , $(C_{pw1}^+)_max$ poate fi aproximat prin

$$(C_{pw1}^+)_{max} \approx 1,12 + 0,61 \frac{t}{l} \sin^2 \beta_1 \sigma_U \quad (1.4.23)$$

astfel că pentru pierderea minimă poate fi obținut un factor de difuzie echivalent

$$D_e = \frac{\sin \beta_2}{\sin \beta_1} (1,12 + 0,61 \frac{t}{l} \sigma_U \sin^2 \beta_1) \approx \frac{U_{max}^+}{W_2} \quad (1.4.24)$$

O relație asemănătoare a fost găsită și pentru incidențe diferite de α_{amin}

$$D_e = \frac{\sin \beta_2}{\sin \beta_1} \left[1,12 + a (\alpha - \alpha_{amin})^{1,43} + 0,61 \frac{t}{l} \sigma_U \sin^2 \beta_1 \right] \quad (1.4.25)$$

în care a este o constantă ($a = 0,0117$ pentru rețele de profile NACA 65 (A_{10}) și $a = 0,007$ pentru rețele de profile C_4 /51/)

Dacă legătura $\sigma_U = f(\frac{U_{max}^+}{W_2})$ este stabilită, atunci evident că putem cunoaște și legătura $\zeta_r = f(D_e)$. Pentru ultima, desfolosită este dependența $E = f(D_e)$ /116/, în care

$$E = \zeta_r \frac{1}{2} \frac{t}{l} \frac{\sin \beta_2}{\cos^2 \beta_2} \quad (1.4.26)$$

Corelațiile $E = f(D_e)$ sînt deosebit de utile în proiectarea rețelelor optimizate. Dezavantajul constă în faptul că astfel de corelații pot fi obținute, în prezent, numai pentru rețele formate din aceeași familie de profile și numai pe baza unor date obținute experimental.

În fig.1.4.3 este reprezentată dependența $E = f(D_e)$ pentru o rețea plană de profile, iar în fig.1.4.2 este reprezentată dependența optimizată $\zeta_r = f(\sigma_U)$ pentru o rețea de compresor, după Schlichting /87/. Se observă analogia între cele două tipuri de reprezentări. Prin urmare $E = f(D_e)$ reprezintă înfigurătoarea curbelor $E = f(D_e)$ pentru diferite valori ale pasului relativ. Asemănător principiului lui Schlichting /87/, pentru determinarea pasului relativ pentru rețeaua optimă (fig.1.4.2), Lieblein /51/ stabilește că stagnarea corespunde unui raport de difuzie echivalent $D_e \approx 2$.

În literatură se întîlnesc o multitudine de procedee de optimizare a rețelelor de profile pe baza datelor experimentale /6, 87, 90, 93/. Avantajul dependenței $E = f(D_e)$ este că e mai generală decît alte reprezentări. Dacă se utilizează corelațiile sugerate

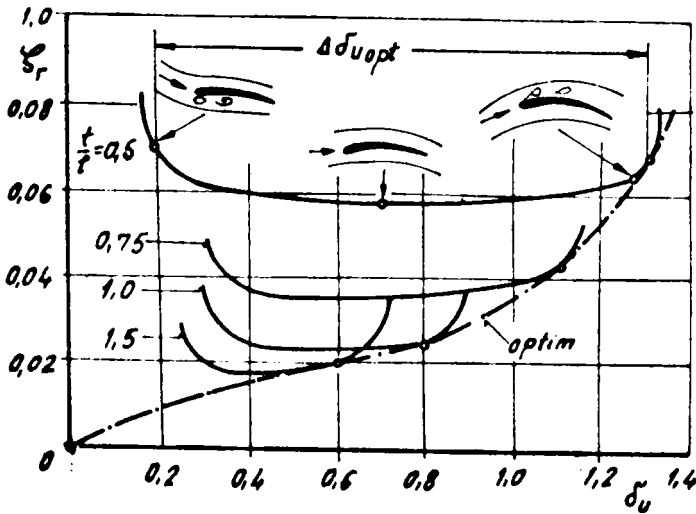


Fig.1.4.1 Coeficienții de pierderi optimi ai unei rețele de profile ($\beta_s = 120^\circ$) după Schlichting /87/. Domeniul δ_{uopt} se găsește în domeniul curgerii fără desprindere.

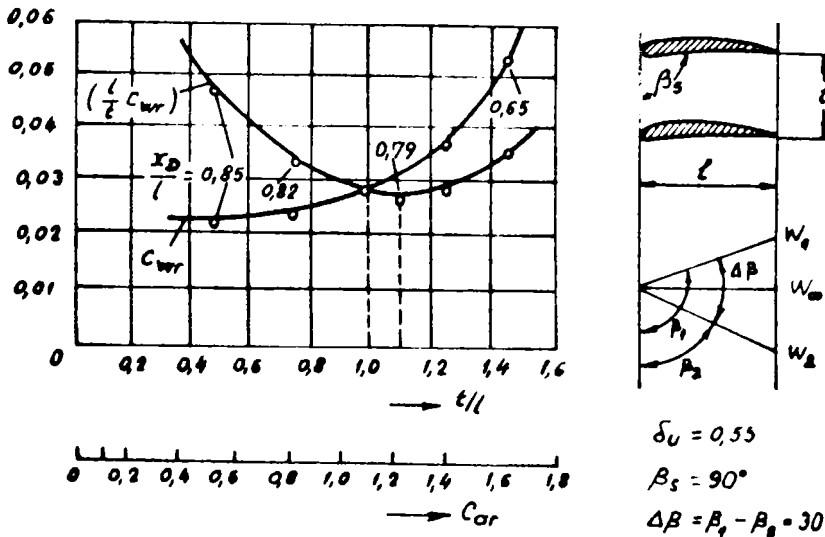


Fig.1.4.2 Variația coeficientului de rezistență C_{wr} în funcție de pasul relativ t/l pentru rețele de profile bidimensionale ($Re_2 = 5 \cdot 10^5$), după Schlichting /87/.

de Lieblein /51/ este posibilă optimizarea rețelelor de profile în diferite secțiuni de rotor pentru o valoare optimă fixată a factorului de difuzie De . Acesta este o măsură bună a încărcării paletelor și pot fi calculate pierderile în rețea (ec. (1.4.21)) dacă sînt

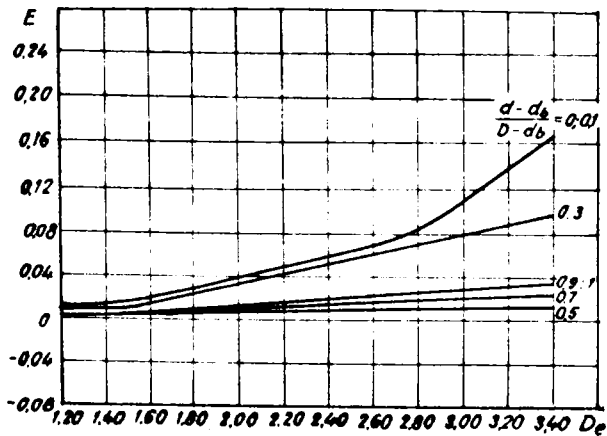


Fig.1.4.3 Dependența $E = E(De)$ în diferite secțiuni cilindrice ale unui rotor axial /116/ d_b - diametrul butucului, D - diametrul rotorului.

conoscute corelații, bazate pe date experimentale, de forma $\sigma_{2D} = f(De)$. În această situație este posibilă o analiză a influenței diferiților parametri asupra curgerii astfel să se obțină eficiența maximă. Deși, prezintă avantaje multiple, utilizarea unor astfel de procedee de optimizare este oarecum limitată, deoarece nu dispunem de suficiente date experimentale, pe baza cărora, să putem stabili corelațiile necesare. Mai mult, la proiectarea mașinilor hidraulice parametrii geometrici ai profilului și rețelei variază de la o secțiune de rotor la alta. În asemenea condiții sînt necesare mai multe informații asupra unui număr cît mai mare de rețele de profile, pentru ca scopul proiectării să fie cu certitudine atins.

1.5 Analiza metodelor de calcul a pierderilor. Prezentarea tomei

Din analiza unor metode de calcul a pierderilor hidraulice în rețele plane de profile, bazate pe teoria stratului limită, pot fi desprinse unele aspecte importante :

- la baza metodelor /52, 73, 74, 85, 90, 93/ stă analiza curgerii în direcția rețelei în care are loc procesul de egalizare al vitezelor și care este răspunzător în cea mai mare măsură de mărirea pierderilor. Această analiză s-a făcut prin aplicarea teoremei impulsului în două moduri diferite, un mod în care mărimile curgerii cu frecare sînt căutate departe în aval unde mișcarea este uniformizată și unul doilea în zona direi în care straturile limită de pe extradon și intradon se unesc, însă mișcarea nu este complet uniformizată,

- metodele /51, 73/, care se bazează pe grosimea pierderii de impuls a direi sînt necesar semiempirice, deoarece corelația dintre aceasta și parametrii stratului limită se poate determina numai pe ajustarea unor date experimentale. Dacă astfel de dependențe sînt cunoscute, pierderile pot fi calculate satisfăcător. În general, relațiile semiempirice ale grosimii δ_{2D} au fost deduse pentru un număr insuficient de rețele încercate și este puțin probabil ca acestea să fie universal valabile. De aceea în prezent aceste metode au o utilizare practică restrînsă, însă pot fi folosite la analiza curgerii în rețea atunci cînd este disponibil un volum important de date experimentale ;

- aplicarea teoremei impulsului /52, 73, 74, 85, 90, 93/ pe toată suprafața de control a direi, cuprinsă între bordul de fugă și secțiunea în care mișcarea este uniformizată, sînt bine fundamentate și oferă posibilitatea determinării corecte a mărimilor curgerii cu frecare în funcție de parametrii stratului limită la bordul de fugă. Pierderile pot fi calculate cu suficientă precizie dacă se cunoaște influența stratului limită asupra mișcării potențiale (direcția vitezei la ieșire β_2') ;

- relația (1.4.11), comparativ cu relațiile (1.4.4) și (1.4.7) pentru calculul pierderilor, este mai completă și are avantajul ca mărimile curgerii cu frecare pot fi calculate din mărimile curgerii în nucleul potențial la bordul de fugă. Din păcate, dificultatea unor astfel de metode constă tocmai în determinarea direcției β_2' a vitezei în acest nucleu. Deoarece β_2' intervine în expresiile (1.4.8) este posibil ca mărimile σ_1' și σ_2' să nu

să fie estimate corect. De asemenea, abaterea unghiului β_2 al curgerii cu frecare prin σ , relația (1.4.10), depinde de valoarea unghiului β_2' . Pentru a ocoli aceste dificultăți, în /74/ se propun relații empirice pentru calculul lui β_2' , iar pentru σ se admite $\sigma = 1,02 - 1,05$. Aceste relații aproximative pot să afecteze acuratețea calculului. Dificultățile legate de calculul unghiului β_2 sînt valabile și pentru relația (1.4.12) pentru care am arătat că oferă valori ale pierderilor foarte apropiate de cele obținute cu (1.4.11) dacă β_2' este același ;

- un raționament bine fundamentat pentru calculul influenței stratului limită este oferit de Speidel și Scholz /93/ cu ajutorul metodei singularităților /86/, care poate fi adaptată unor astfel de probleme. Aceasta permite calculul direct al modificării circulației din care poate fi dedusă modificarea incidenței și din triunghiul vitezelor modificarea unghiurilor de intrare și ieșire din rețea. În /93/ pierderile sînt legate de curgerea potențială calculată în care distribuția de viteză este puțin afectată de grosimea stratului limită. Din aceste considerente, din modificarea totală a circulației se ia numai partea care afectează distribuția de viteză. Acest fapt ar putea să influențeze calculul unghiului la ieșire, deoarece modificarea deviației curentului este dată de modificarea totală a circulației (și nu parțială) ;

- mișcarea potențială suplimentară /90, 93/ introdusă sub forma (1.4.1) sau (1.4.6) pentru a menține presiunea și viteza constante în planul bordului de fugă are mai mult un rol de facilitare a evaluării integralelor din ecuația impulsului, decît faptul că această mișcare suplimentară ține seama de aceste efecte. Recalcularea parametrilor stratului limită la bordul de fugă (1.4.2), cu ajutorul vitezei potențiale, este destul de aproximativă; datorită condiției Jukovski valoarea acestei viteze nu este găsită corect. Din aceste motive, mai justificată este ipoteza admisă în alte metode /52, 73, 74/ că presiunea și viteza în nucleul potențial al mișcării la bordul de fugă cu o bună aproximație sînt constante.

Aceste considerente au fost făcute numai pe baza unor ipoteze formulate pentru analiza curgerii în dîra rețelei de profile, iar în discuție au fost luate numai acele mărimi care pot influența calculul pierderilor. În /73, 74, 90, 93/ sînt date rezultatele obținute cu metodele respective care au fost comparate cu valori experimentale și se poate afirma că în toate cazurile exis-

tă o bună corelație între teorie și experiment. Cu toate acestea, deși asemănătoare, metodele nu prezintă un mod unitar de calcul. Ținând seama de aceasta și de rezultatele obținute este greu de afirmat care din metode este mai sigură, deoarece :

- calculul potențial al curgerii în rețea și calculul stratului limită s-a făcut cu metode diferite pentru fiecare caz în parte și în unele cazuri cu metode mult prea aproximative. Acestea ar putea influența semnificativ parametrii la bordul de fugă care au fost considerați cunoscuți ;
- nu sînt date comparații între valori calculate cu metode în care ipotezele sînt puse în mod diferit, iar informațiile sînt insuficiente pentru a face asemenea verificări ;
- au fost analizate rezultatele pentru rețele caracterizate mai mult prin geometria rețelei (pas relativ și unghi de instalare) și mai puțin prin geometria profilului /53, 74, 90, 93/, care, pentru mașinile hidraulice, are un rol foarte important. Sînt cazuri în care geometria rețelei nu este specificată /73, 74/ sau nu se oferă suficiente date privind condițiile în care au fost efectuate determinările experimentale.

Avînd în vedere că, în prezent, există numeroase informații privind curgerea în stratul limită (laminar sau turbulent) și dispunem de metode care pot calcula destul de sigur mișcarea potențială și cu ajutorul acesteia dezvoltarea stratului limită în jurul profilului, din cele de mai sus, poate fi trasă concluzia că nu dispunem de o metodă unitară de calcul a pierderilor hidraulice în rețea,

Pornind de la această concluzie și de la rolul important pe care îl are rețeaua de profile optimizată în proiectarea unor mașini hidraulice axiale cu performanțe ridicate lucrarea prezentă are ca obiectiv principal studiul curgerii reale a fluidelor și încearcă să-și aducă o modestă contribuție la rezolvarea următoarelor probleme :

- a. Stabilirea unei metode de calcul a pierderilor în rețea pe cît posibil unitară, completă și suficient de precisă. În capitolul 3 este prezentat un calcul etapizat al curgerii reale în rețea în care pentru soluționarea curgerii potențiale, stratului limită laminar și (sau) turbulent și a tranziției laminar-turbulent sînt propuse metode cunoscute, bine justificate prin comparații cu experimentul. Pentru calculul pierderilor se analizează mișcarea pornind de la influența stratului limită asupra curgerii potențiale, analiza dîrei și pînă la calculul caracte-

caracteristicilor energetice reale ale rețelei. Verificate cu date experimentale valorile calculate sînt într-o bună concordanță.

b. Proiectarea rețelelor de turbine axiale optimizate prin metoda stratului limită. În capitolul 4 pe baza teoriei generale a stratului limită se stabilesc funcțiile stratului limită laminar și turbulent în reprezentarea lui Le Foll /49/. După ce se analizează proprietățile generale a stratului limită se stabilește distribuția de viteză optimizată pe extradosul profilului, independentă de geometria rețelei. În funcție de numărul Reynolds și un parametru al circulației, impuse de condițiile de la intrare și ieșire din rețea, poate fi obținută distribuția de viteză sub forma cunoscută, iar prin intermediul unei metode de calcul potențial invers se obține profilul din rețea. În final, se prezintă optimizarea unei rețele de turbină axială, în care se analizează curgerea reală cu metoda directă (a). Rezultatele obținute confirmă posibilitatea proiectării optimizate a rețelelor prin metoda stratului limită propusă.

c. Elaborarea unor programe pe calculator, la care au fost folosite cele mai moderne tehnici de calcul care asigură o precizie și rapiditate cât mai mare calculului pentru fiecare etapă rezolvată.

d. Efectuarea unor investigații experimentale în tunelul de strat limită și turbulență asupra unui profil aerodinamic. Au fost efectuate măsurători ale distribuțiilor de presiuni pe profil și ale profilelor de viteză și turbulență în stratul limită și în dîra profilului. Datele prelucrate sub forma unor mărimi globale ale stratului limită au stat la baza verificării unor legi și relații folosite la calculul stratului limită.

e. Orientarea cercetărilor viitoare spre problemele cele mai importante ale curgerii în rețele de profile cu utilitate practică în proiectarea mașinilor hidraulice.

Lucrarea, prin metodele și tehnicile de calcul propuse și prin experiența dobîndită, își propune să ofere posibilitatea realizării unui program general de studiu automat (pe un calculator de capacitate și viteză mare) al curgerii reale în rețea, pornind de la obținerea rețelei optime și pînă la determinarea influenței unor parametri importanți ai curgerii asupra pierderilor hidraulice, deosebit de util proiectantului de mașini hidraulice.

CAPITOLUL 2
NOTIUNI DE TEORIA STRATULUI LIMITA

2.1 Ecuatiile diferentiale ale stratului limită

Simplificările făcute de Prandtl asupra ecuațiilor Navier-Stokes [27, 62] au condus la așa numitele ecuații diferentiale ale stratului limită :

$$u \frac{\partial u}{\partial x} + v \frac{\partial u}{\partial y} = -\frac{1}{\rho} \frac{\partial p}{\partial x} + \frac{\partial}{\partial y} \left(\frac{\tau}{\rho} \right) \quad (2.1.1)$$

$$\frac{\partial p}{\partial y} = 0 \quad (2.1.2)$$

unde $\tau = \eta \frac{\partial u}{\partial y}$ este tensiunea tangențială de frecare.

Ecuatia (2.1.2) are o semnificație practică deosebită și se confirmă într-o identitate aproape perfectă cu valoarea calculată a presiunii cu ajutorul curgerii potențiale și determinată experimental. Ținând seamă de ecuația diferențială a lui Bernoulli

$$-\frac{1}{\rho} \frac{dp}{dx} = U_e \frac{dU_e}{dx} \quad (2.1.3)$$

Ecuatiile (2.1.1) și (2.1.2) se reduc la una singură, astfel că ecuațiile diferentiale ale stratului limită pentru mișcarea staționară a unui fluid incompresibil devin,

$$u \frac{\partial u}{\partial x} + v \frac{\partial u}{\partial y} = U_e \frac{dU_e}{dx} + \frac{1}{\rho} \frac{\partial \tau}{\partial y} \quad (2.1.4)$$

la care se adaugă ecuația de continuitate,

$$\frac{\partial u}{\partial x} + \frac{\partial v}{\partial y} = 0 \quad (2.1.5)$$

Aici, U_e reprezintă viteza curentului la marginea stratului limită.

Ecuatia (2.1.4) dedusă de Prandtl este valabilă pentru stratul limită laminar. Pentru stratul limită turbulent trebuie urmată o cale asemănătoare celei din care au fost deduse ecuațiile Reynolds. Rezultatul ne va conduce la o formă asemănătoare ecuației (2.1.4) în care, trebuie să ținem seama că proprietățile de transport ale stratului limită turbulent diferă esențial de cele ale stratului limită laminar,

$$\tau = \rho (-\overline{uv} + \nu \frac{\partial u}{\partial y}) \quad (2.1.6)$$

pentru stratul limită turbulent, iar prin u și v se înțeleg valori mediate în timp.

Prin urmare, ecuațiile stratului limită turbulent conțin o parte suplimentară în care intervin, proprietățile turbulenței și.

ipotezele care s-au făcut pentru ea. Natura ecuațiilor finale care guvernează stratul limită turbulent depinde de aceste ipoteze. Aceste ecuații sînt necesar semiempirice deoarece turbulența rămîne soluția necunoscută a problemei de turbulență.

2.2. Ecuațiile integrale ale stratului limită

Dificultățile legate de integrarea exactă a ecuațiilor (2.1.4) și (2.1.5) a impus dezvoltarea unor metode de aproximare. În acest caz se renunță la satisfacerea ecuațiilor diferențiale ale stratului limită pentru fiecare particulă în parte și se examinează mișcarea în ansamblu.

Ecuația diferențială (2.1.4) se poate transforma pentru stratul limită laminar, prin înmulțire cu puteri ale lui U și (sau) y și integrare parțială peste grosimea stratului limită, dintr-un sistem cu o infinitate de ecuații diferențiale obișnuite, în așa numitele ecuații integrale. Practic încă numărul lor este limitat și, de obicei, se consideră ca suficiente două ecuații. Cea mai mare valoare, pentru studiul stratului limită, o au ecuațiile de ordin redus (obținute prin înmulțire cu puteri mici) $/\log/$; ecuația integrală a impulsului (V. Karman 1921, Gruschwitz 1935) și ecuația integrală a energiei (K. Wiegard 1948). Dacă aceste afirmații sînt valabile pentru stratul limită laminar este de așteptat să fie adevărate și pentru stratul limită turbulent.

a. Ecuația integrală a impulsului

Prin înmulțirea ecuației (2.1.4) cu U^2 , eliminarea lui v cu ajutorul ecuației de continuitate (2.1.5) și integrarea peste grosimea stratului limită δ , prin cîteva transformări simple, se obține,

$$\frac{d\delta_2}{dx} + (H_{12} + 2) \frac{d\delta_1}{U_e} \frac{dU_e}{dx} = \frac{C_f}{2} = \gamma_1 \quad (2.2.1)$$

b. Ecuația integrală a energiei

Prin înmulțirea ecuației (2.1.4) cu U și procedînd în mod asemănător obținerii ecuației (2.2.1) se obține,

$$\frac{1}{U_e^3} \frac{d}{dx} (U_e^3 \delta_3) = C_D = \gamma_2 \quad (2.2.2)$$

Ecuațiile (2.2.1) și (2.2.2) pot fi considerate ca forme asemănătoare, atît pentru stratul limită laminar, cît și pentru stratul limită turbulent, deocînd

$$\gamma_1 = \gamma_2 = 0 \quad \text{pentru stratul limită laminar} \quad (2.2.3)$$

$$\gamma_1 = \frac{1}{U_e^2} \frac{d}{dx} \int_0^{\delta} (u^2 - v^2) dy, \quad \gamma_2 = \frac{2}{U_e^3} \int_0^{\delta} U \frac{\rho(u^2 - v^2)}{\pi} dy \quad (2.2.4)$$

pentru stratul limită turbulent. În general, acești termeni pot fi neglijabili. Totuși, pe baza măsurătorilor, s-a constatat că mărimile u' și v' devin importante în apropierea desprinderii.

Mărimile C_f și C_D au următoarele semnificații :

$$C_f = \frac{\tau_0}{\frac{1}{2} \rho U_e^2} \quad (2.2.5)$$

este coeficientul de frecare local, iar,

$$C_D = \frac{1}{\frac{1}{2} \rho U_e^3} \int_0^{\sigma} \tau \frac{\partial u}{\partial y} dy \quad (2.2.6)$$

este coeficientul de disipație.

În ecuația (2.2.1) δ_2^* este grosimea pierderii de impuls (1.3.2), iar în ecuația (2.2.2) δ_3^* este grosimea pierderii prin disipație a energiei

$$\delta_3^* = \int_0^{\sigma} \frac{u}{U_e} \left(1 - \frac{u^2}{U_e^2}\right) dy \quad (2.2.7)$$

H_{12} este parametrul de formă al profilului vitezei în stratul limită definit prin

$$H_{12} = \frac{\delta_1^*}{\delta_2^*} \quad (2.2.8)$$

în care δ_1^* este grosimea de eliminare (1.3.1).

2.3 Stabilitatea mișcării laminare. Transiția laminar-turbulent

Este cunoscut că pentru valori mici ale numărului Reynolds, bazat pe cantități locale, curgerile laminare sînt stabile, însă ele devin instabile pentru numere Reynolds mari și apoi se transformă în curgeri turbulente. Din punct de vedere practic instabilitatea mișcării laminare este importantă în calculul stratului limită.

Cercetările teoretice asupra stabilității mișcării laminare se bazează pe ipoteza că această mișcare este afectată de mici perturbații. Dacă aceste perturbații se amplifică, curgerea devine instabilă. În acest caz, de interes devine valoarea critică a numărului Reynolds, care trebuie cunoscută. Pentru aceasta, mișcarea este descompusă într-o curgere principală, a cărei stabilitate se cercetează, și o perturbație suprapusă peste aceasta /27, 88/.

Un astfel de model teoretic a fost construit pentru mișcarea bidimensională în care perturbația a fost presupusă a fi formată dintr-un număr discret de fluctuații parțiale, fiecare din acestea fiind o undă care se propagă în direcția axei Ox. S-a găsit pentru amplitudinea mișcării o ecuație diferențială ordinară

de ordinul patru, cunoscută ca ecuația Orr-Sommerfeld /27, 88/.

Fără a intra în detalii și discuții, modelul teoretic reușește, pentru un strat limită dat, să stabilească o legătură între numărul Reynolds, bazat pe grosimea stratului limită, și lungimea de undă a perturbației, stabilind așa numita curbă de stabilitate neutrală, care desparte regiunea perturbațiilor instabile de aceea a perturbațiilor stabile. Această curbă neutrală a permis calculul valorii critice a numărului Reynolds, sub care toate oscilațiile se amortizează, iar peste această valoare cel puțin câteva se amplifică. Valoarea calculată a numărului Reynolds nu corespunde cu valoarea observată experimental în punctul de tranziție. Explicația constă în faptul că numărul Reynolds critic indică punctul în care începe amplificarea unor perturbații individuale (punct de instabilitate). Acestea se continuă în aval, iar transformarea în turbulență are loc în timp. Prin urmare, este de așteptat ca numărul Reynolds la tranziție să fie mai mare, decât numărul Reynolds calculat.

Deși oferă rezultate deosebite, modelul teoretic construit nu poate fi aplicat practic deoarece lungimea de undă a perturbației este necunoscută. A fost necesar să fie luată în considerare o altă mărime care să fie pusă în legătură cu numărul Reynolds. Această mărime a fost gradientul de presiune.

Calculul efectului gradientului de presiune asupra instabilității a fost făcut de Schlichting și Ulrich /88/ folosind un polinom de gradul șase pentru aproximarea vitezei în stratul limită. Forma profilelor de viteză este determinată de parametrul de formă a lui Polhausen /79, 88/,

$$\Lambda = \frac{\sigma^2}{\nu} \frac{dUe}{dx} \quad (2.3.1)$$

Curbele de instabilitate neutrală calculate pentru această familie de profile au fost folosite pentru a deduce dependența numărului Reynolds critic, bazat pe grosimea de eliminare δ_i^* , de parametrul de formă Λ (fig.2.3.1). Se observă că numărul Reynolds critic variază puternic cu Λ și prin urmare cu gradientul presiunii.

Pe baza acestor rezultate este posibil să se calculeze punctul de instabilitate al unei curgeri bidimensionale care trece peste un corp de formă oarecare.

Van Driest și Blumer /106/ au elaborat o teorie a tranziției stratului limită care ține seama de efectele turbulenței curentului liber și gradientul presiunii. Ideea de bază se spri-

jină pe ipoteza că prăbușirea curgerii laminare apare atunci când vorticitatea locală din stratul limită este suficient de departe de perete. Criteriul de tranziție s-a formulat considerind că raportul dintre tensiunea inertială locală $\rho l^2 (du/dy)^2$ și tensiunea viscoasă locală $\eta \frac{\partial u}{\partial y}$ trebuie să atingă o valoare limită undeva în curent pentru ca tranziția să aibe loc. Teoria a fost pusă în legătură cu date obținute pe cale experimentală (fig.2.3.2), și s-a găsit că poziția punctului de tranziție verifică ecuația

$$\frac{1690}{Re_x^{1/2}} = 1 + 19,6 Re_x^{1/2} \left(\frac{\sqrt{U^2}}{U_e} \right)^2 \quad (2.3.2)$$

unde Re_x este numărul Reynolds bazat pe distanța x din punctul de impact pînă în punctul considerat.

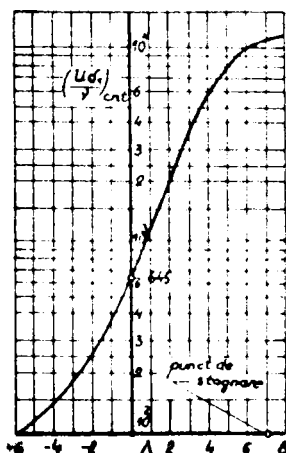


Fig. 2.3.1 Curba de stabilitate a stratului limită laminar /88/

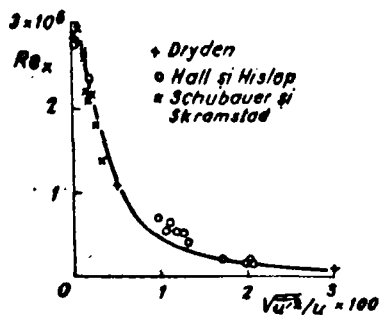


Fig. 2.3.2 Efectul turbulenței curentului exterior asupra tranziției, /106/

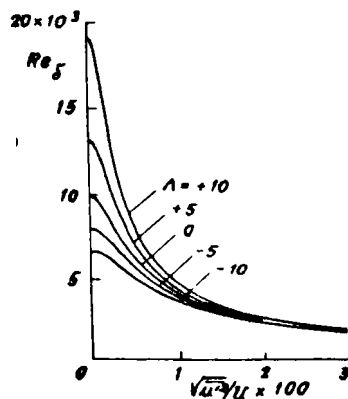


Fig. 2.3.3 Efectul gradientului de presiune asupra tranziției, /106/

Pentru o familie de profile de viteză reprezentate prin parametrul de formă al lui Polhausen Λ , ecuația punctului de tranziție este dată de relația /106/

$$\frac{9880}{Re_x} = 1 - 0,0485 \Lambda + 3,36 Re_x \left(\frac{\sqrt{U^2}}{U_e} \right)^2 \quad (2.3.3)$$

unde Re_{δ} este numărul Reynolds bazat pe grosimea stratului limită δ .

În fig.2.3.3 sînt reprezentate curbele (2.3.3) pentru diferite valori ale parametrului de formă Λ .

2.4 Stratul limită turbulent

Soluționarea unor probleme de strat limită este strîns legată de calculul stratului limită turbulent. În secțiunea 2.1 am văzut că în ecuațiile stratului limită turbulent intervine ca necunoscută turbulența și este clar că trebuie să facem o ipoteză suplimentară, bazată pe tensiunile turbulente, pentru ca problema stratului limită turbulent să fie rezolvată.

Pentru stratul limită laminar această problemă nu există și se poate descrie istoria trecută a stratului limită laminar de o manieră satisfăcătoare, înlocuind ecuația (2.1.4) cu un număr mic de ecuații integrale, valabile pentru o familie de profile de viteză.

Pentru a aplica aceeași tehnică și la stratul limită turbulent, este necesar ca ipoteza suplimentară să ne permită să utilizăm o familie de profile de viteză. O ipoteză care ne permite aceasta este ipoteza similitudinii locale /82/, care postulează că tensiunile depind numai de condițiile locale.

a. Ipoteza similitudinii locale

Ecuația de mișcare (2.1.1) pentru $y \rightarrow 0$ devine

$$\lim_{y \rightarrow 0} \frac{\partial \tau}{\partial y} = \frac{dp}{dx} \quad (2.4.1)$$

sau sub formă adimensională

$$\lim_{y \rightarrow 0} \frac{\gamma(\frac{z}{z_0})}{\gamma(\frac{y}{\delta_1})} = \frac{dp}{dx} \frac{\delta_1}{z_0} = - \frac{\delta_1}{\frac{\rho}{2} U_e} \frac{dU_e}{dx} = \pi \quad (2.4.2)$$

Mărimea π se reprezintă ca un parametru fizic important, ea descrie forma profilului tensiunii tangențiale în apropierea peretelui. π poate fi interpretat și ca raportul dintre forțele de presiune și forțele de frecare. El corespunde parametrului lui Polhausen /88/ pentru stratul limită laminar. Dacă este posibil să se găsească o legătură între π și profilul vitezei, relația (2.4.2) poate fi adăugată ca o ecuație suplimentară la sistemul de ecuații integrale.

În cazul în care π este constant curgerea se găsește în condiții de "cvasiechilibru"; ipoteza similitudinii locale fiind satisfăcută.

b. Profilul vitezei turbulente

La stratul limită turbulent trebuie să facem distincția între regiunea adiacentă peretelui și regiunea exterioră sau zona direi.

Regiunea interioară ($\sim \frac{1}{5} \delta'$) poate fi privită ca fiind compusă din două părți : un substrat laminar sau substrat viscos ($\sim \frac{1}{100} \delta'$) adiacent peretelui în care fluctuațiile vitezei aproape că dispar și la care se adaugă zona turbulentă a regiunii de perete între care se găsește o zonă de tranziție numită și "zonă tampon"

În regiunea exterioră, curentul nu mai este influențat direct de viscozitatea moleculară, ci numai de forțele de inerție, istoria stratului limită joacă aici un rol important. Comportarea stratului limită depinde în această regiune de gradientul de presiune.

Legea universală a peretelui

- pentru substratul viscos este valabilă relația

$$\frac{u}{u_*} = \frac{y u_*}{\nu} \quad , \quad \frac{y u_*}{\nu} < 12 \quad (2.4.3)$$

unde

$$u_* = \sqrt{\frac{\tau_0}{\rho}} = U_e \sqrt{\frac{C_f}{2}} \quad (2.4.4)$$

- pentru zona complet turbulentă a regiunii de perete este valabilă legea logaritmică a peretelui (Prandtl /88/),

$$\frac{u}{u_*} = \frac{1}{K} \ln \frac{y u_*}{\nu} + C \quad , \quad \frac{y u_*}{\nu} > 60 \quad (2.4.5)$$

Constantele K și C s-au determinat experimental; valori acceptabile sînt date în /88/, K = 0,4 și C = 5,1.

Legea universală a direi

Pînă în prezent nu a fost găsită o relație universală între profilul vitezei și tensiunea tangențială pentru stratul exterior. Coles /31/ a reușit să deducă o lege empirică, general valabilă pentru partea exterioră a stratului limită turbulent

$$\frac{u(x,y)}{u_*} = f\left(\frac{y u_*}{\nu}\right) + F\left[\pi(x), \frac{y}{\delta'}\right] \quad (2.4.6)$$

Funcția $f(y u_* / \nu)$ este legea universală a peretelui, definită de (2.4.3) și (2.4.5), iar $F(\pi, y/\delta')$ este legea universală a direi definită de Coles /32/, astfel

$$F\left(\pi, \frac{y}{\delta'}\right) = \frac{\pi(x)}{K} W\left(\frac{y}{\delta'}\right) \quad (2.4.7)$$

Parametrul $\pi(x)$ poate fi privit ca un parametru de profil și este o măsură pentru mărimea relativă a componentei-direc. $W(\frac{y}{\delta'})$ este astfel normată încît,

$$W(0) = W'(0) = 0, W(1) = 2, \int_0^1 W d\left(\frac{y}{\delta}\right) = 1 \quad (2.4.8)$$

Legea (2.4.7) prin neglijarea substratului viscos se aduce sub forma

$$\frac{Ue-u}{u_*} = \frac{1}{k} \ln \frac{y}{\delta} + \frac{\pi(x)}{k} \left[2 - W\left(\frac{y}{\delta}\right) \right] \quad (2.4.9)$$

cunoscută sub denumirea de legea exterioară. În această reprezentare profilele vitezei turbulente formează o familie de curbe cu un singur parametru. π nu este privit ca un parametru de formă pentru că nu se poate aduce în legătură cu parametrul de formă

H_{12} , care în reprezentarea (2.4.9) nu este privit ca un parametru semnificativ. În afară de această, δ nu este o grosime definită clar. Rotta /82/ a propus să se deducă aceste mărimi direct din legea exterioară.

Se definesc :

- analog grosimii de eliminare

$$\Delta = \int_0^{\delta} \frac{Ue-u}{u_*} dy = 2 \frac{\delta_1}{C_f} \quad (2.4.10)$$

- analog parametrului de formă

$$I = \frac{\int_0^{\delta} \left(\frac{Ue-u}{u_*}\right)^2 dy}{\int_0^{\delta} \frac{Ue-u}{u_*} dy} = \frac{H_{12}-1}{H_{12}} \frac{1}{\sqrt{\frac{C_f}{2}}} \quad (2.4.11)$$

- o legătură între parametrii de formă H_{12} și H_{32} , pentru care Fernholz /38/, analizând numeroase rezultate experimentale, a dat o relație empirică îmbunătățită față de Rotta /82/

$$H_{12} = 1 + 1.48 (2 - H_{32}) + 104 (2 - H_{32})^{6.7} \quad (2.4.12)$$

Această expresie corespunde unei expresii uniparametrice a profilului vitezei.

c. Relația dintre profilul vitezei și distribuția tensiunii tangențiale

S-a arătat, în sect.2.4 a, că în cazul soluțiilor asemenea ale profilului de viteză turbulent, atât parametrul π , cât și parametrul I , rămâne constant cu x . În acest caz special este evident că există o legătură clară între mărimile integrale ale profilului de viteză (π poate fi privit ca o mărime integrală).

Mellor și Gibson /56/ au reușit să descrie în regulă domeniul al straturilor limită în echilibrul ($-0,5 < \pi < \infty$). Curba care rezultă din valorile lor numerice poate fi exprimată în intervalul $-0,5 < \pi < 250$ cu expresia

$$\Pi = \frac{(I+1,5)^2}{36} - 1,8$$

(2.4.13)

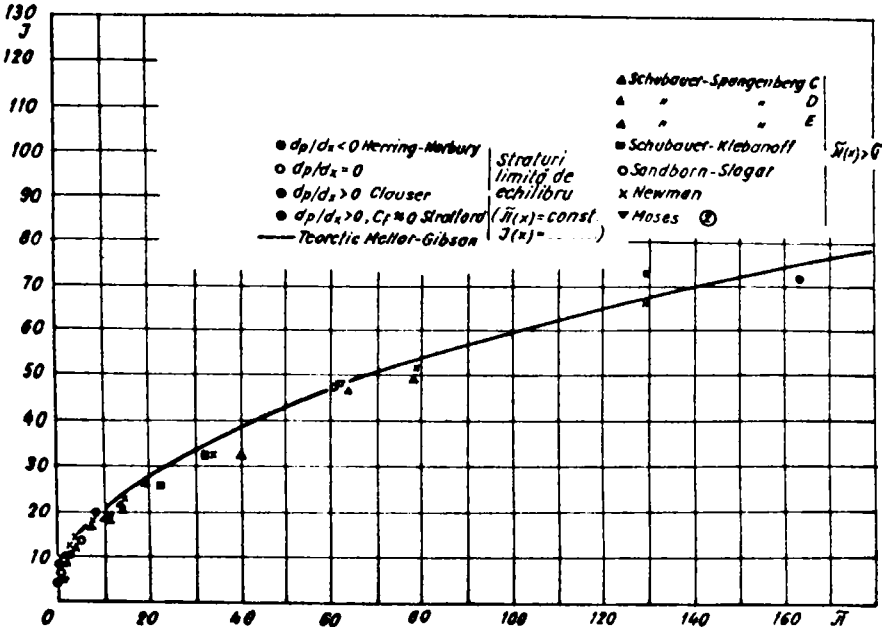


Fig.2.4.1 Relația dintre parametrul de formă I și parametrul de presiune Π , /37/

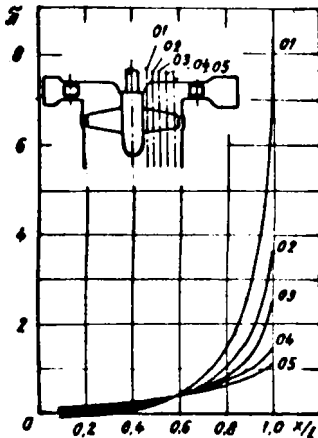


Fig.2.4.2 Curbele $\Pi = f(x/l)$ pentru profile aerodinamice (Turbina K^T-10,5)

Este de dorit cunoașterea unei relații generale între Π și I , deoarece o astfel de relație este socotită ca fundamentală pentru teoria stratului limită turbulent. Felsch /37/ analizând circa 20 de serii de măsurători, publicate asupra straturilor limită, a făcut următoarea constatare importantă; măsurătorile pentru Π crește continuu urmează cu o bună aproximare chiar la $d\Pi/dx$ mare - până la desprindere, linia curbei

pentru straturi limită în echilibru (fig.2.4.1).

Pentru profile aerodinamice curba $\Pi(\xi)$ este crescătoare cu excepția unei zone restrinse în vecinătatea bordului de atac, care pentru cazul de față nu prezintă interes deoarece se găsește în domeniul stratului limită laminar, (fig.2.4.2).

Felsch /37/, pe baza rezultatelor experimentale, a reușit să reprezinte sub forma unei nomograme relația $I = I(\Pi, dI/d \ln Re_{\delta_2})$, valabilă pentru cazul general.

d. Legea tensiunii de frecare la perete

Tensiunea de frecare apare de două ori în ecuațiile integrale ; explicit în ecuația impulsului (2.2.1) și implicit în ecuația energiei (2.2.2). Prin urmare, trebuie cunoscută cu o precizie cât mai mare.

Legea tensiunii de frecare la perete poate fi considerată destul de sigură pe baza lucrărilor lui Ludwig și Tillmann /54/, Rotta /82/, Patel /66/ și alții.

Pornind de la legea universală a peretelui, Ludwig și Tillmann /54/ au dedus următoarea lege universală a tensiunii tangențiale la perete

$$C_f = a \gamma^n Re_{\delta_2}^{-m} \quad (2.4.14)$$

unde γ este un parametru de profil definit ca $\gamma = u_{\delta_2} / U_e$, unde u_{δ_2} este viteza u din legea peretelui în punctul $y = \delta_2$. Constantele din (2.4.14) sînt

$$a = 0,058 \quad ; \quad n = 1,705 \quad ; \quad m = 0,268 \quad (2.4.15)$$

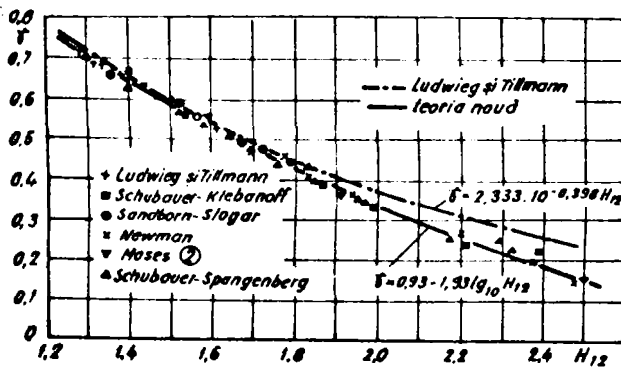


Fig.2.4.3 Relația dintre parametrul de profil γ și H_{12} /37/

Pentru γ a fost determinată o relație din măsurători (fig.2.4.3)

$$\gamma = 2,333 \cdot 10^{-0,398 H_{12}} \quad (2.4.16)$$

astfel că (2.4.14) poate fi scrisă sub forma

$$C_f = 0,246 \cdot 10^{-0,678 H_{12}} Re_{\delta_2}^{-0,268} \quad (2.4.17)$$

Relația (2.4.17), a lui Ludwig și Tillmann, este foarte des utilizată în aplicații. Ea verifică date experimentale pînă la $H_{12} < 18$ și nu poate fi extrapolată pînă la $C_f = 0$, cum ar fi logic din punct de vedere fizic.

Felsch /37/ a folosit experiențe care conțin date sigure de profile de viteză pînă la valori mai mari ale $H_{12} \approx 2,5$ (fig. 2.4.3). Acestea pot fi bine approximate cu expresia

$$\gamma = 0,93 - 1,95 \log H_{12} \quad (2.4.18)$$

astfel că legea tensiunii de frecare la perete este

$$C_f = 0,058 (0,93 - 1,95 \log H_{12})^{1,705} Re_{\delta_2}^{-0,268} \quad (2.4.19)$$

Relația (2.4.18) devine zero pentru $H_{12} = 3$.

e. Legea disipației

În ecuația integrală a energiei (2.2.2) apune integrala disipației, definită de (2.2.6),

$$C_D(x) = \frac{1}{\frac{1}{2} \rho U_e^3} \int_0^{\delta} \zeta \frac{\partial u}{\partial y} dy = \frac{d+t}{\frac{1}{2} \rho U_e^3} \quad (2.4.20)$$

ca o funcție necunoscută, unde ζ înseamnă tensiunea tangențială totală, d - disipația totală în stratul limită și t - variația energiei turbulenței. În general, t se neglijează, însă aceasta este admisibil numai dacă mărimile pulsatorii nu variază mult cu lungimea x , cum este cazul în apropierea desprinderii.

În conformitate cu ecuația stratului limită (2.1.1) ζ nu depinde numai de u și $\partial u / \partial y$ ci și de profilul precedent și de gradientul presiunii dp/dx , deci de Π . Cu alte cuvinte, profilul tensiunii tangențiale depinde în afară de profilul de viteză și de preistoria stratului limită. Această constatare a fost făcută la deducerea relației $\Pi(I)$. Prin urmare, pentru C_D va fi necesară o legătură de forma

$$C_D = f(H_{12}, Re_{\delta_2}, \Pi, \frac{dI}{d \ln Re_{\delta_2}}) \quad (2.4.21)$$

Walz /109/, din ecuațiile integrale ale impulsului (2.2.1) și energiei (2.2.2) în care s-au neglijat mărimile pulsatorii și utilizând definițiile (2.2.5) - (2.2.8) și ecuația (2.4.2), a dedus pentru integrala de disipații următoarea relație :

$$C_D = \frac{C_f}{2} \left[\frac{dH_{32}}{d \ln Re_{d_2}} \left(1 + \frac{H_{12} + 1}{H_{12}} \pi \right) + H_{32} \left(\frac{H_{12} - 1}{H_{12}} \pi + 1 \right) \right] \quad (2.4.22)$$

din care, pentru straturile limită în echilibru, a dedus expresia aproximativă

$$C_D = \frac{C_f}{2} H_{32} \left(\frac{H_{12} - 1}{H_{12}} \pi + 1 \right) \quad (2.4.23)$$

Aici, H_{32} este parametrul de formă definit prin

$$H_{32} = \frac{\sigma_3}{\sigma_2} \quad (2.4.24)$$

CAPITOLUL 3

PREDICȚIA PIERDERILOR HIDRAULICE ÎN REȚEA

În această parte a lucrării se prezintă calculul etapizat al pierderilor hidraulice din rețea, în care sînt prezentate metodele propuse pentru calculul curgerii potențiale și al stratului limită, iar în final este dată o metodă unitară pentru calculul pierderilor, bazată pe analiza curgerii în dira rețelei.

3.1 Calculul curgerii potențiale în rețea

Constituie o etapă importantă deoarece determinarea parametrilor stratului limită depinde de câmpul vitezelor în jurul profilului în rețea și prin urmare, poate influența determinarea corectă a pierderilor hidraulice.

În cazul mișcării bidimensionale, în ipoteza fluidului incompresibil și staționar, în absența forțelor masice, studiul curgerii potențiale se reduce la studiul unor funcții de variabilă complexă, iar determinarea mișcării constă în soluționarea ecuației integrale a vitezei complexe. Pentru rețele de profile cu bord de fugă rotunjit, viteza complexă pe conturul profilului (fig.3.1.1) admite următoarea reprezentare integrală Cauchy [71, 116/

$$\bar{W}(z_0) = 2\bar{W}_\infty + \frac{1}{\pi i} \int_{\gamma_{D_0}^+} \bar{W}(\xi) \frac{\pi}{\xi} e^{i\alpha} \operatorname{cth} \left[\frac{\pi}{\xi} e^{i\alpha} (z - \xi) \right] d\xi$$

unde \bar{W}_∞ este o constantă complexă,

Soluția generală a acestei ecuații, O.Popa [71/, se determină cu aproximația unei constante ciclice, circulația vectorială a vitezei pe conturul profilului considerat ca linie de curent

$$\Gamma(\gamma_{D_0}^+) = \int_{\gamma_{D_0}^+} \bar{W}(\xi) d\xi = \int_{\gamma_{D_0}^+} W(s) ds$$

Determinarea circulației este posibilă numai făcînd apel la condiția fizică Jukovski pentru profile cu bord de fugă ascuțit sau

E. Carafoli pentru profile cu bord de fugă rotunjit.

O. Popa /68/, cu argumente bine fundamentate matematic, cu ajutorul exclusiv al teoriei funcțiilor de variabilă complexă, arată că ecuația integrală a vitezei complexe poate fi descompusă în două ecuații integrale de tip Fredholm :

- o ecuație integrală singulară de tip Fredholm de speța I-a în care necunoscuta apare numai sub integrală, și
- o ecuație integrală de tip Fredholm de speța II-a în care necunoscuta apare atât sub integrală cât și în afara ei.

De asemenea, în /68/ se arată că ecuația integrală a vitezei complexe poate fi prelungită analitic în interiorul profilului, astfel că repartiția de vîrtejuri de pe contur (nucleul ecuației integrale) poate fi înlocuită cu o repartiție de singularități (surse și vîrtejuri) pe schelet. În urma acestei prelungiri analitice se obține tot o ecuație integrală de tip Cauchy.

Ținînd seama de aceste cîteva considerații, în hidrodinamica rețelelor plane de profile dezvoltarea metodelor teoretice de calcul a curgerii potențiale s-a făcut pe baza următoarelor teorii /68/, cunoscute sub forma :

- teoria singularităților (ecuații integrale singulare)
- teoria transformărilor conforme
- teoria ecuațiilor integrale (ecuații integrale de tip Fredholm de speța a II-a)

3.1.1 Considerații asupra unor metode de calcul

a. Metoda singularităților

La baza acestor metode constă determinarea mișcării potențiale prin soluționarea ecuațiilor integrale singulare, însă dificultățile legate de evaluarea integralelor pe schelet au făcut ca repartiția de surse și vîrtejuri să fie considerate în lungul cozii profilului, Schlichting /86/, Lesohin /50/, Lesohin-Simonov /67/, etc. Acest artificiu limitează aplicarea metodei la profile de curbură și grosime redusă. O. Popa /68/ pentru rețele de profile subțiri consideră repartiția de vîrtejuri în lungul scheletului aproximat printr-o funcție polinomială.

Tot pe baza teoriei singularităților Isay /44/ soluționează problema curgerii potențiale în rețea cu ajutorul ecuației integrale de tip Fredholm de speța I-a, însă aplicabilitatea metodei este limitată la rețele de profile subțiri.

b. Metoda transformărilor conforme

Constă în studiul mișcării într-un plan auxiliar obținut prin transformare conformă (cel mai des folosit este cercul) în

care analiza mișcării este mai ușor de făcut. Dacă funcția de transformare conformă este cunoscută și are o formă simplă, atunci poate fi determinată mișcarea în rețea.

Metoda transformărilor conforme a fost folosită la construirea și analiza curgerii în jurul unor familii de profile : Jukovski, Kármán-Trefftz, Müller, Carafoli, etc. /23, 116/. Pentru profile de formă oarecare s-au dezvoltat mai multe metode ; Mujin /60/, Müller, Carafoli /23, 116/, Theodorsen /98, 77, 116/, O. Popa /71/, etc.

În domeniul rețelelor, primele metode s-au dezvoltat pentru studiul rețelelor de profile rectilinii ; König în 1922 și Weinig /116, 71, 116/ în 1935, însă pe o altă cale. Ulterior s-au dezvoltat metode și pentru rețele de profile oarecare ; Vallander /115/, Samoilovici /83/, Numachi și Murai /61/, Murai /58/, O. Popa /70, 71/, etc.

Dacă pentru profile singulare metoda transformărilor conforme a fost folosită cu succes, pentru rețele de profile a întâmpinat greutăți în construirea unor funcții de transformare conformă simple și exacte. Din acest motiv a întârziat aplicarea lor în practică. Apariția calculatoarelor moderne de calcul a determinat ca în ultimul timp metodele să se dezvolte intens.

O. Popa /70, 71/, cu ajutorul teoremelor extinse ale cercului /69/, a dezvoltat o metodă care are o formă explicită și ușor de aplicat, însă datorită unor aproximații în funcția de transformare conformă metoda este limitată la studiul unor rețele de profile subțiri și curbură mică.

c. Metoda ecuațiilor integrale

S-a dezvoltat mai ales în ultimile decenii, odată cu apariția tehnicilor moderne de calcul. La baza metodei constă înlocuirea conturului profilului printr-o repartitie de vîrtejuri, iar evaluarea numerică a integralei expresiei vitezei se face numeric (metoda trapezelor). În acest mod, soluționarea mișcării se reduce la rezolvarea unuia sau mai multor sisteme de ecuații algebrice.

Soluționarea curgerii potențiale cu ajutorul ecuațiilor integrale a fost făcută de Martensen /55/, însă ecuația integrală a vitezei a fost dedusă pe baza teoriei cîmpurilor vectorial armonice. Metoda a fost extinsă de K. Jacob /45/ la profile^{cu} bord de fugă rotunjit cu rază mică de curbură și bord de fugă angulos. Wilkinson /112/ aduce unele îmbunătățiri și extinde metoda la rezolvarea problemelor inverse, atunci cînd se cunoaște re-

partiția de viteză pe contur și se cere rețeaua de profile.

Din analiza metodelor, a modului cum se pune problema, a posibilităților de rezolvare și a rezultatelor pe care le oferă în lucrare a fost folosită metoda ecuațiilor integrale, varianta îmbunătățită de Wilkinson /112/. Metoda a fost utilizată atât pentru soluționarea directă a curgerii potențiale în rețea (și prin particularizare la profile singulare) cât și la soluționarea problemelor de optimizare a rețelelor de profile. Metoda directă este dată în secțiunea următoare, iar metoda inversă în capitolul 4.

3.1.2 Calculul curgerii potențiale în rețea cu metoda ecuațiilor integrale

Fără a intra în demonstrații amănunțite se expune principiul metodei și relațiile utile de calcul pentru rețele de profile cu bord de fugă rotunjit /112, 45, 46, 116/.

Ecuația integrală a vitezei complexe pe conturul profilului din rețea poate fi pusă sub forma :

$$\bar{W}(z_0) = 2\bar{W}_\infty + 2 \int_{\mathcal{D}_0^+} \bar{W}(\zeta) e^{i\alpha} \bar{V}_r(z_0 - \zeta) d\zeta \quad (3.1.1)$$

în care $\bar{V}_r(z_0 - \zeta)$ reprezintă viteza indusă în punctul $z_0 \in \mathcal{D}_0^+$ de șirul infinit de vârtejuri de intensitate unitară plasate în punctele $\zeta \in \mathcal{D}_0^+$.

Cu notațiile

$$\begin{aligned} z_0(s_0) &= X(s_0) + iy(s_0) & , & \quad \zeta(s) = X(s) + iy(s) \\ e^{i\alpha} z_0 &= X(s_0) + iY(s_0) & , & \quad e^{i\alpha} \zeta = X(s) + iY(s) \end{aligned} \quad (3.1.2)$$

în care $(X(s_0), y(s_0))$ și $(X(s), y(s))$ sînt coordonatele punctelor z_0 și respectiv ζ față de sistemul de referință (X_0Y_0) legat de profil, iar $(X(s_0), Y(s_0))$ și $(X(s), Y(s))$ coordonatele aceluiași puncte față de sistemul de referință (X_0Y) , legat de rețea (fig.3.1.1). Prin câteva transformări simple, ale nucleului ecuației integrale (3.1.1), se obține

$$\begin{aligned} \bar{V}_r(z_0 - \zeta) &= V_{rx}(s_0, s) - iV_{ry}(s_0, s) = -\frac{1}{2i} \frac{\sin \frac{2\pi}{t} [Y(s_0) - Y(s)]}{\operatorname{ch} \frac{2\pi}{t} [X(s_0) - X(s)] - \cos \frac{2\pi}{t} [Y(s_0) - Y(s)]} - \\ &= \frac{1}{2t} \frac{\operatorname{sh} \frac{2\pi}{t} [X(s_0) - X(s)]}{\operatorname{ch} \frac{2\pi}{t} [X(s_0) - X(s)] - \cos \frac{2\pi}{t} [Y(s_0) - Y(s)]} \end{aligned} \quad (3.1.3)$$

Se introduce unghiul auxiliar φ pentru punctul fix z_0 , și ψ pentru punctul curent ζ , definit de coordonatele (3.1.2), $\varphi, \psi \in [0, 2\pi]$, și se exprimă vitezele complexe din (3.1.1) cu ajutorul componentelor din planul (X_0Y_0) , (fig.3.1.1). Luînd proiecțiile acestora în planul (X_0Ox) determinat de normala și

tangenta în punctul φ , din (3.1.1) se obține o ecuație integrală de forma

$$f(\varphi) - \frac{1}{\pi} \int_0^{2\pi} f(\psi) k(\varphi, \psi) d\psi = 2W_\infty \left(\frac{dx}{d\varphi} \cos \alpha_\infty - \frac{dy}{d\varphi} \sin \alpha_\infty \right) \quad (3.1.1)$$

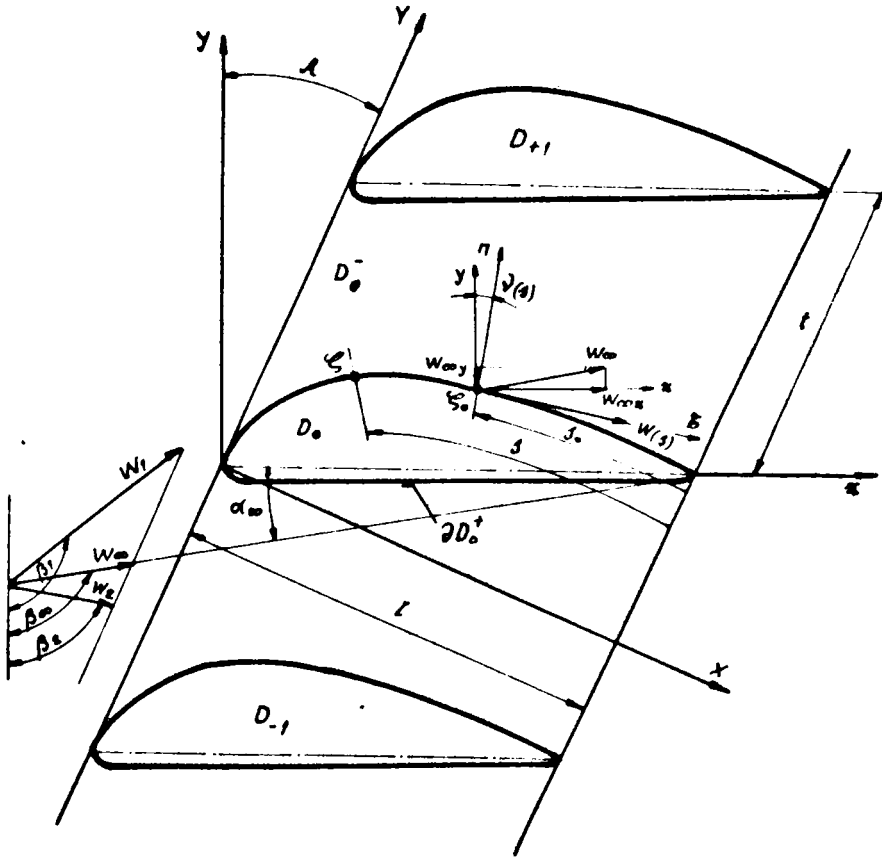


Fig.3.1.1 Rețeaua plană de profile. Descompunerea vitezelor pe conturul profilului . .

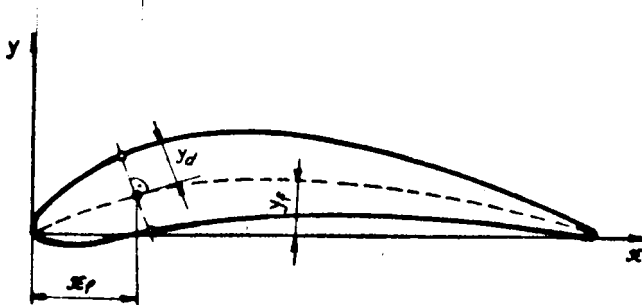


Fig.3.1.2 Reprezentarea coordonatelor profilului

Prin $f(\varphi)$, $f(\psi)$ și $K(\varphi, \psi)$ se înțeleg următoarele expresii :

$$f(\varphi) = W(s_0) \frac{ds_0}{d\varphi}, \quad f(\psi) = W(s) \frac{ds}{d\psi} \quad (3.1.5)$$

$$K(\varphi, \psi) = \frac{\pi}{t} \frac{\frac{dY}{d\varphi} \operatorname{sh} \frac{2\pi}{t} (X(\varphi) - X(\psi)) - \frac{dX}{d\varphi} \sin \frac{2\pi}{t} (Y(\varphi) - Y(\psi))}{\operatorname{ch} \frac{2\pi}{t} (X(\varphi) - X(\psi)) - \cos \frac{2\pi}{t} (Y(\varphi) - Y(\psi))} \quad (3.1.6)$$

Nucleul (3.1.6) este continuu deoarece aplicând de două ori succesiv teorema lui L'Hospital se obține

$$\lim_{\psi \rightarrow \varphi} K(\varphi, \psi) = k(\varphi, \varphi) = \frac{1}{2} \frac{X'(\varphi) Y''(\varphi) - Y'(\varphi) X''(\varphi)}{X'^2(\varphi) + Y'^2(\varphi)} \quad (3.1.7)$$

Efectuând integrarea ecuației (3.1.4), prin metoda trapezelor, în M puncte pe suprafața profilului, și introducând primul termen în însumare avem

$$\sum_{j=1}^M \bar{f}_j K_{ij} = -M(x_i' \cos d\alpha + y_i' \sin d\alpha), \quad i = \overline{1, M} \quad (3.1.8)$$

un sistem algebric liniar de M ecuații cu M necunoscute (\bar{f}_j). Prin \bar{f}_j se înțeleg mărimile adimensionale $\bar{f}_j = f_j / W_0$.

Aici

$$K_{ij} = \frac{\pi}{t} \frac{Y_i' \operatorname{sh} \frac{2\pi}{t} (X_i - X_j) - X_i' \sin \frac{2\pi}{t} (Y_i - Y_j)}{\operatorname{ch} \frac{2\pi}{t} (X_i - X_j) - \cos \frac{2\pi}{t} (Y_i - Y_j)} \quad (3.1.9)$$

$$K_{ii} = \frac{1}{2} \frac{X_i' Y_i'' - Y_i' X_i''}{X_i'^2 + Y_i'^2} - \frac{M}{2} \quad (3.1.10)$$

Martensen /55/ demonstrează relația de irotaționalitate,

$$\int_0^{2\pi} K(\varphi, \psi) d\varphi = 0 \quad (3.1.11)$$

care se aproximează prin

$$\frac{1}{M} \sum_{i=1}^M K_{ij} \frac{2\pi}{M} - 1 = 0, \quad j = \overline{1, M} \quad (3.1.12)$$

astfel că suma elementelor pe fiecare coloană a matricii K_{ij} a sistemului (3.1.8) este nulă. De asemenea, suma termenilor de după semnul egal al aceluiași sistem este nulă, deoarece

$$\sum_{i=1}^M x_i' = \int_0^{2\pi} x'(\varphi) d\varphi = 0, \quad \sum_{i=1}^M y_i' = \int_0^{2\pi} y'(\varphi) d\varphi = 0 \quad (3.1.13)$$

Integrarea prin metoda trapezelor este destul de precisă, cu excepția punctului $i = M + 2 - 1$ unde punctele de pe extrados

și intrados sînt opuse. Aici, integrantul are un vîrf îngust și aria va fi supraestimată. Ca să se depășească aceasta se folosește o valoare mai mică a elementelor $K_{i, M+2-i}$ dedusă din condiția de irotaționalitate (3.1.12), /45/, 112, 116/

$$K_{i, M+2-i} = - \sum_{n=1}^M K_{n, M+2-i}, \quad i = \overline{2, M}, \quad n \neq i \quad (3.1.14)$$

Considerînd setul complet de ecuații (3.1.8), din (3.1.12) o ecuație este o sumă liniară de toate celelalte, astfel că sistemul este liniar dependent. Acesta este cazul circulației arbitrare. Pentru a elimina aceasta se pune condiția E. Carafoli la bordul de fugă,

$$\bar{F}_1 = 0 \quad (3.1.15)$$

Astfel, se reduce numărul ecuațiilor și al necunoscutelor cu 1 (prima linie și coloană din (3.1.8) se elimină).

Dacă bordul de fugă are o rază de curbura mică ($\frac{r}{l} < 0,005$) atunci eroarea metodei crește foarte mult /45/, deoarece celelalte $M-1$ ecuații rămase tind către un sistem liniar dependent. Aceasta se datorează faptului că $\bar{r}_f \rightarrow 0$ implică $x'(0) \rightarrow 0$ și $y'(0) \rightarrow 0$, astfel că prima ecuație a sistemului (3.1.8) ținînd seama de (3.1.9) tinde să devină echivalentă cu (3.1.12). Această dificultate a fost înlăturată în diferite moduri, Jacob /45/, Jacob și Riegels /46/, Wilkinson /112/. Analizînd aceste soluții, varianta propusă de Wilkinson este cea mai convenabilă. Pentru a elimina încă una din ecuațiile (3.1.8) se face o ipoteză suplimentară, încărcarea în punctul cel mai apropiat de bordul de fugă a fost considerată nulă /112/,

$$\bar{F}_M = -\bar{F}_2 \quad (3.1.16)$$

În acest fel ultima coloană din sistemul de ecuații (3.1.8) rămas a fost scoasă din prima și ultima linie și coloană eliminată, rămînînd $M-2$ ecuații.

Ecuația (3.1.16) nu înlocuiește condiția Carafoli la bordul de fugă, ci încărcarea este considerată zero atît în bordul de fugă cît și în punctul imediat următor. Aceasta afectează în măsură foarte mică portanța și rezultatele obținute sînt bune.

Distribuția punctului fix este recomandată /112/ să fie definită pe schelet, prin

$$\frac{x_f}{l} = \frac{1}{2} (1 + \cos \varphi), \quad \varphi \in [0, 2\pi] \quad (3.1.17)$$

Coordonatele punctelor fixe de pe suprafața profilului se obțin din intersecția normalelor duse la schelet, în punctele de-

finite de (3.1.17), și suprafața profilului (fig.3.1.3).

Soluționarea sistemului de ecuații (3.1.8) ținând seama de (3.1.14) și condițiile (3.1.15) și (3.1.16) se poate face în două situații

$$a. \alpha = 0 \Rightarrow \sum_{j=2}^{M-1} \bar{f}_{aj} K_{ij} = -M x_i' \quad (3.1.18)$$

$$b. \alpha = \frac{\pi}{2} \Rightarrow \sum_{j=2}^{M-1} \bar{f}_{bj} K_{ij} = -M y_i' \quad i = \overline{2, M-1} \quad (3.1.19)$$

Rezolvarea sistemelor de ecuații (3.1.18) și (3.1.19), prin folosirea unor procedee matematice cunoscute, ne oferă soluțiile

\bar{f}_{aj} și \bar{f}_{bj} astfel că distribuția vitezei potențiale pe suprafața profilului se obține din,

$$\frac{U}{W_\infty} \left(\frac{x_f}{l} \right) = U_{e1} \left(\frac{x_f}{l} \right) \cos \alpha + U_{e2} \left(\frac{x_f}{l} \right) \sin \alpha \quad (3.1.20)$$

unde

$$U_{e1} = \frac{\bar{f}_{aj}}{\sqrt{x_j^2 + y_j^2}}, \quad U_{e2} = \frac{\bar{f}_{bj}}{\sqrt{x_j^2 + y_j^2}} \quad (3.1.21)$$

Coefficientul de portanță al rețelei este dat de

$$C_{ar} = C_{a1} \cos \alpha + C_{a2} \sin \alpha \quad (3.1.22)$$

unde

$$C_{a1} = \frac{4\pi}{M} \sum_{j=2}^{M-1} \bar{f}_{aj}, \quad C_{a2} = \frac{4\pi}{M} \sum_{j=2}^{M-1} \bar{f}_{bj} \quad (3.1.23)$$

Unghiurile la intrare și ieșire din rețea se determină din relațiile /86/, 116/

$$\operatorname{tg} \beta_{1,2} = \frac{1}{\operatorname{tg}(\alpha + \alpha_0) \pm \frac{C_{ar}}{4 t/l \cos(\alpha + \alpha_0)}} \quad (3.1.24)$$

3.1.3 Cazul profilului singular

Metoda /112/ din secțiunea 3.1.2 poate fi folosită, prin particularizare, la calculul distribuției de viteză în prezența profilului izolat. În acest caz $K(\varphi, \psi)$ nucleul ecuației integrale se obține din (3.1.6) trecând la limită pentru $t \rightarrow \infty$, sau $\frac{x}{t} \rightarrow 0$, rezultând:

$$K(\varphi, \psi) = \frac{\frac{dy}{d\varphi}(x(\varphi) - x(\psi)) - \frac{dx}{d\varphi}(y(\varphi) - y(\psi))}{(x(\varphi) - x(\psi))^2 - (y(\varphi) - y(\psi))^2} \quad (3.1.25)$$

Expresia (3.1.7) pentru $K(\varphi, \psi)$ rămâne aceeași dacă coordonatele (X, Y) se înlocuiesc cu coordonatele (x, y) . Astfel, devin utile următoarele relații:

$$K_{ij} = \frac{y_i'(x_i - x_j) - x_i'(y_i - y_j)}{(x_i - x_j)^2 + (y_i - y_j)^2} \quad (3.1.26)$$

$$K_{ii} = \frac{x_i' y_i'' - y_i' x_i''}{x_i'^2 + y_i'^2} - \frac{M}{2} \quad (3.1.27)$$

Condiția E. Carafoli (3.1.15) la bordul de fugă rămâne valabilă. De asemenea și ipoteza (3.1.16). Distribuția punctului fix se definește la fel, cu relația (3.1.17), iar elementele $K_{i, M+2-i}$ se recalculază cu relația (3.1.14).

Soluționarea sistemului algebric de ecuații (3.1.8) se face în cele două situații, (3.1.18) și (3.1.19), astfel că rămân valabile expresiile (3.1.20) și (3.1.22) ale distribuției de viteză pe suprafața profilului și respectiv a coeficientului de portanță.

3.1.4 Aspecte privind soluționarea numerică

Precizia de calcul a metodei depinde de evaluarea numerică a integralei. În /45/ se indică $M > 24$, Wilkinson /112/ recomandă un număr $M = 32$ puncte pe suprafața profilului, care sînt suficiente pentru a obține rezultate destul de precise. Aceasta înseamnă că în (3.1.18) și (3.1.19) avem 30 de ecuații cu 30 de necunoscute. Soluțiile acestor sisteme de ecuații sînt posibil de obținut numai cu ajutorul unor tehnici moderne de calcul. În acest scop a fost realizat un program în limbaj BASIC pentru un calculator Hewlett-Packard HP 9845 S avînd memoria operativă a 62650 bytes.

Relațiile de calcul fiind simple nu dau dificultăți în programare, însă metoda prezintă două inconveniente :

a. coordonatele punctelor de pe suprafața profilului se calculează fiind obținute așezînd funcția de grosimi după normala la schelot (fig.3.1.2) și

b. calculul derivatelor de ordinul întâi din expresia nucleului (3.1.9) sau (3.1.26) și mai ales al derivatelor de ordinul doi din (3.1.10) sau (3.1.27).

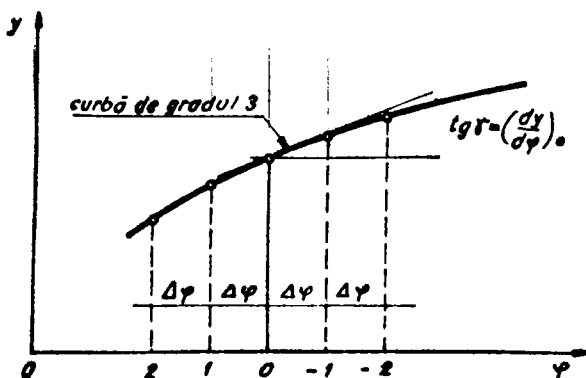
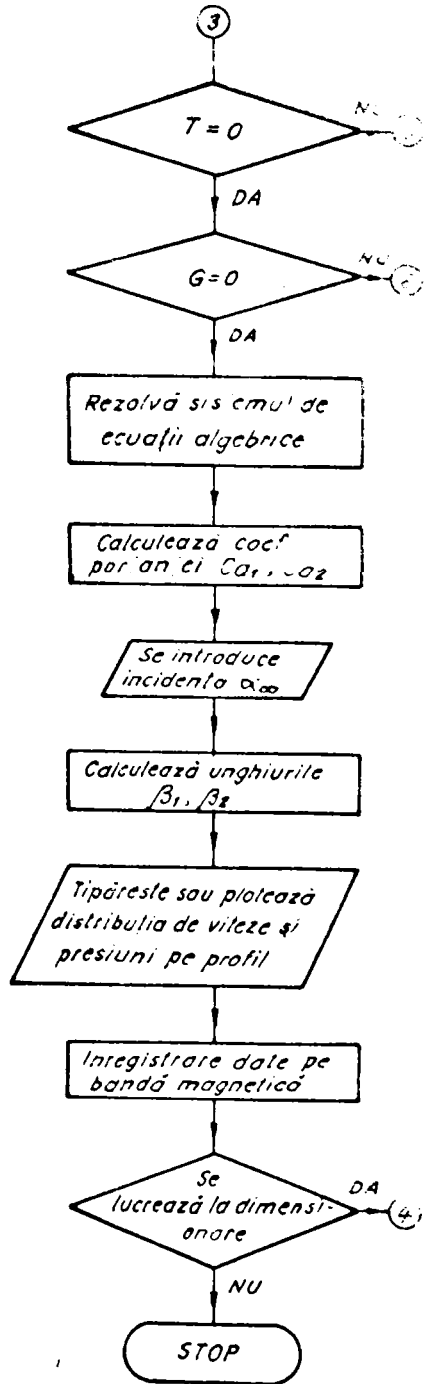
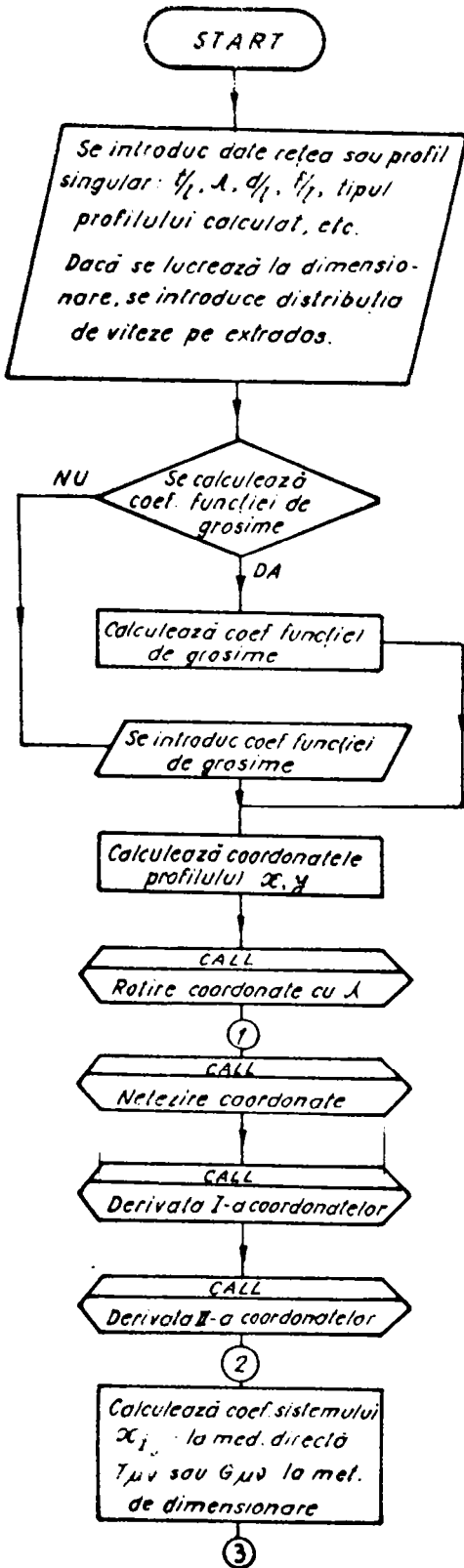
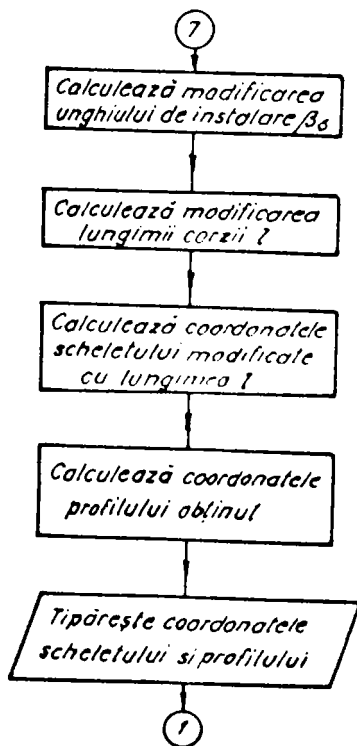
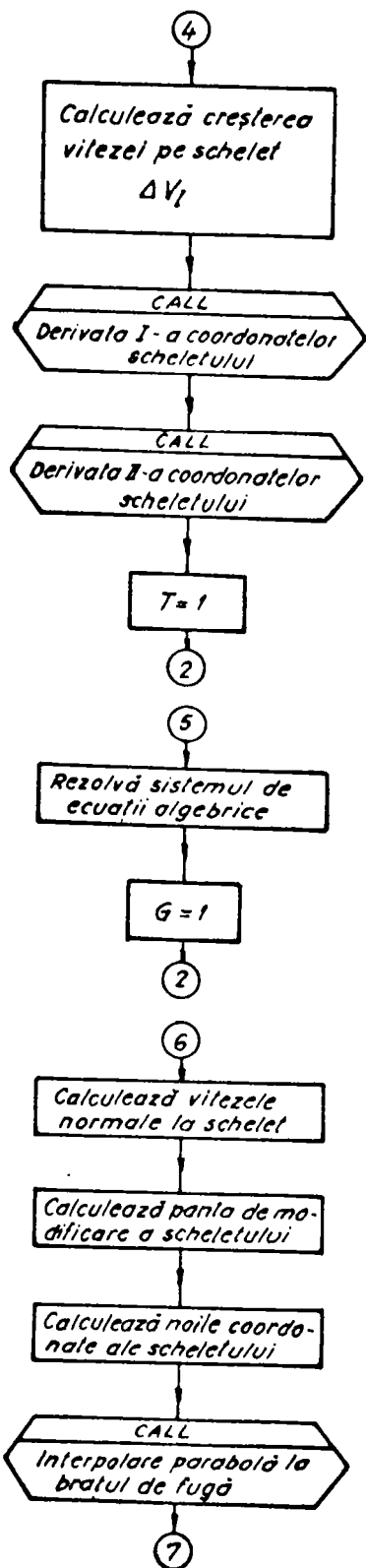


Fig.3.1.3 Calculul derivatelor



Schema de principiu a organizării programului de soluționare directă și inversă a curgerii potențiale.



Observație: partea de dimensionare a metodei este expusă în Sec. 4.6

Avînd în vedere exprimarea punctelor fixe în funcție de unghiul auxiliar φ , suprafața profilului poate fi considerată ca o funcție periodică cu perioada 2π . În acest caz, ducînd o curbă de gradul trei prin cinci puncte (fig.3.1.3) derivata întîi poate fi calculată numeric din aceasta /112/,

$$\left(\frac{dy}{d\varphi}\right)_0 = \frac{1}{12\Delta\varphi} [8(y_1 - y_1) - (y_2 - y_2)] \quad (3.1.28)$$

Folosind același procedeu și pentru derivata a doua, însă în construirea funcției din fig.3.1.3 luînd expresia (3.1.28) prin derivare se obține

$$\left(\frac{d^2y}{d\varphi^2}\right)_0 = \frac{1}{144\Delta\varphi} [-130y_0 + 16(y_1 - y_1) + 64(y_2 - y_2) - 16(y_3 - y_3) + (y_4 + y_4)] \quad (3.1.29)$$

Relațiile (3.1.28) și (3.1.29) sînt mai puțin sensibile la erori decît alte metode, ca de exemplu polinoamele Fourier, des folosite în practică. Prin aceasta a fost îmbunătățită precizia rezultatelor.

Înainte de a calcula derivatele cu relațiile (3.1.28) și (3.1.29) este de preferat să se facă o netezire a ordonatelor coordonatelor. Aceasta poate fi făcută prin trasarea unei parabole prin metoda a celor mai mici pătrate și înlocuind ordonata punctului din centru cu valoarea ordonatei parabolei. Astfel, se obține

$$(y_0)_{net} = \frac{1}{12} [6y_0 + 4(y_1 - y_1) - (y_2 - y_2)] \quad (3.1.30)$$

Expresia (3.1.30) reduce erorile la mai mult de jumătate din valoarea lor originală.

Modificarea reprezentării profilelor

În cele mai multe cazuri profilele se obțin prin așezarea distribuției de grosimi după normala la coardă (cu excepția profilelor NACA) sau pur și simplu prin valori discrete ale coordonatelor extradadosului și intradosului. Utilizarea coordonatelor în acest mod duce la erori mari în calculul soluțiilor, în deosebi în zona bordului de atac. Pentru a depăși această dificultate am elaborat un procedeu simplu prin care se recalculează scheletul și distribuția de grosimi, astfel ca același profil să fie reprezentat așezînd noua distribuție de grosimi după normala la noul schelet.

Presupunînd cunoscute, într-un punct dat x_0 , ordonatele extradadosului y^+ și intradosului y^- după normala la coarda profilului n , se admite că bisectoarea unghiului format de tangentele la profil în punctul considerat este tangentă la noul schelet (fig. 3.1.4). De asemenea, se admite că normala la bisectoare în punctul considerat pînă la intersecția cu tangentele la profil ne definește

noua grosime a profilului.

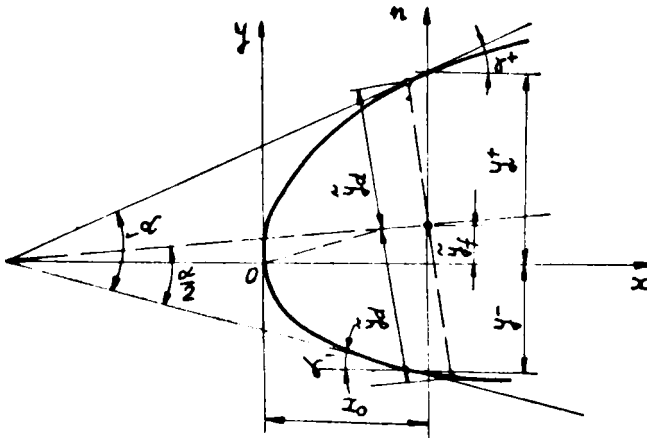


Fig.3.1.4 Modificarea reprezentării profilului
Cu următoarele notații

$$\operatorname{tg} \gamma^+ \cdot \frac{dy^+}{dx} , \operatorname{tg} \gamma^- \cdot \frac{dy^-}{dx} , \alpha = \gamma^+ - \gamma^- \quad (3.1.31)$$

$$B = \frac{y^+ - y^-}{\operatorname{tg} \gamma^+ - \operatorname{tg} \gamma^-} \quad (3.1.32)$$

ordonata aproximativă a noului schelet \tilde{y}_f și grosimea aproximativă \tilde{y}_d normală la scheletul obținut au următoarele expresii

$$\tilde{y}_f = y^- + B \left[\operatorname{tg} \left(\frac{\alpha}{2} + \gamma^- \right) - \operatorname{tg} \gamma^- \right] \quad (3.1.33)$$

$$\tilde{y}_d = \frac{B}{\cos \left(\frac{\alpha}{2} + \gamma^- \right)} \operatorname{tg} \frac{\alpha}{2} \quad (3.1.34)$$

Procedeul propus a fost verificat pe două profile având curbură diferite, NACA 4412 și NACA 8410. La primul profil erorile au fost nesemnificative. În al doilea caz s-au obținut aceleași rezultate cu excepția unei distanțe foarte mici față de bordul de atac ($\sim 2,5\%$ din coardă) unde eroarea maximă relativă a fost în jur de 2% . Având în vedere că în această zonă avem un singur punct, în care se calculează viteza potențială, eroarea de 2% a ordonatei profilului nu poate afecta cu nimic distribuția de viteză pe profil.

Deși aproximativ, procedeul arătat este simplu de aplicat și oferă rezultate bune în cazul unor profile cu curbură moderate, utilizate, mai ales, la mașinile hidraulice axiale.

Un calcul asupra distribuției de viteză pentru profilul

NACA 84le reprezentat în două situații, cu distribuția de grosimi dispusă după normala la schelet și cu distribuția dispusă după normala la coardă (reprezentarea profilului fiind modificată cu procedeul de mai sus), a condus la diferențe nesemnificative în distribuțiile coeficientului de presiune în lungul profilului. În schimb, introducerea ordonatelor după normala la coardă în expresiile (3.1.9) și (3.1.10) au condus la erori mari în valorile distribuției de viteză și mai ales în forma acesteia. De aici, rezultă că metoda ecuațiilor integrale, este foarte sensibilă la modul de reprezentare a profilului.

3.1.5 Comparații cu experimentul. Analiza rezultatelor și concluzii

Metoda ecuațiilor integrale /112/ (Sect. 3.1.2) a fost folosită la calculul potențial al distribuțiilor de viteză și al caracteristicilor energetice pentru un număr mare de rețele formate cu profilele MHT-1-12 % și NACA 84le încercate experimental, în vederea determinării parametrilor stratului limită, respectiv a pierderilor hidraulice.

Profilul MHT-1-12 % dispus în rețea a fost încercat de V. Anton /6/ în cadrul stațiunii de rețele de profile a laboratorului de cercetări pentru mașini hidraulice din Timișoara. Profilul NACA 84le a fost studiat experimental de Speidel și Scholz /93/ în cadrul laboratorului din Braunschweig.

Geometriile celor două profile, MHT-1-12 % (fig.3.1.5) și NACA 84le (fig.3.1.6), se caracterizează prin (a doua valoare corespunde profilului NACA 84le) :

- curbura maximă $\frac{f}{l} = 2,59\%$; 8 %
- poziția curburii maxime 47,5 % ; 40 %
- grosimea maximă $\frac{d}{l} = 12\%$; 10 %
- poziția grosimii maxime $\frac{2d}{l} = 30\%$; 30 %

Coordonatele profilului MHT-1-12 % /6/ fiind date după normala la coardă, în calcule a fost necesară modificarea acestora după normala la schelet (sect.3.1.4). De asemenea, la încercări unghiul de instalare β_s a fost considerat față de tangenta la intrados, ceea ce constituie o abatere de $3^{\circ}50'$ față de coarda profilului. În calcul s-a ținut seamă de această abatere.

Pentru profilul MHT-1-12 % calculele s-au efectuat la două valori ale pasului relativ ($\frac{f}{l} = 0,75$; 1), la fiecare valoare fiind considerate patru valori ale unghiului de instalare ($\beta_s = 30^{\circ}$, 60° , 90° , 120°). În mod asemănător, pentru profilul NACA 84le s-au luat $\frac{f}{l} = 0,75$; 1 și 1,25 și respectiv $\beta_s = 30^{\circ}$, 60° , 90° .

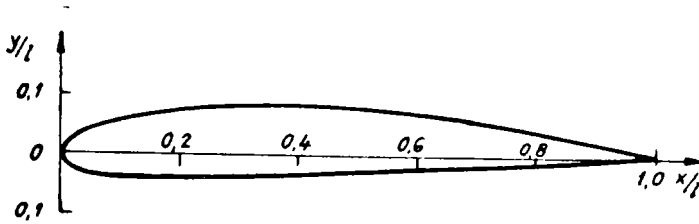


Fig.3.1.5 Profilul MHT-1-12 %

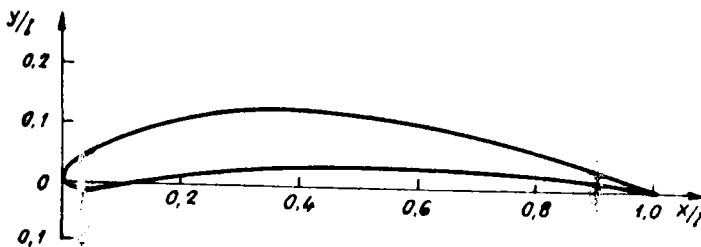


Fig.3.1.6 Profilul NACA 8410

În fig.3.1.7 și fig.3.1.8 sînt prezentate variațiile coeficientului de portanță potențial C_{ar} cu unghiul de intrare β_1 . De asemenea, comparativ, sînt figurate valorile acestor coeficienți obținute experimental, după /6/ și respectiv /93/. În fig.3.1.9 - 3.1.14 pentru rețeaua de profile MHT-1-12 % și fig.3.1.15 - 3.1.16 pentru rețeaua de profile NACA 8410 sînt date comparații între distribuțiile de presiuni pe profil obținute teoretic și experimental.

Din analiza rezultatelor obținute pot fi formulate următoarele concluzii :

a. Coeficienții de portanță calculați pentru profilul MHT-1-12 % urmează destul de bine valorile experimentale pentru toate cazurile considerate (fig.3.1.7).

b. Pentru profilul NACA 8410 (fig.3.1.8) la $\beta_5 = 30^\circ$ și 90° există o bună concordanță între coeficienții de portanță calculați și experimentali, în schimb la $\beta_5 = 60^\circ$ valorile calculate sînt mai mari decît valorile experimentale (în special la $\frac{t}{c} = 1$ și 1,25). S-ar putea ca la acest unghi de instalare influența stratului limită asupra curgerii potențiale să fie mai importantă decît pentru alte valori.

c. Comparațiile dintre distribuțiile de presiuni (fig.3.1.9 - 3.1.16), calculate și experimentate, arată, în general, o bună corelare. Abateri mai importante (profilul MHT-1-12 %) s-au obținut

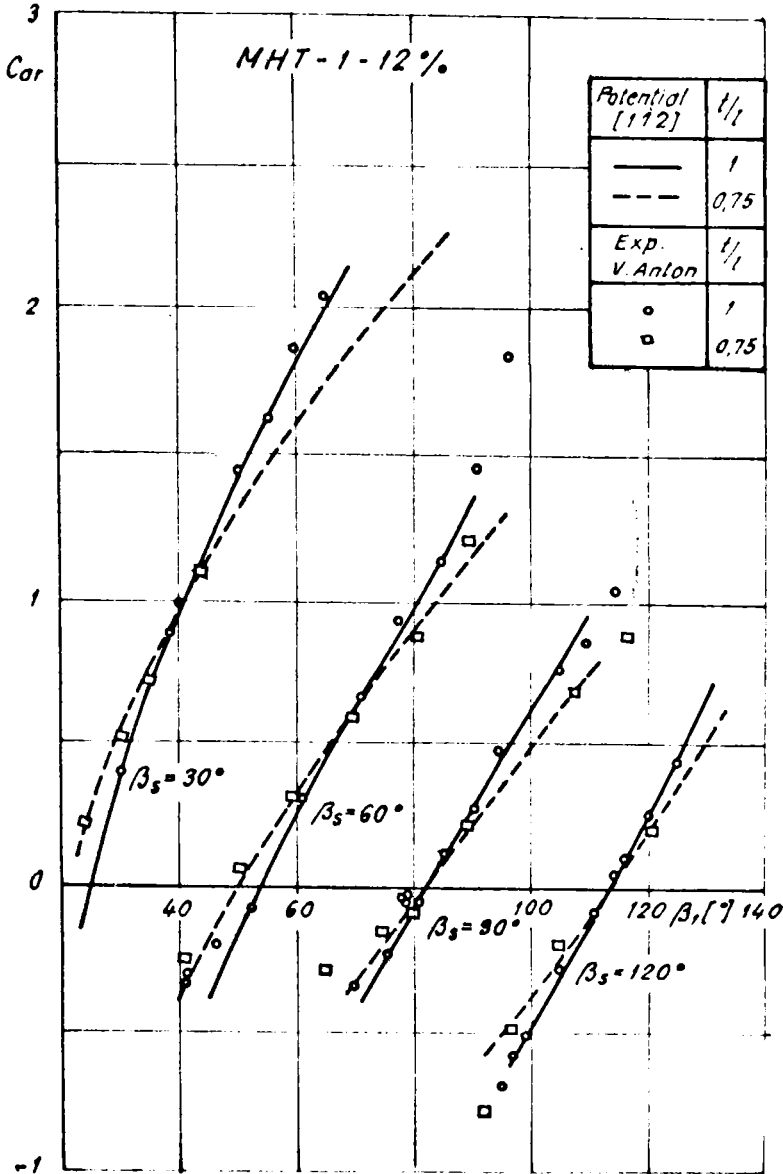


Fig.3.1.7 Variația coeficientului de portanță potențial cu unghiul de intrare pentru profilul MHT-1-12%

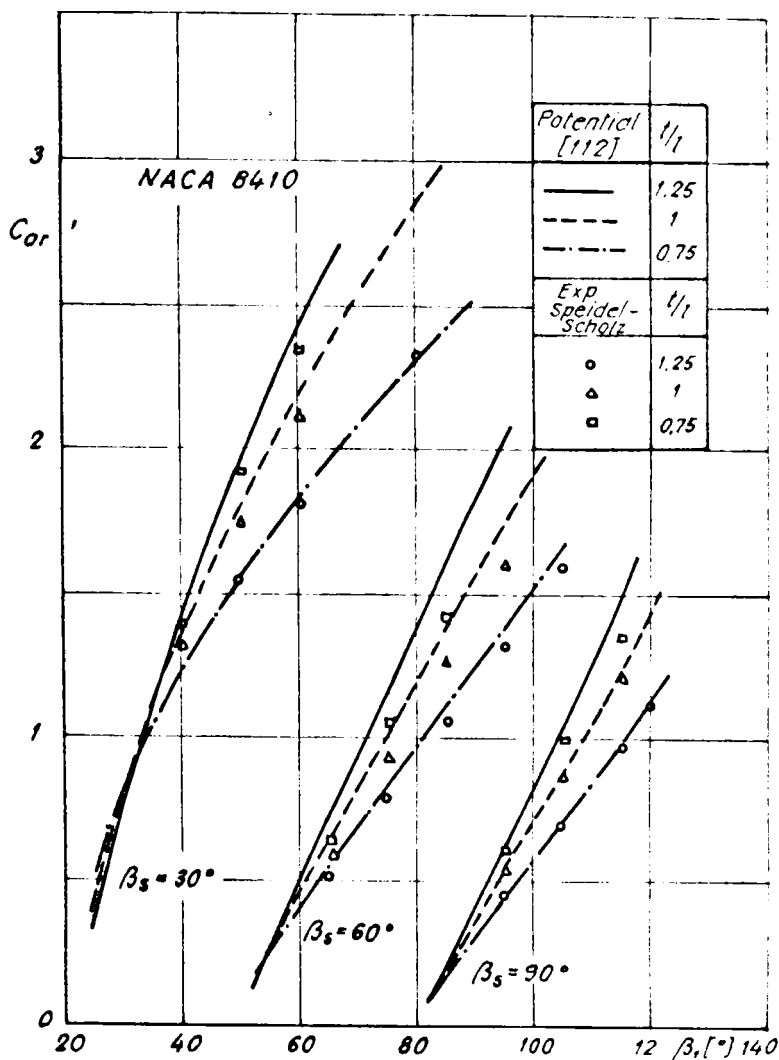


Fig.3.1.8 Variația coeficientului de portanță potențial cu unghiul de intrare pentru profilul NACA 8410

la valori ale unghiului de instalare $\beta_s = 9^\circ$ (fig.3.1.10 d) și $\beta_s = 12^\circ$ (fig.3.1.11 e și fig.3.1.14 b). Este posibil ca aceste abateri să fie rezultatul apariției desprinderii stratului limită, pe extrados la valori mari ale unghiului de intrare (fig.3.1.10 d), sau pe intrados la valori mici ale unghiului de intrare (fig. 3.1.11 e și fig.3.1.14 b). Calcularele (sect.3.2.4) au arătat că în aceste cazuri apare o desprindere aproape totală a stratului li-

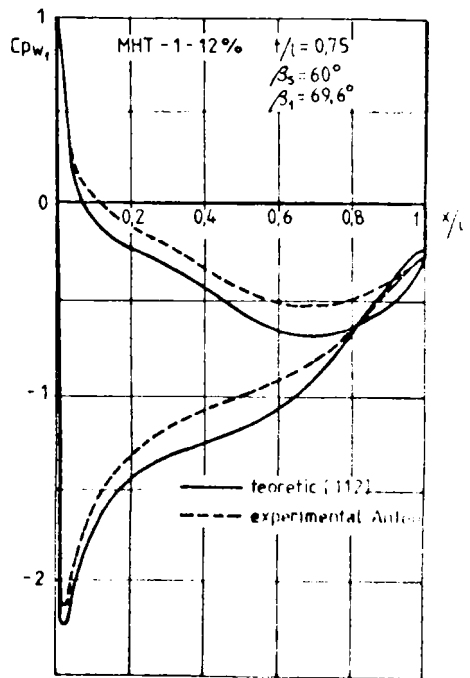
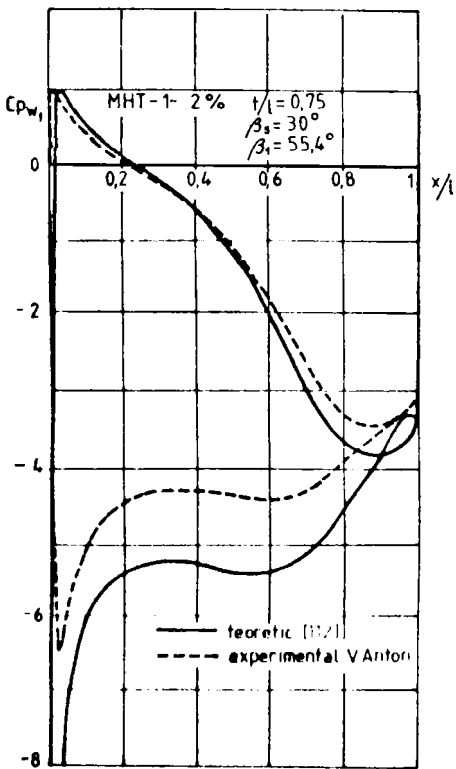
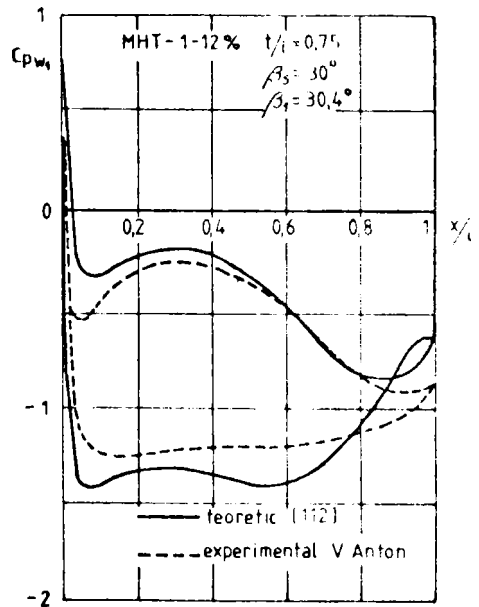
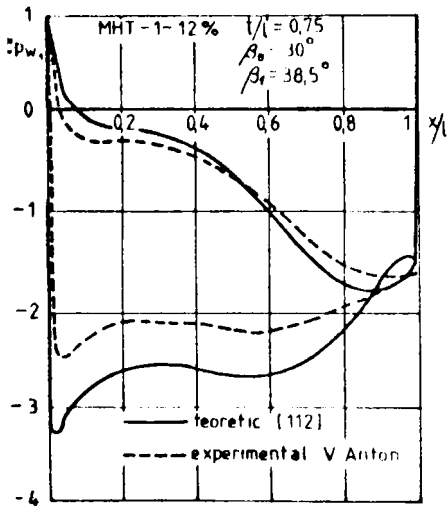
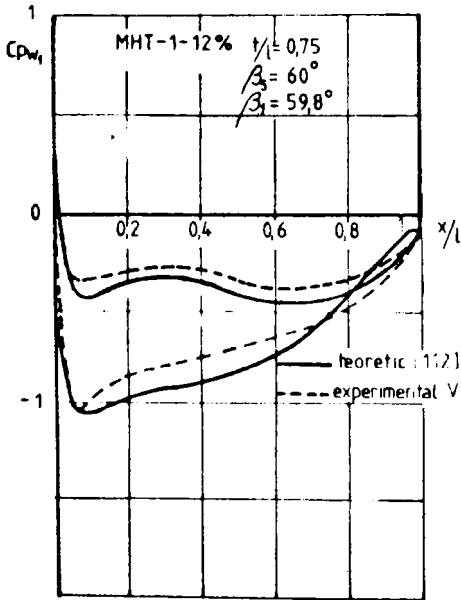
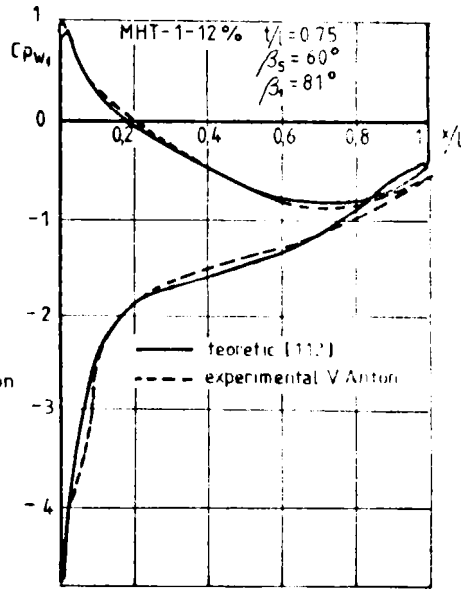


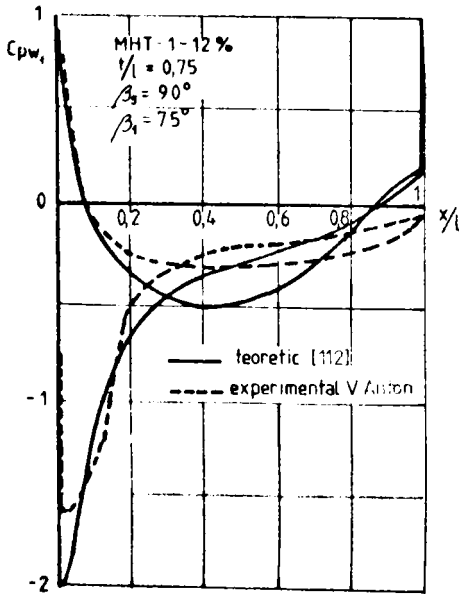
Fig. 3.1.9 Distribuții de presiuni pe profilul MHT-1-12%



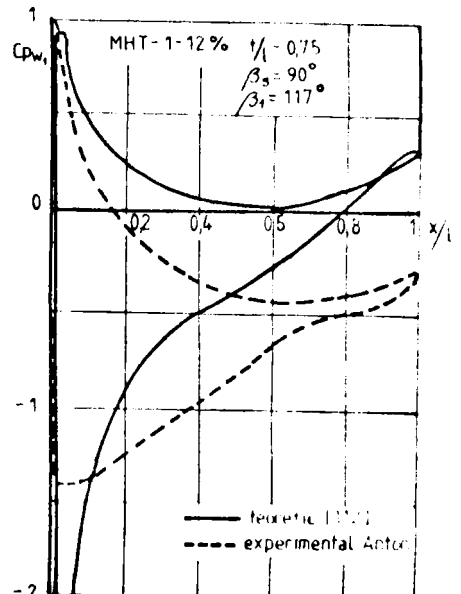
a



b



c



d

Fig. 3.1.10 Distribuția de presiuni de profilul num 1.124

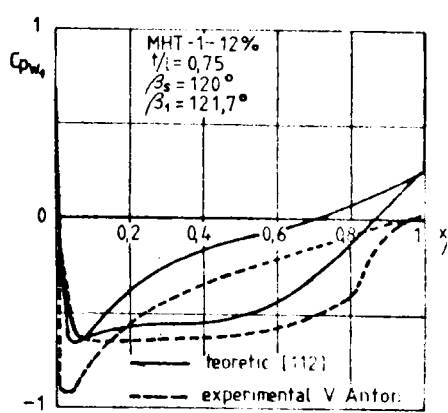
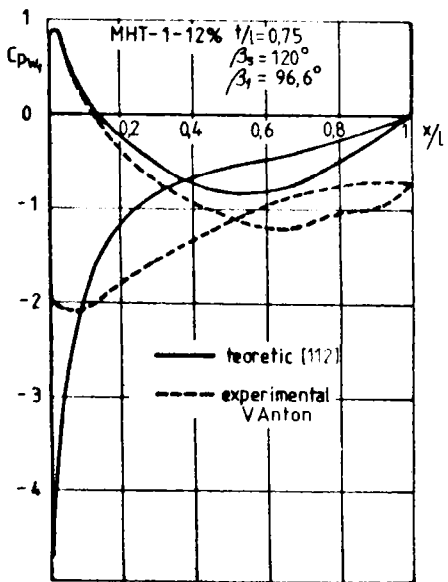
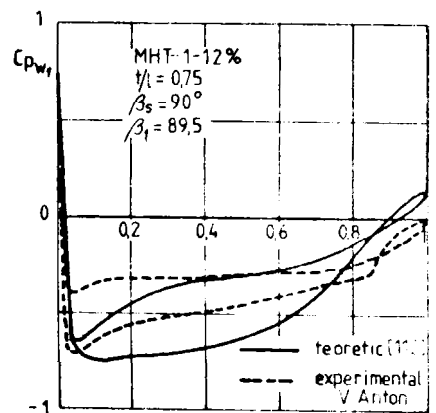
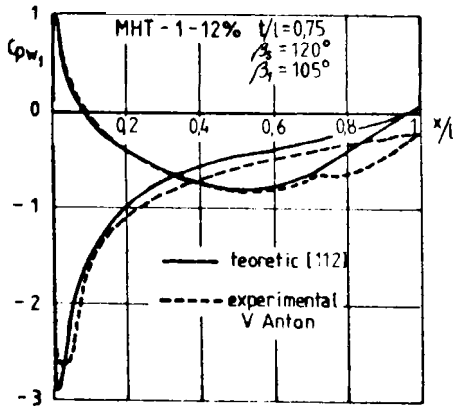


Fig.3.1.11 Distribuții de presiuni pe profilul MHT-1-12%

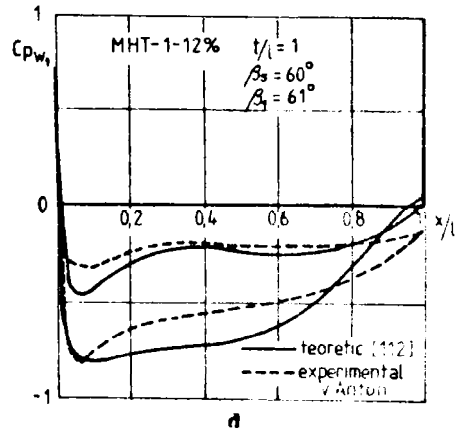
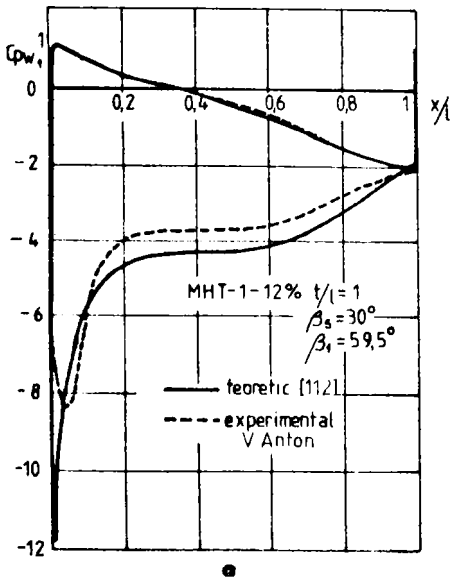
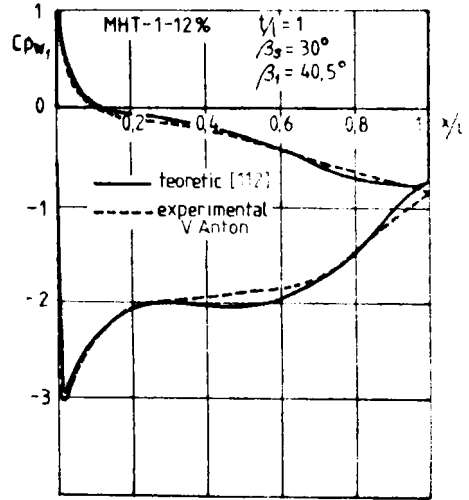
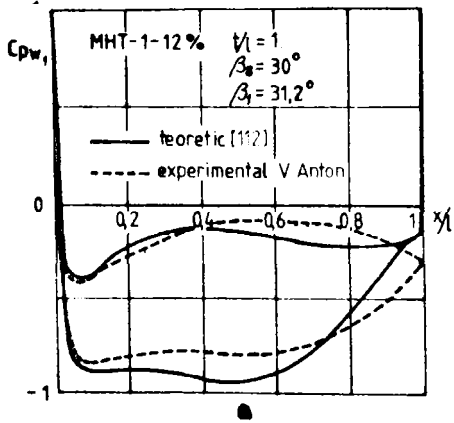


Fig. 3.1.12 Distribuția de presiuni pe profilul MHT-1-12%

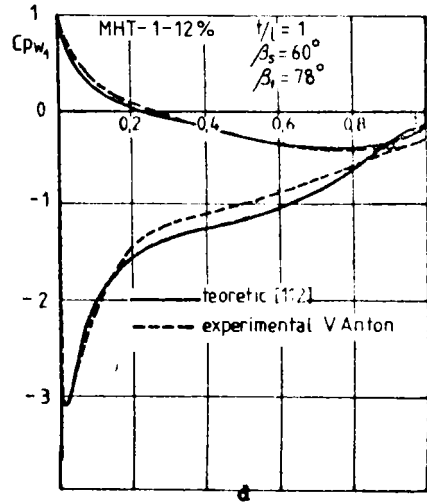
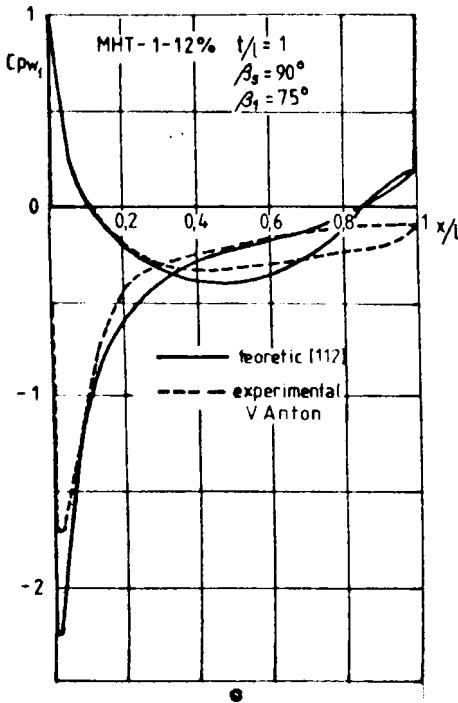
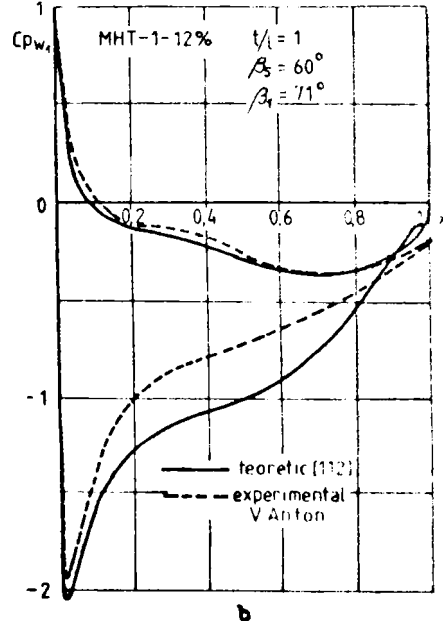
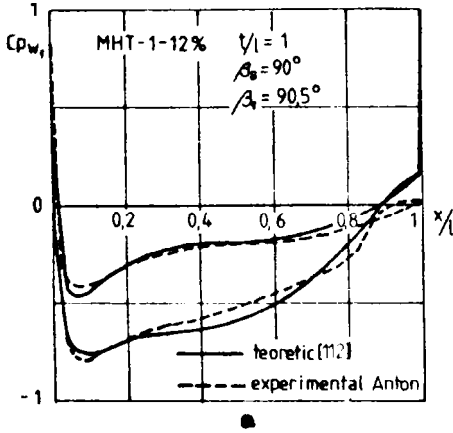


Fig. 3.1.15 Distribuții de presiuni pe profilul MHT-1-12%

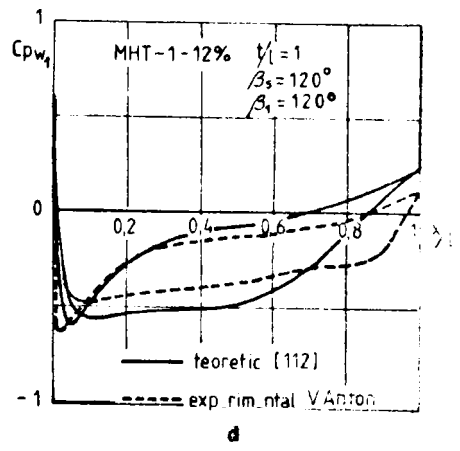
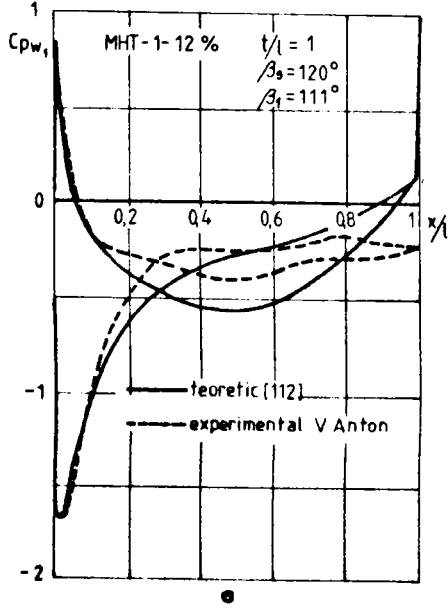
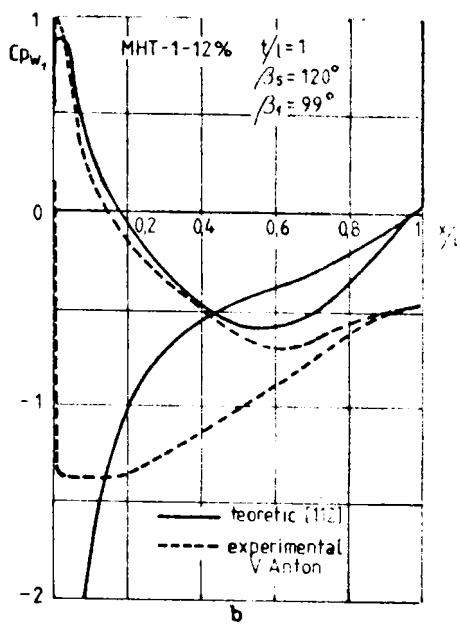
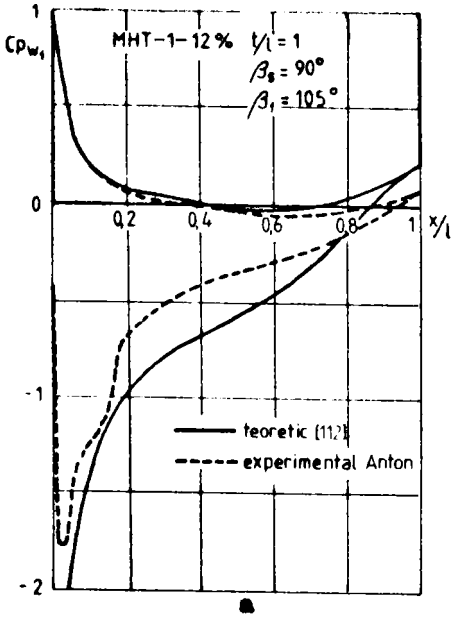


Fig. 3.1.14 Distribuții de presiuni pe profilul MHT-1-12%

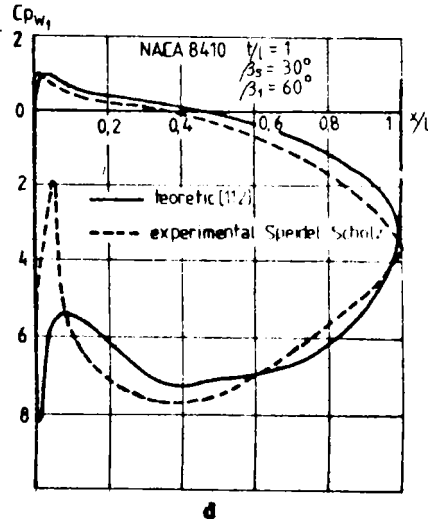
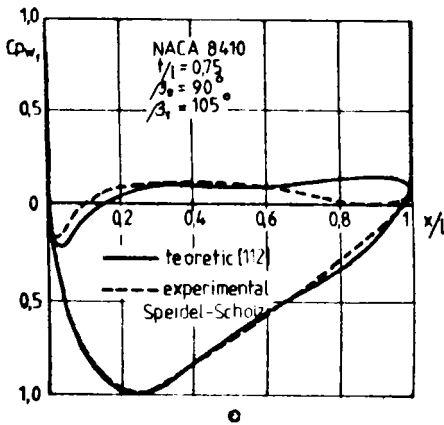
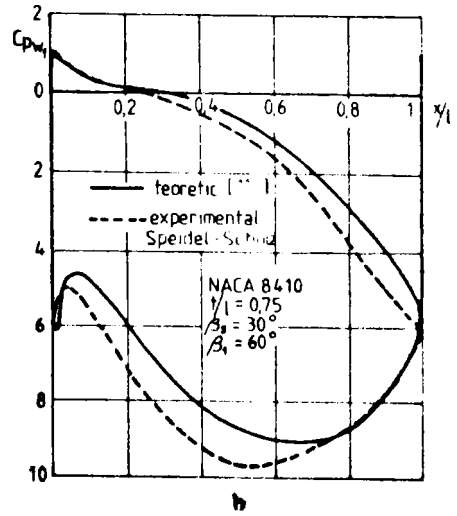
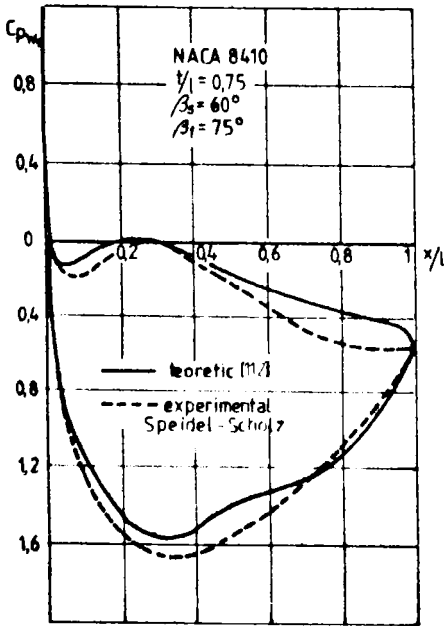


Fig. 9.1.15 Distribuții de presiuni pe profilul NACA 8410

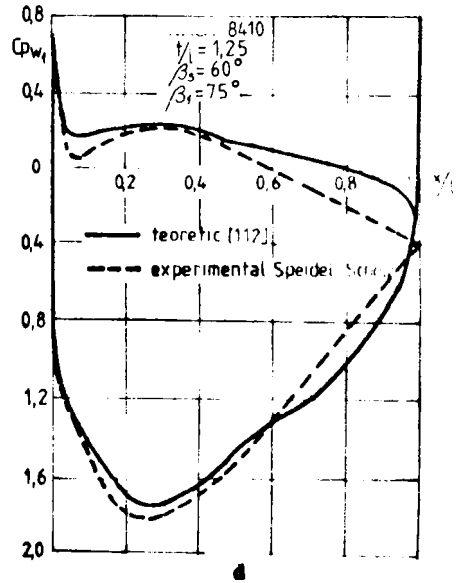
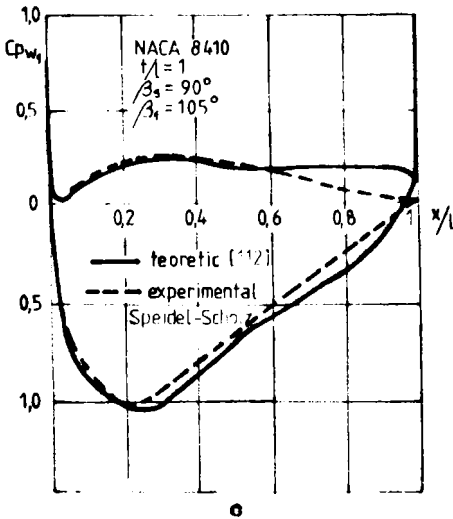
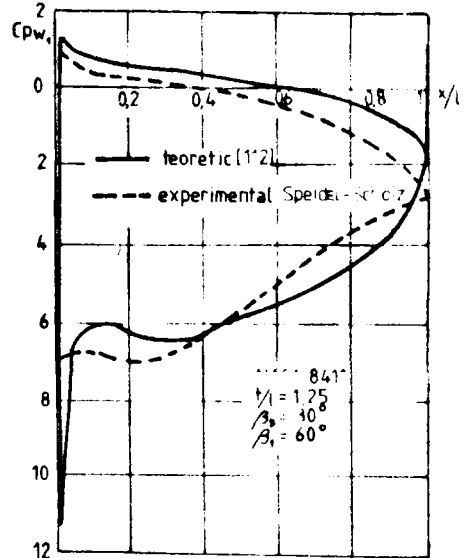
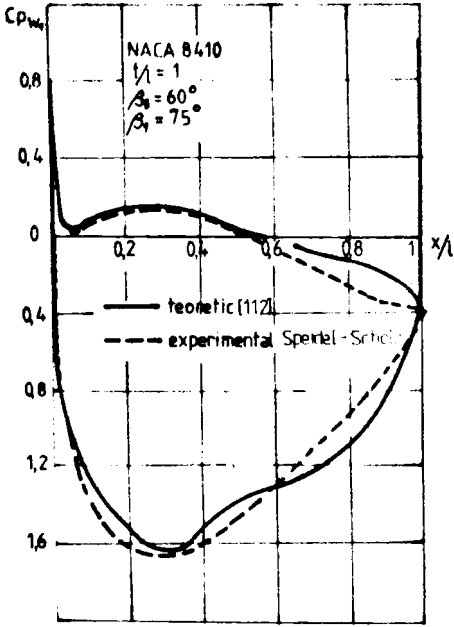


Fig. 3.1.16 Distribuția de presiuni pe profilul NACA 8410

mită, pe extradosul sau intradosul profilului (foarte aproape de bordul de atac), datorită unor gradienti mari de presiune.

Ca o concluzie generală, rezultatele obținute ne arată că soluționarea curgerii potențiale din rețea, cu metoda Wilkinson /112/(sect.3.1.2), se face cu o acuratețe suficient de bună, care justifică alegerea metodei.

3.2 Calculul stratului limită în lungul suprafeței profilului

În general, este acceptat faptul că atât stratul limită laminar cât și stratul limită turbulent, incompresibil și bidimensional, poate fi calculat cu suficientă precizie pentru scopuri ingineresti, de interes în turbomașini.

Mărimile care ne interesează la calculul pierderilor hidraulice în rețele plane de profile sînt : grosimea de eliminare δ_1 , grosimea pierderilor de impuls δ_2 și un parametru de formă care trebuie privit ca un criteriu de desprindere a stratului limită (cel mai des folosit este parametrul de formă al profilului vitezei din stratul limită H_{12})'.

3.2.1 Considerații asupra metodelor de calcul

Cercetările efectuate asupra stratului limită laminar au scos în evidență faptul că acesta poate fi calculat cu ajutorul a numai două ecuații integrale care pot înlocui ecuațiile diferențiale cu derivate parțiale. Pentru stratul limită turbulent problema devine mai dificilă deoarece în ecuația diferențială (2.1.4) intervine o parte necunoscută care trebuie obținută din experiment. Deci este necesară o ecuație suplimentară, care poate fi adăugată sistemului de ecuații numai dacă proprietățile turbulenței sînt considerate ca proprietăți ale curgerii. În aceste condiții ecuațiile stratului limită turbulent sînt condiționat semiempirice. Pentru ca și stratul limită turbulent să fie soluționat, într-o manieră asemănătoare stratului limită laminar, au fost necesare unele ipoteze asupra profilului vitezei în stratul limită și să fie deduse legi pentru mărimile care conțin proprietățile turbulenței (prezentate în secțiunea 2.5)'.
Dezvoltarea metodelor de calcul a stratului limită s-a făcut după două direcții :

a. Metode diferențiale sau de cîmp

Acestea implică ecuațiile diferențiale cu derivate parțiale (2.1.4) și (2.1.5), soluționarea făcîndu-se printr-o schemă echivalentă cu diferențe finite'.

Pentru stratul limită laminar astfel de metode sînt date

in Rosenhead /79/, Cebeci și Bradshaw /27/. In cazul stratului limită turbulent metodele s-au dezvoltat în funcție de formularea ecuației de închidere a sistemului și care conține proprietățile turbulenței. Această ecuație poate fi ecuația energiei cinetice turbulente, sau o formulă a lungimii de amestec, sau o formulă a vâscozității turbulente (eddy). O metodă de referință este dată de Bradshaw și alții /15, 16, 18/.

Soluționarea numerică a ecuațiilor cu derivate parțiale necesită scheme complicate de calcul și un volum mare de muncă /18/. In plus, ipotezele care se fac asupra proprietăților turbulenței nu pot ridica cu mult acuratețea metodelor și deci nu pot fi mai precise decât ecuațiile integrale. De asemenea, trebuie avut în vedere faptul că soluționarea stratului limită constituie numai o parte din problema care necesită a fi rezolvată și deci calcule prea lungi nu sînt de dorit. Din acest motiv metodele diferențiale nu sînt utilizate în aplicații ingineresti.

b. Metode integrale

Metodele integrale sînt bazate pe soluționarea numerică a unor sisteme de ecuații integrale. Acestea sînt mult mai avantajoase pentru aplicații practice, datorită ușurinței cu care pot fi minuite și volumului mai mic de calcule, cu toate că ne oferă mărimile globale ale stratului limită.

Rosenhead /79/ face o prezentare a unor metode pentru stratul limită laminar, cu unul sau doi parametri: Pelhausen, Wals, Timman, Thwaites, Wiegart, etc. Analiza făcută asupra acestor metode, comparativ cu soluții exacte ale stratului limită și date experimentale, a scos în evidență rezultatele bune obținute cu metoda Thwaites'. Această metodă este recomandată și de Cebeci și Bradshaw /27/. Rezultate satisfăcătoare se pot obține cu metodele Tani /97/, I. Anton și D. Ionescu /43/ și Truckenbrodt /102, 103/.

Dezvoltarea metodelor integrale pentru calculul stratului limită turbulent s-a făcut în moduri diferite, ținînd seama de ecuația integrală specifică care împreună cu ecuația integrală a impulsului formează sistemul de ecuații. O clasificare a metodelor este dată în /75/ :

- metode ale disipației integrale, bazate pe ecuația integrală a energiei (2.2.2), propuse în principal de Roitza și Wals'. cea mai utilizată este metoda Truckenbrodt /102/. Aceasta a fost îmbunătățită de Scholz /87/ și apoi reluată de Truckenbrodt /105/ pe baza unor cunoștințe noi în domeniul stratului limită

- metode de antrenare, bazate pe ecuația de antrenare propusă de Head /39, 40/,

- metode combinate, fondate mai puțin pe legi fizice evidente.

Rotta /81/ face o comparație a predicției teoretice cu date experimentale pentru metode integrale de calcul a stratului limită turbulent. Rezultatele lui Rotta confirmă rezultatele obținute de Thompson /99/, care au scos în evidență cea mai bună metodă pînă atunci, metoda Head /39/. Mai recent Schlichting /88/, Bradshaw /19/, Cobaci și Bradshaw /27/ recomandă această metodă la calculul stratului limită turbulent.

Pe baza acestor considerații pentru calculul stratului limită laminar a fost folosită metoda Thwaites /27, 79/, iar metoda Head /39, 40, 19, 27/ la calculul stratului limită turbulent. În secțiunea următoare sînt expuse în detaliu aceste metode cu unele îmbunătățiri care le-au fost aduse.

3.2.2 Calculul stratului limită laminar

Considerînd ecuația (2.2.1) se observă că dacă H_{12} și C_f sînt cunoscute ca funcții de grosimea de impuls δ_2 sau de o combinație convenabilă de δ_2 și viteza la marginea stratului limită U_e , atunci integrarea ecuației nu prezintă nici o dificultate. Astfel de funcții au fost găsite de Thwaites /27/, punînd următoarele condiții la limită pentru ecuația (2.1.1) din care ecuația (2.2.1) poate fi obținută prin integrare în raport cu y

$$y=0, \quad \frac{\partial u}{\partial y^2} = \frac{U_e}{\delta_2^2} \lambda, \quad \frac{\partial u}{\partial y} = \frac{U_e}{\delta_2} L \quad (3.2.1)$$

Ecuațiile (3.2.1) definesc parametrii de formă ai profilului vitezei în stratul limită laminar λ și L . Mărimea L poate fi calculată dintr-o soluție particulară a ecuațiilor stratului limită și este verificat faptul că, în toate cazurile cunoscute, tinde să adere la o funcție universală de λ , notată prin $L(\lambda)$. În mod similar, dacă se consideră că H_{12} depinde numai de λ , poate fi găsită o funcție universală $H_{12}(\lambda)$.

Cu $y = 0$ în ecuația (2.1.1) și folosind ecuația (3.2.1) se obține

$$\lambda = \frac{\delta_2^2}{\nu} \frac{dU_e}{dx} \quad (3.2.2)$$

De asemenea,

$$\frac{C_f}{2} = \frac{\tau_0}{\rho U_e^2} = \frac{\nu}{U_e^2} \left(\frac{\partial u}{\partial y} \right)_{y=0} = \frac{\nu L(\lambda)}{U_e \delta_2} \quad (3.2.3)$$

Înlocuind (3.2.2) și (3.2.3) în (2.2.1), aceasta poate fi scrisă sub forma

$$\frac{U_e}{\nu} \frac{d\delta_2^2}{dx} = 2 \left\{ L(\lambda) - [H_{12}(\lambda) + 2] \lambda \right\} = F(\lambda) \quad (3.2.4)$$

Funcția $F(\lambda)$ este considerată ca o funcție universală. Analizând soluțiile cunoscute ale ecuației diferențiale a impulsului (2.2.1) Thwaites /79/ scrie o relație pentru $F(\lambda)$ astfel încît să aproximeze cît mai fidel aceste soluții

$$F(\lambda) = 0,45 - 6\lambda + 0,45 - 6 \frac{d\lambda^2}{\nu} \frac{dU_e}{dx} \quad (3.2.5)$$

Înlocuind relația (3.2.5) în (3.2.4), prin integrare se obține

$$\frac{d\lambda^2}{\nu} \cdot \frac{0,45}{U_e^6} \int_0^x U_e^5 dx + \left(\frac{d\lambda^2}{\nu} U_e^6 \right)_{x=0} = 0 \quad (3.2.6)$$

Soluția (3.2.6) ne permite calculul parametrului de formă. Dacă λ este cunoscut, valorile lui $L(\lambda)$ și $H_{12}(\lambda)$ pot fi determinate cu ajutorul funcțiilor Falkner-Skan /27, 73/. După /27/ aceste funcții sînt :

$$0,4 \leq \lambda \leq 0,1 \quad \begin{cases} L = 0,22 + 1,57\lambda - 1,8\lambda^2 \\ H_{12} = 2,61 - 3,75\lambda + 5,24\lambda^2 \end{cases} \quad (3.2.7)$$

$$-0,1 \leq \lambda \leq 0 \quad \begin{cases} L = 0,22 + 1,402\lambda + \frac{0,018}{0,107} \lambda^2 \\ H_{12} = \frac{0,0731}{0,14 + \lambda} + 2,088 \end{cases} \quad (3.2.8)$$

În punctul de impact ($U_e = 0$) avem $L = 0,22$ și $H_{12} = 2,61$, iar la desprindere $L = -0,1$ și $H_{12} = 3,9155$. În fig. 3.2.1

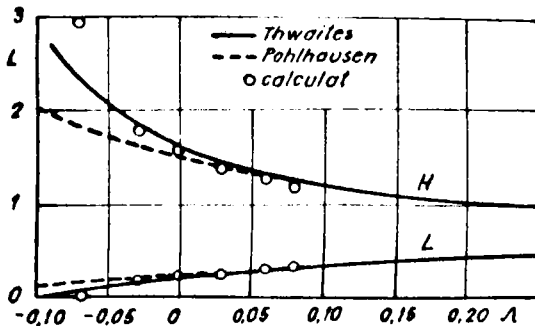


Fig. 3.2.1 Funcții din metoda Thwaites /27/ comparate cu funcții exacte și cu cele ale lui Pohlhausen /88/

este dat un exemplu al valorilor calculate cu această metodă (după /27/) comparativ cu soluțiile calculate cu metode exacte.

Soluționarea numerică

Ecuațiile stratului limită (2.1.4) și (2.1.5) au fost deduse în ipoteza că suprafața de scurgere este plană. Aceste ecuații pot fi utilizate și pe suprafețe curbate dacă raza de curbură nu este mare, condiție care este îndeplinită de profilele des utilizate în mașinile hidraulice axiale. Pentru evaluarea cât mai precisă a integralei din (3.2.6) este de preferat ca integrarea să fie făcută în lungul suprafeței s a profilului (fig.3.2.2) în locul corzii profilului x .

Deoarece distribuția de viteză la marginea stratului limită se obține din calculul potențial (secțiunea 3.1.2), ținând seama de notația vitezei teoretice pe profil, se înlocuiește U_e cu U

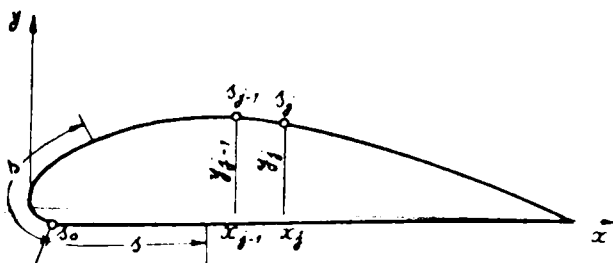


Fig.3.2.2 Coordonatele profilului în lungul suprafeței

Pentru simplificarea relației (3.2.6) este mai convenabil să pornim calculul din punctul de impact s_0 (fig.3.2.2) în care viteza este nulă,

$$s_0 \rightarrow U=0, \quad \bar{\sigma}_2=0, \quad \frac{d^2 U}{d\bar{s}}=0 \quad (3.2.9)$$

Cu aceste observații devin utile următoarele relații

$$\bar{\sigma}_2^2 = \frac{0,45}{Re_\infty} \frac{1}{\bar{U}^6} \int_{s_0}^{\bar{s}} \bar{U}^5 d\bar{s} \quad (3.2.10)$$

$$\lambda = \bar{\sigma}_2^2 \frac{1}{Re_\infty} \frac{d\bar{U}}{d\bar{s}} \quad (3.2.11)$$

Prin \bar{U} , \bar{s} și $\bar{\sigma}_2$ s-au notat mărimile dimensionale

$$\bar{U} = \frac{U}{W_\infty}, \quad \bar{s} = \frac{s}{l}, \quad \bar{\sigma}_2 = \frac{\sigma_2}{l} \quad (3.2.12)$$

Distanța s , într-un punct dat pe suprafața profilului, poate fi calculată folosind formula simplă

$$s_j = s_{j-1} + \sqrt{(x_j - x_{j-1})^2 + (y_j - y_{j-1})^2}, \quad j = 1, N \quad (3.2.13)$$

unde x și y reprezintă coordonatele profilului (fig.3.2.2). Pen-

tru un calcul cât mai precis este de preferat ca numărul de puncte, N să fie cât mai mare.

3.2.3 Parametrii stratului limită în punctul de tranziție

În secțiunea 2.4 a fost analizată stabilitatea curgerii laminare și posibilitățile de calcul. De asemenea, a fost menționată observația experimentală, că tranziția laminar-turbulent apare la o distanță oarecare în aval de punctul în care începe instabilitatea curgerii laminare /88/. Apariția tranziției depinde de o mulțime de parametri: gradientul de presiune, numărul Re_∞ , nivelul turbulenței în curgerea liberă $\sqrt{u'^2}/U$, rugozitatea suprafeței, etc. Dacă considerăm că tranziția se datorează gradientului de presiune și depinde de valoarea turbulenței în curgerea liberă, atunci putem determina punctul de tranziție urmînd criteriul lui Van Driest și Blumer /106/, definit de relația (2.3.3). Această relație nu este convenabilă de aplicat practic, deoarece din calculul stratului limită laminar (secțiunea 3.2.2) nu obținem valoarea numărului Reynolds Re_δ (format cu grosimea δ) și deci nici parametrul de formă Λ . Cu o bună aproximație, relația (3.2.2) poate fi transformată în termeni ai numărului Reynolds Re_{δ_2} (format cu δ_2), care poate fi cunoscut. Astfel obținem relația,

$$\frac{1127}{Re_{\delta_2}} = 1,3041 + 29,4 Re_{\delta_2} \left(\frac{\sqrt{u'^2}}{U} \right)^2 \quad (3.2.14)$$

care ne definește punctul în care apare tranziția x_{tr} . În acest punct trebuie să avem satisfăcută continuitatea grosimilor de impuls ale stratului limită laminar δ_{2l} și turbulent δ_{2t} /88/

$$\delta_{2t}(x_{tr}) = \delta_{2l}(x_{tr}) \quad (3.2.15)$$

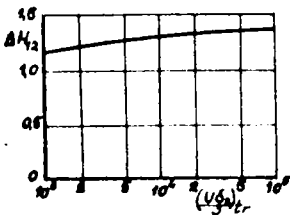


Fig.3.2.3 Variația ΔH_{12} cu numărul Reynolds Re_{δ_2} la tranziție

Truckenbrodt /88/ admite că în punctul de tranziție valoarea parametrului de formă H_{12} se modifică cu valoarea $-\Delta H_{12}$ (fig.3.2.3)

$$H_{12t}(x_{tr}) = H_{12l}(x_{tr}) - \Delta H_{12} \quad (3.2.16)$$

Dacă punctul de tranziție este cunoscut, calculul poate fi continuat cu stratul limită turbulent, luînd ca valori inițiale δ_{2t} și H_{12t} .

3.2.4 Calculul stratului limită turbulent

Metoda de calcul a stratului limită turbulent constă din rezolvarea următoarelor două ecuații :

- ecuația integrală a impulsului (2.2.1), în care pentru δ se acceptă relația (2.4.17) dată de Ludwig și Tillmann /54/, și
- ecuația de antrenare formulată de Head /39/

$$\frac{1}{U_0} \frac{dQ}{dx} = \frac{d}{dx} [U_0 (\delta^* - \delta_i)] = F(H_1) \quad (3.2.17)$$

unde $F(H_1)$ este o funcție adimensională de parametrul de formă al profilului vitezei în stratul limită

$$H_1 = \frac{\delta^* - \delta_i}{\delta_i} \quad (3.2.18)$$

În particular, ecuația (3.2.17) arată că variația debitului de fluid Q pe unitatea de lungime și lățime a stratului limită depinde numai de parametrul de formă H_1 .

Pentru o familie a profilurilor de viteză, care depind de un parametru, există o relație unică între H_1 și cel mai utilizat parametru de formă H_{12} . Această relație a fost determinată de Head /39/ din date experimentale (fig.3.2.4) și poate fi aproximată cu relația

$$H_1 = \frac{2H_{12}}{H_{12} - 1} \quad (3.2.19)$$

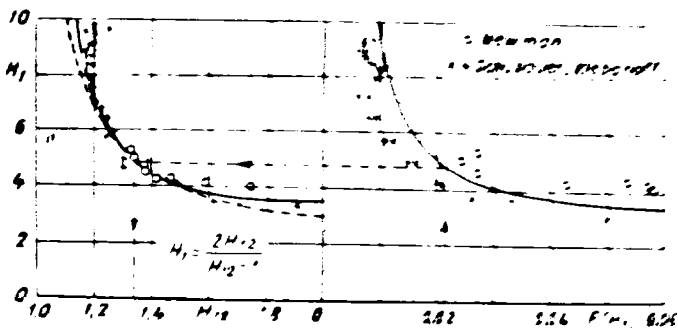


Fig.3.2.4 Teoria lui Head /39/

Funcția $F(H_1)$ a fost determinată din aceleași măsurători și este dată în aceeași figură în care este arătat și modul de folosire a teoriei lui Head.

Utilizarea curbelor din fig.3.2.4 este înconfortabilă și de aceea s-a căutat o relație empirică care să exprime corelația $F(H_1)$. De asemenea, au fost deduse relații mai precise privind dependența $H_1 (H_{12})$.

Inlocuind x cu s și U_e cu U (secțiunea 3.2.2) obținem,

$$\frac{d}{ds}(\bar{\sigma}_2) = \frac{C_f}{2} - (H_{12} + 2) \frac{\bar{\sigma}_2}{U} \frac{dU}{ds} \quad (3.2.20)$$

$$\frac{d}{ds}(\bar{\sigma}_2 \bar{U} H_1) = \bar{U} F(H_1) \quad (3.2.21)$$

unde C_f se exprimă cu (2.4.17), iar prin \bar{s} , $\bar{\sigma}_2$ și \bar{U} înțelegem mărimile adimensionale (3.2.12). Funcțiile $F(H_1)$ și $H_1(H_{12})$, după Cebeci și Bradshaw /27/, se exprimă cu următoarele relații :

$$F(H_1) = 0,0306 (H_1 - 3)^{-0,6169} \quad (3.2.22)$$

$$H_1 = \begin{cases} 0,8234 (H_{12} - 1,1)^{-1,287} + 3,3 & , H_{12} \leq 1,6 \\ 1,5501 (H_{12} - 0,6778)^{-3,064} + 3,3 & , H_{12} \geq 1,6 \end{cases} \quad (3.2.23)$$

Ecuațiile (3.2.20) și (3.2.21), împreună cu relațiile (3.2.22), (3.2.23) și (2.4.17), formează un sistem de două ecuații diferențiale în care avem ca necunoscute mărimile $\bar{\sigma}_2$ și H_1 (sau H_{12}). Soluționarea sistemului de ecuații poate fi făcută cu metode numerice.

Parametrul de formă H_{12} este privit ca un criteriu de desprindere a stratului limită turbulent. Din (2.4.17) se observă că $C_f \rightarrow 0$ numai dacă $H_{12} \rightarrow \infty$. Este imposibil să se dea o valoare exactă a lui H_{12} la desprindere, astfel că se admite $H_{12} = 1,8 - 2,4$ /27/. Aceste limite influențează nesemnificativ localizarea punctului de desprindere, deoarece variația dH_{12}/ds la desprindere este foarte mare.

În fig.3.2.5, 3.2.6 și 3.2.7 sînt date cîteva exemple, după /39, 81, 27/, în care metoda /39/ a fost comparată cu valorii experimentale. Aceste exemple arată o bună corelare a teoriei cu experimentul.

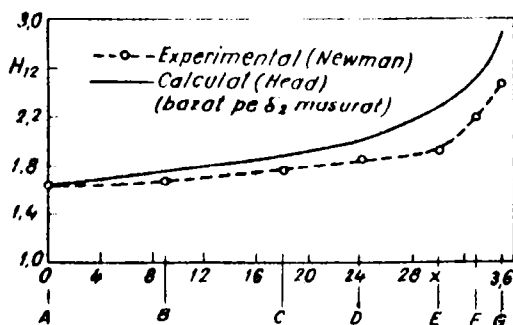


Fig.3.2.5 Comparație între teoria lui Head /39/ și experiment, după /81/

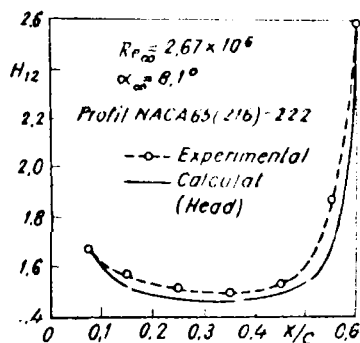


Fig.3.2.6 Comparație între teoria lui Head și experiment, după /81/

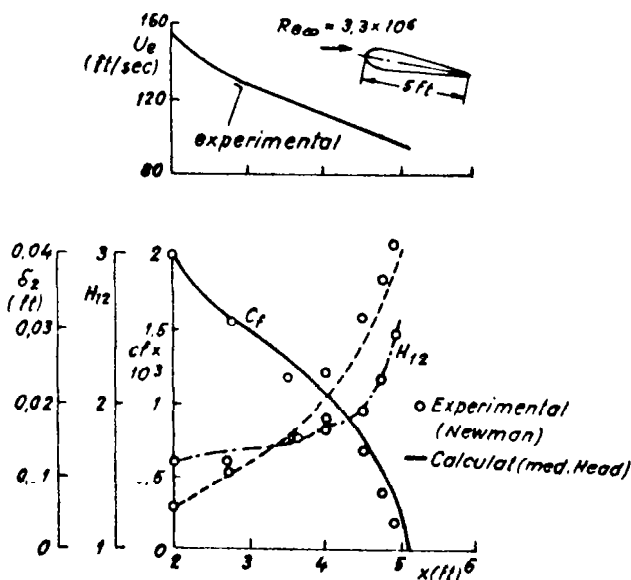


Fig.3.2.7 Comparație între teoria lui Head /39/ și experiment, după /27/

Completarea metodei pentru stratul limită complet turbulent

Integrarea numerică a ecuațiilor diferențiale (3.2.20) și (3.2.21) presupune cunoașterea unor condiții inițiale de forma

$$\bar{u}_i = \bar{u}_i \Rightarrow (\bar{\sigma}_2)_i, (H_{12})_i \text{ cunoscute} \quad (3.2.24)$$

Dacă stratul limită acceptă, începînd cu punctul de impact de pe profil, o porțiune laminară, atunci determinarea condițiilor (3.2.24) nu prezintă dificultate (secțiunea 3.2.3). Sînt însă cazuri cînd porțiunea laminară este foarte mică și, în general, în apropierea punctului de impact distribuția de viteză prezintă o variație mare. În astfel de cazuri punctul de tranziție este dificil de stabilit, iar valorile inițiale ale stratului limită devin imprecise. Pentru a ocoli aceasta este de preferat să considerăm stratul limită turbulent din punctul de impact,

$$\bar{u}_i = \bar{u}_0 \Rightarrow \bar{u} = 0, \bar{\sigma}_1 = \bar{\sigma}_2 = 0, H_{12} = \frac{0}{0} \neq 0 \quad (3.2.25)$$

În acest caz soluționarea sistemului de ecuații nu poate fi făcută, deoarece nu cunoaștem valoarea lui $H_{12} (\neq 0)$.

Pentru a înlătura acest inconvenient, în lucrare s-a încercat să se obțină un procedeu prin care să poată fi determinate

condițiile inițiale din metoda însăși'.

Dacă se admite că pe o porțiune mică Δs , $H_{12} \approx \text{const.}$, atunci ecuația integrală a impulsului (2.2.1) poate fi privită ca o ecuație diferențială cunoscută [92], a cărei soluție generală este

$$\sigma_2^{1-m} = U^{-(1-m)(H_{12}+2)} \left[(\sigma_2)_{s_0}^{1-m} + (1-m)a \int_{s_0}^{s_0+\Delta s} U^{(1-m)(H_{12}+2)+m} ds \right] \quad (3.2.26)$$

unde

$$a = 0,123 \cdot 10^{-0,678 H_{12}} \nu^{-m}, \quad m = -0,268 \quad (3.2.27)$$

Inmulțind membrul stâng și drept a relației (3.2.26) cu H_1 și grupind termenii sub forma parantezei membrului stâng al ecuației (3.2.21) și ținând seama de (3.2.25) se obține

$$U d_2 H_1 = U^{-(H_{12}+1)} H_1 \left[(1-m)a \int_{s_0}^{s_0+\Delta s} U^{(1-m)(H_{12}+2)+m} ds \right]^{1/m} \quad (3.2.28)$$

Folosind un raționament asemănător și pentru ecuația (3.2.17), prin integrare rezultă

$$U d_2 H_1 = F(H_1) \int_{s_0}^{s_0+\Delta s} U ds \quad (3.2.29)$$

Egalind (3.2.28) cu (3.2.29) obținem

$$H_1 = \frac{F(H_1) U^{(H_{12}+1)} \int_{s_0}^{s_0+\Delta s} U ds}{\left[(1-m)a \int_{s_0}^{s_0+\Delta s} U^{(1-m)(H_{12}+2)+m} ds \right]^{1/m}} \quad (3.2.30)$$

Expresia (3.2.30) este o relație implicită de H_1 . Prin iterații succesive, în care se modifică H_{12} , se poate obține egalitatea. Valoarea lui H_1 este considerată ca valoare inițială. Valoarea inițială a grosimii de impuls σ_2 se obține din (3.2.26), astfel că la $s_i = s_0 + \Delta s$ avem cunoscute $(\sigma_2)_i$ și $(H_1)_i$ sau $(H_{12})_i$.

Relațiile (3.2.26) și (3.2.30), în care se introduc mărimile adimensionale (3.2.12), devin

$$(H_1)_i = \frac{F(H_1) \bar{U}^{(H_{12}+1)} \int_{\bar{s}_0}^{\bar{s}_0+\Delta \bar{s}} \bar{U} d\bar{s}}{A \left[\int_{\bar{s}_0}^{\bar{s}_0+\Delta \bar{s}} \bar{U}^{(1-m)(H_{12}+2)+m} d\bar{s} \right]^{1/m}} \quad (3.2.31)$$

$$(\sigma_2)_i = A \left[\int_{\bar{s}_0}^{\bar{s}_0+\Delta \bar{s}} \bar{U}^m d\bar{s} \right]^{1/(1-m)} \quad (3.2.32)$$

unde

$$A = \left[0,123 (1-m) 10^{-0,678 H_{12}} Re_{\infty}^m \right] \frac{1}{1-m} \quad (3.2.33)$$

3.2.5 Calculul numeric al stratului limită

Metodele folosite la calculul stratului limită, laminar și turbulent, au fost obiectul unui program de calcul în limbaj Basic pe calculatorul HP 9845 B (vezi schema anexată).

Sistemul de ecuații diferențiale (3.2.20) și (3.2.21) a fost rezolvat prin două procedee numerice : primul bazat pe polinomul de interpolare a lui Newton /2/, în care se obțin iterativ soluțiile la patru pași consecutivi, și al doilea binecunoscut sub denumirea Runge-Kutta /33, 103/. Ambele procedee au condus la rezultate apropiate. Primul necesită un timp de calcul aproape dublu datorită, în special, modificării pasului de integrare atunci când nu se obține convergența.

Pentru interpolarea distribuției de viteză, în punctele de integrare numerică, au fost utilizate funcții Spline /37/, formate din curbe de gradul trei. Acestea au avantajul că dau valori sigure în punctele de interpolare și pot fi utilizate pe întreg domeniul considerat în calcule (extradosul sau intradosul profilului). De asemenea, cu o precizie bună, se calculează derivata și integrala curbei în punctul de interpolare. Utilizarea funcțiilor Spline în programul de calcul al stratului limită, a condus la îmbunătățirea rezultatelor prin eliminarea unor erori posibile, prin interpolare, la calculul derivatelor și al integralelor, cu alte procedee numerice.

Verificarea relațiilor (3.2.31) și (3.2.32) (de calcul al valorilor de start), stabilite în lucrare, pentru extinderea metodei Head /39,27/ la calculul stratului limită în totalitate turbulent, s-a făcut în moduri și pentru curgeri diferite. O verificare s-a făcut prin compararea rezultatelor, obținute cu metoda Head extinsă, cu parametrii calculați cu metoda Truckenbrodt /102/ (Fig. 3.2.8 a,c), care dă posibilitatea ca stratul limită să fie calculat în întregime turbulent din punctul de impact. În fig. 3.2.8 a și c sînt date două exemple analizate; în primul, stratul limită turbulent este calculat pe extradosul unui profil funcționind în rețea de turbină axială și nu prezintă desprinderi, în al doilea, este calculat pe extradosul unui profil izolat și se desprinde în apropierea bordului de fugă. Din ambele exemple se observă că la abscisa $(x/l)_1$, la care au fost calculate valorile inițiale, parametrii σ_2 și H_{12} sînt într-o corespondență excelentă cu valorile calculate cu metoda Truckenbrodt. De asemenea, ambele metode

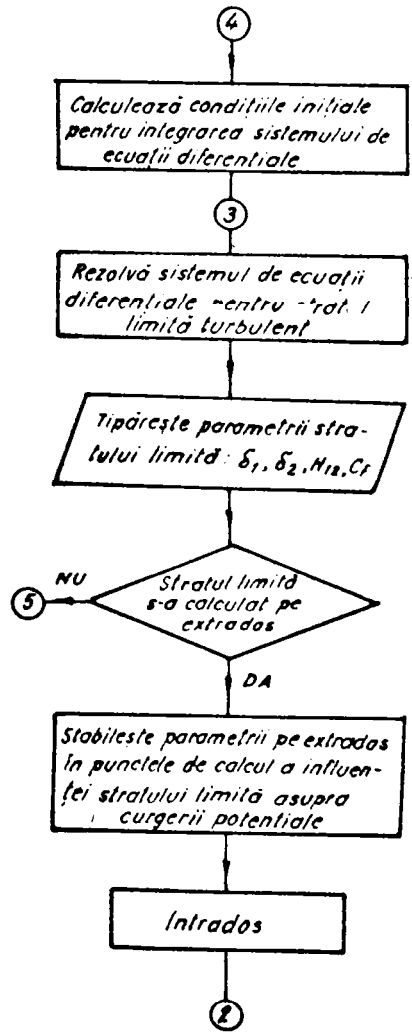
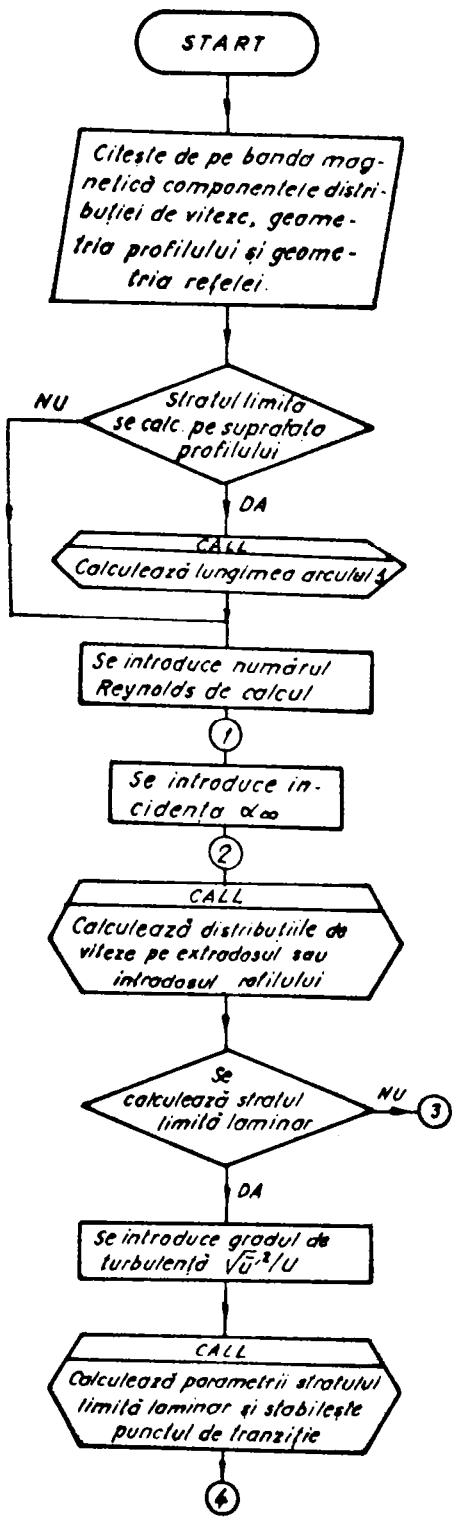
dau rezultate apropiate, exceptând regiunea de desprindere (fig. 3.2.8 c).

O altă verificare a fost realizată prin modificarea treptată a turbulenței în curgerea exterioară. Prin creșterea gradului de turbulență $\sqrt{u^2}/U$ se modifică poziția punctului de tranziție, astfel că are loc o restrângere a porțiunii laminare pe o suprafață relativ îngustă în jurul punctului de impact. În această situație, stratul limită devine predominant turbulent, apropiat de condiția impusă, complet turbulent. Analiza influenței gradului de turbulență asupra distribuțiilor stratului limită turbulent δ_2 și H_{12} (fig. 3.2.8 b, d), pentru un profil dispus în rețea de turbidă, arată că această condiție este realizată la valori ale turbulenței peste 2 % (posibile în turbomașini), pentru care tranziția este foarte aproape de punctul de impact. Stratul limită laminar pînă la tranziție a fost calculat cu metoda Thwaites (secț. 3.2.2), iar punctul de tranziție s-a stabilit cu criteriul dat de relație (3.2.14). Parametrii stratului limită turbulent, calculați cu metoda Head, din punctul de tranziție (în care valorile inițiale sînt cunoscute (secț. 3.2.3)) prezintă o variație aproape identică la turbulențe de 3 % cu aceea obținută prin extinderea metodei. Aceasta dovedește că relațiile (3.2.31) și (3.2.32) sînt corect stabilite și pot fi folosite cu rezultate bune în calcule. Relațiile s-au dovedit deosebit de utile la numeroasele aplicații efectuate în lucrare.

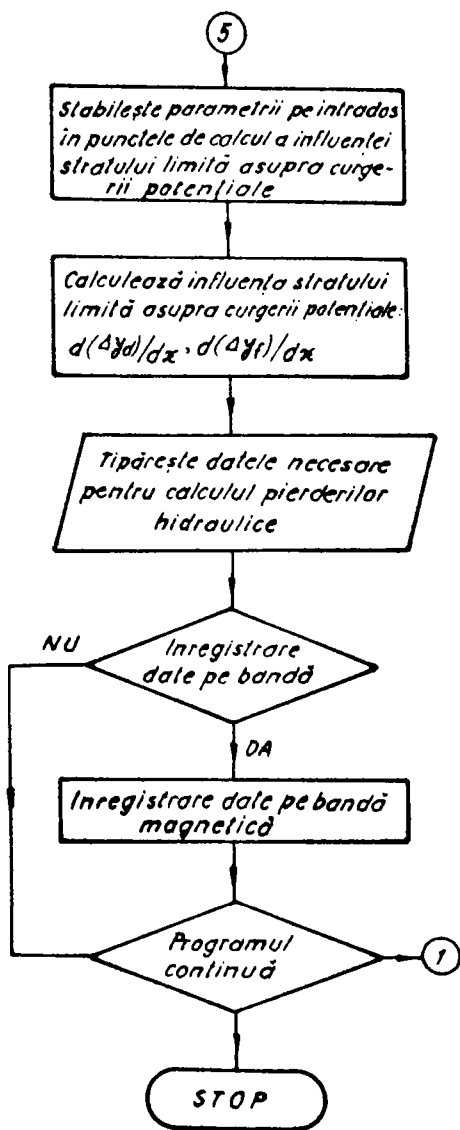
3.3 Calculul pierderilor hidraulice la trecerea curentului în rețea

Așa cum am arătat în capitolul 1, cunoștințele acumulate în domeniul stratului limită permit determinarea pe cale teoretică a caracteristicilor aerodinamice ale unei rețele plane de profile așezate într-un curent real.

În lucrarea de față se propune o asemenea metodă care să fie, pe cît posibil, unitară și completă. După ce se face o analiză a modului în care stratul limită influențează curgerea fără frecare în jurul profilului, se stabilește variația corespunzătoare a circulației și se dau relațiile pentru recalcularea elementelor unghiulare. De asemenea, s-au dedus relațiile de calcul în cazul în care se face o corecție a unghiului de incidență, astfel încît să obținem aceeași portanță ca în mișcarea potențială. Influența direi este analizată pe baza teoremei impulsului, considerînd că în planul bordului de fugă viteza și presiunea sînt constante. Aceasta a permis stabilirea relației de calcul a coeficientului de pierdere în rețea.



Schema de principii a organizației programului de calcul a parametrilor stratului limită laminar și (sau) turbulent.



*Observație: influența stratului limită asupra
curgerii potențiale este prezentată
în secț. 3.3.1*

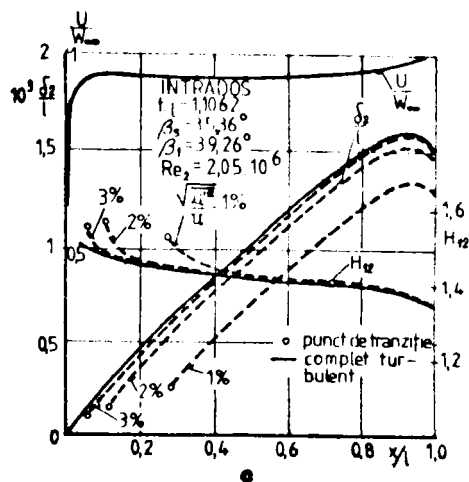
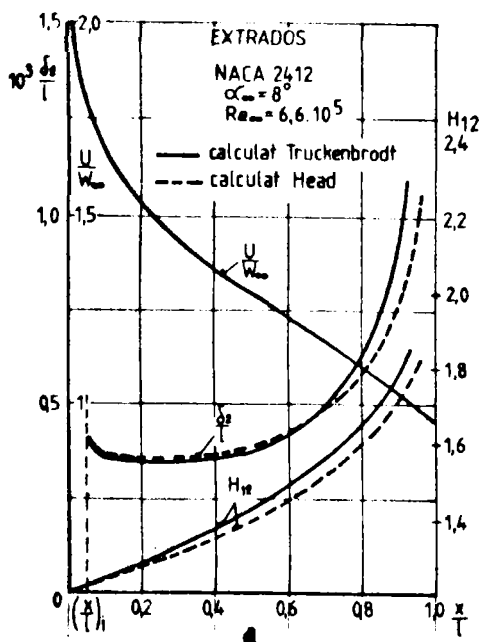
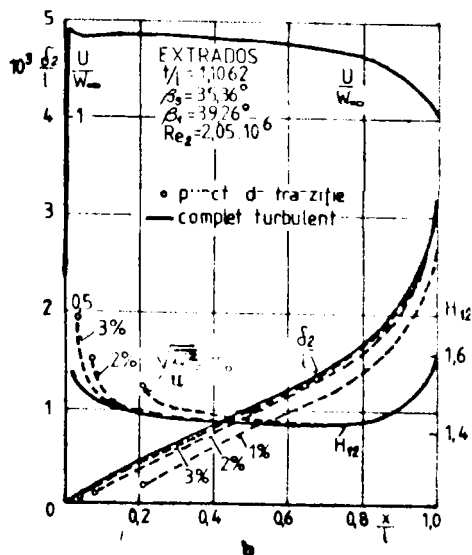
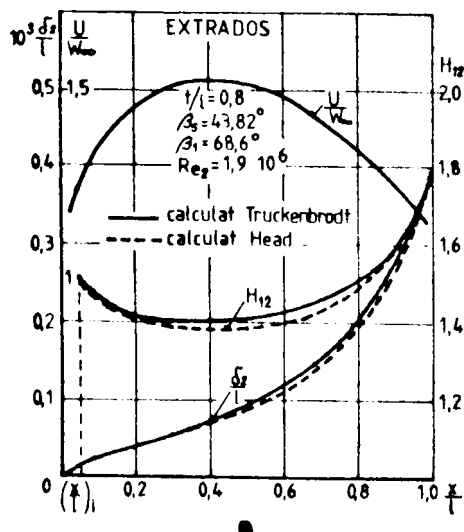


Fig. 3.2.8 Comparații între metoda Head și Truckenbrodt. Influența gradului de turbulență asupra parametrilor straturii limită turbulent.

Se consideră calculate : distribuția vitezei potențiale și variația parametrilor stratului limită (δ_1 , δ_2 și H_{12}) pe conturul profilului din rețea.

3.3.1 Influența stratului limită asupra curgerii în jurul unui profil

În fig.3.3.1 este reprezentat un profil așezat într-un curent, la care ne vom referi ca profil de bază, și dezvoltarea stratului limită și a dirăi în lungul celor două suprafețe și în aval de ele. De asemenea este reprezentată și distribuția grosimii de deplasare δ_1 pe profil.

Se observă că liniile de curent ale curgerii potențiale din exteriorul stratului limită se deplasează cu mărimea δ_1 . Prin urmare, putem considera profilul din curentul real echivalent cu un profil îngroșat care funcționează într-un curent potențial.

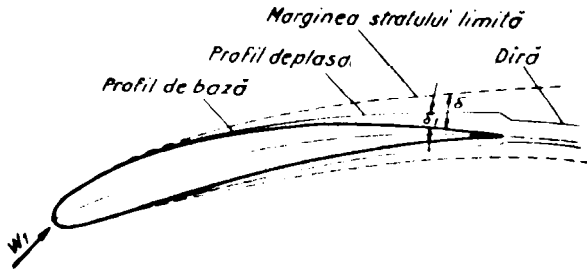


Fig.3.3.1 Profil cu strat limită și diră

Pentru a deduce influența grosimii de deplasare δ_1 asupra curgerii, în fig.3.3.2 considerăm, pentru simplificare, un profil

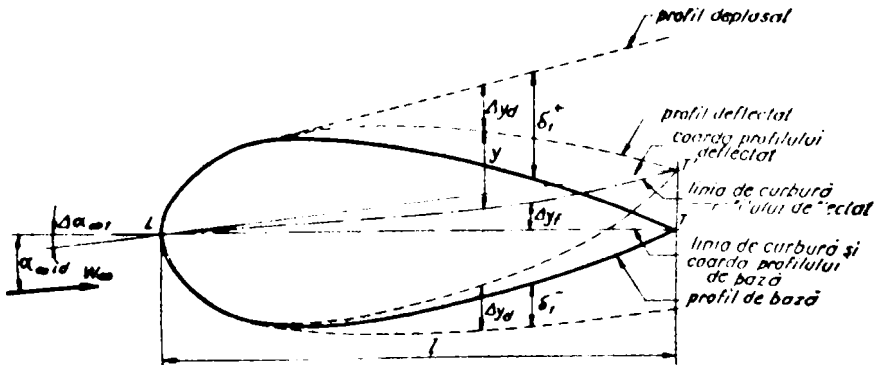


Fig.3.3.2 efectul grosimii de deplasare asupra curgerii în jurul unui profil

simetric, așezat sub un unghi de incidență α' . Reprezentînd distribuția grosimii de deplasare δ_1 pe profilul de bază, obținem un alt profil numit profil deplasat. Acest profil are altă coardă, altă curbură și altă distribuție de grosimi.

Linia de curbură a profilului deplasat se deduce din aceea a profilului de bază, adăugînd mărimea

$$\Delta y_f = \frac{1}{2} (\delta_1^+ - \delta_1^-) \quad (3.3.1)$$

unde indicii "+" și "-" corespund extradadosului, respectiv intradosului profilului. Păstrînd aceeași distribuție a grosimii profilului de bază, însă față de noua linie de curbură, obținem un nou profil, numit profil deflecat. Adăugînd la aceasta o distribuție egală de grosimi,

$$\Delta y_d = \frac{1}{2} (\delta_1^+ + \delta_1^-) \quad (3.3.2)$$

ajungem la profilul deplasat. Prin urmare, putem considera că efectul de deplasare este suma a trei efecte : un efect de coardă, un efect de curbură și un efect de grosime.

Abaterea profilului deplasat față de profilul de bază are o importanță neglijabilă asupra distribuției potențiale de viteză pe contur, în schimb este semnificativă modificarea circulației.

3.3.2 Modificarea circulației

Efectul de coardă rezultă din fig.3.3.2, unde se poate vedea, referindu-ne la noua coardă MT' , că acesta este echivalent cu o micșorare a incidenței cu,

$$\Delta \alpha_1 = - \left(\frac{\delta_1^+ - \delta_1^-}{2l} \right)_f \quad (3.3.3)$$

(l - coarda profilului, indicele "f" se referă la bordul de fugă). Semnul minus indică că este vorba de o scădere a unghiului de incidență.

Efectul de curbură se manifestă printr-o distribuție de curbură negativă, care, în cazul unui profil oarecare, apare ca o micșorare a acesteia.

Pentru efectele de curbură și grosime, L.Spädel și N. Scholz în /93, 90/, prezintă o metodă rațională de calcul a variației circulației, bazată pe metoda singularităților a lui H. Schlichting /86/, înlocuind modificarea curburii și grosimii profilului cu virtejuri și burse de-a lungul coardei (x), $\varphi'(x)$, respectiv $q'(x)$

$$\varphi'(x) = 2w_{\alpha x} \left[A_1' \operatorname{ctg} \frac{\varphi}{2} + \sum_{j=2}^{\infty} A_j' \sin(j\varphi) \right] \quad (3.3.4)$$

$$q'(x) = 2 W_{ax} \sum_{j=1}^{\infty} B_j' \sin(j\varphi) \quad (3.3.5)$$

unde $\varphi = \arccos(1 - 2 \frac{x}{l})$ și A_j și B_j' sînt coeficienți.

Coeficienții din (3.3.4) și (3.3.5) se determină din condițiile cinematice ale curențului. Aceste condiții deduse din /86/ sînt, pentru distribuția suplimentară de grosimi

$$\frac{d(\Delta y)}{dx} = \frac{q'(x)}{2 W_m} \quad (3.3.6)$$

și pentru variația liniei de schelet

$$\frac{d(\Delta y)}{dx} = \frac{v_i'}{W_m} \quad (3.3.7)$$

în care v_i' sînt vitezele induse de distribuțiile suplimentare de vîrtejuri și surse normale la coardă, iar W_m (din cauza grosimii și curburii mici ale profilului suplimentar) poate fi considerată ca media vitezelor teoretice de pe extradosul și intradosul profilului, cunoscute din mișcarea potențială.

$$W_m = \frac{1}{2} (U^+ + U^-) \quad (3.3.8)$$

În lucrarea de față seriile (3.3.4) și (3.3.5) au fost restrînse la cinci termeni (în /93/ au fost considerați numai primii trei termeni). Înlocuind acum (3.3.4) și (3.3.5) în (3.3.7) și respectiv (3.3.6) se pune condiția ca ultimile să fie satisfăcute în cinci puncte de pe contur. Punctele se aleg astfel,

n	1	2	3	4	5
$(\frac{x}{l})_n$	0,2	0,35	0,5	0,65	0,8

Cu distribuția suplimentară de grosimi calculată cu (3.3.2) se obține prin înlocuirea lui (3.3.5) în (3.3.6), următorul sistem de ecuații, pentru determinarea coeficienților B_j' ,

$$\left(\frac{d(\Delta y)}{dx} \frac{W_m}{W_{ax}} \right)_n = \sum_{j=1}^5 B_j' \sin(j\varphi_n) \quad (3.3.9)$$

Rezolvarea acestui sistem ne conduce la

$$B_j' = \sum_{n=1}^5 b_{jn} \left(\frac{d(\Delta y)}{dx} \frac{W_m}{W_{ax}} \right)_n \quad (3.3.10)$$

Constantele b_{jn} rezultă din (3.3.9) prin rezolvarea următoarelor 5 sisteme de ecuații ($n = 1, 2, 3, 4, 5$)

$$\sum_{j=1}^5 b_{jn} \sin(j\varphi_k) = \delta_{kn}, \quad k = 1, 5, \quad \delta_{kn} - \text{simb. Kronecker} \quad (3.3.11)$$

unde $\varphi_k = \arccos \left[1 - 2 \left(\frac{x}{t} \right)_k \right]$.

Se observă că b_{jn} sînt independente de geometria profilului și a rețelei.

În mod asemănător se determină coeficienții A_j' . Pentru aceasta se deduc mai întîi vitezele induse, v_i' care, în conformitate cu /86/, sînt

$$\left(\frac{v_i'}{W_m} \right)_n = \sum_{j=1}^5 (A_j' F_{nj} + B_j' G_{nj}) \quad (3.3.12)$$

unde

$$F_{n1} = -\frac{1}{2} \frac{1}{t} \int_0^{\pi} R(\varphi_n, \psi) (1 + \cos \psi) d\psi - 1 \quad (3.3.13)$$

$$F_{nk} = -\frac{1}{2} \frac{1}{t} \int_0^{\pi} R(\varphi_n, \psi) \sin(k\psi) d\psi + \cos \varphi_n, \quad k = \overline{2, 5}$$

$$G_{nj} = -\frac{1}{2} \frac{1}{t} \int_0^{\pi} I(\varphi_n, \psi) \sin \psi \sin(j\psi) d\psi, \quad j = \overline{1, 5}. \quad (3.3.14)$$

Cu

$$R(\varphi_n, \psi) = \frac{\cos \lambda \operatorname{sh}(2\pi z' \cos \lambda) + \sin \lambda \sin(2\pi z' \sin \lambda)}{\operatorname{ch}(2\pi z' \cos \lambda) - \cos(2\pi z' \sin \lambda)} - \frac{1}{z'} \quad (3.3.15)$$

$$I(\varphi_n, \psi) = \frac{\sin \lambda \operatorname{sh}(2\pi z' \cos \lambda) - \cos \lambda \sin(2\pi z' \sin \lambda)}{\operatorname{ch}(2\pi z' \cos \lambda) - \cos(2\pi z' \sin \lambda)} \quad (3.3.16)$$

unde

$$z' = \frac{x_n - x'}{t}$$

$$\frac{x'}{t} = \frac{1}{2} (1 - \cos \psi), \quad \psi \in [0, \pi]$$

Din (3.3.4), (3.3.7), (3.3.10) și (3.3.12) se obțin soluțiile

$$A_j' = \sum_{n=1}^5 \left[a_{jn} \left(\frac{d(\Delta y_i)}{dx} \frac{W_m}{W_{00x}} \right)_n + g_{jn} \left(\frac{d(\Delta y_i)}{dx} \frac{W_m}{W_{00x}} \right)_n \right] \quad (3.3.17)$$

Coeficienții a_{jn} se obțin din (3.3.12), rezolvînd următoarele 5 sisteme de ecuații ($n = 1, 2, 3, 4, 5$)

$$\sum_{j=1}^5 a_{jn} F_{kj} = \sigma_{nk}, \quad k = \overline{1, 5} \quad (3.3.18)$$

iar g_{jn} se calculează astfel

$$g_{jn} = - \sum_{k=1}^5 [b_{kn} \sum_{m=1}^5 G_{mk} a_{jm}], \quad n=1,5 \quad (3.3.19)$$

Ținând seama de (3.3.13) și (3.3.14), constantele universale a_{jn} și g_{jn} depind numai de $\frac{t}{l}$ și d și sînt independente de geometria profilului. Ele pot fi ușor calculate cu ajutorul unui program de calculator.

Micșorarea $\Delta\Gamma$, a circulației totale Γ , datorită efectelor de curbură și grosime se poate obține aproximativ prin integrare

$$\Delta\Gamma \approx \int_0^l f'(x) dx = \pi l W_{\alpha x} (A_1' + \frac{1}{2} A_2') \quad (3.3.20)$$

3.3.3 Modificarea elementelor unghiulare

Considerăm că micșorarea $\Delta\Gamma$ a circulației este echivalentă cu o reducere a unghiului de incidență, a cărui valoare dorim să o determinăm.

Din calculul mișcării potențiale putem cunoaște raportul dintre variația portanței în raport cu unghiul de incidență α_∞ a profilului din rețea (indicele r) și aceea a profilului considerat singular (indicele s)

$$k_r = \frac{dC_{ar}}{d\alpha_\infty} / \frac{dC_{as}}{d\alpha_\infty} \quad (3.3.21)$$

Considerînd (3.1.22)

$$\frac{dC_{as}}{d\alpha_\infty} = - C_{as_1} \sin d\alpha_{id} + C_{as_2} \cos d\alpha_{id} \quad (3.3.22)$$

indicele "id" ne indică faptul că ne referim la curgerea potențială.

Considerînd expresia coeficientului de portanță după /86/, derivînd în raport cu α_∞ și ținînd seama de (3.3.20) obținem,

$$\frac{dC_{ar}}{d\alpha_\infty} = 2\pi [A_1' + \frac{1}{2} A_2'] \frac{\cos d\alpha_{id}}{d\alpha_\infty} - 2\pi [A_1 + \frac{1}{2} A_2] \sin d\alpha_{id} \quad (3.3.23)$$

Înlocuind (3.3.23) în (3.3.21) rezultă modificarea unghiului de incidență

$$\Delta d\alpha_2 \approx d\alpha_\infty = \frac{2\pi [A_1' + \frac{1}{2} A_2'] \cos d\alpha_{id}}{k_r \frac{dC_{as}}{d\alpha_\infty} + C_{ar_{id}} \operatorname{tg} d\alpha_{id}} \quad (3.3.24)$$

Micșorarea totală a unghiului de incidență corespunzătoare efectelor de coardă, curbură și grosime va fi

$$\Delta d\alpha_\omega = \Delta d\alpha_1 + \Delta d\alpha_2 \quad (3.3.25)$$

Cu această micșorare a unghiului de incidență apare și mo-

modificarea cu $\Delta W'_{\omega u}$ a componentei tangențiale a lui $W_{\omega id}$. Din fig. 3.3.3 se obține

$$\Delta W'_{\omega u} = |\Delta \alpha_{\omega}| \frac{W_{\omega id}}{\sin \beta_{\omega id}} \quad (3.3.26)$$

Circulația este acum $\Gamma' = \Gamma - |\Delta \Gamma|$ unde $\Delta \Gamma$ este dat de (3.3.26). Intre Γ' și $\Delta W'_U$ există relația cunoscută

$$\Delta W'_U = \frac{\Gamma'}{t} \quad (3.3.27)$$

Ținând seama de fig.3.3.3, în mișcarea cu frecare, unghiurile de la intrare și ieșire se exprimă astfel,

$$\operatorname{ctg} \beta'_{1,2} = \frac{W'_{1,2U}}{v_m} = \frac{1}{v_m} \left(W_{\omega uid} \mp \frac{1}{2} \Delta W'_U - \Delta W'_{\omega u} \right) \quad (3.3.28)$$

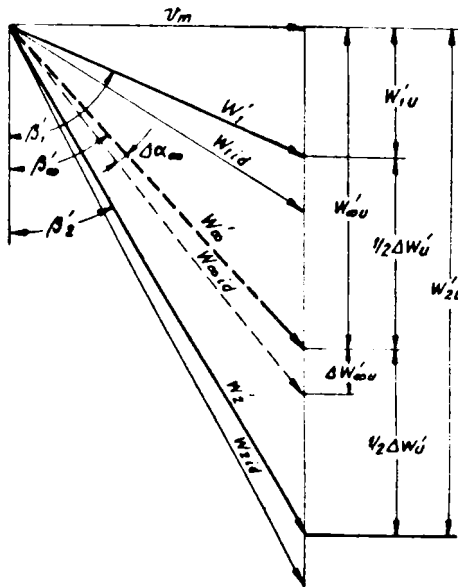


Fig.3.3.3 Triunghiul vitezelor pentru deducerea modificării unghiurilor la intrare și ieșire din rețea

Avînd în vedere că

$$W_{1,2U id} = W_{\omega id} \mp \frac{\Gamma'_{id}}{2t} \quad (3.3.29)$$

$$\Delta \Gamma = \frac{1}{2} k_r W_{\omega id} \frac{d \cos}{d \alpha_{\omega}} |\Delta \alpha_{\omega}| \quad (3.3.30)$$

$$v_m = W_{\omega id} \sin \beta_{\omega id} \quad (3.3.31)$$

relațiile (3.3. 28) devin

$$\operatorname{ctg} \beta'_{1,2} = \operatorname{ctg} \beta_{1,2id} + \frac{1}{4} \frac{1}{t} \frac{k_r}{\sin^2 \beta_{oid}} \frac{d \cos}{d \alpha_{oo}} |\Delta \alpha_{oo}| - \frac{|\Delta \alpha_{oo}|}{\sin^2 \beta_{oid}} \quad (3.3.32)$$

Prin urmare, unghiurile β'_1 și β'_2 se determină pentru curentul real după (3.3.32). Cu β'_1 avem valoarea unghiului la intrare

$$\beta_1 = \beta'_1 \quad (3.3.33)$$

care se introduce în calcul. Pentru unghiul de la ieșire mai apare o modificare datorită curgerii în diră.

Pentru a obține în curentul real o portanță egală cu aceea din curentul ideal, profilul va trebui să fie rotit cu unghiul $\Delta \alpha_{oo}$ în sensul măririi unghiului de incidență,

$$\alpha_{oo\text{cor}} = \alpha_{oo\text{id}} + |\Delta \alpha_{oo}| \quad (3.3.34)$$

indicele "cor" se referă la unghiul de incidență modificat. Efectuând un raționament analog cu cel precedent rezultă expresiile de calcul a unghiurilor de la intrare și ieșire,

$$\operatorname{ctg} \beta_{1,2\text{cor}} = \operatorname{ctg} \beta_{1,2id} + \frac{|\Delta \alpha_{oo}|}{\sin^2 \beta_{oid}} \quad (3.3.25)$$

3.3.4 Curgerea în diră. Pierderi

În spatele rețelei, straturile limită de pe extradados și intrados se unesc, diferențele de viteză dispar treptat, astfel că la infinit viteza și presiunea devin constante. Acest proces de omogenizare este evident legat de pierderi suplimentare de energie.

Pentru a obține parametrii curgerii în aval de rețea, aplicăm teorema impulsului relativ la suprafața de control K (fig.3.3.5).

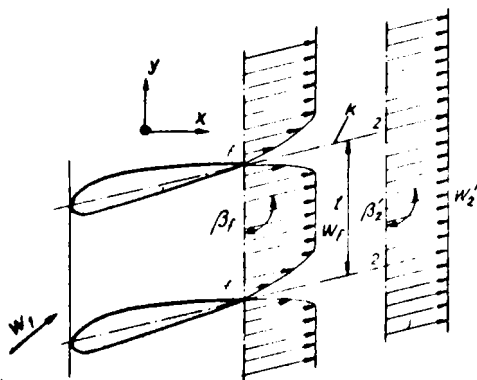


Fig.3.3.4 Curgerea în diră

În cele ce urmează indicele "f" reprezintă mărimile curentului neomogen la bordul de fugă, iar indicele "2" reprezintă aceleași

mărimi în curgerea omogenă, departe în aval.

Teorema impulsului în direcția y este

$$\int_0^t W_{yf} W_{xf} dy = W_{2y} W_{2x} t \quad (3.3.36)$$

iar în direcția x

$$P \int_0^t W_{xf} dy + \int_0^t p_f dy = P W_{2x} t + p_2 t \quad (3.3.37)$$

Adăugînd ecuația de continuitate

$$\int_0^t W_{xf} dy = W_{2x} t \quad (3.3.38)$$

avem la dispoziție un sistem de trei ecuații pentru necunoscutele W_{2x} , W_{2y} și p_2 ale curgerii omogene.

Introducem următoarele mărimi

$$\hat{d}_1 = \left(\frac{d_1^+ + d_1^-}{l} \right)_f \frac{l}{t \sin \beta_2} \quad (3.3.39)$$

$$\hat{d}_2 = \left(\frac{d_2^+ + d_2^-}{l} \right)_f \frac{l}{t \sin \beta_2} \quad (3.3.40)$$

grosimea adimensională de deplasare, respectiv a pierderilor de impuls, la ieșirea din rețea în direcția axei rețelei.

Considerăm că la ieșirea din rețea, mișcarea are direcția

$$\beta_f = \beta_2' \quad (3.3.41)$$

în timp ce viteza crește datorită îngroșării cu stratul limită

$$W_f = \frac{W_2'}{1 - \hat{d}_1} \quad (3.3.42)$$

Presiunea statică la bordul de fugă rezultă din teorema lui Bernoulli

$$p_f = p_2' - \frac{\rho}{2} W_2'^2 \frac{2\hat{d}_1 - \hat{d}_1^2}{(1 - \hat{d}_1)^2} \quad (3.3.43)$$

Evaluînd integralele (3.3.36) - (3.3.38) în funcție de (3.3.39) - (3.3.43), cu notația,

$$\hat{\sigma} = \frac{\text{ctg} \beta_2}{\text{ctg} \beta_2'} = \frac{1 - \hat{d}_1 - \hat{d}_2}{(1 - \hat{d}_1)^2} \quad (3.3.44)$$

se obțin următoarele ecuații

$$W_2'^2 \hat{\sigma} \sin \beta_2' \cos \beta_2' = W_2^2 \sin \beta_2 \cos \beta_2 \quad (3.3.45)$$

$$\rho W_2'^2 \hat{\sigma} \sin \beta_2' + \left[p_2' - \frac{\rho}{2} W_2'^2 \frac{2\hat{d}_1 - \hat{d}_1^2}{(1 - \hat{d}_1)^2} \right] = \rho W_2^2 \sin^2 \beta_2 + p_2 \quad (3.3.46)$$

$$W_2' \sin \beta_2' = W_2 \sin \beta_2 \quad (3.3.47)$$

Din aceste relații rezultă mărimile căutate ale curgerii o-mogene cu frecare W_2 , p_2 și β_2 .

Pierderea totală de presiune în dira rețelei este

$$\Delta p_t = (p_2' - p_2) + \frac{\rho}{2} (W_2'^2 - W_2^2)$$

Tinând seama de (3.3.45) - (3.3.47) se obține coeficientul de pierdere în rețea

$$\xi_r = \frac{\Delta p_t}{\frac{1}{2} \rho U_m^2} = \frac{\sigma^2 + ctg^2 \beta_2}{\sigma^2 (1 - \sigma^2)^2} + 1 - 2\sigma - ctg^2 \beta_2 \quad (3.3.48)$$

Relația (3.3.48) este oarecum asemănătoare cu cea dată de Povh /73/, unde parametrul σ este considerat necunoscut ca și unghiul β_f . Pentru a obține valori acceptabile pentru σ , în /73/ se sugerează $\sigma = 1,02 - 1,05$, valori deduse dintr-un număr limitat de măsurători; acestea sînt inacceptabile deoarece în multe situații se poate ajunge la valori negative ale coeficientului ξ_r . În cazul de față σ rezultă din mărimile stratului limită la bordul de fugă.

Pentru rețeaua corectată cu unghiul $\Delta \alpha$ se utilizează aceleași relații (3.3.45) - (3.3.48), cu observația că mărimile notat cu semnul (') se înlocuiesc cu mărimile corespunzătoare afectate de indicele "cor".

Cunoscînd unghiurile β_1 și β_2 se pot calcula caracteristicile energetice ale rețelei /3/ în curgerea cu frecare

$$C_{or} = 2 \frac{t}{l} \sigma_U \sin \beta_{20} + \frac{t}{l} \xi_r \sin^2 \beta_{20} \cos \beta_{20} \quad (3.3.49)$$

$$C_{wr} = \frac{t}{l} \xi_r \sin^3 \beta_{20} \quad (3.3.50)$$

3.3.5 evaluarea pierderilor în cazul micilor desprinderi

Calculul stratului limită poate fi condus numai pînă la desprindere, unde ecuațiile își pierd valabilitatea. Deoarece în multe cazuri pot apare zone mici de desprindere ($x_D/l > 0,85$),

evaluarea aproximativă a efectului acestora se poate face după /93, 90/, din care se dau numai expresiile finale pentru :

- grosimea pierderii de impuls la bordul de fugă

$$\frac{\sigma_{2f}}{l} = \frac{\sigma_{2D}}{l} \left(\frac{U_D}{U_f} \right)^2 + \frac{1}{2} \frac{(y_D)_D}{l} \left(\frac{U_D^2}{U_f^2} - 1 \right) \quad (3.3.51)$$

- suma grosimilor de deplasare pe extrados și intrados la bordul de fugă

$$\left(\frac{d_1^+}{l}\right)_f + \left(\frac{d_1^-}{l}\right)_f \cdot \frac{\pi}{2} B_1' \frac{W_{oid}}{U_f} \quad (3.3.52)$$

Indicele D se referă la punctul de desprindere, iar U_f este viteza la bordul de fugă obținută prin prelungirea graficelor vitezei teoretice (pe extradados și intrados) după tangentele duse în punctele situate la $0,95 l'$.

3.3.6 Comparații cu experimentul. Analiza rezultatelor și concluzii

Metoda propusă în secți. 3.3.5, cu unele îmbunătățiri față de cea prezentată în /9, 24/ a fost verificată cu date experimentale pentru rețele de profile MHT-1-12 % /6/ și NACA 8410 /93/. În secți. 3.1.5 au fost prezentate rezultatele calculului potențial ale caracteristicilor energetice și distribuțiilor de presiuni. Stratul limită a fost considerat complet turbulent pe toată suprafața profilului, iar calculul s-a efectuat cu metoda Head /39, 27/ (secți. 3.2.4) pentru care condițiile inițiale s-au determinat cu relațiile (3.2.31) și (3.2.32). În calcule s-a respectat numărul Reynolds realizat la încercări. Pentru NACA 8410 în /93/ se dă $Re_2 = 5 \cdot 10^5$. Pentru profilul MHT-1-12 % a fost luat numărul Reynolds $Re_m = V_m l / \nu$, format cu valoarea medie (pentru fiecare β_s în parte) în jurul căreia tinde să oscileze viteza meridională V_m , determinată experimental /6/. Valorile acestor numere Reynolds sînt date mai jos :

β_s°	$Re_m \left(\frac{l}{l'} = 0,75 \right)$	$Re_m \left(\frac{l}{l'} = 1 \right)$
30	$5,63 \cdot 10^4$	$5,83 \cdot 10^4$
60	$1,44 \cdot 10^5$	$1,07 \cdot 10^5$
90	$1,25 \cdot 10^5$	$1,32 \cdot 10^5$
120	$1,21 \cdot 10^5$	$1,23 \cdot 10^5$

Calculul complet, de la soluționarea curgerii potențiale pînă la calculul pierderilor hidraulice și al caracteristicilor energetice, în prezența curgerii viscoase din rețea, a fost efectuat cu ajutorul unor programe pe calculatorul HP 9845 S. Memoria operativă a calculatorului (62650 bytes) a fost insuficientă pentru un calcul în totalitate și din acest motiv s-a făcut în trei etape, cu programe diferite. Datele necesare etapei următoare s-au înregistrat pe bandă magnetică. La fiecare etapă s-au rezolvat următoarele probleme :

1. Soluționarea curgerii potențiale în rețea. Ca date ne-

cesare pentru etapa 2 pe bandă magnetică s-au înregistrat :

- parametrii rețelei de profile, și
- componentele distribuției de viteză, obținute din relațiile (3.1.21), care permit să se obțină configurația acestora pentru orice valoare a unghiului de incidență α .

2'. Determinarea parametrilor stratului limită în jurul profilului din rețea. Calculele au fost efectuate pentru un domeniu de incidențe, în general $\alpha \in (-10^\circ, 10^\circ)$, în care incidența minimă corespunde desprinderii totale a stratului limită pe intrados (în apropierea bordului de atac). Incidența maximă s-a luat în funcție de apariția desprinderii pe extrados, astfel încât aceasta să nu depășească mai mult de 15 % din coardă față de bordul de fugă ($x_D > 0,85 l$). Pentru etapa următoare s-au înregistrat :

- parametrii rețelei de profile
- mărimile caracteristicilor energetice ale rețelei în mișcarea potențială (coeficientul de portanță C_{ar} , unghiul de intrare β_1 și ieșire β_2 din rețea, etc)

- mărimile stratului limită la bordul de fugă (d_{1f}^+ , d_{2f}^+ , U_f) sau la desprindere (d_{1D}^+ , d_{2D}^+ , U_D^+)

- variațiile determinate de parametrii stratului limită în cele 2 puncte de pe extrados și intrados care influențează distribuția suplimentară de grosimi (3.3.6) și variația liniei de schel (3.3.7).

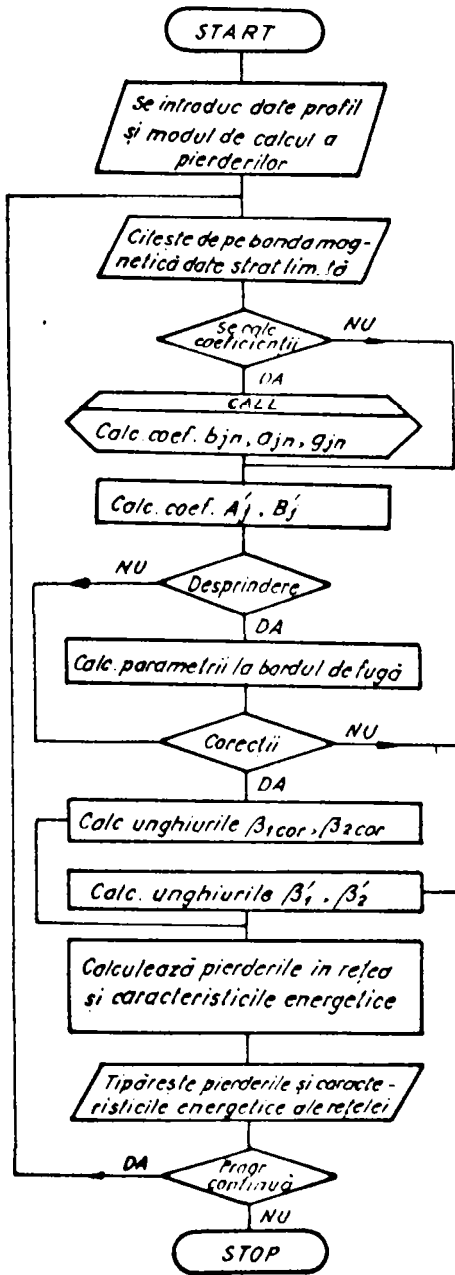
3. Calculul pierderilor hidraulice și al caracteristicilor energetice ale rețelei de profile (sect.3.3). Din acest calcul se obțin variațiile mărimilor ζ_r și C_{ar} în funcție de parametrii : α , β_1 , σ_u și C_{wr} .

Rezultatele obținute pentru rețelele de profile MHT-1-12% și NACA 8410 au fost reprezentate sub forma unor curbe primare, comparativ cu valorile experimentale :

- variația coeficientului de pierdere ζ_r cu coeficientul de deviație al rețelei σ_u (fig.3.3.5 pentru MHT-1-12 % și respectiv fig.3.3.8 pentru NACA 8410) la valorile considerate ale pasului relativ

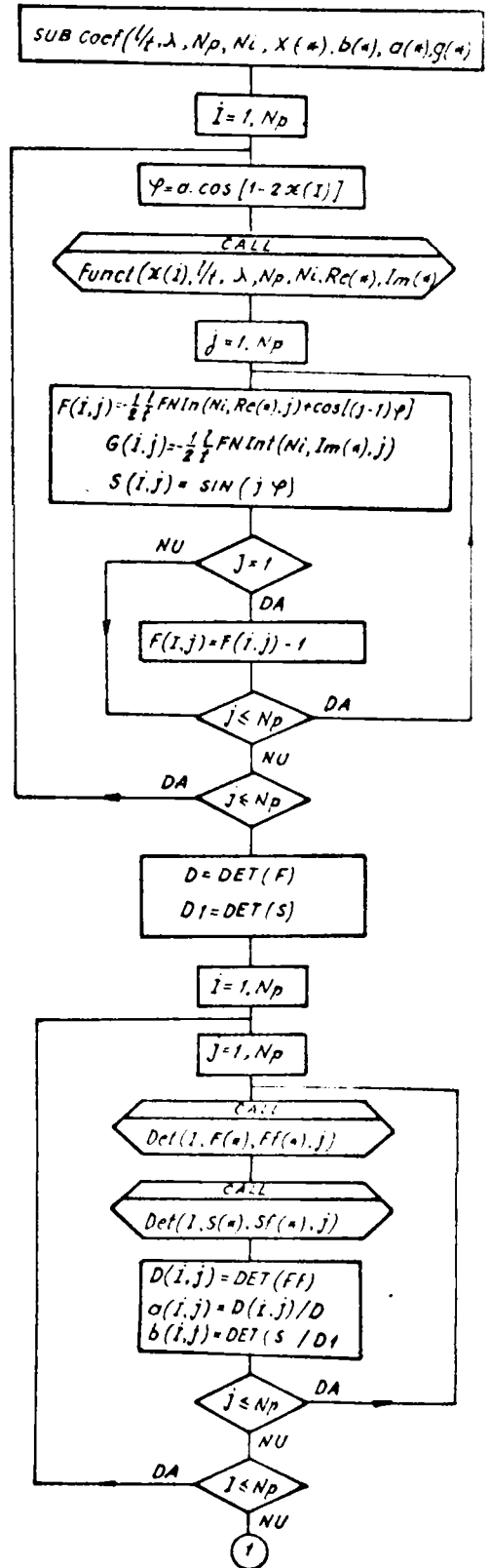
- variația coeficientului de portanță C_{ar} cu unghiul de la intrare în rețea β_1 (în curgerea cu frecare) și în funcție de coeficientul de rezistență la înaintare C_{wr} (fig.3.3.6 pentru MHT-1-12 % și respectiv fig.3.3.9 - 3.3.10 pentru NACA 8410)

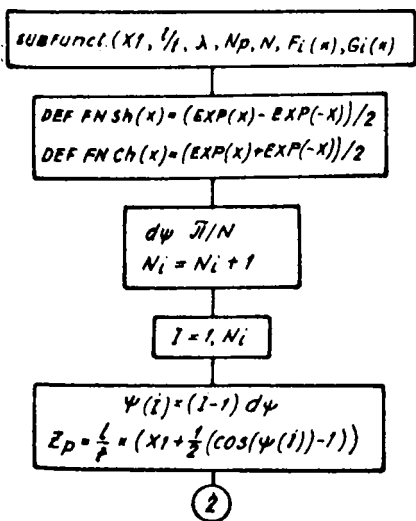
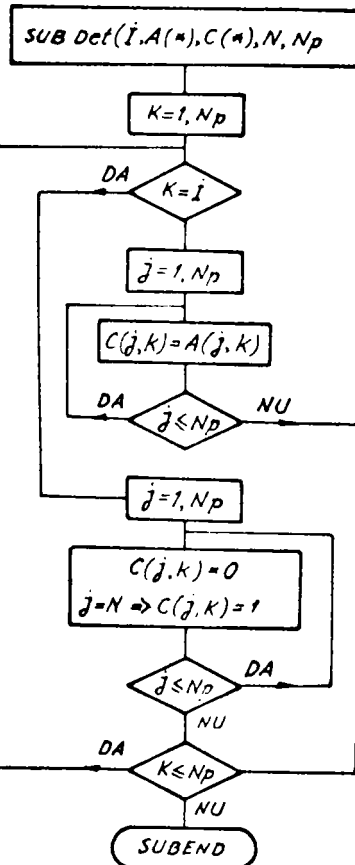
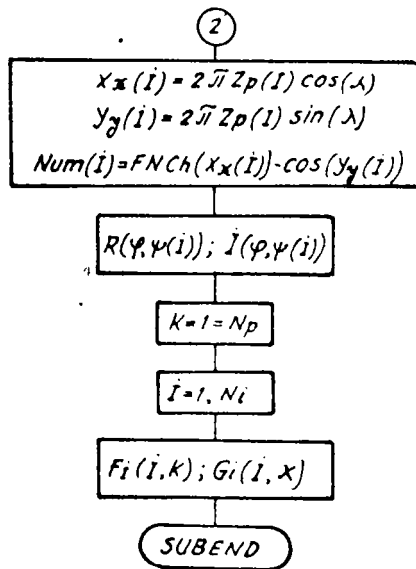
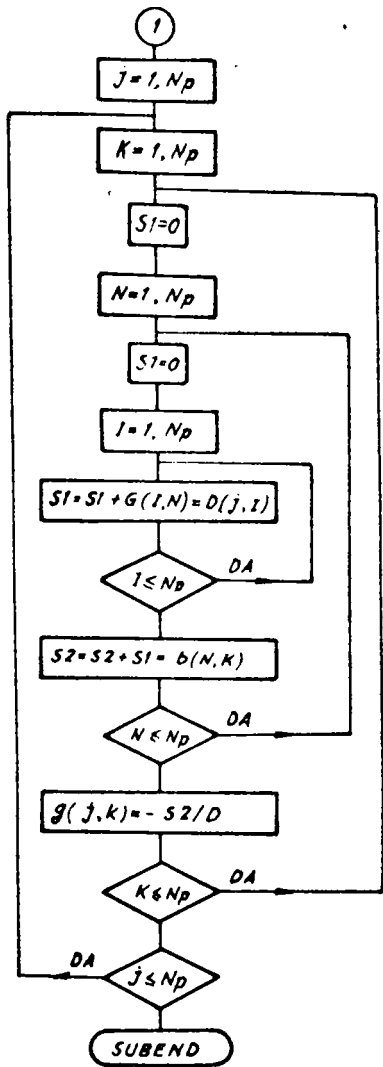
În fig.3.3.11 pentru rețeaua de profile MHT-1-12 % și fig. 3.3.7 pentru rețeaua de profile NACA 8410 sînt reprezentate sintetic curbele $C_{ar} = f(\beta_1)$ pentru toate cazurile calculate.



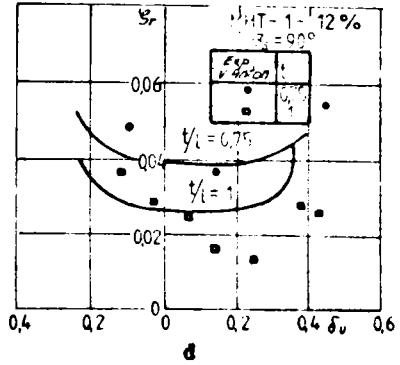
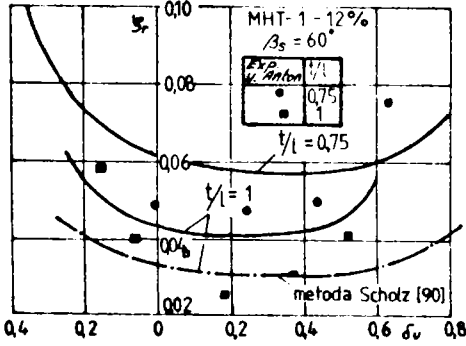
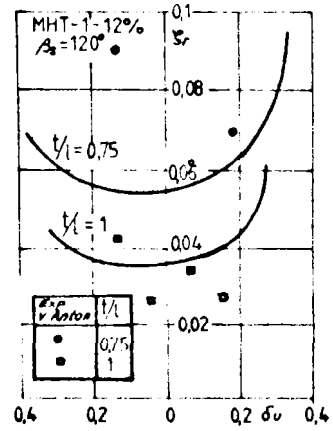
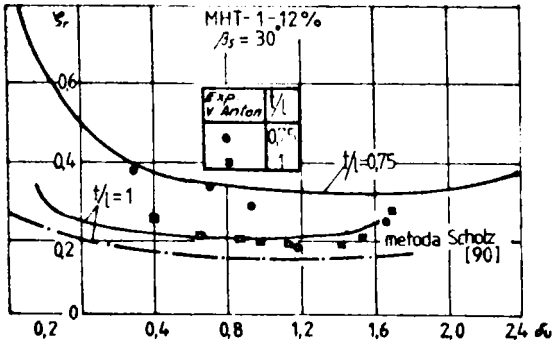
Schema de principiu a organizării programului de calcul a pierderilor și caracteristicilor energetice ale rețelei.

Schema logică a subprogramului de calcul a coeficienților b_{jn} , a_{jn} și g_{jn}





Observații: în SUB Coef - $N_p = 6$, $N_i = 25$
 - funcția Int calculează integralele din
 relațiile (3.3.13-3.9.14) cu metoda trapezelor



--- metoda Scholz (90)

Fig. 3.3.5 Dependenta $\xi_r - f(\delta_v)$ pentru profilul MHT-1-12%

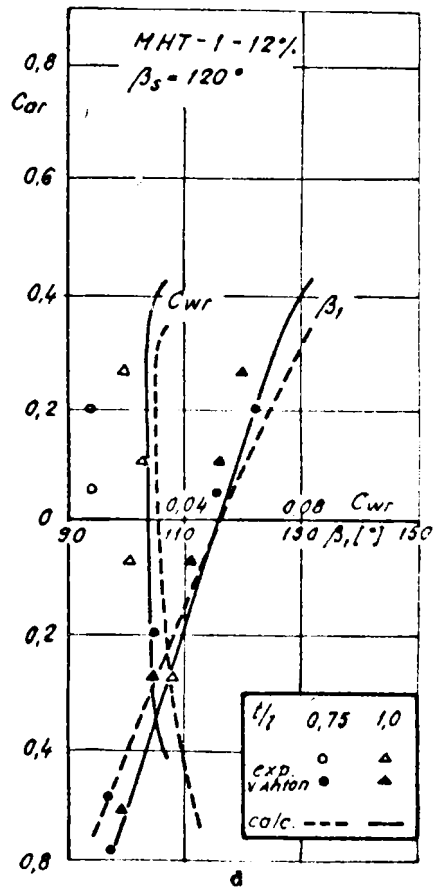
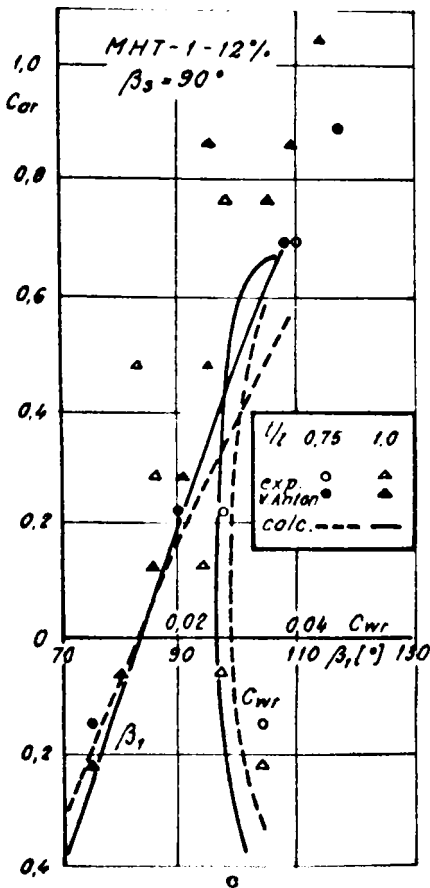
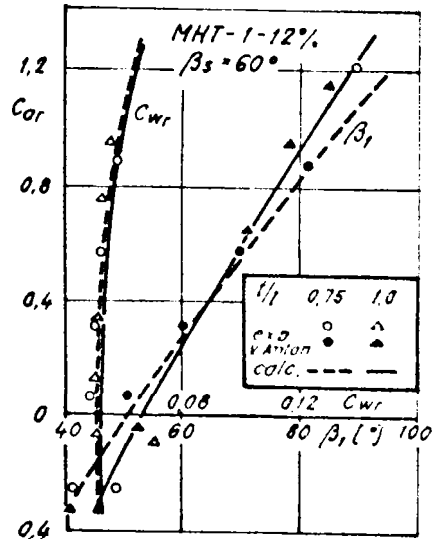
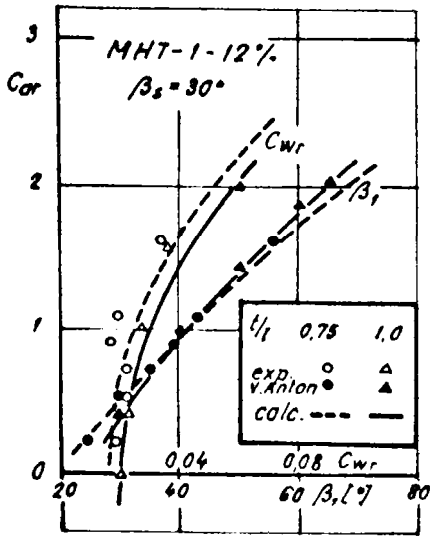


Fig. 3.3,6 Caracteristici energetice ale profilului MHT-1-12%

Analiza rezultatelor obținute ne conduce la următoarele concluzii :

a. Coeficienții de pierdere ζ_r calculați, în domeniul în care stratul limită nu prezintă desprinderi pe extradados sau intrados sau mici desprinderi pe extradados, se află în general într-o bună concordanță cu valorile obținute experimental. Pentru rețeaua de profile MHT-1-12 % la $\beta_5 = 60^\circ$ (fig.3.3.5 c) și $\beta_5 = 90^\circ$; $\frac{f}{l} = 0,75$ (fig.3.3.5 d) valorile calculate sînt ușor mai ridicate, decît valorile măsurate, în schimb o foarte bună corelare s-a obținut la $\beta_5 = 30^\circ$ (fig.3.3.5 a). Pentru NACA 8410 la $\beta_5 = 30^\circ$ (fig.3.3.8 a) domeniul pierderilor calculate arată o întindere mai mare ($\frac{f}{l} = 0,75$) decît al pierderilor experimentale.

b. Metoda stabilită (secțiunea 3.3) oferă valori ale coeficienților de pierdere mai mari decît metoda Scholz /90/ (cu mici modificări /93/). În fig.3.3.5 a și 3.3.5.c sînt date două comparații, în care pierderile s-au calculat pentru aceleași date ale curgerii potențiale și ale stratului limită. Aceste comparații arată că metoda propusă urmărește mai fidel domeniul valorilor experimentale.

c. Polarizarea profilului din rețea $C_{ar} = f(C_{wr})$, calculate și experimentale, atît pentru MHT-1-12 % (fig.3.3.6, cu excepție la $\beta_5 = 90^\circ$ și $\frac{f}{l} = 0,75$, fig.3.3.6.c), cît și pentru profilul NACA 8410 (fig.3.3.9 - 3.3.10), sînt bine corelate.

d. Variațiile coeficienților de portanță $C_{ar} = f(\beta_1)$ pentru $\beta_5 = 30^\circ$; 60° (fig.3.3.6.a,b și 3.3.9 b,c,d ; 3.3.10 a,c,d) urmăresc foarte aproape valorile experimentale. La $\beta_5 = 90^\circ$, în general, pentru ambele profile (fig.3.3.6 c și respectiv 3.3.10 b,e) valorile calculate sînt mai mici.

Ca o concluzie generală, se poate afirma că metoda de calcul a pierderilor hidraulice și a caracteristicilor energetice dă rezultate foarte bune într-un domeniu larg de incidențe,

$\alpha \in (-10^\circ ; 10^\circ)$, la valori ale unghiului de instalare și ale pasului relativ frecvent utilizate în mașinile hidraulice. Cu rezultate satisfăcătoare metoda poate fi utilizată și la $\beta_5 = 90^\circ$, însă astfel de unghiuri de instalare nu sînt întîlnite în turbo-mașini. Comparațiile cu valori experimentale arată că rezultate bune se obțin și pentru unghiuri de instalare folosite la compresoare.

Rezumînd cele prezentate mai sus, în acest capitol a fost propus și studiat un model de calcul etapizat în care curgera în rețea este analizată pornind de la mișcarea potențială, miș-

careea în stratul limită și diră pentru ca în final să fie obținute informații privind funcționarea rețelei de profile într-un curent de fluid real. Pentru acest model de calcul au fost rezolvate următoarele probleme :

1. A fost realizat un program de calcul pentru soluționarea curgerii potențiale în rețea. Printr-un procedeu simplu de modificare a reprezentării coordonatelor profilului (secțiunea 3.1.4), metoda de calcul /112/ (secț.3.1.2) poate fi folosită la determinarea caracteristicilor potențiale ale rețelei în care geometria profilului este cunoscută, indiferent de forma de reprezentare.

2. A fost realizat un program de calcul a stratului limită care cuprinde : calculul stratului limită laminar (secțiunea 3.2.2), stabilirea punctului de tranziție și a parametrilor stratului limită la tranziție (secțiunea 3.2.3) și calculul stratului limită turbulent (secțiunea 3.2.4).

Pentru a putea fi utilizată metoda Head /39/ la calculul stratului limită complet turbulent au fost deduse relațiile (3.2.31) și (3.2.32) care permit stabilirea condițiilor inițiale la integrarea numerică a sistemului de ecuații diferențiale (3.2.20) și (3.2.21).

3. S-a stabilit o metodă unitară și completă de calcul a pierderilor hidraulice în care :

- a fost luat în considerare efectul de coardă al grosimii de deplasare a stratului limită echivalent cu o micșorare a incidenței cu $\Delta\alpha_1$ (relația 3.2.3)

- influența efectelor de grosime (3.3.6) și curbură (3.3.7), care determină micșorarea circulației cu $\Delta\Gamma$, s-a considerat în 5 puncte pe profil (în /93, 90/ sînt luate în 3 puncte). În acest sens s-au stabilit sistemele de ecuații (3.3.11) și (3.3.18) din care pot fi calculate constantele b_{jn} și a_{jn} , iar cu relația (3.3.19) constantele q_{jn}

- pentru calculul modificării incidenței cu $\Delta\alpha_2$ a fost dedusă relația completă (3.3.24) pornind de la derivata coeficientului de portanță al profilului din rețea /86/. Valoarea coeficientului de influență al rețelei k_r se determină din calculul curgerii potențiale (în /90/ se consideră ca profil singular profile de curbură și grosimi moderate)

- relațiile de calcul ale unghiurilor de intrare β'_1 și ieșire β'_2 din rețea, în mișcarea cu frecare, au fost deduse considerînd modificarea totală a circulației $\Delta\Gamma$ (relațiile 3.3.32). În mod asemănător au rezultat expresiile (3.3.35) pentru calculul

corecțiilor datorită prezenței stratului limită

- descompunerea mărimilor stratului limită la bordul de fugă după direcția axei rețelei, relațiile (3.3.39) și (3.3.40), s-a făcut în raport cu unghiul β_s (în 193, 90, 52/ se ia β_2'). Această a avut o influență semnificativă asupra calculului corect al pierderilor cu relația (3.3.48), în special la valori mici ale unghiului de înaltare ($\beta_s = 30^\circ$)

- pe baza analizei curgerii în diră, din ecuația impulsului s-a dedus relația de calcul a pierderilor hidraulice (3.3.48) care este completă și comodă în aplicații

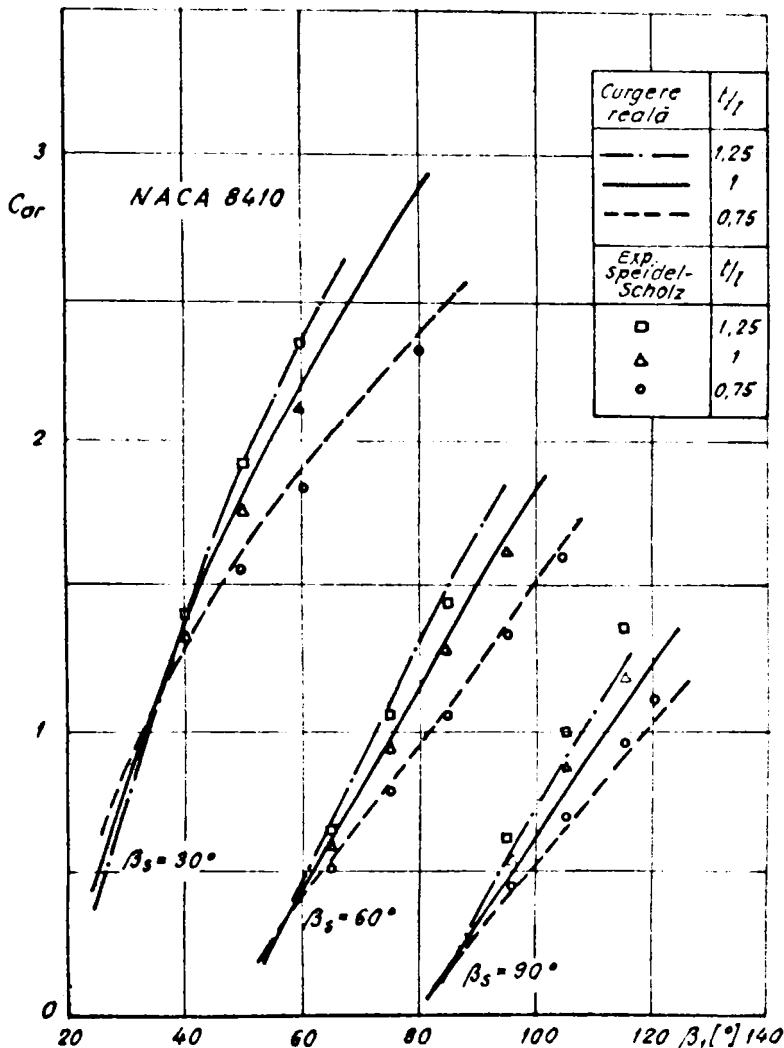


Fig.3.3.7 Variația coeficienților de portanță în curgerea viscoasă cu unghiul de la intrare pentru rețeaua de profile NACA 8410

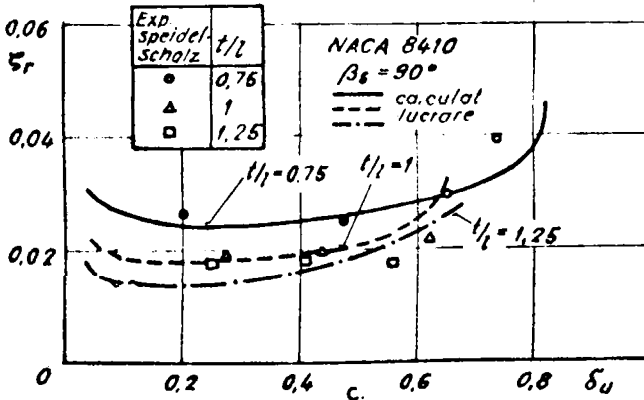
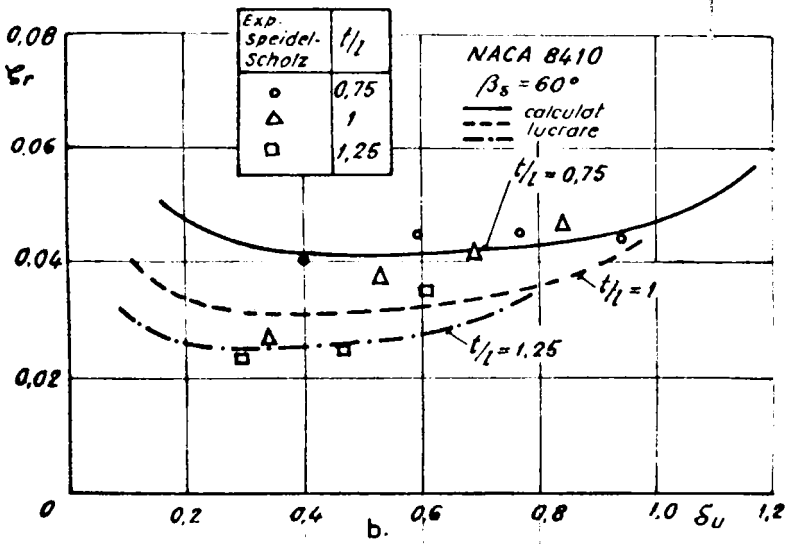
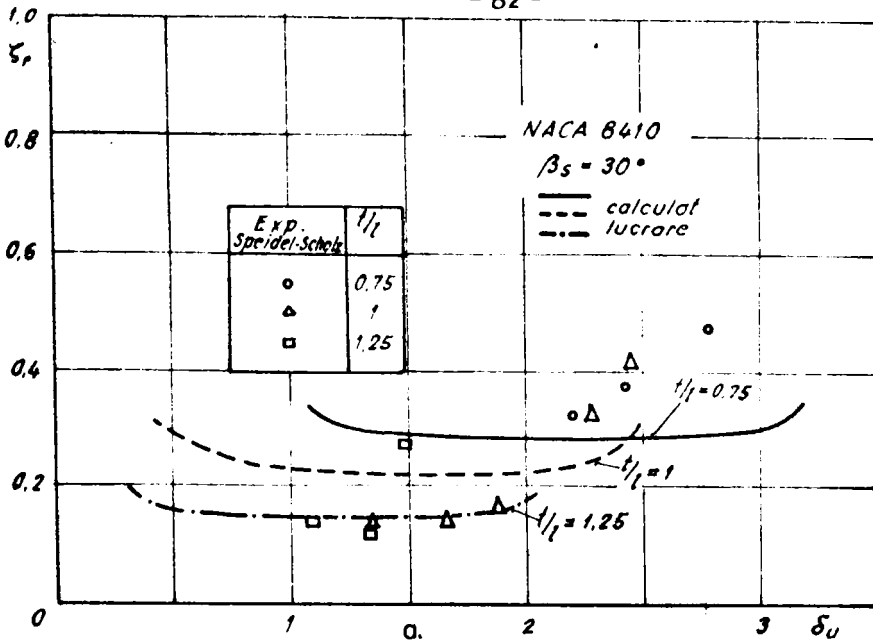


FIG. 3.3.8. Dependence of $\delta_r = f(\delta_u)$ on the profile NACA 8410

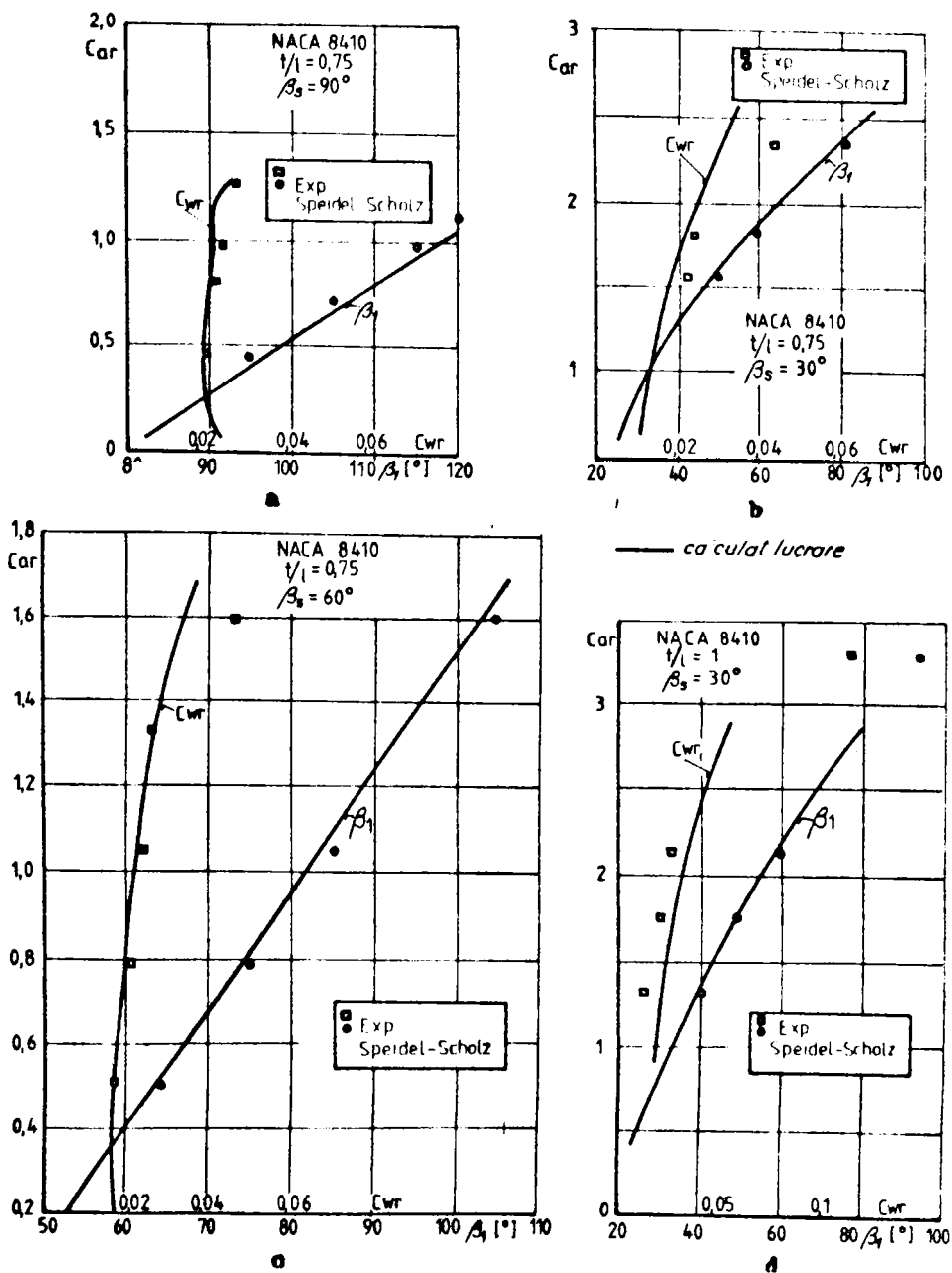
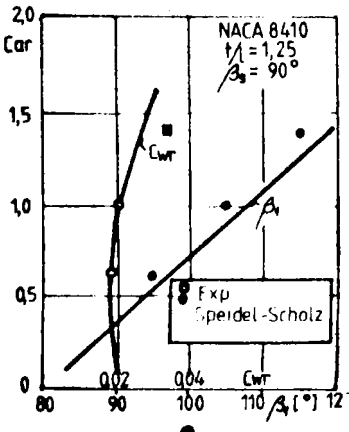
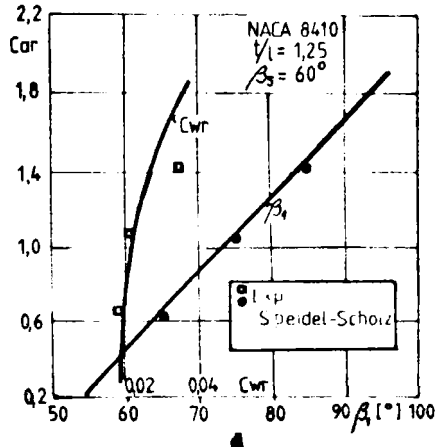
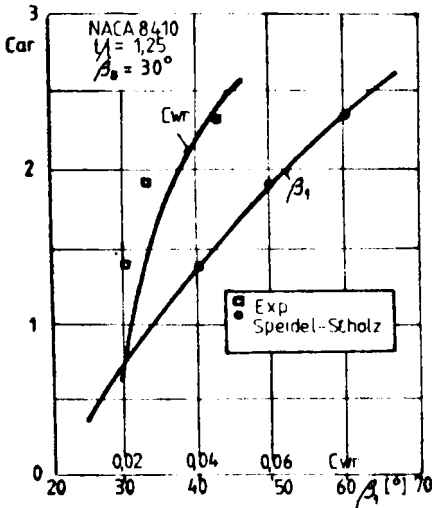
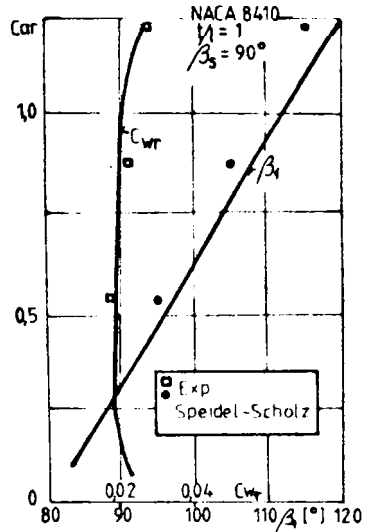
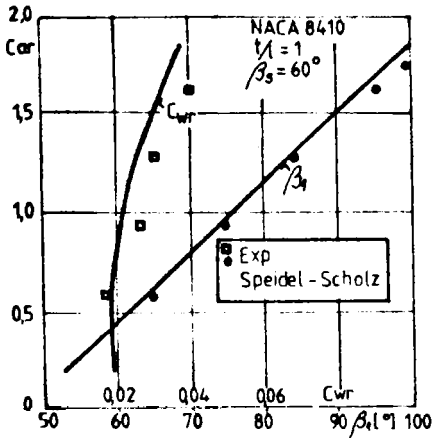


Fig. 3.3.9 Caracteristici energetice ale profilului NACA 8410



— calculat lucrare

Fig. 3.3.10 Caracteristici energetice ale profilului NACA 8410

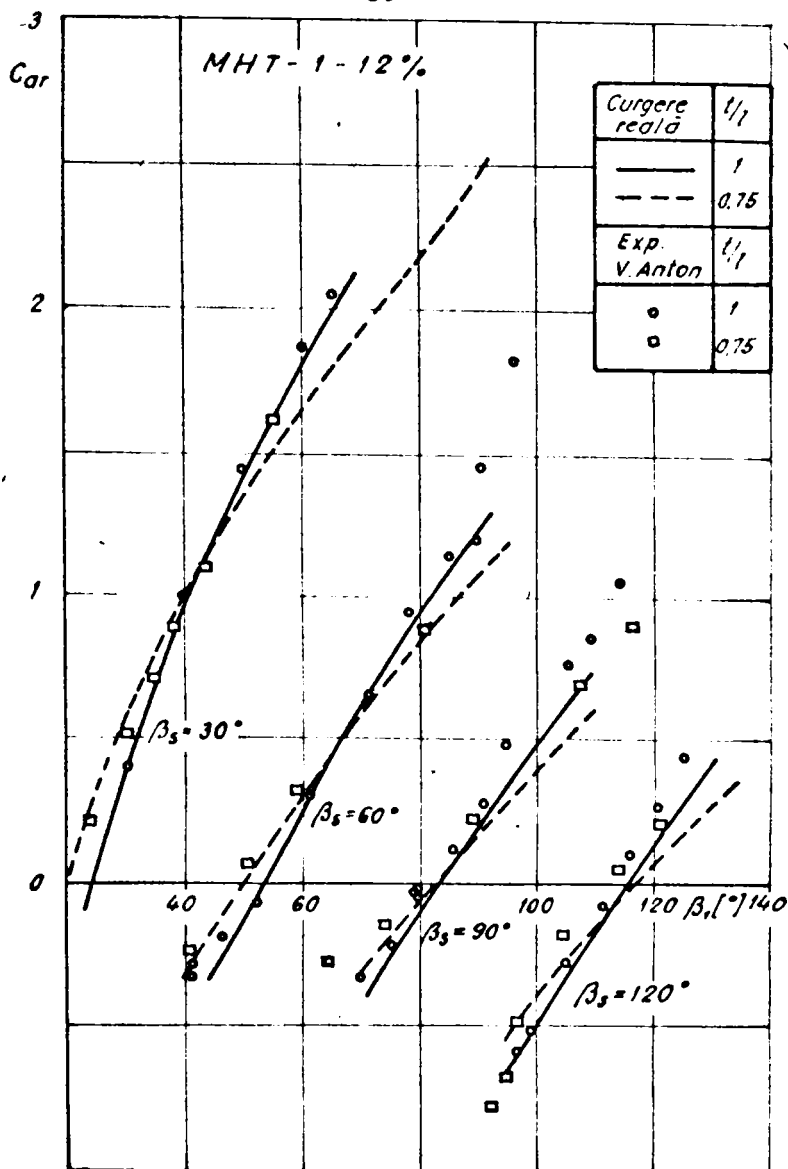


Fig.3.3.11 Variația coeficienților de portanță în curgerea viscoasă cu unghiul de la intrare pentru rețeaua de profile MHT-1-12 %

- pentru calculul pierderilor și al caracteristicilor energetice ale rețelei în curgerea cu frecare a fost realizat un program de calculator.

Modelul de analiză al curgerii în rețele plane de profile a dovedit că pot fi obținute rezultate bune atât pentru curgerea potențială (sect. 3.1.5) cit și pentru curgerea cu frecare (sect. 3.3.6).

CAPITOLUL 4

OPTIMIZAREA REȚELOR PLANE DE PROFILE PRIN TEORIA STRATULUI LIMITĂ

Problema optimizării rețelilor de profile bazată pe teoria stratului limită poate fi formulată astfel : fiind date condițiile de la intrare și ieșire din rețea, să se găsească profilul care va realiza portanța cu pierderi minime. Pentru rezolvarea acestei probleme sînt necesare două teorii : o teorie prin care să se stabilească un strat limită cu pierderi minime și care să ne ofere distribuția de viteză pe profil și o teorie a curgerii potențiale care, pe baza distribuției de viteză, să determine geometria profilului și a rețelei.

Pentru studiul stratului limită s-a ales metoda Le Foll /49/ deoarece aceasta poate fi adaptată unor probleme de proiectare. Metoda Le Foll introduce un plan auxiliar, numit plan imagine, în care pot fi reprezentate toate proprietățile generale ale straturilor limită laminare și turbulente. În planul imagine se trasează stratul limită cu proprietățile dorite, din care se deduce distribuția de viteză corespunzătoare extradosului profilului.

Studiul curgerii potențiale s-a făcut cu metoda ecuațiilor integrale, extinsă de Wilkinson /112/ la soluționarea problemei inverse, de dimensionare a rețelei pentru distribuția de viteză cunoscută pe extradosul profilului. Metoda constă dintr-un proces de analiză comparativă a distribuției de viteză cerute cu o distribuție de viteză pentru o configurație dată profilului din rețea.

Pentru rețeaua obținută se face o analiză a pierderilor hidraulice și se determină caracteristicile energetice cu metoda propusă în sect.3.3.

4.1 Ecuațiile generale ale stratului limită în planul imagine

Metoda Le Foll /49/ se bazează pe cele două ecuații fundamentale ale stratului limită, ecuația integrală a impulsului

$$f_1(U_e, x, H_{12}, \sigma_2) = 0 \quad (4.1.1)$$

și ecuația integrală a energiei

$$f_2(U_e, x, H_{12}, \sigma_2) = 0 \quad (4.1.2)$$

Aceste funcții depind de patru variabile; dacă două se fixează, atunci celelalte două pot fi deduse. În general se cunoaște $U_e(x)$ și se calculează $\sigma_2(x)$ și $H_{12}(x)$. Dacă dorim să proiectăm o rețea este preferabil a se fixa $H_{12}(x)$, adică de a impune proprietățile stratului limită pe care vrem să-l obținem. Pe baza

cunoștințelor pe care le avem despre proprietățile stratului limită, poate fi ales un astfel de strat limită care să corespundă problemei puse, iar prin intermediul ecuațiilor de mai sus să calculăm distribuția de viteză corespunzătoare stratului ales.

În continuare vom face o expunere a teoriei lui Le Poll privind reprezentarea grafică plană a stratului limită într-un sistem de coordonate (L, X) , în care ordonata L este un parametru de formă, iar abscisa X este un număr Reynolds bazat pe o scară de lungime caracteristică stratului limită.

Ecuațiile integrale ale impulsului (2.2.1) și energiei (2.2.2), în care mărimea X se schimbă cu lungimea S în lungul suprafeței profilului, pot fi puse sub forma

$$d(\sigma_2 U_e^2) + \sigma_1 U_e dU_e = \frac{C_f}{2} U_e^2 ds \quad (4.1.3)$$

$$d(\sigma_3 U_e^3) = C_D U_e^3 ds \quad (4.1.4)$$

Introducem disipația energiei E , definită de

$$E = \frac{1}{2} \rho \sigma_3 U_e^3 \quad (4.1.5)$$

care este o funcție crescătoare cu distanța de deplasare. Atunci, ecuația (4.1.4) devine

$$\frac{dE}{E} = C_D \frac{ds}{\sigma_3} \quad (4.1.6)$$

Ținând seama că $\sigma_3 = H_{32} \sigma_2$, din ecuația (4.1.5), prin logaritmare și diferențiere, se obține

$$\frac{d(\sigma_2 U_e^2)}{\sigma_2 U_e^2} = \frac{dE}{E} = \frac{dU_e}{U_e} + \frac{dH_{32}}{H_{32}} \quad (4.1.7)$$

care, combinată cu ecuația (4.1.3) dă

$$\frac{dE}{E} + (H_{12} - 1) \frac{dU_e}{U_e} = \frac{dH_{32}}{H_{32}} + \frac{1}{2} H_{32} \frac{C_f}{C_D} \frac{ds}{\sigma_3} \quad (4.1.8)$$

eliminând pe ds din (4.1.6) și (4.1.8) rezultă

$$\frac{1}{H_{12} - 1} \frac{dH_{32}}{H_{32}} = \frac{1}{H_{12} - 1} \left(1 - \frac{H_{32}}{2} \frac{C_f}{C_D} \right) \frac{dE}{E} + \frac{dU_e}{U_e} \quad (4.1.9)$$

Din relația (2.4.12) rezultă că $H_{12} = H_{12}(H_{32})$, astfel că membrul stâng al ecuației (4.1.9) poate fi considerat ca o diferențială totală

$$dL = \frac{1}{H_{12} - 1} \frac{dH_{32}}{H_{32}} \quad (4.1.10)$$

în care L este parametrul de formă introdus de Truckenbrodt [102]. Introducând parametrul

$$M = \frac{1}{H_{12} - 1} \left(1 - \frac{H_{32}}{2} \frac{C_f}{C_D} \right) \quad (4.1.11)$$

din (4.1.9) obținem o ecuație care leagă proprietățile intrinseci ale stratului limită, definite prin L , M și E , de distribuția de viteză U_e

$$\frac{dU_e}{U_e} = dL - M \frac{dE}{E} \quad (4.1.12)$$

În continuare vor fi stabilite coordonatele planului imagine astfel încît să fie posibilă reprezentarea în acest plan al oricărui strat limită, laminar sau turbulent. Se introduce, viteza sub forma

$$q = \ln \frac{U_e}{U_{ref}} \quad (4.1.13)$$

și lungimea de arc S sub forma unui număr Reynolds local generalizat

$$\phi = \int_0^S \frac{U_e}{\nu} ds \quad (4.1.14)$$

se introduc numerele Reynolds bazate pe grosimile stratului limită

$$Re_{\delta_1} = \frac{U_e \delta_1}{\nu}, \quad Re_{\delta_2} = \frac{U_e \delta_2}{\nu}, \quad Re_{\delta_3} = H_{32} Re_{\delta_2} \quad (4.1.15)$$

Cu noile variabile, distribuția de viteză $q = q(\phi)$ depinde de două scări; viteza de referință U_{ref} și viscozitatea cinematică ν . Aceste mărimi trebuie cunoscute dinainte pentru a putea calcula distribuția de viteză $U_e = U_e(S)$ pentru stratul limită pe care vrem să-l obținem.

Introducînd noile variabile q și ϕ în (4.1.6), (4.1.7) și (4.1.12) se obțin ecuațiile

$$\frac{dE}{E} = C_D \frac{d\phi}{Re_{\delta_3}} \quad (4.1.16)$$

$$\frac{dE}{E} = \frac{dRe_{\delta_3}}{Re_{\delta_3}} + 2dq \quad (4.1.17)$$

$$dL = dq + M \frac{dE}{E} \quad (4.1.18)$$

Eliminînd pe dq din (4.1.17) și (4.1.18) rezultă

$$(1+2M) \frac{dE}{E} = \frac{dRe_{\delta_3}}{Re_{\delta_3}} + 2dL \quad (4.1.19)$$

Se introduce un nou număr Reynolds Re_4 care poate fi definit prin

$$Re_4 = Re_{\delta_3} e^{2L} \quad (4.1.20)$$

ceea ce ne permite să punem ecuația (4.1.19) sub o formă simplă

$$(1+2M) \frac{dE}{E} = \frac{dRe_4}{Re_4} \quad (4.1.21)$$

Deoarece $dE/E > 0$ și $(1+2M) > 0$ /49, 65/ atunci, putem

folosi pe Re_4 ca o variabilă independentă în corelație cu o scară de lungime. Pentru simplificare introducem

$$X = \ln Re_4 \quad (4.1.22)$$

Eliminând dE/E între (4.1.18) și (4.1.21) și între (4.1.18) și (4.1.16) și ținând seama de (4.1.22) se obține

$$dq = dL - \frac{M}{1+2M} dX \quad (4.1.23)$$

$$d\phi = \frac{e^{X-2L}}{(1+2M)C_D} dX \quad (4.1.24)$$

În aceste ecuații q corespunde vitezei, ϕ lungimii arcului, X numărului Reynolds, bazat pe o mărime caracteristică stratului limită, și L unui factor de formă al profilului vitezei, așa cum le întâlnim într-un set de ecuații, tipic stratului limită. Prin urmare, s-a găsit formularea uzuală a stratului limită, care corespunde la două ecuații diferențiale cu două variabile independente. Aceste ecuații se folosesc pentru calculul dezvoltării stratului limită și se consideră valabile, atât pentru stratul limită laminar, cât și pentru stratul limită turbulent.

Problema poate fi pusă în două moduri :

a. Dacă distribuția de viteză q (ϕ) este dată, se poate găsi $L(\phi)$ și $X(\phi)$ sau $L(X)$ - problema directă.

b. Dacă sînt date o serie de proprietăți $L(X)$ se poate găsi $q(\phi)$ - problema inversă.

În ambele cazuri $M(L, X)$ și $C_D(L, X)$ trebuie să fie cunoscute. Evaluarea acestora poate fi făcută pe baza unor relații din teoria stratului limită (cap-2).

Un aspect particular și foarte important al calculului stratului limită privește punctul de desprindere. Se știe că regiunea stratului limită reprezentată prin legea logaritmică universală se îngustează treptat cînd ne apropiem de acest punct și dispare cînd $y_u/\nu \rightarrow 60$. Pentru toate numerele Reynolds Re_G , parametrul H_{32} trece printr-un minim de aproximativ 1,49 cînd H_{12} crește. Minimul este atins cînd $60 < \frac{y_u}{\nu} < \infty$. Această condiție este suficientă pentru a defini începutul desprinderii.

Putem deci să definim parametrul de forma L precizînd constanta din ecuația (4.1.10)

$$L = \int_{H_{32min}}^{H_{32}} \frac{dH_{32}}{H_{32}(H_{32}-1)} \quad (4.1.25)$$

astfel că $L = 0$ corespunde începutului desprinderii stratului limită.

4.2 Normalizarea funcțiilor M și C_D

Pentru a rezolva ecuațiile diferențiale ale stratului limită (4.1.23) și (4.1.24) este necesar să cunoaștem funcțiile M , definită de relația (4.1.11), și C_D , definită de relația (2.2.6), în raport cu cele două variabile independente L și X .

a. Stratul limită laminar

Determinarea funcțiilor M și C_D pentru stratul limită laminar se poate face teoretic. În cazul de față s-a folosit metoda aproximativă a lui Taniguchi /97/. Urmind pe Polhausen /79,88/, el acceptă pentru profilul vitezei în stratul limită un polinom de gradul patru, pentru care rămâne nedeterminat un coeficient α ,

$$\frac{U}{U_e} = 1 - \left(1 - \frac{y}{\delta}\right)^3 \left[1 + (3-\alpha) \frac{y}{\delta}\right] \quad (4.2.1)$$

Ecuațiile integrale ale impulsului (2.2.1) și energiei (2.2.2) pot fi scrise sub forma

$$\frac{U_e}{\nu} \frac{d\delta_2^2}{ds} + 2(2 + H_{12}) \frac{\delta_2^2}{\nu} \frac{dU_e}{ds} = P \quad (4.2.2)$$

$$\frac{U_e}{\nu} \frac{d(H_{32}\delta_2^2)}{ds} + 6 \frac{H_{32}\delta_2^2}{\nu} \frac{dU_e}{ds} = Q \quad (4.2.3)$$

unde

$$P = \frac{2\delta_2}{U_e} \left(\frac{\partial U}{\partial y}\right)_{y=0}, \quad Q = \frac{4H_{32}\delta_2}{U_e^2} \int_0^\delta \left(\frac{\partial U}{\partial y}\right) dy \quad (4.2.4)$$

Substituind ecuația (4.2.1) în (1.3.1), (1.3.2), (2.2.7) și (4.2.4) se obține

$$H_{12} = \frac{63(8-\alpha)}{144 + 12\alpha - 5\alpha^2} \quad (4.2.5)$$

$$H_{32} = \frac{3(10512 + 876\alpha - 253\alpha^2 - 21\alpha^3)}{143(144 + 12\alpha - 5\alpha^2)} \quad (4.2.6)$$

$$P = \frac{\alpha}{630} (144 + 12\alpha - 5\alpha^2) \quad (4.2.7)$$

$$Q = \frac{1}{525525} (48 - 4\alpha + 3\alpha^2)(10512 + 876\alpha - 253\alpha^2 - 21\alpha^3) \quad (4.2.8)$$

Mărimile H_{32} și Q variază slab cu α și pot fi înlocuite

cu valori constante. Atunci, ecuația (4.2.3) poate fi integrată și se obține

$$\lambda \cdot \frac{d\alpha^2}{\sqrt{\alpha}} \frac{dU_e}{ds} = 0,44 \frac{dU_e}{ds} \frac{1}{U_e^3} \int_0^s U_e^5 ds \quad (4.2.9)$$

Legătura din parametrii λ și α rezultă din ecuațiile (4.2.2) și (4.2.3) eliminând pe $d\alpha^2/ds$

$$\lambda(H_{32}-1) = \frac{1}{2} \left(P - \frac{Q}{H_{32}} \right) \quad (4.2.10)$$

în care s-a neglijat termenul $\lambda \frac{d(\ln H_{32})}{\int(\ln U_e)}$. Parametrul α variază în intervalul $\alpha \in [0, 4]$, în care $\alpha = 4$ corespunde punctului de impact și $\alpha = 0$ corespunde desprinderii stratului limită.

Observind relațiile (4.1.11) și (4.1.25) și ținând seama de (4.2.5), (4.2.6) și de faptul că raportul

$$\frac{C_f}{2C_D} = \frac{35}{2} \frac{\alpha}{48-4\alpha+3\alpha^2} \quad (4.2.11)$$

dedus din (4.2.4), rezultă că funcțiile L și M depind numai de parametrul α , astfel că pentru stratul limită laminar M depinde numai de L . Pentru $\alpha \in [0, 4]$ se obține curba $M(L)$, fig.4.2.1. În planul imagine $L = L(X)$ funcția M apare ca o familie de drepte paralele cu axa X (fig.4.2.3).

Având în vedere definițiile (4.2.4) și (2.2.6) ale mărimilor Q și respectiv C_D se deduce

$$Q = 2C_D Re \delta_3^2 \quad (4.2.12)$$

iar pe baza definiției (4.1.22) a variabilei X din (4.1.20) rezultă $Re \delta_3^2 = e^{X-2L}$. Prin urmare,

$$C_D = C_D(\alpha) = \frac{Q(\alpha)}{2e^{X-2L(\alpha)}} \quad (4.2.13)$$

Pentru $\alpha \in [0, 4]$ vom avea o familie de curbe $C_D(X, L)$ (fig.4.2.2). Transpunerea acestei familii de curbe în planul imagine $L = L(X)$ se obține prin intersectarea cu drepte

$C_D = \text{const}$ (fig.4.2.3)

b. Stabilitatea stratului limită laminar

A fost discutată stabilitatea curgerii laminare (secț.2.3) și s-a arătat că pentru fiecare profil de viteză există un număr Reynolds, bazat pe grosimea de eliminare δ_i , sub care perturbațiile de orice frecvență sînt amortizate. În fig.2.3.1 a fost dată curba de stabilitate a stratului limită laminar $(Re \delta_i)_{crit} = f(\lambda)$. Pentru a cunoaște stabilitatea laminară în planul imagine, este necesar să transpunem această curbă în coordonatele L și X .

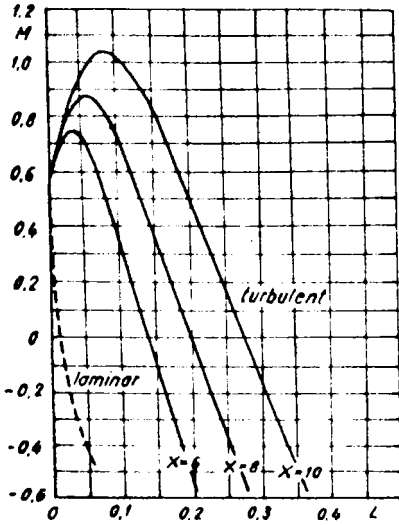


Fig.4.2.1 Curbele $M=f(L)$ pentru straturile limită laminare și turbulente

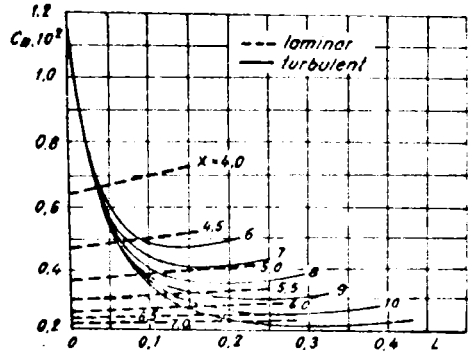


Fig.4.2.2 Curbele $C_D=f(L)$ pentru straturile limită laminare și turbulente

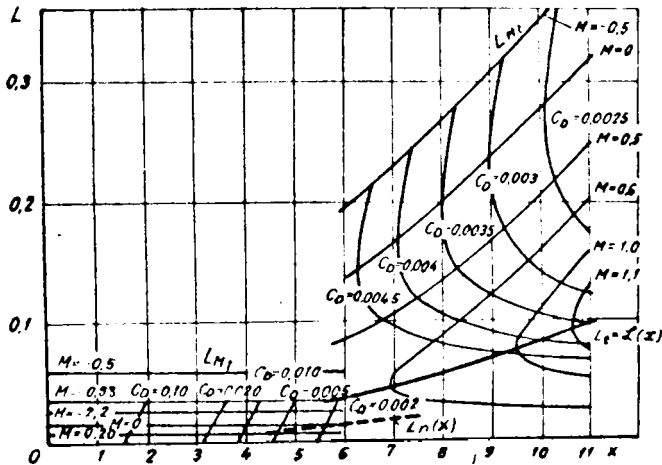


Fig.4.2.3 Reprezentarea proprietăților straturilor limită în planul imagine

Intre parametrul de formă a lui Polhausen Λ , definit de relația (2.3.1), și parametrul λ , definit de relația (4.2.9), există relația

$$\Lambda = \frac{1260^2}{(144 + 12\lambda - 5\lambda^2)^2} \lambda \quad (4.2.14)$$

Tinând seama de relația (4.2.10), prin câteva transformări simple, se poate obține o legătură $\Lambda = \Lambda(\alpha)$. Având în vedere că $L = L(\alpha)$, rezultă că $L = L(\Lambda)$.

Din (4.1.22) se poate deduce o legătură între L , X și $Re_{\mathcal{D}_1}$

$$X = \ln \left(\frac{H_{32}}{H_{12}} e^{2L} Re_{\mathcal{D}_1} \right) \quad (4.2.15)$$

sau

$$L = \ln \left(\frac{H_{12}}{H_{32}} \frac{1}{Re_{\mathcal{D}_1}} \right)^2 + \frac{1}{2} X \quad (4.2.16)$$

Cu H_{12} și H_{32} cunoscuți din (4.2.5) și (4.2.6) se obține o legătură $L = L(\alpha, Re_{\mathcal{D}_1}, X)$. Această relație ne permite ca pentru $\alpha \in [0, 4]$ și diferite valori $Re_{\mathcal{D}_1} = \text{const.}$ (corespunzătoare curbei din fig.2.3.1) să obținem o familie de curbe $L(X)$ având ca parametru $Re_{\mathcal{D}_1}$. Pentru fiecare valoare $Re_{\mathcal{D}_1}$, curbei din fig.2.3.1 îi corespunde o valoare a parametrului Λ . Cunoscând legătura $L(\Lambda)$ se pot obține perechile de valori L și X din planul imagine, corespuzătoare perechilor de valori $Re_{\mathcal{D}_1}$ și Λ ale curbei de stabilitate. În acest mod a fost obținută curba de stabilitate a stratului limită laminar în planul imagine, notată prin $L_n(X)$ (fig.4.2.3)

c. Stratul limită turbulent

În secț.2.4 s-a arătat că, dacă stratul limită respectă condițiile de echilibru, există o legătură univocă între parametrul de echilibru \mathcal{N} și parametrul de formă I (relația 2.4.13). Pentru profile dispuse în rețea din calcule a rezultat că avem îndeplinite aceste condiții (fig.2.4.2). În această situație putem calcula:

- coeficientul de frecare C_f cu (2.4.19)
- coeficientul de echilibru \mathcal{N} cu (2.4.13)
- parametrul de formă I cu (2.4.11)
- coeficientul de disipație U_D cu (2.4.23)
- funcția M cu (4.1.11)

Parametrul de formă L se calculează cu relația de definiție (4.1.25) tinând seama de relația (2.4.12). Integrarea începe cu $H_{32min} = 1,49$, corespuzător punctului de desprindere pentru care $L = 0$.

Din definiția (4.1.22) a variabilei X se poate deduce

$$Re_{\sigma_2} = \frac{e^{X-2L}}{H_{32}} \quad (4.2.16)$$

astfel că pentru stratul limită turbulent putem obține o familie de curbe $M = M(L, X)$ (fig.4.2.1) și respectiv o familie de curbe $C_D = C_D(L, X)$ (fig.4.2.2), avînd ca parametru variabila X . Intersecția acestor curbe cu drepte paralele $M = \text{const.}$ și respectiv $C_D = \text{const.}$ ne oferă posibilitatea să obținem în planul imagine curbele $L = L(X)$ avînd ca parametru M sau C_D (fig.4.2.3).

d. Stabilitatea stratului limită turbulent

Încercările lui Clauser /30/ de a stabili un strat limită în echilibru cu gradient de presiune pozitiv au întîmpinat numeroase dificultăți. Clauser a fost tentat de a le explica presupunînd existența unei instabilități diferite, prin natura sa, de instabilitatea întîlnită în straturile limită laminare. Această instabilitate a fost numită de tip "S", sau instabilitate aval, pentru că ea nu este legată de o modificare a naturii curgerii, ci simplu de comportarea perturbațiilor în aval de punctul de excitație.

Reprezentînd perturbațiile în planul (φ, ϕ) și cerînd ca perturbațiile corespunzătoare în planul (L, X) să fie amortizate în aval, Papailiou /65/ a stabilit curba de stabilitate turbulentă $L_t(X)$ (fig.4.2.3). Din calcule s-a putut stabili că curba $L_t(X)$ corespunde cu $\mathcal{L}(X)$, locul punctelor unde $m(L)_{X=\text{const}}$ (fig.4.2.1) ia valoarea maximă. Regiunea stabilă este $L > L_t(X)$.

4.3 Proprietățile generale ale stratului limită în planul imagine

Pentru a discuta proprietățile stratului limită, vom considera planul imagine dat în fig.4.2.3, în care, prin $L = 0$ am definit limita inferioară a lui L pentru toate straturile limită nedesprinse. Deoarece $(1 + 2M) > e$ înseamnă că există o limită superioară pentru L , care este diferită pentru straturile limită laminare (L_{Ml}) și turbulente (L_{Mt}). În acest plan mai este reprezentată curba de stabilitate laminară $L_n(X)$ /88/ și curba de stabilitate în mișcarea turbulentă $L_t(X)$ (curba lui Clauser /65/). Pentru stratul limită laminar regiunea stabilă este dată de $L > L_n(X)$, iar pentru stratul limită turbulent de $L > L_t(X)$.

În cazul stratului limită laminar vom considera pentru un număr Reynolds $(Re_{S_F})_1$ (bazat pe lungimea totală a arcului extradadosului profilului S_F și viteza de referință U_{Ref}) o curbă imagine AB (fig.4.3.1) corespunzătoare distribuției de viteză a-dimensionale. Papailiou /65/ a arătat că dacă numărul Reynolds crește pînă la valoare $(Re_{S_F})_2$ și noua distribuție de viteză se

retransferă în planul imagine, se va obține o curbă imagine A'B' care are aceeași formă ca și curba inițială, însă deplasată cu ΔX spre dreapta

$$\Delta X = \frac{1}{2} \ln \left[\frac{(Re_{SF})_2}{(Re_{SF})_1} \right] \quad (4.3.1)$$

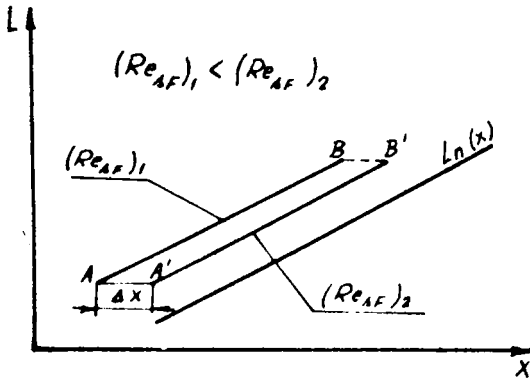


Fig.4.3.1 Deplasarea curbei imagine când numărul Reynolds Re_{SF} crește

Prin urmare, o creștere a numărului Reynolds Re_{SF} deplasează curba imagine spre dreapta, iar o scădere o deplasează spre stînga. Important este faptul de a menține stratul limită laminar (stabil) pe un segment dat al profilului în punctul de interes Reynolds la care funcționează rețeaua. În acest caz este de preferat ca proiectarea rețelei să se facă

la numărul Reynolds minim de funcționare $(Re_{SF})_{min}$ deoarece acesta este cel mai critic din punct de vedere al desprinderii stratului limită turbulent (curba AB, fig.4.3.2) /65/. Putem deci lua deplasarea maximă posibilă egală cu

$$\Delta X = \frac{1}{2} \ln \left[\frac{(Re_{SF})_{max}}{(Re_{SF})_{min}} \right] \quad (4.3.2)$$

a curbei imagine spre dreapta (curba A''B''), considerînd ca curbă de stabilitate a desenului o curbă fictivă de stabilitate deplasată cu ΔX spre stînga ($L_n(X)$ deplasat).

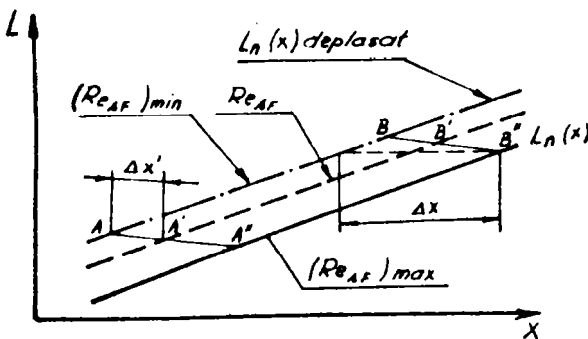


Fig.4.3.2 Reprezentarea schematică a deplasării curbei lui Schlichting

Mărind acum numărul Reynolds, curba imagine (AB) se va deplasa spre dreapta (curba A'B') cu

$$\Delta X' = \frac{1}{2} \ln \left[\frac{Re_{SF}}{(Re_{SF})_{min}} \right] \quad (4.3.3)$$

dar nu va depăși curba stabilitate reală $L_n(X)$, deoarece $\Delta X' < \Delta X$ sau $Re_{SF} < (Re_{SF})_{max}$, astfel că A'B' traversează o regiune stabilă a stratului limită laminar.

Ca o concluzie a acestei discuții putem spune că la numărul Reynolds de proiectare Re_{SF} este de preferat să luăm o măjă de siguranță pentru curba imagine a stratului limită laminar față de curba de stabilitate $L_n(X)$.

La stabilirea distribuției de viteză în planul imagine trebuie ținut seama că, în general, rețelele de turbine se caracterizează prin numere Reynolds relativ mari la care corespund coeficienți de portanță relativ mici (pentru paletetele turbinelor axiale s-a găsit că $Re_{\infty} C_{ar} = const.$).

Deoarece pierderile în curgerea laminară sînt cu un ordin de mărime mai mici decît în cea turbulentă, ar trebui ca stratul limită laminar să se întindă pe o porțiune cît mai mare din suprafața profilului. Datorită însă numerelor Reynolds mari și a turbulenței relativ ridicate, stratul limită nu poate fi menținut laminar decît pe o zonă îngustă în apropierea bordului de atac. De aici rezultă că pierderile hidraulice pentru astfel de rețele se datoresc stratului limită turbulent.

Este cunoscut faptul că pierderile sînt proporționale cu grosimea de impuls δ_2 . Din relația (4.2.16) se poate scrie

$$\frac{\delta_2}{s} = \frac{1}{Re_s} \frac{e^{X \cdot 2L}}{H_{32}(L)} \quad (4.3.4)$$

în care $Re_s = \frac{Ue s}{\nu}$, iar $H_{32}(L)$ este o funcție crescătoare cu L . Relația (4.3.4) ne arată că δ_2 scade cu creșterea lui L , ceea ce înseamnă că curba imagine a stratului limită turbulent trebuie ridicată la valori cît mai mari ale lui L .

De asemenea, foarte important este faptul ca distribuția de viteză pe profil să prezinte un palier, aceasta pentru compatibilitatea cu distribuția de grosimi folosită la calculul profilului. Ecuația (4.1.23) cu relația de definiție (4.1.13) a lui η poate fi scrisă

$$\frac{dUe}{Ue} + dl = \frac{M}{1+2M} dX \quad (4.3.5)$$

din care, pentru $\frac{dUe}{Ue} = 0$ rezultă

$$dl = \frac{M}{1+2M} dX \quad \text{sau} \quad l = \int \frac{M}{1+2M} dX + const. \quad (4.3.6)$$

Realizarea unui palier de viteză constantă este greu de obținut atât în planul imagine, prin integrarea relației (4.3.6) (deoarece M depinde de L și X), cât și la dimensionarea profilului. Analiza unor profile dispuse în rețea de turbină a arătat că pentru domeniul optim de funcționare distribuția de viteză poate avea o porțiune în care dU_e / U_e este negativ însă foarte apropiat de valoarea zero. O astfel de porțiune poate fi realizată pentru valori mici ale lui M , apropiate de zero. Valori mici ale lui M înseamnă valori mari pentru L și conform relației (4.3.4) pierderi minime.

În general, după palierul vitezei urmează inevitabil o decelerare (mai pronunțată la portanțe mari). Decelerarea constituie partea cea mai importantă a curgerii în jurul unui profil, deoarece acest proces este strins legat de pierderile în rețea. Observind ecuația (4.3.5) decelerarea poate fi făcută în două moduri :

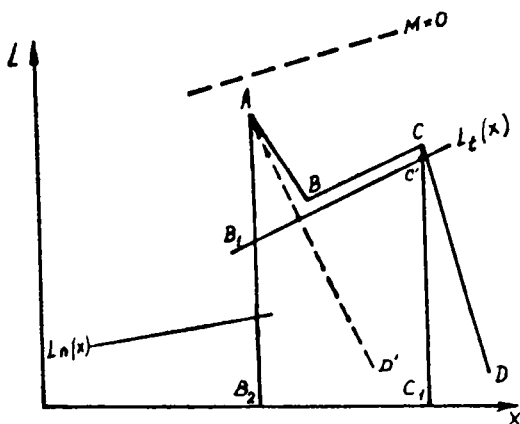


Fig.4.3.3 Curba imagine pentru decelerarea optimă

a'. Prin descreșterea valorii parametrului de formă L . Reducînd pe L pînă la valoarea zero (dreapta AB_2 , fig.4.3.3) putem realiza o decelerare fără o creștere a disipației, $d\tau = 0$ (sau $dX = 0$). O astfel de variație a lui L corespunde evident la o deformare a profilului de viteză în straturile limită. Această decelerare are neajunsul în primul rînd de a fi mică și în al doilea rînd de a fi fizic imposibil de realizat, deoarece aceasta ar implica un transfer de energie de la straturile interioare la cele exterioare.

b'. Prin creșterea disipației energiei E , care depinde de valoarea funcției M . Din relația (4.1.21) cu (4.1.22) se obține

$$\frac{dE}{E} = \frac{dX}{1+2M} \quad (4.3.7)$$

Această relație ne arată că creșterea va fi minimă dacă M ia valoarea maximă. Pentru stratul limită turbulent M atinge un maxim care este mult îndepărtat de desprindere. Locul geometric $\mathcal{L}(X)$ (fig.4.3.3) care este definit de condiția că M ia valoarea maximă, este foarte important, deoarece decelerarea în lungul acestei linii asigură o creștere minimă a disipației energiei.

c'. Decelerația optimă

Din cele prezentate pînă acum a rezultat că o decelerație fără o creștere a energiei de disipație poate fi realizată prin descreșterea lui L , însă aceasta este mică. Pentru a obține o decelerație mai mare, va trebui să creștem disipația energiei cinetice. După cum s-a arătat, această decelerație depinde de M și prin urmare disipația va fi minimă dacă M ia valoarea maximă. De aici se poate deduce că o decelerație optimă ideală poate fi reprezentată în planul imagine prin curba AB_1CC_1 (fig.4.3.3). Extinderea părții B_1C_1 depinde de mărimea decelerației dorite.

Dacă decelerația în lungul curbei $L_t(X) = \mathcal{L}(X)$ este fizic posibilă (B_1C_1), după cum am arătat, decelerația în care variază numai L este fizic imposibilă. Vom folosi curba imagine corespunzătoare vitezei maxime de decelerație dL/dX care este fizic posibilă pentru a înlocui părțile decelerației ideale AB_1 și CC_1 . Pornind din A vom folosi viteza maximă de decelerație, care este cît mai aproape posibil de AB_1 pînă ajungem la curba de M maxim (partea AB), apoi vom urma curba de M maxim pînă la punctul C și în continuare, vom folosi din nou decelerația maximă pînă la $L=0$, partea CD a decelerației optime. Punctul C se definește astfel încît cu decelerația CD să se realizeze decelerația optimă totală.

La rețele de turbine axiale în general nu sînt necesare decelerații mari (datorită coeficienților de portanță relativ mici) și din acest motiv curba $ABCD$ (fig.4.3.3) poate fi înlocuită cu linia AD' . Panta acestei curbe, dL/dX care este fizic posibilă, a fost dată în /65/ și are valoarea aproximativă de $-0,5$ pentru punctele situate sub curba lui Clauser.

Pentru stratul limită laminar, M ia valoarea maximă la desprindere. În consecință, curba de valori maxime posibile este curba lui Schlichting /88/.

4.4 Optimizarea stratului limită

În secțiunile anterioare au fost stabilite cîteva elemente ajutătoare, privind proprietățile stratului limită, laminar și turbulent, în planul imagine. În această secțiune se va da o meto-

dă prin care să se obțină o distribuție optimizată de viteză pe extradosul profilului din rețea, utilizând planul imagine. Optimizarea stratului limită are în vedere obținerea rețelilor de turbine axiale care se caracterizează prin numere Reynolds relativ mari și coeficienți de portanță relativ mici.

4.4.1 Distribuția vitezei în apropierea bordului de atac Van Dyke /107/ a arătat că curgerea în vecinătatea bordului de atac al unui profil subțire nu depinde decât de condițiile locale. Acest fapt a permis să fie generalizate rezultatele în apropierea punctului de impact al unui profil oarecare. Fără a intra în detalii, se demonstrează că variația vitezei în apropierea punctului de impact este de forma /65/

$$\frac{dU_e}{ds} = \frac{W_\infty}{r_0} \cdot \text{const.} \quad (4.4.1)$$

r_0 fiind raza bordului de atac.

Relația (4.4.1) ne informează că în apropierea bordului de atac viteza variază liniar cu distanța s . Această regiune se află în domeniul stratului limită laminar. În planul imagine în punctul de impact avem $\mathcal{L} = 4$ (secț. 4.2 a) pentru care corespunde

$$L = 0,0342, \quad M = -0,33, \quad C_D = 0,70287 e^X \quad (4.4.2)$$

Cu acestea, ecuațiile generale (4.1.23) și (4.1.24) devin

$$dq \approx dX \quad (4.4.3)$$

$$d\phi = 3,90788 e^{2X} \quad (4.4.4)$$

Eliminând pe X între aceste două ecuații și ținând seama de relațiile de definiție (4.1.13) și (4.1.14), rezultă că

$$\frac{dU_e}{ds} = \text{const.} \quad (4.4.5)$$

Prin urmare, linia orizontală în planul imagine dusă la $L = 0,0342$ (corespunzător punctului de impact) reprezintă o variație liniară a vitezei cu distanța s .

4.4.2 Curba imagine a distribuției de viteză pe extradosul profilului

Structura curgerii în stratul limită din jurul unui profil (laminară sau turbulentă) trebuie menținută și în planul imagine. Prin urmare, reprezentarea distribuției de viteză în planul imagine trebuie să fie cuprinsă în cele două domenii ale stratului limită: un domeniu corespunzător stratului limită laminar și un domeniu aferent stratului limită turbulent. Între cele două, trebuie

să existe o legătură astfel încât să se obțină continuitatea distribuției de viteză. Această continuitate se realizează în punctul de tranziție laminar-turbulent.

a'. Domeniul laminar al curbei imagine

Partea laminară a curbei imagine pornește de la $X = -\infty$ cu $L = 0,0342$ (corespunzătoare punctului de impact) și urmează o dreaptă paralelă cu axa X pînă în punctul A (fig.4.4.1). Această porțiune corespunde variației liniare a vitezei în apropierea bordului de atac. Poziția punctului A are influență asupra pantei $\frac{dU_e}{ds}$ și în consecință asupra razei bordului de atac (relația (4.4.1)). În continuare curba imagine trebuie să urmeze cît mai aproape posibil curba de stabilitate $L_n(X)$ (segmentul CI) care este o curbă optimă pentru stratul limită laminar, deoarece aici M ia valoarea maximă posibilă.

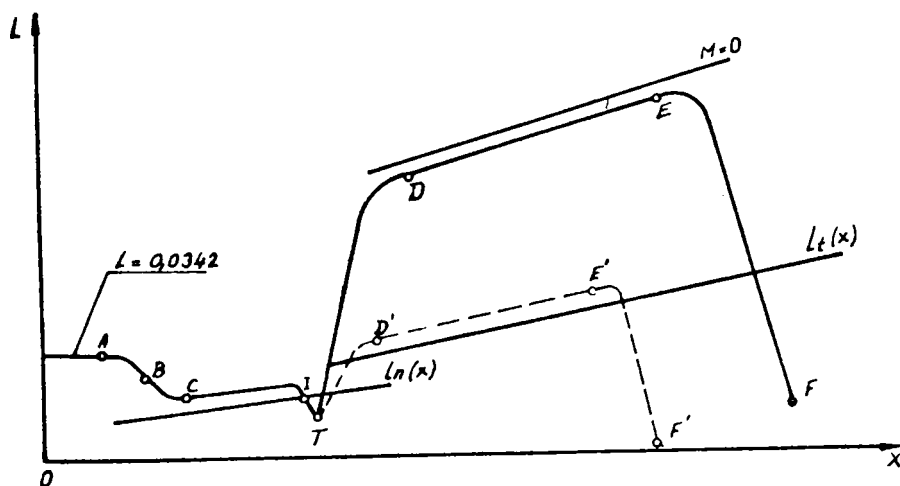


Fig.4.4.1 Stabilirea distribuției de viteze în planul imagine

Porțiunea (ABC) a curbei imagine, care pornește din A, prezintă o importanță mică din punct de vedere al stratului limită, însă poate fi importantă la calculul profilului.

Cînd dorim să realizăm tranziția, traversăm brusc curba de stabilitate $L_n(X)$, pătrundem în zona de instabilitate a stratului limită și provocăm tranziția (segm.IT). Pentru calculul punctului de tranziție T se poate utiliza criteriul dat Van Driest și Blumer $/\log/$ (relația (2.3.3))-

Partea laminară a curbei imagine se obține în mod identic și pentru rețele de compresor /64, 65/. Deosebirea este că în a-

ceste cazuri distribuția de viteză corespunzătoare curbei imagine ABCIT se întinde pe lungime mai mare din suprafața profilului și prezintă un palier de viteză aproape constantă. Acest fapt este posibil datorită numerelor Reynolds de funcționare al rețelei mult mai mici.

b. Domeniul turbulent al curbei imagine

Partea turbulentă a stratului limită ar trebui să corespundă unei decelerări a distribuției de viteză. Dacă ar fi așa, atunci curba imagine optimă ar trebui să urmeze cât mai aproape curba de stabilitate turbulentă (D'E', fig.4.4.1), conforma celor discutate în secț.4.3 c. Pentru rețelele de profile destinate turbinelor hidraulice axiale acest lucru nu este posibil deoarece întinderea limitară fiind mică face ca zona de decelerare să se întindă pe o porțiune mare pe suprafața profilului (fig.4.7.5). Aceasta ar conduce pe de o parte la valori mari ale vitezei maxime (nefavorabile din punct de vedere cavitațional), pe de altă parte la profile puternic curbate - cu săgeata maximă foarte aproape de bordul de atac.

Pentru a realiza un palier de viteză aproximativ constant (asemănător celui realizat la compresoare /64,65/) am considerat că acesta trebuie să fie obținut în stratul limită turbulent. În acest sens, curba imagine urmează cât mai aproape curba $M = 0$ (DE). Cu o bună aproximație segmentul DE corespunde curbei $M \approx 0,075$.

Panta curbei în punctul de tranziție T și forma curbei de racordare pînă la punctul D au fost dușe în așa fel ca să asigure continuitatea distribuției de viteză. Din punctul E urmează decelerarea distribuției de viteză (EF).

Forma curbei în zona de decelerare este partea cea mai importantă a curbei imagine, deoarece evoluția pierderilor în această zonă este strîns legată de forma distribuției de viteză. De asemenea, valoarea maximă a vitezei depinde de lungimea decelerării; o decelerare mai întinsă pe suprafața profilului determină o valoare mai mare a vitezei maxime. Panta minimă a curbei în punctul E, pentru care decelerarea este posibil de realizat, este $\frac{dl}{dx} = -0,5$. În general, se ia o valoare mai mare, $\frac{dl}{dx} > -0,5$. La proiectarea unei rețele de profile este necesar să se facă o analiză a curbei imagine în zona de decelerare. Pentru aceasta este de preferat să fie dimensionată rețeaua de profile pentru mai multe variante de curbe de decelerare, urmînd ca alegerea rețelei optimizate să se facă pe baza analizei pierderilor.

În cazul rețelelor de profile de compresor /64,65/ pentru care sînt necesare decelerări mari, curba imagine optimă a stratu-

lui limită turbulent urmează foarte aproape curba de instabilitate $L_t(X)$ (segmentul D'E') urmînd ca decelerarea finală (E'F') să se facă pînă în apropierea desprinderii. Profilele care se obțin sînt mult mai curbate, deoarece coeficienții de portanță ceruși sînt mai mari decît în cazul rețelelor de turbină hidraulică.

4.5) Calculul distribuției de viteză

Odată curba imagine stabilită (fig. 4.4.1) prin integrarea ecuațiilor (4.1.23) și (4.1.24) poate fi obținută distribuția de viteză $q = q(X)$. Evaluarea integralelor se face numeric prin metoda trapezelor.

Funcția $\phi(X)$ se determină astfel :

- în intervalul $X \in [-\infty, X_A]$ (strat limită laminar) avem valorile lui L , M și C_D date de (4.4.2), astfel că

$$\phi(X_A) = 1,95394 e^{2X_A}, \quad \phi(-\infty) = 0 \quad (4.5.1)$$

- în continuare pentru $X \in (X_A, X_F]$ (strat limită laminar sau turbulent) sînt cunoscute valorile lui L , M și C_D , în fiecare punct al planului imagine (reprezentare grafică sau calcul programat), cu care se calculează

$$\phi(X) = \phi(X_A) + \int_{X_A}^X \frac{e^{X-2L}}{(1+2M)C_D} dX \quad (4.5.2)$$

Pentru a obține $q(X)$ este de preferat ca integrarea să înceapă din punctul X_F . Luînd $U_{ref} = W_\infty$, la bordul de fugă avem

$$q(X_F) = \ln \frac{V_F}{W_\infty} \quad (4.5.3)$$

în care raportul $\frac{V_F}{W_\infty}$ poate fi cunoscut din datele problemei, astfel ca pentru $X \in [X_F, -\infty]$ avem

$$q(X) = \ln \frac{V_F}{W_\infty} - [L(X) - L(X_F)] - \int_{X_F}^X \frac{M}{1+2M} dX \quad (4.5.4)$$

Cunoscînd funcțiile $\phi(X)$ și $q(X)$ rezultă curba $q(\phi)$. Pentru a obține distribuția de viteză, sub forma obișnuită $U/W_\infty = f(s/s_F)$ pornim de la relațiile (4.1.13) și (4.1.14). Din (4.1.13) avem

$$\frac{U_e}{W_\infty}(X) = e^{q(X)}, \quad \frac{U_e}{W_\infty}(-\infty) = 0, \quad \frac{U_e}{W_\infty}(X_F) = \frac{V_F}{W_\infty} \quad (4.5.5)$$

iar din (4.1.14)

$$\phi(X) = Res_F \int_0^{s_F} \frac{U_e}{W_\infty} d\left(\frac{s}{s_F}\right) \quad (4.5.6)$$

unde

$$Res_F = \frac{W_\infty s_F}{V} \quad (4.5.7)$$

Prin diferențiere, din (4.5.6) rezultă

$$\frac{d(s/s_F)}{dx} = \frac{d\phi/dx}{Re_{s_F} U_e/W_\infty} = F(X) \quad (4.5.8)$$

în care $\frac{d\phi}{dx}$ este dat de relația (4.1.24) și poate fi obținut din (4.5.1) și (4.5.2).

Lungimea arcului s/s_F se determină prin integrare din (4.5.8). Deoarece la X_F avem $\frac{s}{s_F} = 1$, iar la $X = -\infty$, $\frac{s}{s_F} = 0$ este mai convenabil ca integrarea să înceapă de la bordul de fugă, deci

$$\frac{s}{s_F}(X) = 1 - \int_{X_F}^X F(X) dX, \quad \frac{s}{s_F}(-\infty) = 0 \quad (4.5.9)$$

Numărul Reynolds Re_{s_F} este o mărime care ne interesează și poate fi calculat din (4.5.8), prin integrare. Deoarece

$$\int_{-\infty}^{X_F} d(s/s_F) = 1 \quad \text{atunci}$$

$$Re_{s_F} = \int_{-\infty}^{X_F} \frac{1}{U_e/W_\infty} \frac{d\phi}{dx} dx \quad (4.5.10)$$

Cunoscînd valoarea Re_{s_F} , cu ajutorul expresiei (4.5.9) se calculează $\frac{s}{s_F}(X)$ și cu valorile (4.5.5) se obține $U_e/W_\infty = f(s/s_F)$

O altă mărime care ne interesează este V_{med}^+ definită astfel

$$V_{med}^+ = \int_0^1 \frac{U_e}{W_\infty} d\left(\frac{s}{s_F}\right) \quad (4.5.11)$$

și care reprezintă contribuția extradosului la circulația vitezei în jurul profilului, deoarece

$$\frac{\Gamma}{W_\infty s_F} = \int_{s_F/s_F}^1 \frac{U_e}{W_\infty} d\left(\frac{s}{s_F}\right) = \int_0^1 \frac{U_e}{W_\infty} d\left(\frac{s}{s_F}\right) - \int_0^{s_F/s_F} \frac{U_e}{W_\infty} d\left(\frac{s}{s_F}\right) = V_{med}^+ - V_{med}^- \quad (4.5.12)$$

Aici indicii "+" sau "-" corespund extradosului, respectiv intradosului, iar s_F este lungimea totală a suprafeței extradosului măsurată din punctul de impact.

Minimile $\frac{\Gamma}{W_\infty}$, Re_{s_F} și V_{med}^+ sînt foarte importante deoarece fac legătura dintre curba imagine a distribuției de viteză și datele de proiectare ale rețelei de profile.

Soluționarea numerică a distribuției de viteză s-a făcut cu ajutorul unui program în limbaj BASIC pe calculatorul HP 9845 B. Pentru o programare simplă și efort minim, concepția programului a pornit de la următoarele legături ale parametrului de formă L : $L_{lam} = L(\alpha)$, $\alpha \in [0, 4]$ pentru stratul limită laminar și $L_{turb} = L(H_{32})$, $H_{32} \in [1, 49, 1, 9]$ pentru stratul limită turbulent. Aceste funcții pot fi calculate astfel în orice punct al curbei imagine de coordonate (L, X) , prin interpolare (cu funcții

Spline) să putem determina valoarea parametrilor α sau H_{32} , după caz. Celelalte mărimi se calculează în felul următor :

a. Stratul limită laminar

- parametrul de formă $H_{32}(\alpha)$ cu (4.2.6)
- funcția $q(\alpha)$ cu (4.2.8)
- raportul $\frac{C_f}{2C_D}(\alpha)$ cu (4.2.11)
- coeficientul de disipație $C_D(\alpha, X)$ cu (4.2.13)
- funcția $M(\alpha)$ cu (4.1.11)

b. Stratul limită turbulent

- parametrul de formă $H_{12}(H_{32})$ cu (2.4.12)
- numărul Reynolds $Re_{\delta_2}(L, X)$ cu (4.2.16)
- coeficientul de frecare locală $C_f(H_{12}, Re_{\delta_2})$ cu (2.4.19)
- parametrul de formă I (H_{12}, Re_{δ_2}) cu (2.4.11)
- parametrul de echilibru $\pi(I)$ cu (2.4.13)
- coeficientul de disipație $C_D(H_{12}, Re_{\delta_2}, \pi)$ cu (2.4.22)
- funcția $H(H_{12}, Re_{\delta_2}, \pi)$ cu (4.1.11)

4.6 Dimensionarea profilului din rețea pentru o distribuție de viteză dată

Cunoscînd distribuția de viteză pe extradados $\frac{U}{W_\infty} \left(\frac{s}{S_F} \right)$, în care pentru simplificare am înlocuit U_e cu U , dimensionarea rețelei de profile poate fi făcută cu metoda Wilkinson /112/. În principiu, metoda constă dintr-un procedeu iterativ. Astfel, pornind de la o configurație inițială a profilului (de obicei se ia un profil simetric), diferența dintre distribuția de viteză cerută și cea obținută (cu metoda directă, secț. 3.1.2) este folosită să găsească o corecție scheletului. În timpul procesului de analiză funcția de grosime și pasul rețelei se mențin constante. Partea de dimensionare a metodei constă din :

a. Calculul vitezelor tangențiale la schelet

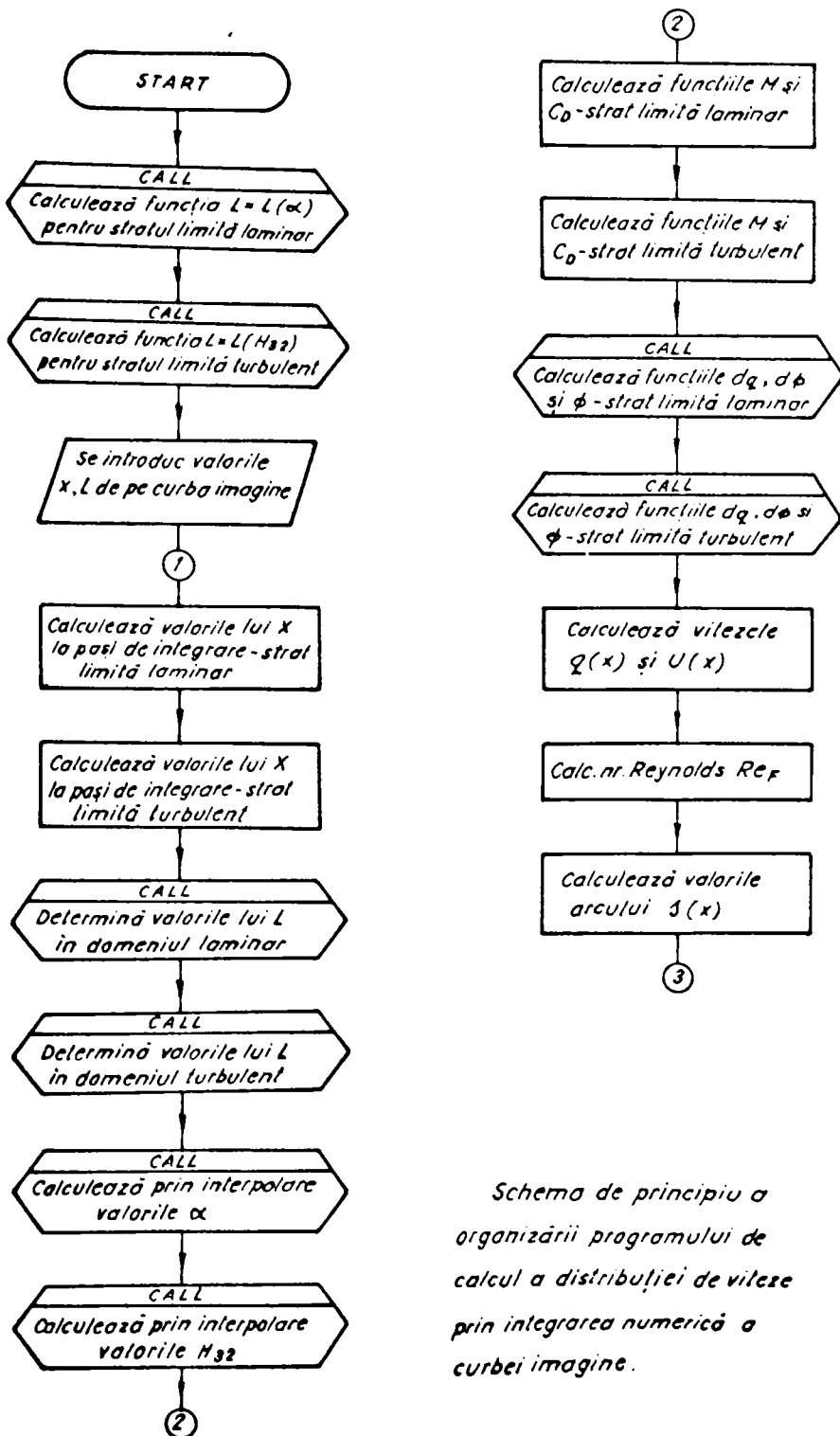
Introducem următoarele notații

$$\mu = \frac{1}{2} (1 + \cos \frac{\mu\pi}{N}) , \quad \mu = 1, \bar{N} , \quad N = \frac{M_D}{2} \quad (4.6.1)$$

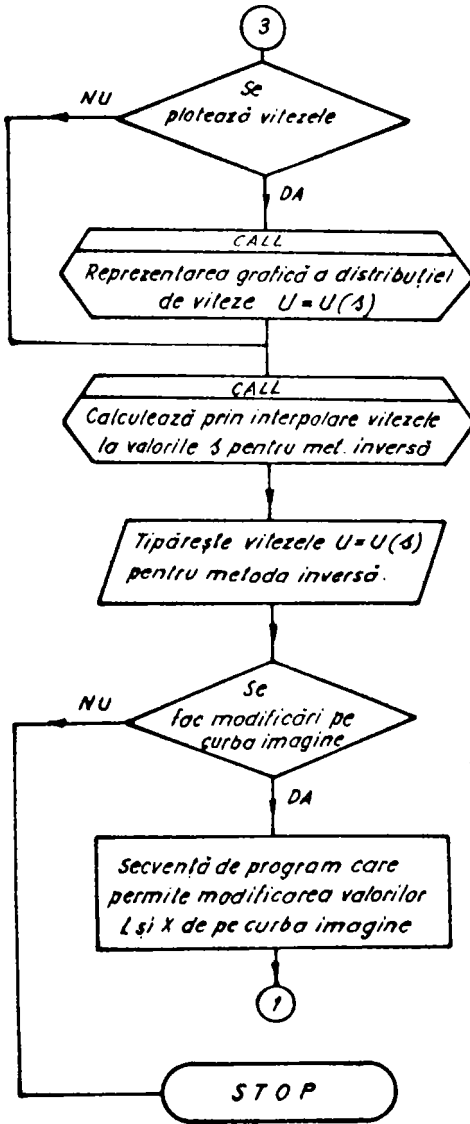
pentru abscisa scheletului

$$\Delta V_{S\mu} = \left(\frac{U}{W_\infty} \right)_\mu^{in} - \left(\frac{U}{W_\infty} \right)_\mu^{fin} \quad (4.6.2)$$

pentru creșterea vitezei pe extradadosul profilului. Indicii "in" și "fin" se referă la viteza calculată pentru configurația ini-



Schema de principiu a organizării programului de calcul a distribuției de viteze prin integrarea numerică a curbei imagine.



țială, respectiv la viteza cerută. M_p este numărul de puncte utilizat la metoda directă.

Pentru un profil de curbura mică, creșterea vitezei tangențiale pe schelet este egală cu jumătate din intensitatea vârtejului local. Folosind factorul lui Weber W_{∞} pentru creșterea vitezei pe contur, se obține pentru creșterea vitezei pe schelet $\Delta V_{t\mu}$ relația

$$\Delta V_{t\mu} = \frac{\Gamma(l)}{2W_{\infty}} \approx -\frac{ds}{dl} \Delta V_{s\mu} \quad (4.6.3)$$

Pentru rețele de profile cu unghi de instalare mare și profile puternic curbate, nu este sigur că (4.6.3) asigură o convergență rapidă și procesul de iterații poate fi chiar divergent în unele cazuri. Este deci necesar să se facă un calcul mai exact al lui $\Gamma(l)$.

Introducând unghiul auxiliar φ pentru punctul fix și ψ pentru punctul curent de pe schelet, vitezele tangențiale pot fi scrise astfel

$$\Delta V_{t\mu}(\varphi) = -\Delta V_{s\mu} \left(\frac{ds}{d\varphi} \right)_{\mu} = \frac{\Gamma_{\mu}(\varphi)}{2W_{\infty}} + \int_0^{\pi} \frac{\Gamma(\varphi)}{2W_{\infty}} T(\varphi, \psi) d\psi \quad (4.6.4)$$

unde $T(\varphi, \psi)$ reprezintă nucleul ecuației integrale (4.6.4), asemănător nucleului $K(\varphi, \psi)$ (relația 3.1.6), cu deosebirea că coordonatele X și Y se înlocuiesc cu coordonatele scheletului X_f și Y_f .

Tinând seama că

$$\begin{aligned} -\Delta V_{s\mu} \left(\frac{ds}{d\varphi} \right)_{\mu} &= \left(\frac{U}{W_{\infty}} \right)_{\mu}^{fin} \left(\frac{ds}{d\varphi} \right)_{\mu} - \left(\frac{U}{W_{\infty}} \right)_{\mu}^{in} \left(\frac{ds}{d\varphi} \right)_{\mu} \\ &= \left(\frac{U}{W_{\infty}} \right)_{\mu}^{fin} \left(\frac{ds}{d\varphi} \right)_{\mu} - \frac{\Gamma_{\mu}^{in}}{W_{\infty}} \end{aligned} \quad (4.6.5)$$

în care

$$\frac{ds}{d\varphi} = \sqrt{\left(\frac{dX}{d\varphi} \right)^2 + \left(\frac{dY}{d\varphi} \right)^2}, \quad \left(\frac{U}{W_{\infty}} \right)_{\mu}^{fin} \text{ și } \left(\frac{U}{W_{\infty}} \right)_{\mu}^{in}$$

sînt cunoscute, ecuația (4.6.4) poate fi integrată cu metoda trapezelor. Introducînd $\frac{\Gamma_{\mu}}{2W_{\infty}}$ sub integrală se poate obține următorul sistem de ecuații

$$\sum_{\nu=1}^N \frac{\Gamma_{\nu}}{2W_{\infty}} T_{\mu\nu} = \left(\frac{U}{W_{\infty}} \right)_{\mu}^{fin} \left(\frac{ds}{d\varphi} \right)_{\mu} - \frac{\Gamma_{\mu}^{in}}{W_{\infty}}, \quad \mu = \overline{1, N} \quad (4.6.6)$$

Sistemul (4.6.6) este un sistem de N (sau $\frac{M_p}{2}$) ecuații

algebrice care prin rezolvarea cu metode numerice cunoscute ne conduce la soluțiile $\Gamma_{\nu}^2 / 2W\omega$.

Coefficienții sistemului $T_{\mu\nu}$ au următoarele expresii:

$$T_{\mu\nu} = \frac{1}{N} \frac{\pi}{t} \frac{\left(\frac{dY_f}{d\varphi}\right)_{\mu} \operatorname{sh}\left[\frac{2\pi}{t}(X_{f\mu} - X_{f\nu})\right] - \left(\frac{dX_f}{d\varphi}\right)_{\mu} \operatorname{sin}\left[\frac{2\pi}{t}(Y_{f\mu} - Y_{f\nu})\right]}{\operatorname{ch}\left[\frac{2\pi}{t}(X_{f\mu} - X_{f\nu})\right] - \operatorname{cos}\left[\frac{2\pi}{t}(Y_{f\mu} - Y_{f\nu})\right]} \times$$

$$\times \left(\frac{1}{2} \text{ dacă } \nu = N\right) \quad (4.6.7)$$

$$T_{\mu\mu} = \frac{1}{2N} \frac{X'_{f\mu} Y''_{f\mu} - Y'_{f\mu} X''_{f\mu}}{X'^2_{f\mu} + Y'^2_{f\mu}} \quad (4.6.8)$$

$$T_{NN} = 1 \quad (4.6.9)$$

b. Calculul vitezelor normale la schelet

Viteza normală indusă în punctele fixe în lungul scheletului se reprezintă prin următoarea ecuație integrală :

$$V_{n\mu}(l) = \frac{1}{\pi} \int_0^l \frac{\Gamma(l)}{2W\omega} T^*(l_{\mu}, l) dl \quad (4.6.10)$$

în care $T^*(l_{\mu}, l)$ are o expresie asemănătoare cu (4.6.7) dacă la numărător se înlocuiește $\frac{dY_f}{d\varphi}$ cu $\frac{dX_f}{dt}$ și $\frac{dX_f}{d\varphi}$ cu $-\frac{dY_f}{dt}$. Integrantul din (4.6.10) are o singularitate la $l = l_{\mu}$. Separînd aceasta, (4.6.10) devine

$$V_{n\mu}(l) = -\frac{1}{\pi} \int_0^l \frac{\Gamma(l)}{2W\omega} T^*(l_{\mu}, l) (l_{\mu} - l) \frac{dl}{l_{\mu} - l} \quad (4.6.11)$$

Termenul $[T^*(l_{\mu}, l) \times (l_{\mu} - l)] \rightarrow 1$ cînd $l \rightarrow l_{\mu}$, este neted și nesingular peste tot, astfel că putem scrie (4.6.11) sub forma

$$V_{n\mu}(l) = \frac{1}{\pi} \int_0^l G(l_{\mu}, l) \frac{dl}{l_{\mu} - l} \quad (4.6.12)$$

Integrantul din (4.6.12) are singularități la bordul de atac și la $l = l_{\mu}$ și pentru fiecare profil de formă oarecare poate fi evaluat cu metode folosite pentru profile cu curbură mică. După Weber /110/, $G(l_{\mu}, l)$ poate fi reprezentat printr-o funcție de interpolare, care ia valorile $G_{\mu\nu} = G(l_{\mu}, l)$ în punctele definite de relația (4.6.1). Aceasta este

$$G(\varphi_\mu, \varphi) \sin \varphi = \frac{2}{N} \left\{ \sum_{\nu=1}^{N-1} G_{\mu\nu} \sin \varphi_\nu \left[\sum_{n=1}^{N-1} \cos(n\varphi_\nu) \cos(n\varphi) + \frac{1 - \cos(N\varphi_\nu) \cos(N\varphi)}{2} \right] + \right. \\ \left. + \lim_{l \rightarrow 0} G(l_\mu, l) \sqrt{l} \left[\sum_{n=1}^{N-1} \cos(n\pi) \cos(n\varphi) + \frac{1 + \cos(N\varphi)}{2} \right] \right\} \quad (4.6.13)$$

Substituind $l = l(\varphi)$ în (4.6.12) obținem

$$V_{n\mu}(\varphi) = -\frac{1}{\pi} \int_0^\pi \frac{G(\varphi_\mu, \varphi) \sin \varphi}{\cos \varphi - \cos \varphi_\mu} d\varphi \quad (4.6.14)$$

Introducând (4.6.13) în (4.6.14) și evaluind integralele și sumele cu ajutorul unor relații cunoscute, rezultă

$$V_{n\mu} = -\sum_{\nu=1}^{N-1} S_{\nu\mu} G_{\mu\nu} - S_{N\mu} \lim_{l \rightarrow 0} G(l_\mu, l) \sqrt{l} \quad (4.6.15)$$

în care

$$S_n = -N, \quad S_{\nu\nu} = 0$$

$$S_{N\mu} = \frac{(-1)^\mu - 1}{N} \frac{1}{1 + \cos \varphi_\mu}, \quad S_{\nu\mu} = \frac{(-1)^{\mu-\nu} - 1}{N} \frac{\sin \varphi_\nu}{\cos \varphi_\mu - \cos \varphi_\nu} \quad (4.6.16)$$

De rotat că în $G(l_\mu, l)$ din ecuația (4.6.12) avem

$$\frac{\Gamma(l)}{2W\omega} = \frac{1}{dl/d\varphi} \frac{\Gamma(\varphi)}{2W\omega} \quad (4.6.17)$$

iar la bordul de atac se înlocuiește (4.6.17) prin

$$\lim_{l \rightarrow 0} \frac{\Gamma(l)}{2W\omega} \sqrt{l} = -\frac{\Gamma(\pi)}{2W\omega} \quad (4.6.18)$$

deoarece pentru $\varphi \rightarrow \pi$, $\sqrt{l} \rightarrow -l'$

Coefficienții $G_{\mu\nu}$ se calculează cu următoarea expresie :

$$G_{\mu\nu} = \frac{\Gamma_\nu}{2W\omega l} \frac{X'_{f\mu} \operatorname{sh} \left[\frac{2\pi}{l} (X_{f\mu} - X_{f\nu}) \right] + Y'_{f\mu} \sin \left[\frac{2\pi}{l} (Y_{f\mu} - Y_{f\nu}) \right]}{\operatorname{ch} \left[\frac{2\pi}{l} (X_{f\mu} - X_{f\nu}) \right] - \cos \left[\frac{2\pi}{l} (Y_{f\mu} - Y_{f\nu}) \right]} \times \\ \times (\cos \varphi_\mu - \cos \varphi_\nu) \quad (4.6.19)$$

c. Modificarea scheletului

Presupunând că viteza în lungul scheletului este egală cu W_∞ , panta unei linii de curent față de schelet în punctul de intersecție este

$$\left(\frac{dn}{d\varphi} \right)_\mu \approx V_{n\mu} \quad (4.6.20)$$

unde n este distanța normală la schelet. Panta scheletului tre-

bule schimbată cu această mărime ca să o facă linie de curent. Integrând (4.6.20) de la bordul de atac, se obține

$$r_{\mu} = \frac{1}{2} \sum_{\mu-N}^1 (V_{r\mu} + V_{r\mu-1})(\varphi_{\mu} - \varphi_{\mu-1}) \quad (4.6.21)$$

Coordonatele scheletului ($X_{f\mu}$, $Y_{f\mu}$) vor fi înlocuite prin noile coordonate

$$(X_{f\mu} - r_{\mu} \frac{dY_{f\mu}}{d\varphi}, Y_{f\mu} + r_{\mu} \frac{dX_{f\mu}}{d\varphi}) \quad (4.6.22)$$

Lungimea corzii profilului în general se schimbă, astfel că este necesar ca toate coordonatele să fie înmulțite cu o constantă, pentru ca să o readucă la valoarea ei inițială. Cunoscând noile coordonate ale scheletului, funcția de grosime se adaugă normal la acesta și cu profilul nou obținut se trece la soluționarea directă a curgerii în rețea. Procesul continuă pînă cînd se atinge un grad dorit de precizie în relația (4.6.2).

d. Soluționarea numerică

Pentru dimensionarea unei rețele de profile trebuie cunoscute sau admise următoarele mărimi (în afara distribuției de viteză) :

- pasul relativ al rețelei t/l și unghiul β_{∞} , cunoscute din calculul hidrodinamic al rețelei, care sînt menținute constante pe toata durata calculului,
 - funcția de grosime a profilului; se impune și se menține constantă în timpul procesului de iterație,
 - unghiul de instalare β_2 , care poate fi luat $\beta_2 \approx \beta_{\infty}$.
- În timpul procesului iterativ acesta se modifică.

Deoarece, în cele mai multe cazuri nu se poate da o geometrie profilului din rețea apropiată de configurația finală, este de preferat ca începutul calculului să pornească cu un profil simetric. În general, sînt necesare circa șase iterații ca să obținem profilul pentru o distribuție de viteză dată pe extrados.

Soluționarea numerică este cuprinsă în cadrul programului pe calculator care soluționează și problema directă a curgerii în rețea (sect. 3.1.2 - 3.1.4).

e. Modificări empirice

În scopul de a îmbunătăți convergența calculului, în conformitate cu [112] se recomandă următoarele modificări empirice:

- intensitatea vârtejului la bordul de atac $\Gamma(\pi)/2W_0$ se înmulțește cu constanta empirică 0,7 înainte de a găsi vitezele normale, deoarece aceasta tinde să oscileze în jurul valorii cerute,

- pentru proiectarea rețelelor de profile la unghiuri mari de instalare, o îmbunătățire a convergenței se obține dacă intensitățile vîrtejurilor $\sqrt{\mu}/2W_\infty$ se înmulțesc cu $\cos\beta_5$. Aceasta are un efect neglijabil pentru rețele de profile cu unghiuri de așezare mai mici,

- deoarece bordul de fugă nu intră în calcule, este necesar ca acesta să fie aliniat cu o variație continuă a scheletului. Aceasta poate fi obținută prin interpolarea punctelor imediat următoare cu o funcție (cubică, parabolă sau dreaptă). Punctul corespunzător bordului de fugă se obține la intersecția funcției de interpolare cu normala la coardă în bordul de fugă. Prin aceasta, poziția corzii se modifică și drept urmare are loc modificarea unghiului de instalare. Modul în care se face interpolarea și numărul punctelor luate în considerare trebuie făcute cu atenție, deoarece poate să conducă la o înrăutățire a calculelor.

Pentru distribuțiile de viteză obținute din planul imagine s-a găsit că interpolarea primelor două puncte de la bordul de fugă cu o parabolă cu originea în al doilea punct dă rezultate mai bune decît recomandările date în /112/.

4.7 Proiectarea rețelelor de profile pentru turbine axiale

4.7.1 Considerații asupra mărimilor necesare în calcule

Calculul hidrodinamic al unui rotor de turbină hidraulică axială ne oferă în fiecare secțiune considerată elementele cinematice și unghiulare și caracteristicile energetice pe care trebuie să le realizeze rețeaua de profile /3/. Acestea sînt :

- pasul relativ al rețelei t/l
- unghiurile β_1 , β_2 și β_ω
- vitezele relative W_1 , W_2 și W_∞
- coeficientul de portanță C_{ar}

Din considerente de rezistență, este cunoscută grosimea maximă relativă d/l a profilului. De asemenea, pot fi cunoscute numerele Reynolds : Re_1 , Re_2 și Re_∞ (formate cu vitezele relative W și lungimea corzii profilului l).

Pentru reprezentarea curbei imagine, corespunzătoare distribuției de viteză pe extradados, este important să cunoaștem :

- nivelul turbulenței curentului exterior $\sqrt{u'^2}/U$
- numărul Reynolds Re_{sf} definit cu relația (4.5.7)
- contribuția extradadosului la circulația în jurul profilului V_{med}^+ , definită în relația (4.5.11)
- viteza adimensională la bordul de fugă V_F/W_∞

Modul cum pot fi determinate aceste mărimi este dat în cele ce urmează :

a. Nivelul turbulenței curentului exterior în cea mai mare parte în aplicațiilor practice este dificil de stimat, ceea ce introduce un oarecare grad de incertitudine în calculul tranziției. În literatură se specifică că în turbomașini $\sqrt{u'^2}/U > 1,5\%$, însă nu se oferă date sigure. La turbomășinile hidraulice s-ar putea să fie atinse valori chiar mai mari, deoarece nu există o corelare perfectă între ieșirea din aparatul director și intrarea în rotor /65/.

Pentru calculul abscisei X_T în planul imagine vom folosi criteriul de tranziție /106/ transformat în relația (3.2.14). Dacă $\frac{\sqrt{u'^2}}{U}$ este cunoscută sau admisă, din (3.2.14) se poate calcula valoarea numărului Reynolds Re_{D_2} . Ținând seama că $Re_{D_3} = 0,32 Re_{D_2}$ at:

$$X_T = \ln Re_{D_3} + 2L_T \tag{4.7.1}$$

În general pentru stratul limită laminar H_{32} variază slab și se poate admite că în punctul de tranziție $H_{32} \approx 1,55$. Pentru L_T se acceptă o valoare mică pozitivă ($L_T = 0,04 - 0,1$) care trebuie să se afle sub curba de stabilitate laminară $L_T(X)$, să fie siguri că are loc tranziția. Calculul lui X_T pentru câteva valori ale gradului de turbulență au condus la următoarele valori :

$$\frac{\sqrt{u'^2}}{U} = 1; 2; 3\% \Rightarrow X_T \approx 6,55; 6; 5,7 \tag{4.7.2}$$

Se observă că pentru valori ale turbulenței peste 2%, X_T variază destul de puțin și nu influențează semnificativ coeficienții aerodinamici ai rețelei. În cele ce urmează vom considera pentru turbinele hidraulice valoarea $\sqrt{u'^2}/U = 3\%$.

b. Numărul Reynolds Re_c nu poate fi calculat precis deoarece nu cunoaștem valoarea arcului S_F , corespunzătoare extradosului, măsurată din punctul de impact. Totuși se poate evalua aproximativ din relația

$$Re_{S_F} = k_S Re_c \tag{4.7.3}$$

Pentru rotoare de turbină axială s-a dedus că, $k_S \in (1,005 - 1,00)$, în care valorile maxime corespund la butucul rotorului, iar valorile minime la periferie. Numărul Reynolds Re_{S_F} este important, deoarece fixează punctul final al curbei imagine F de coordonate (X_F, L_F) .

c. Viteza medie V_{med}

Pentru calculul contribuției extradosului la circulația pe profil, în lucrare, a fost stabilită relația aproximativă

$$V_{med}^* = \frac{1}{k_S} \frac{C_{or}}{2} + \frac{k_F}{k_V} \frac{\sin \beta_2}{\sin \beta_{00}} \quad , \quad k_F = \frac{V_F}{W_D} \tag{4.7.4}$$

unde k_v este un coeficient care, în cazul rețelelor de turbină, variază slab, $k_v = 1,015 - 1,025$. O valoare medie $k_v = 1,02$ este suficientă pentru un calcul bun a lui V_{med}^+ , dacă k_v și k_F se aleg corespunzător.

d. Viteza adimensională la bordul de fugă, notată prin

$$k_F = \frac{V_F}{W_\infty} \quad (4.7.5)$$

este foarte importantă la dimensionarea profilului, deoarece s-a constatat că convergența și precizia metodei /112/, în procesul de calcul iterativ, depinde mult de această valoare.

Pe baza a numeroase rețele de turbină, calculate în lucrare, s-a stabilit că k_F variază într-un domeniu larg $k_F \in (0,98-1,20)$ și depinde, în special, de geometria rețelei (β_3 și t/l). O valoare sigură a lui k_F este dificil de precizat la dimensionarea unei rețele. În situația în care valorile lui k_F , respectiv V_{med}^+ , conduc la abateri mari se impune repetarea calculelor; distribuția de viteză se recalculează cu valorile modificate ale lui k_F și V_{med}^+ .

4.7.2 Planul imagine al rețelelor de profile

Pentru a putea stabili ușor curba imagine corespunzătoare unei rețele de profile care urmează a fi proiectată a fost construit un plan imagine în sensul celor discutate în secț.4.4.2 (fig.4.7.1). Această diagramă dă straturi limită nedesprinse, adică distribuțiile de viteză obținute (la nivelul aproximațiilor făcute) nu produc desprinderea curentului de pe suprafața profilului.

La stabilirea diagramei s-a avut în vedere următorul principiu : pentru valoarea numărului Reynolds $Re = 10^6$ linia de decelerare s-a construit în așa fel ca valoarea acestuia să rămână aproximativ constantă oricare ar fi poziția punctului F. Celelalte linii de decelerare s-au construit în mod asemănător și s-a constatat că sînt paralele între ele dacă curbele de racordare din X_C se micșorează treptat înspre valori crescătoare ale lui X . Panta liniei de decelerare obținută în punctul F este în jurul valorii $dl/dX = -0,3$.

În planul imagine (fig.4.7.1) s-au calculat mărimile V_{med} și Re_F pentru diferite poziții, pe curbele de decelerare ale punctului F de coordonate (L_F, X_F) . Deoarece raportul $\frac{V_F}{W_\infty}$ nu se cunoaște, în calcule s-a luat $\frac{V_F}{W_\infty} = 1$. În acest caz,

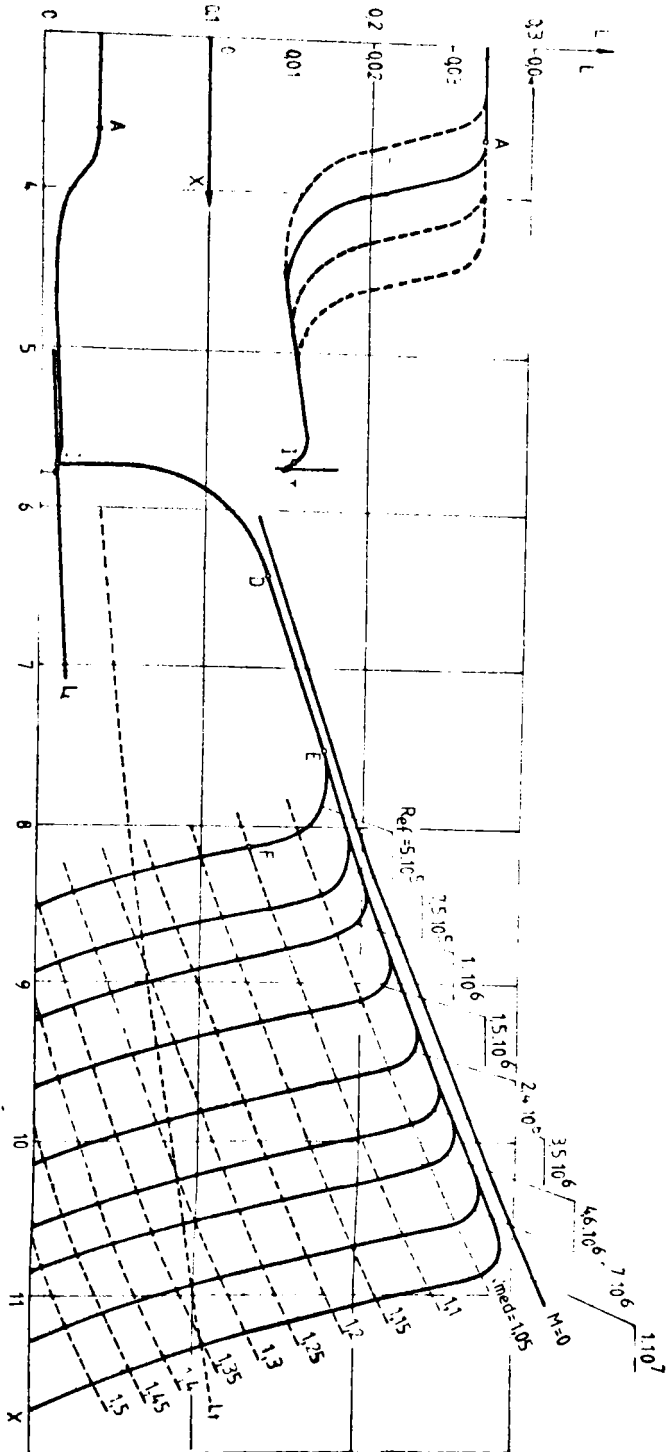


FIG. 4.7.1 Planul imagine pentru proiectarea rezelilor de profil

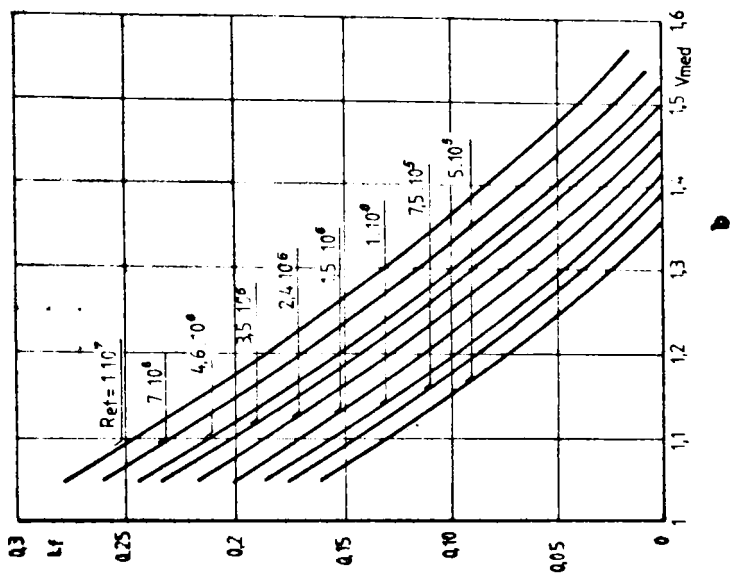
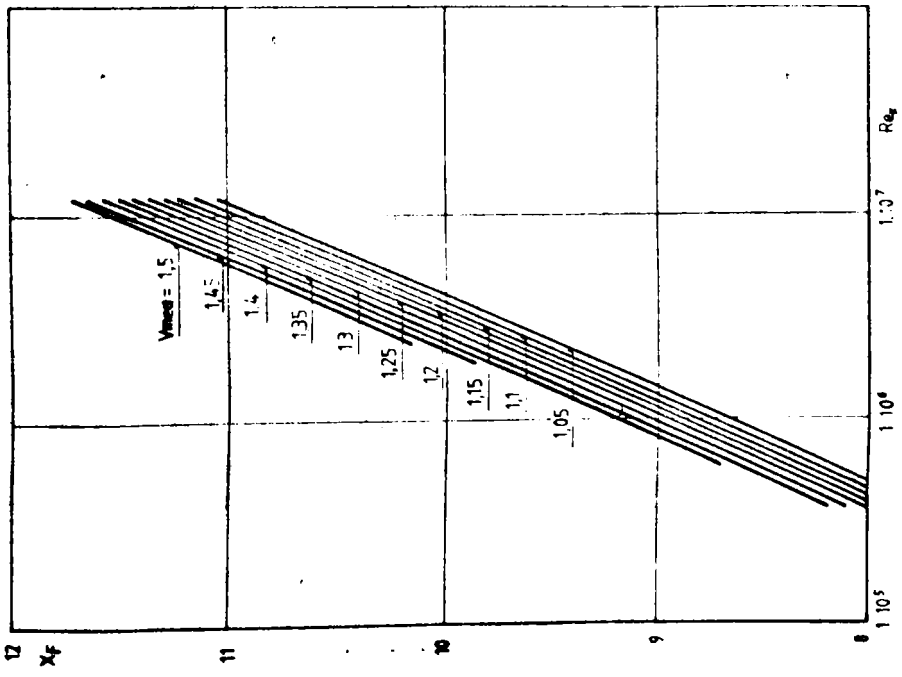


Fig. A.7.2 Diagramme $X_f = f(Re)$ et $L_f = f(V_{med})$

între mărimile calculate și mărimile de proiectare Re_F și V_{med}^+ există legătura

$$Re_F = k_F Re_{sf} \quad (4.7.6)$$

$$V_{med} = \frac{1}{k_F} V_{med}^+ \quad (4.7.7)$$

Abscisa X_A (fig.4.7.1 - detaliu) s-a modificat în calcule pentru a evita o micșorare prea mare a pantei vitezei în apropierea bordului de atac și deci a mărimii V_{med} .

Valorile calculate au fost reprezentate (fig.4.7.2 a,b) sub forma dependențelor $X_F = f(Re_F)$ și $L_F = f(V_{med})$. Acestea sînt utile la stabilirea distribuției de viteză în planul imagine pentru date cunoscute ale rețelei. Rezultatele obținute ne conduc la următoarele observații :

- numărul Reynolds crește cu deplasarea curbelor de decelerare înspre valori crescătoare ale lui X , însă se menține destul de constant în lungul acestora,

- viteza medie în lungul unei linii de decelerare scade aproape liniar cu creșterea lui L_F (fig.4.7.2 b). În fig.4.7.1 au fost trasate curbe de egală viteză medie, care sînt aproximativ paralele între ele,

- variația numărului Reynolds cu X_F , într-o scară semi-logaritmică, este liniară pentru $V_{med} = \text{const.}$ (figura 4.7.2a). Pentru diferite valori ale lui V_{med} acestea sînt paralele,

- distribuțiile de viteză rezultate în lungul liniei de decelerare pentru diferite valori ale lui Re_F (fig.4.7.3 a,b,c, d) prezintă forme foarte asemănătoare. De aici, se obține un lucru important că pentru același V_{med} distribuția de viteză este independentă de numărul Reynolds Re_F . Pe de altă parte, însă cu scăderea numărului Reynolds Re_F proiectarea rețelelor cu portanțe mari (sau V_{med} mari) este limitată de desprinderea stratului limită turbulent (de expl. pentru $V_{med} = 1,4$ limita este $Re_F = 10^6$). Avînd în vedere că rețelele de turbină hidraulică axială funcționează la numere Reynolds mari, iar coeficienții de portanță sînt relativ mai mici este puțin probabil ca proiectarea rețelei să întîmpine greutăți datorită limitării lui V_{med} la desprindere. Dacă astfel de cazuri apar, o soluție, ca să evităm desprinderea stratului limită, este de a folosi decelerarea optimă (sec. 4.3 e) în sensul curbei ABCD (fig.4.3.3).

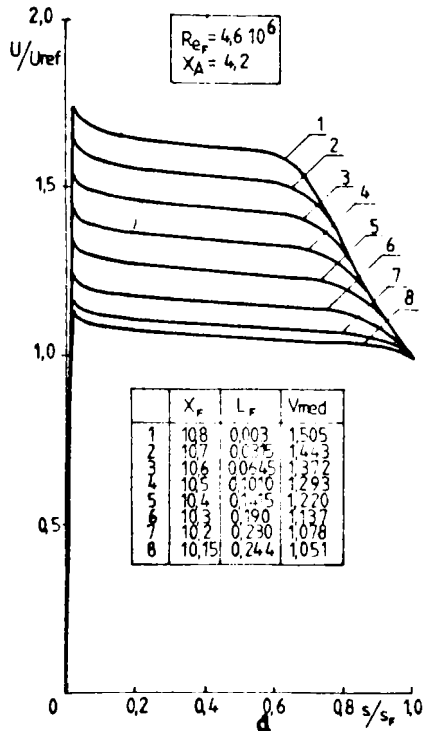
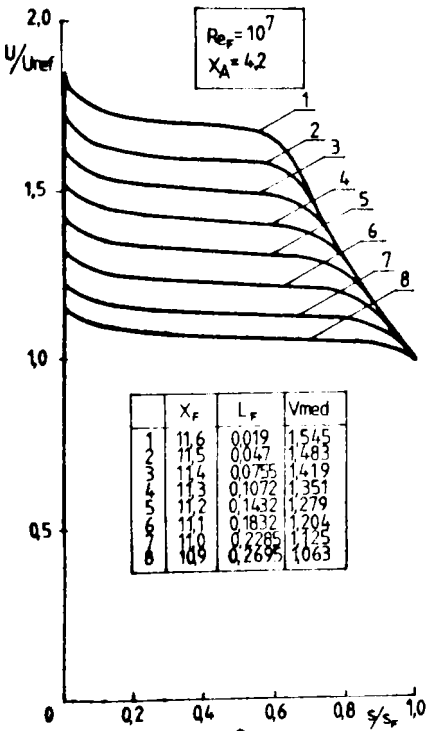
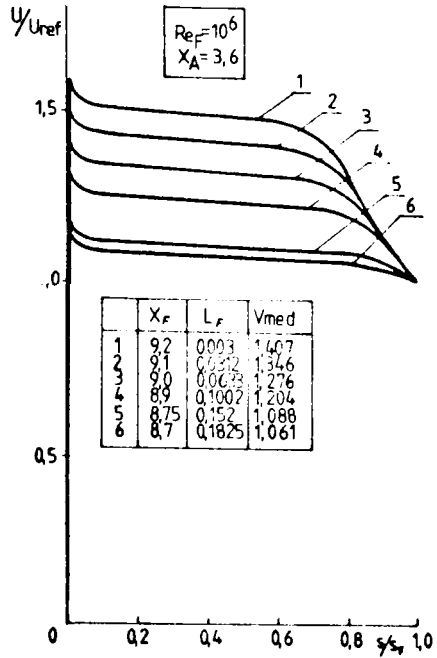
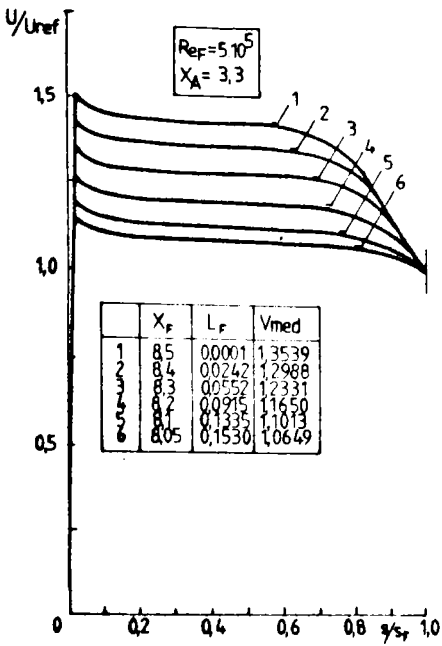


Fig.4.7.3 Distribuții de viteză obținute prin planul imagine la $Re_F = \text{const.}$

4.7.3 Dimensionarea unei rețele de turbină

În această parte a lucrării se prezintă un exemplu de calcul a unei rețele pentru un model de turbină bulb și rezultatele obținute, folosind planul imagine prezentat în secțiunea anterioară (fig.4.7.1).

Parametrii hidroenergetici ai turbinei industriale sînt :
 $H = 7,12 \text{ m}$, $Q = 380 \text{ m}^3/\text{s}$, $n = 75 \text{ rpm}$ și $D = 7,2 \text{ m}$, pentru care
 corespund datele de proiectare ale rotorului turbinei model /94/

$$\begin{aligned} n_{11} &= 202,32 \text{ rpm} & Q_{11} &= 2,7464 \text{ m}^3/\text{s} \\ n_B &= 1160,25 \text{ rpm} & n_B &= 3,935 \end{aligned}$$

Calculul rotorului, elementelor unghiulare și cinematice din zona rotorului au fost efectuate utilizînd metoda I.Anton /3/. Diametrul butucului s-a determinat din /5/ și este $d = 110 \text{ mm}$.

Pentru dimensionarea rețelei de profil s-a considerat secțiunea de rotor dispusă la raza $r = 105 \text{ mm}$ (sau $r/R = 0,6$), pentru care, din calculul hidrodinamic, au rezultat următoarele mărimi:

$$\begin{aligned} \frac{t}{t} &= 1,1082 \quad , \quad \beta_1 = 39^\circ \quad , \quad \beta_2 = 31,78^\circ \quad , \quad \beta_\infty = 35,07^\circ \\ \frac{d}{t} &= 0,0775 \quad , \quad Cor = 0,482 \quad , \quad Re_\infty = 1,8 \cdot 10^6 \end{aligned}$$

Pentru coeficienții k_s, k_v și k_f a rezultat (întîmplător) aceeași valoare, $k_s = k_v = k_f = 1,02$, cu care din (4.7.3) și (4.7.4) se obține

$$Re_{sf} = 1,84 \cdot 10^6 \quad , \quad V_{med}^+ = 1,17$$

sau ținînd seama de (4.7.6) și (4.7.7)

$$Re_f = 1,9 \cdot 10^6 \quad , \quad V_{med} = 1,15$$

Cu ultimile valori, din diagramele 4.7.2 (a și b) s-au determinat coordonatele punctului $F(L_F, X_F)$. Prin F s-a construit o linie de decelerare în același mod ca în fig.4.7.1. Curba imagine este dată în fig.4.7.4 a (linia AITDZF), iar distribuția de viteză corespunzătoare în fig.4.7.4 c. În fig.4.7.4 b sînt reprezentate distribuții de viteză calculate pentru diferite poziții ale punctului F în lungul liniei de decelerare (fig.4.7.4 b).

Pentru comparații, cu linie subțire (fig.4.7.4 a) s-a trasat o curbă imagine utilizată la dimensionarea rețelelor de compresoare /65/, în care decelerarea s-a făcut pînă în apropierea desprinderii. Distribuțiile de viteză corespunzătoare celor trei linii de decelerare luate (1, 2 și 3) sînt date în fig.4.7.5, în care sînt tabelate și valorile lui V_{med} și Re_f . Se observă, în

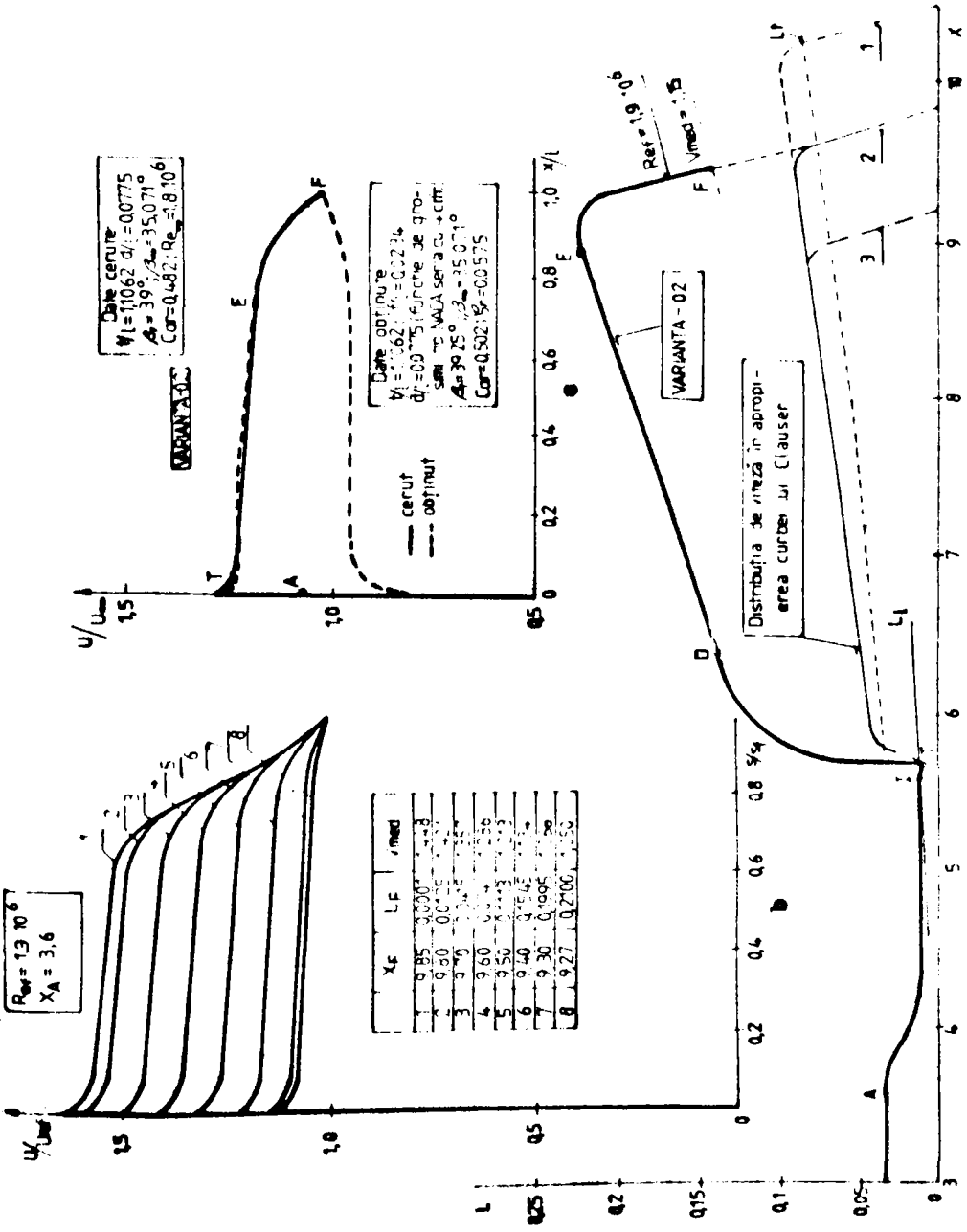


Fig.4.7.4 Dimensionarea unei etape de turbină

acest caz, că V_{med} obținut se menține constant, în schimb valoarea numărului Reynolds cerut este atinsă la valori mai mari ale lui

λ . Distribuțiile de viteză au valori maxime foarte ridicate și prezintă o decelerare puternică, care se întinde aproape pe toată suprafața extradodusului. Astfel de distribuții de viteză fac imposibilă dimensionarea unor rețele de profile de turbină hidraulică. Curba imagine poate fi însă utilizată la proiectarea unor rețele optimizate de compresor care funcționează la numere Reynolds Re_f mult mai mici ($Re_f < 10^5$).

Profilul dimensionat (cu metoda /112/ - sect.4.6), pentru o funcție de grosime NACA seria cu 4 cifre /77/, este reprezentat în fig.4.7.6. În fig.4.7.7 este dat scheletul profilului, comparativ cu cel al profilului NACA cu 4 cifre /77/ cu aceeași săgeată maximă, însă cu poziția la $x_f = 0,4 l$ (frecvent utilizat la rețele de turbine). Distribuția de viteză, pe care o realizează profilul, este trasată cu linie întreruptă (fig.4.7.4 c) care, pentru extradod, corespunde, cu mici abateri, cu distribuția cerută. Datorită acestor abateri coeficientul de portanță calculat este cu 4 % mai mare decât este necesar. Având în vedere alte aproximații care se fac în calcule s-a considerat că diferența este suficient de mică pentru a nu mai repeta calculele.

Considerând partea de dimensionare încheiată s-a trecut la analiza directă a curgerii reale în rețeaua obținută. Aceasta s-a făcut cu metodele expuse în capitolul 3. În fig.4.7.8 sînt date variațiile parametrilor stratului limită pe extradodul profilului, în care : stratul limită laminar s-a calculat cu metoda Thwaites /27/ (sect.3.2.2), punctul de tranziție s-a stabilit cu criteriul Van Driest /106/ (relația (3.2.14)), stratul limită turbulent s-a calculat cu metoda Head /39, 27/ (sect.3.2.4) și cu ecuațiile stratului limită în echilibru, care stau la baza stratului limită turbulent în planul imagine. În fig.4.7.9 sînt date caracteristicile energetice reale ale rețelei, iar în fig. 4.7.10 și 4.7.11 se prezintă influența turbulenței, respectiv a numărului Reynolds asupra pierderilor în rețea, calculate în punctul de proiectare.

Pe baza rezultatelor obținute se desprind următoarele concluzii :

a. Distribuția de viteză obținută este suficient de aplatizată (fig.4.7.4 c) și drept urmare, curbura profilului se încadrează în valorile frecvent utilizate la turbine hidraulice.

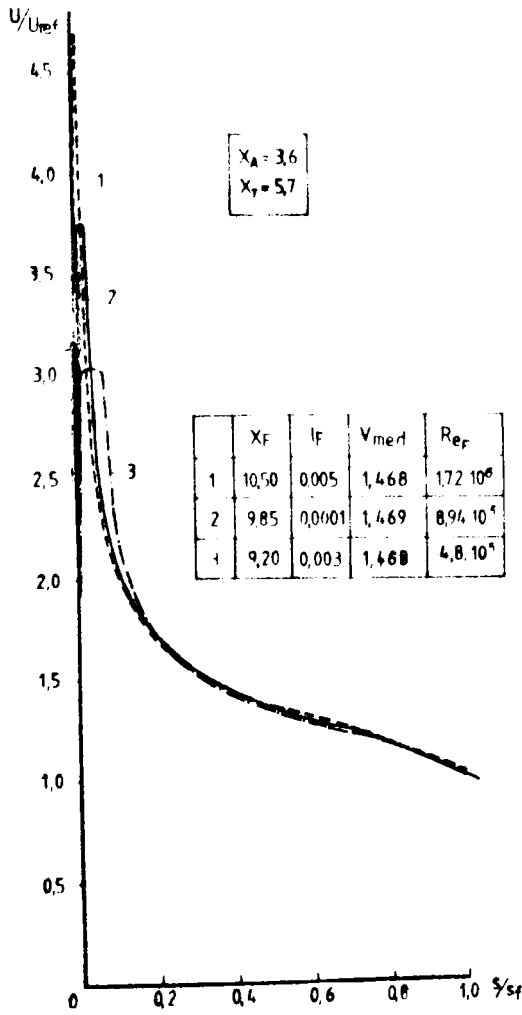


Fig.4.7.5 Distribuții de viteză în apropierea curbei lui Clauser

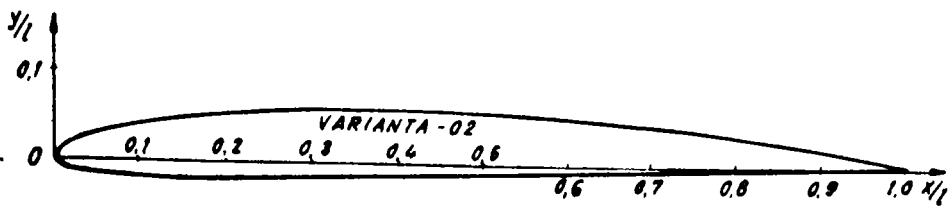


Fig. 4.7.6 Profilul dimensionat

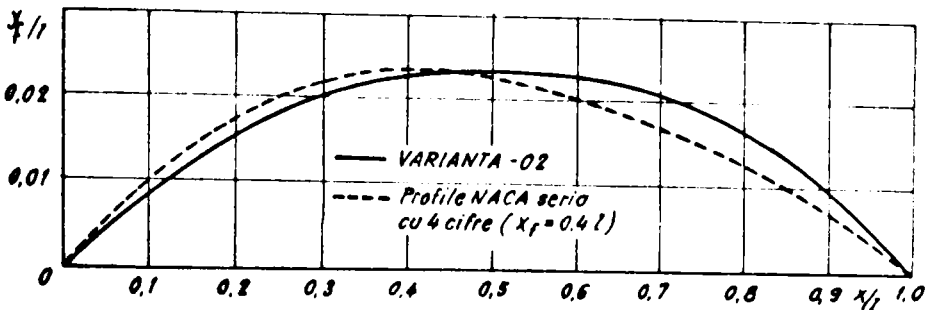


Fig. 4.7.7 Scheletul profilului

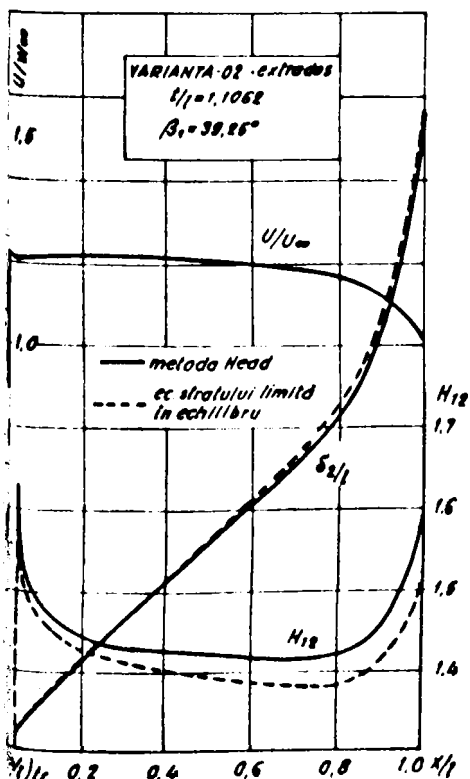


Fig. 4.7.8 Parametrii stratului limită turbulent calculați pentru $\sqrt{\mu} \gamma u = 38$

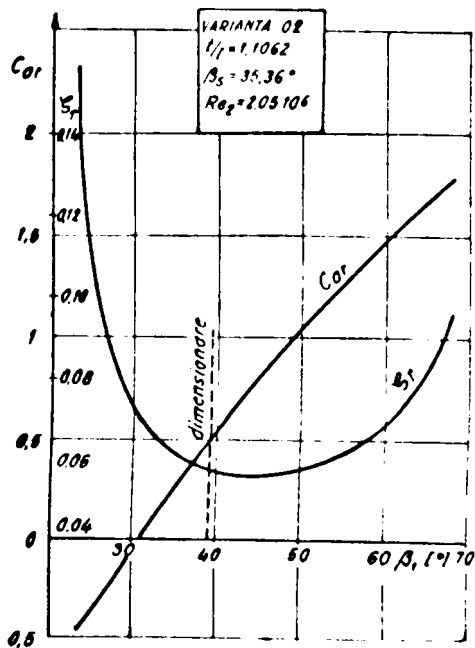


Fig. 4.7.9 Caracteristicile energetice ale rețelei

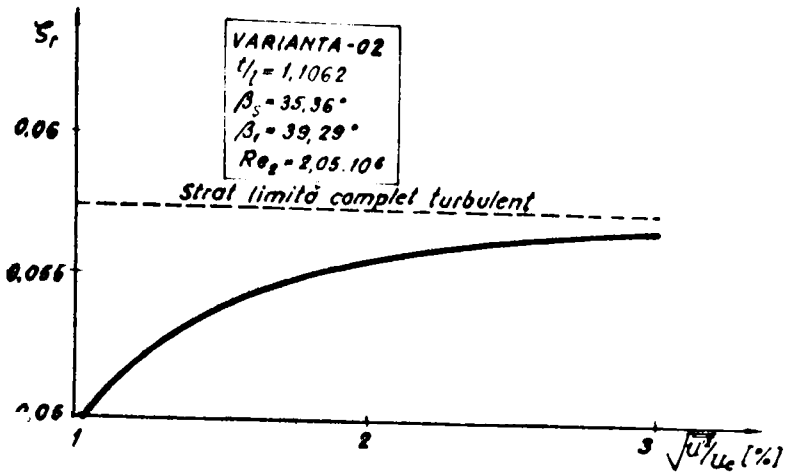


Fig.4.7.10 Influența turbulenței asupra pierderilor

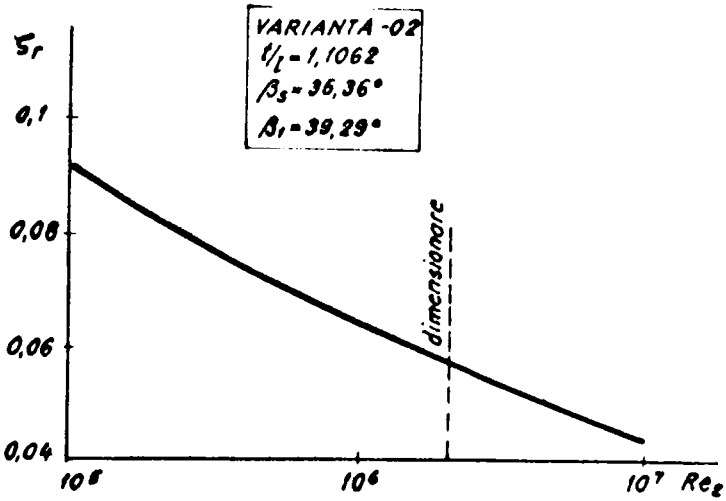


Fig.4.7.11 Influența numărului Reynolds asupra pierderilor

Poziția curburii maxime se deplasează însă spre valori mai mari ($x_f/l = 0,5$, fig.4.7.7) față de valorile admise la proiectarea rețelei cu metode potențiale.

b'. Funcțiile M și C_D stabilite în planul imagine, în ipoteza stratului limită turbulent în echilibru, ne oferă informații asupra parametrilor d_2 și H_{12} care sînt în bună concordanță cu metoda Head /39, 27/ (fig.4.7.8).

c. Valoarea coeficientului de pierdere în punctul de dimensionare este foarte aproape de valoarea minimă (fig.4.7.9). Variația coeficientului de pierdere ζ_r cu unghiul de la intrare β_1 ne arată că domeniul optim de funcționare al rețelei se extinde înspre valori mai mari ale lui β_1 (incidențe pozitive).

d'. Turbulența curgerii exterioare (fig.4.7.10) are o influență mică asupra pierderilor pentru valori ale $\sqrt{U^2}/U > 2\%$, însă poate fi importantă la turbulențe sub această valoare.

e'. Numărul Reynolds influențează semnificativ pierderea (fig.4.7.11); pierderile cresc mult cu scăderea numărului Reynolds. Trebuie menționat faptul că pierderile au fost calculate pentru turbina model. La turbina industrială numărul Reynolds este mai mare și prin urmare pierderile pot fi mai mici.

Ca o concluzie generală, se poate afirma că planul imagine (fig.4.7.1), construit în urma analizei proprietăților stratului limită, permite optimizarea rețelelor de profile destinate turbinelor axiale. Analiza pierderilor (fig.4.7.9) ne arată că dimensionarea se face în domeniul optim de funcționare al rețelei.

4.7.4 Dimensionarea unui rotor de turbină

În prezent este unanim acceptat că dimensionarea rotoarelor de turbină axială cu rețele formate din aceeași familie de profile constituie un avantaj important din punct de vedere hidrodinamic și constructiv /3, 116/. Încercările de a obține aceeași familie de profile, pentru rețelele optimizate prin teoria stratului limită, în secțiunile de dimensionare ale unui rotor au întîmpinat unele greutăți. În principal, acestea sînt datorate :

- numerelor Reynolds și coeficienților de portanță definiți de la o secțiune la alta. Aceasta înseamnă construirea în planul imagine a unei familii de curbe imagine (asemănătoare diagramei 4.7.1). Avînd în vedere că acestea se trasează grafic, erorile inevitabile unui astfel de procedeu se transferă distribuției de viteză, și

- metodei de dimensionare inversă, sensibilă la valorile vitezei la bordul de atac și în punctul imediat următor bordului de fugă, valori care nu pot fi precizate cu suficientă siguranță. De asemenea, obținerea bordului de fugă prin interpolare (sect. 4.6 e) constituie un element de aproximare.

La acestea se adaugă necesitatea unor numeroase calcule și construcții grafice care determină un volum mare de timp. Din aceste motive, în lucrare, se propune o metodă de dimensionare a rețelilor din secțiunile unui rotor de turbină, care are la bază un profil generator, optimizat prin metoda stratului limită. Ca profil generator se consideră cel corespunzător secțiunii de la butuc. Printr-o lege semiempirică, scheletul obținut pentru aceasta se modifică pentru celelalte secțiuni. Funcția de grosime se modifică în funcție de grosimea maximă d/l , calculată din considerente de rezistență. Unghiul de instalare β_5 se determină astfel încât profilul să realizeze coeficientul de portanță impus.

Metoda a fost aplicată la dimensionarea rotorului turbinei model (sect. 4.7.3). Pentru secțiunea de la butuc avem :

$$\frac{t}{l} = 1 \quad , \quad \beta_1 = 80,97^\circ \quad , \quad \beta_2 = 48,62^\circ \quad , \quad \beta_\infty = 62,56^\circ$$
$$\frac{d}{l} = 0,18 \quad , \quad Cor = 1,283 \quad , \quad Re_\infty = 6,9 \cdot 10^5$$

Cu date de calcul pentru planul imagine au rezultat :

$$Re_F = 7 \cdot 10^5 \quad , \quad V_{med} = 1,46 \quad , \quad k_F = 1,06$$

Cu aceste date a fost construită curba imagine a distribuției de viteză la care, pentru partea de decelerare, au fost luate liniile I, II și III (fig. 4.7.12 a). La aceste linii s-au modificat, atât panta dl/dX în punctul F, cât și curba de racordare a liniei de decelerare. În fig. 4.7.12 b sînt reprezentate distribuțiile de viteză corespunzătoare cazurilor analizate.

La dimensionarea inversă a profilului s-a luat aceeași funcție de grosime, NACA seria cu 4 cifre. În fig. 4.7.12 c au fost reprezentate comparativ funcțiile de schelet obținute și este tabelată curbura maximă f/l .

Pentru profilele obținute (reamintim că profilele se construiesc așezînd distribuția de grosimi normală la schelet - sect. 3.12, fig. 3.1.2) s-a făcut analiza pierderilor în rețea cu metoda dată în capitolul 3. Variația pierderilor calculate în funcție de β_1 , pentru stratul limită complet turbulent, este dată în fig. 4.7.13. Din această figură rezultă că din punct de vedere al pierderilor, varianta III este cea mai bună (în punctul de dimensionare pierderea este mai mică cu 16,9 % decît varianta I și 12,8%

față de varianta II). Pe baza acestei constatări importante, pot fi desprinde câteva concluzii privind decelerarea vitezei pe profil:

a. Din fig.4.7.12 b (var.I) se observă că menținerea unui palier prea lung, de viteză aproximativ constantă, este dezavantajos pierderilor. Acesta este favorabil desprinderilor stratului limită; observația este confirmată de calculul stratului limită cu metoda Head /39, 27/ (sec. 4.7.14).

b'. Micșorarea pașilor de decelerare în planul imagine (var. II - fig.4.7.12 a) are ca efect micșorarea decelerării vitezei (fig. 4.7.12 b); în schimb viteza maximă crește. Influența asupra pierderilor este nesemnificativă în punctul de proiectare (fig.4.7.13), însă are loc o îmbunătățire a domeniului de funcționare al rețelei.

c'. Var.III (fig.4.7.12 a) ne arată că o racordare mare a curbei imagine urmată de o decelerare mai pronunțată pe ultima parte are ca efect micșorarea palierului de viteză constantă (fig. 4.7.12 b) fără a afecta viteza maximă. Decelerarea vitezei este mai mică pe o porțiune însemnată a profilului, dar crește în apropierea bordului de fugă. Efectul unei astfel de decelerări are importanță asupra pierderilor, atât asupra valorii acestora, cât și asupra domeniului optim de funcționare al rețelei (fig.4.7.13).

d'. Reprezentarea comparativă a scheletului (fig.4.7.12 c) ne arată că varianta II tinde să se apropie de profilele frecvent utilizate la turbine ($X_f = 0,41$) în timp ce varianta III are o funcție de schelet aproape simetrică. Curbura maximă f/l prezintă o micșorare cu aproximativ 16 % față de curbura obținută prin dimensionarea cu o metodă potențială /94/.

Cu aceste rezultate importante, obținute pentru profilul de la butuc (var.III), s-a considerat că pot fi obținute rezultate la fel de bune și pentru celelalte secțiuni ale rotorului, dacă acest profil se modifică corespunzător. Pentru acesta s-a luat în considerare ecuația caracteristică a scheletului /94, 116/

$$\left(\frac{f}{l}\right)^2 + \frac{a}{t g \Delta \theta} \frac{f}{l} + c = 0 \quad (4.7.8)$$

în care $\Delta \theta$ - este unghiul format de tangenetele duse la schelet în bordul de fugă și atac, iar a și c constante, care se determină din condiții la limită.

În urma unor analize efectuate în planul imagine, s-a putut deduce că modificarea unghiului $\Delta \theta$, în celelalte secțiuni ale rotorului, poate fi aproximată cu relația

$$\Delta \theta = k_{\theta} [\Delta \theta]_{01} \frac{C_{ar}}{(C_{ar})_{01}} \quad (4.7.9)$$

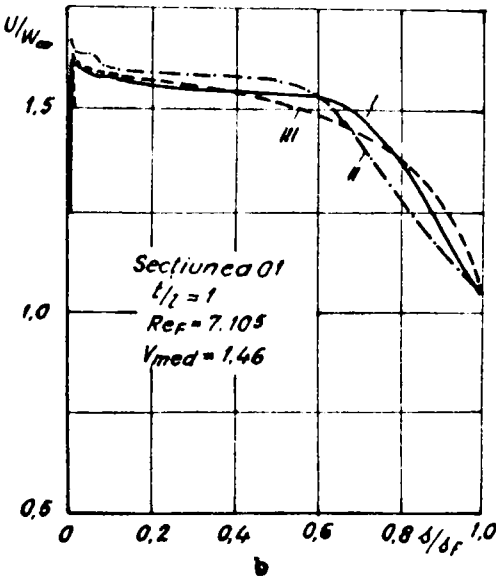
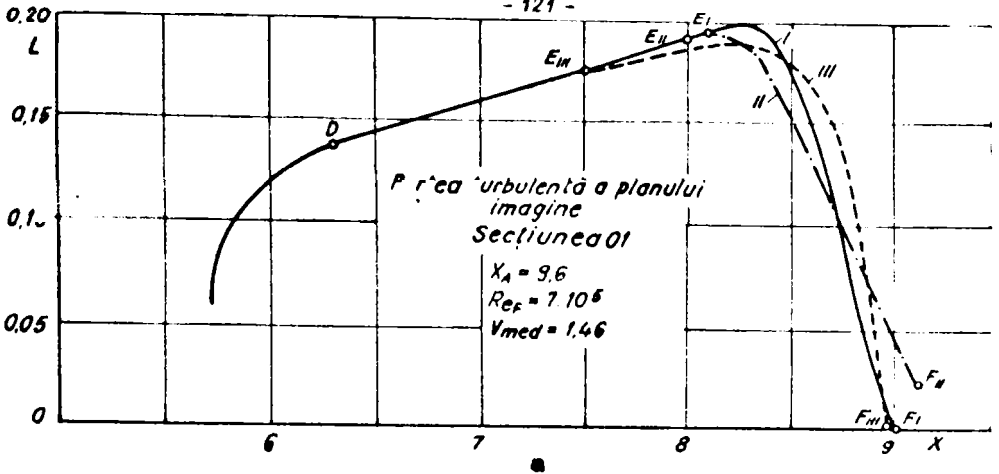
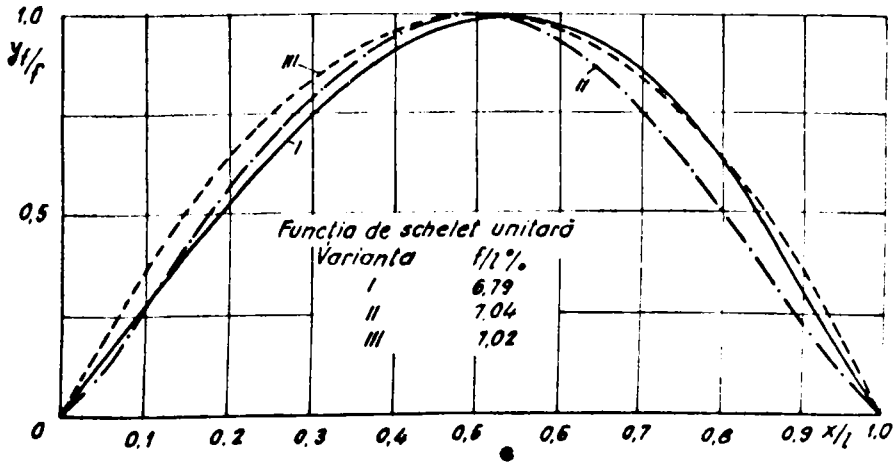


Fig.4.7.12 Optimizarea rețelei de la butuc



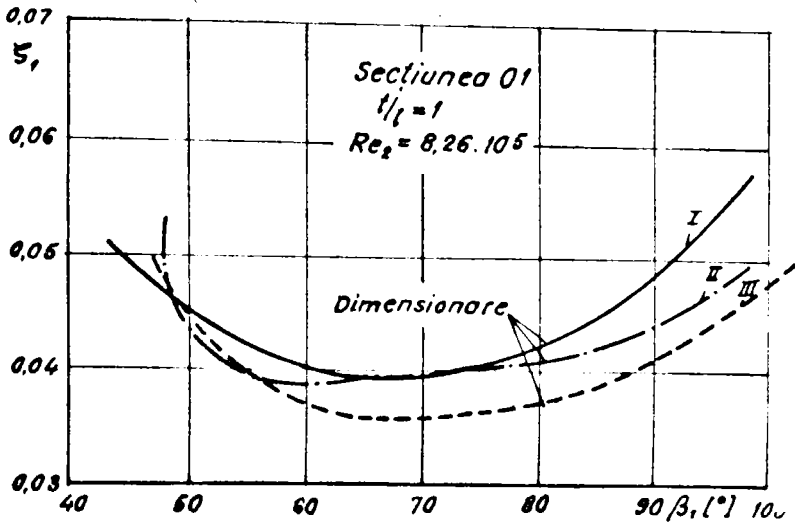


Fig.4.7.13 Coeficienții de pierdere calculați pentru variantele analizate

unde indicele 01 se referă la secțiunea de la butuc. Pentru constanta k_0 s-a găsit valoarea $k_0 = 1,21$.

Cu $\Delta\theta$ calculat, din ecuația (4.7.8) se obține curbura maximă f/l . Cu valoarea f/l se modifică funcția de schelet a profilului de la butuc (var.III în acest caz). Rezultatele obținute sînt prezentate pentru două secțiuni ale rotorului: secțiunea 04 ($r/R = 0,6$ - vezi secț. 4.7.3) și secțiunea 08 ($r/R = 1$ la periferia rotorului). Pentru secțiunea 08 din calculul hidrodinamic avem următoarele date

$$\frac{t}{l} = 1,299, \quad \beta_1 = 22,05^\circ, \quad \beta_2 = 20,42^\circ, \quad \beta_\infty = 21,25^\circ$$

$$\frac{d}{l} = 0,04, \quad Cor = 0,212, \quad Re_\infty = 4,19 \cdot 10^6$$

În fig.4.7.14 sînt date comparativ distribuțiile de viteză, în care tabelat sînt date valorile corespunzătoare ale curburii maxime f/l și ale unghiurilor de instalare β_5 , la care se realizează portanța cerută, și de intrare β_1 , calculat cu relația (3.1.24) (mici diferențe față de datele rețelilor apar datorită unor rotunjiri în calcule). În fig.4.7.15 a,b,c sînt reprezentate caracteristicile energetice calculate cu metoda din secț. 4.7.10 pentru un strat limită complet turbulent. Coeficienți

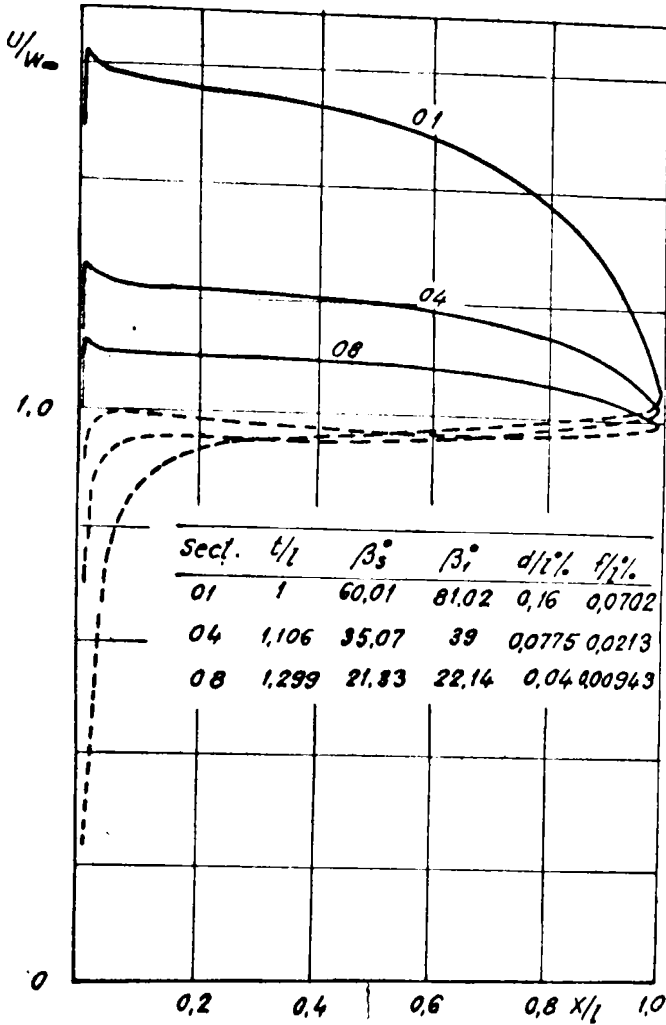


Fig.4.7.14 Distribuțiile de viteză în secțiunile de rotor considerate

de pierdere, în punctul de dimensionare se prezintă în tabelul de mai jos, în care se dau și valorile curburii maxime, comparativ cu cele ale profilului calculat cu metoda potențială /94/ (profile cu curbura maximă la $f/l = 0,4$ și o funcție de grosime asemănătoare profilului NACA cu patru cifre).

Pe baza rezultatelor obținute se constată următoarele :

a. În toate secțiunile analizate se obțin distribuții de viteză suficient de aplatizate. Din fig.4.7.14 se observă că viteza de decelerare dU/U scade cu depărtarea secțiunilor spre

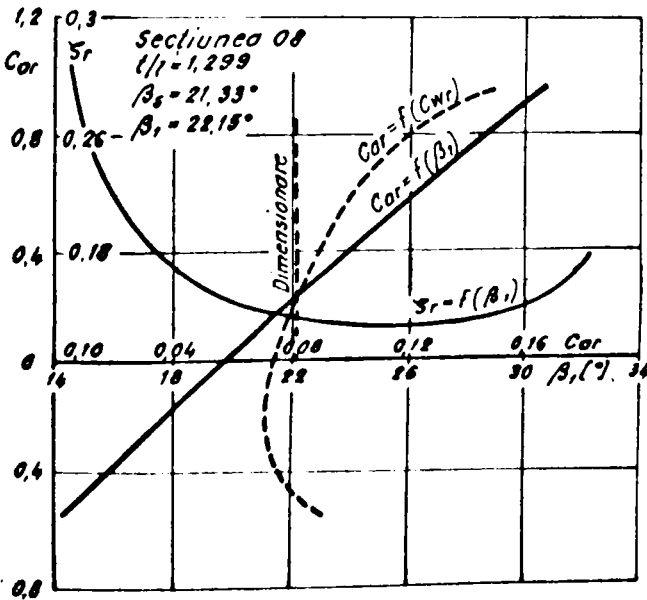
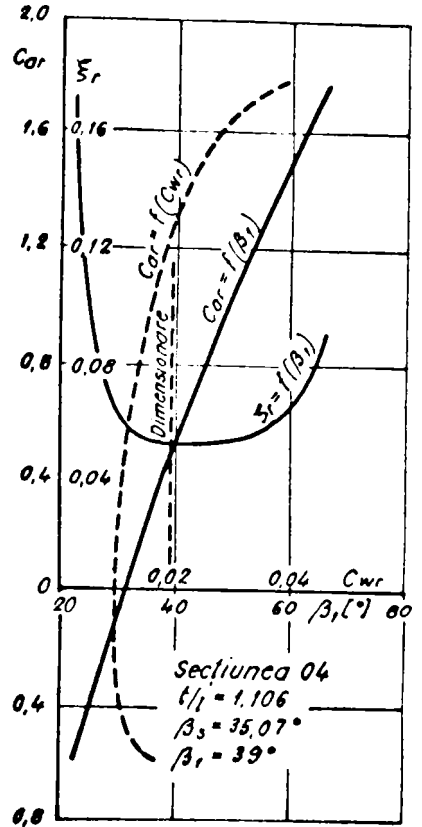
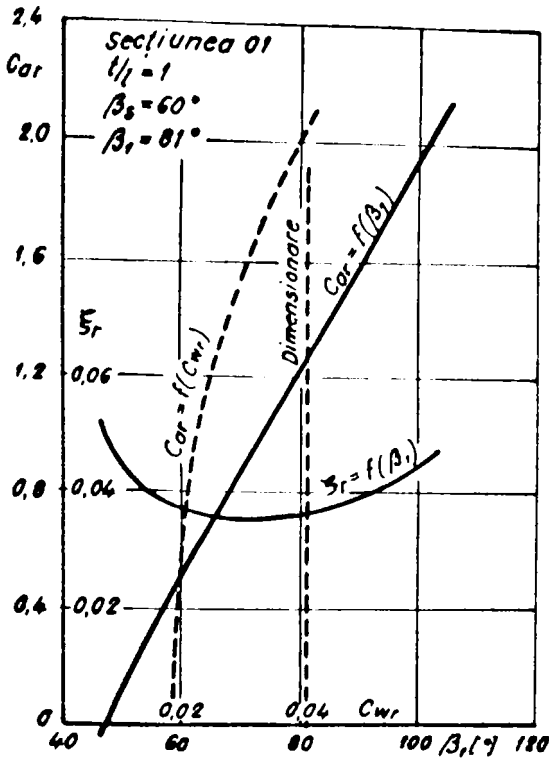


Fig.4.7.15 Caracteristicile energetice în secțiunile de rotor considerate.

periferia rotorului. Aceasta înseamnă că, în planul imagine, fiecărei secțiuni ar corespunde o altă pantă a liniei de decelerare (se poate observa prin comparație din fig.4.7.3 a,b,c,d și fig. 4.7.14).

Secțiunea de rotor	o 1	o4	o8
Coefficientul de pierdere ζ	0,036	0,0534	0,1324
Curbura max. f/l (rel. 4.7.8)	0,0702	0,0213	0,00943
Curbura max.f/l (met. potențială)	0,0833	0,0231	0,0104

b. Curburile maxime sînt mai mici decît cele obținute cu metoda potențială, însă micșorarea este mai pronunțată la butuc și în secțiunile apropiate.

c. Punctul de funcționare al rețelei (fig.4.7.15), în toate secțiunile analizate, se situează în domeniul optim de funcționare al rețelei.

d. Pentru secțiunea o4 coeficientul de pierdere calculat este mai mic cu 7 % față de cel obținut pentru aceeași rețea dimensionată în sect.4.3.4. De aici, rezultă că prin îmbunătățirea performanțelor rețelei de la butuc s-au mărit performanțele și în celelalte secțiuni ale rotorului (în fig.4.7.12 a varianta I are aceeași linie de decelerare ca în fig.4.7.4 a). De asemenea, se observă o îmbunătățire a domeniului optim de funcționare al acestei rețele (fig.4.7.15 b, comparativ cu fig.4.7.9).

În concluzie, rezultatele ne arată că metoda propusă poate fi aplicată cu eficiență la proiectarea rotoarelor de turbină. Avantajul metodei constă în faptul că dimensionarea rețelei de la butuc se face în urma unei analize a curgerii ținînd seama de proprietățile stratului limită, iar prin modificarea corespunzătoare a profilului în celelalte secțiuni, aceste proprietăți nu sînt afectate.

4.8 Concluzii privind optimizarea rețelelor prin teoria stratului limită

În acest capitol au fost analizate posibilitățile prin care teoria generală a stratului limită, dezvoltată de Le Foll /49/, poate fi aplicată la proiectarea optimizată a rețelelor de profile. Din această analiză a rezultat modul cum poate fi reprezentată în planul imagine, și obținută din acesta, distribuția

de viteză, optimizată, corespunzătoare extradosului profilului din rețea. Ca rezultat, s-a construit un plan imagine, destinat proiectării rețelelor de turbine axiale (fig.4.7.1), care a fost utilizat la dimensionarea unei rețele de profile (secț.4.7.3) și apoi la dimensionarea unui rotor de turbină (secț.4.7.4). Rezultatele obținute și concluziile care s-au desprins au fost discutate în detaliu în secț.4.7.2, 4.7.3 și 4.7.4. Drept urmare, aici vom rezuma concluziile mai importante :

a. Datorită numerelor Reynolds mari la care funcționează rețelele de turbină hidraulică partea laminară a stratului limită este foarte restrînsă. Prin urmare, procesul de optimizare constă în principal din optimizarea stratului limită turbulent. Pentru turbine problema se pune în mod diferit optimizării compresoarelor /64, 65/; curba imagine urmează foarte aproape curba $M = 0$ (fig.4.7.1) și nu curba de stabilitate a lui Clauser (fig. 4.7.4 a).

b. Planul imagine (fig.4.7.1), destinat proiectării rețelelor de profile, ne dă distribuții de viteză pentru straturi limită nedesprinse, care sînt independente de condițiile de la intrare și ieșire, pasul relativ și valoarea numărului Reynolds. Ultima observație este foarte importantă în proiectare, deoarece în urma calculelor (secț.4.7.3 și 4.7.4) rezultă că :

- pierderile în lungul unei linii $V_{med} = \text{const.}$ (fig. 4.7.1) scad cu creșterea lui λ , deci cu valoarea numărului Reynolds (fig.4.7.4) (vezi /87/)

- pierderile cresc cu creșterea lui L_p în lungul liniei de decelerare ($Re_p = \text{const.}$)

Deci, o funcționare bună a rețelei are loc la numere Reynolds mari și pe cît posibil la limita desprinderii și chiar la mici desprinderi /87/. Datorită coeficienților de portanță relativ mici, această limită nu poate fi atinsă în toate secțiunile unui rotor.

c. O importanță mare în procesul de optimizare îl are partea de decelerare. Pentru turbine hidraulice mai avantajoasă este o distribuție de viteză concavă pe partea de decelerare (secț.4.7.4 - fig.4.7.14), în timp ce pentru compresoare, o distribuție de viteze convexă /64, 65/ (fig.4.7.5). Decelerarea puternică a curențului trebuie să se producă în apropierea bordului de fugă. La optimizarea unei rețele este indicat să fie făcută o analiză a decelerării distribuției de viteză.

d. Aplicarea planului imagine (fig.4.7.1) prezintă avantaje pentru proiectarea rețelelor, însă prezintă dezavantaje în ceea ce privește dimensionarea unor rețele de profile formate din aceeași familie de profile, ceea ce ar prezenta mari facilități în procesul de proiectare. Pentru rotoare de turbine axiale această dificultate a fost înlăturată prin optimizarea profilului de la butuc și modificarea corespunzătoare a acestuia pentru celelalte secțiuni de rotor (secț.4.7.4).

e. În toate cazurile analizate (secț.4.7.3 și 4.7.4) rezultatele au dovedit că funcționarea rețelei, obținute din curba imagine a distribuției de viteză, se situează în domeniul optim. Valoarea pierderii și extinderea domeniului depinde în mare măsură de decelerarea distribuției de viteză (sau linia de decelerare a curbei imagine).

În acest capitol au fost rezolvate următoarele probleme:

1. Pe baza unor metode, legi și relații din literatură, privind teoria stratului limită (secț.4.2), au fost stabilite funcțiile M și C_D în reprezentarea lui Le Foll /49/. Acestea sînt într-o bună concordanță (fig.4.7.8) cu metodele folosite, la calculul stratului limită, în procesul de analiză al pierderilor în rețea (secț. 3.2.2 - 3.2.4).

2. A fost stabilită curba imagine corespunzătoare distribuției de viteză optimizate pe extradadosul profilului dispus în rețea de turbină hidraulică. La baza acestuia a stat analiza proprietăților stratului limită în planul imagine (secț.4.3).

3. S-a construit un plan imagine (fig.4.7.1) destinat proiectării rețelelor de turbine. Pe baza acestui plan s-au obținut curbele ajutătoare din fig.4.7.2 a,b. Acestea permit stabilirea curbei imagine a distribuției de viteză, pentru valori cunoscute ale numărului Reynolds Re_F și V_{med} .

4. A fost realizat un program, pe calculatorul HP 9845 S, de calcul al distribuției de viteză prin integrarea numerică a curbei imagine. Distribuția de viteză se obține numeric sau prin reprezentare grafică.

5. Din analiza mai multor rețele s-a dedus relația aproximativă (4.7.4) și s-au stabilit valorile coeficienților k_s , k_v și k_f (secț.4.7.1).

6. Pentru dimensionarea inversă a profilului s-a realizat un program de calcul avînd la bază metoda Wilkinson /112/ (secț.3.1.2 și 4.6). În cadrul programului s-a stabilit curba de interpolare a scheletului la bordul de fugă, adecvată distri-

buțiilor de viteză obținute din planul imagine (secț.4.6 e).

7. A fost elaborată o metodă pentru dimensionarea rețelelor, pentru un rotor de turbină, formate dintr-o familie de profile. Metoda constă din optimizarea, prin teoria stratului limită, a rețelei de la butuc și modificarea corespunzătoare a profilului pentru celelalte secțiuni. Pentru aceasta s-a dedus relația empirică (4.7.9). Prin rezultatele obținute (secț.4.7.4) s-a dovedit că metoda propusă poate fi folosită la proiectarea rotoarelor axiale de turbină hidraulică.

CAPITOLUL 5

CERCETĂRI EXPERIMENTALE DE STRAT LIMITA ȘI TURBULENȚA PR UN PROFIL AERODINAMIC

Cercetările experimentale de strat limită și turbulență s-au efectuat în cadrul stațiunii experimentale a Laboratorului de mașini hidraulice al Institutului Politehnic din Timișoara. Stațiunea este dotată cu un tunel aerodinamic de strat limită și turbulență (fig.5.1) și aparatură electronică de mare precizie necesară unor investigații experimentale. Cercetările au fost orientate asupra analizei curgerii în stratul limită și în dăra unui profil aerodinamic și au avut ca scop verificarea unor metode folosite în secțiunile anterioare la soluționarea curgerii potențiale (secț.3.1.3) și la soluționarea curgerii în stratul limită (secț.3.2.2 - 3.2.4).

Ca sistem de măsurare a fost utilizată termoanemometria cu fir încălzit (fig.5.2), binecunoscută în prezent pentru avantajele pe care le oferă în analiza experimentală a curgerii turbulente /21, 75/.

5.1 Descrierea stațiunii

Tunelul de strat limită și turbulență este un tunel în circuit deschis (fig.5.1.1) care lucrează prin absorbție, în scopul de a obține un curent uniform fără prea mari complicații constructive. Tunelul constă dintr-o gură de intrare (1), o cameră de uniformizare (2) cu 5 site (3), o contracție 12:1 (4), camera de lucru cu secțiunea 0,6 x 0,3 m și lungimea 1,5 m (5), un difuzor (7) și două ventilatoare (9) racordate prin intermediul unei construcții bifurcate (8). Este executat din lemn cu excepția piesei bifurcate confecționată din tablă. În camera de lucru

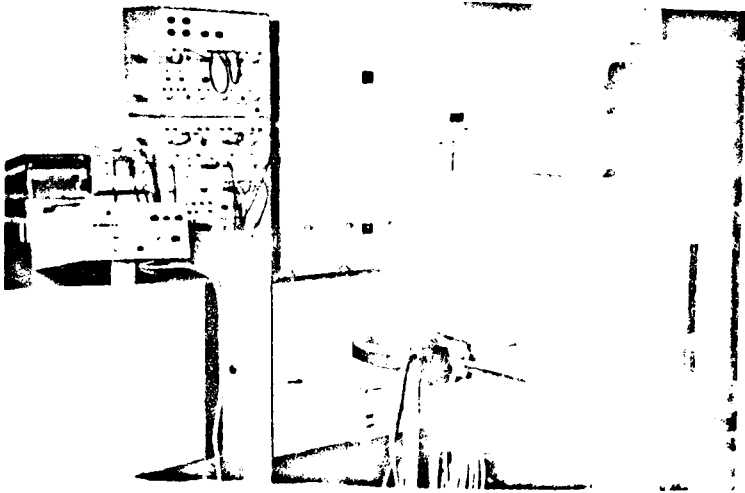


Fig.5.1 Instalația experimentală

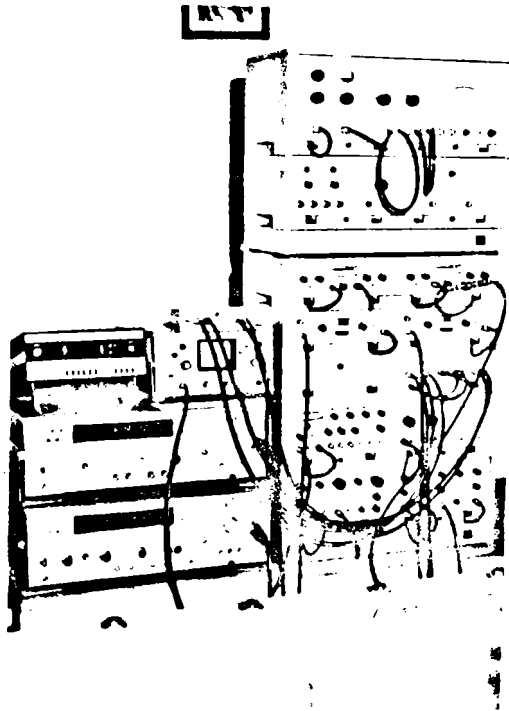


Fig.5.2 Aparatura de măsură

se poate dezvolta o viteză de aproximativ 65 m/s.

Ventilatoarele sînt de tipul axial, cu caracteristicile: $\Delta p = 62 \text{ mm.c.apă}$, $Q = 25000 \text{ m}^3/\text{h}$. Puterea motorului de antrenare a unui ventilator este $P = 7,5 \text{ kW}$ la turația $n = 1500 \text{ rot/min}$.

La încercări s-a lucrat cu un singur ventilator pentru a evita viteze prea mari în camera de lucru. În acest scop ieșirea celuilalt ventilator a fost obturată. Pentru a distruge vârtejul central al curentului, datorat ventilatorului, între piesa de bifurcație (9) și difuzorul (8) a fost introdusă o sită. Aceasta a avut ca scop eliminarea pulsațiilor de viteză transmise de la ventilator în amonte.

Uniformitatea vitezei în camera de lucru a tunelului a fost verificată în trei secțiuni transversale care încadrează lungimea profilului ($l = 0,6 \text{ m}$, fig.5.1.2 a), Măsurătorile s-au efectuat în secțiunea mediană a înălțimii camerei de lucru ($l = 0,3 \text{ m}$, corespunzătoare anvergurii profilului), în care au fost efectuate și măsurătorile pe profil. Viteza a fost măsurată în două moduri : cu sondă Pitot-Prandtl și cu termoanemometrul tip DISA cu fir cald (sect.5.3). În ambele cazuri s-au obținut valori apropiate ale vitezei. Variațiile în presiunea statică și totală au fost mai mici de 1% din presiunea dinamică. Din fig.5.1.2 a se constată o foarte bună uniformitate a vitezei în toate cele trei secțiuni analizate. Micșorarea vitezei de la secțiunea I ($U = 23,8 \text{ m/s}$) la secțiunea III ($U = 23,2 \text{ m/s}$) se datorează îndrăgirii camerei de lucru cu 1° , pe lungimea de 1,5 m, pentru a reduce efectul stratului limită al pereților asupra curgerii.

Ca viteză de referință U_{ref} , la care se raportează măsurătorile, a fost considerată valoarea vitezei în prima secțiune ($U_{ref} = 23,8 \text{ m/s}$) ceea ce corespunde unui număr Reynolds format cu diametrul echivalent $U_{ref} \cdot d_e / \nu = 7,54 \cdot 10^5$. Numărul Reynolds corespunzător profilului ($l = 0,6 \text{ m}$) este $U_{ref} \cdot l / \nu = 9,46 \cdot 10^5$.

În fig.5.1.2 b este dată variația gradului de turbulență, măsurat cu termoanemometrul DISA cu ajutorul unei sonde cu un fir încălzit, dispus paralel cu înălțimea camerei de lucru. Se observă că se respectă și uniformitatea turbulenței în toate secțiunile și se menține la aceeași valoare de aproximativ 0,1 %, valoare acceptată pentru măsurători de strat limită și turbulență în tunele aerodinamice.

În general, rezultatele prezentate concordă destul de bine cu cele date de Nakayama /59/ asupra tunelului de joasă viteză în circuit închis de la Douglas Aircraft Company, Long

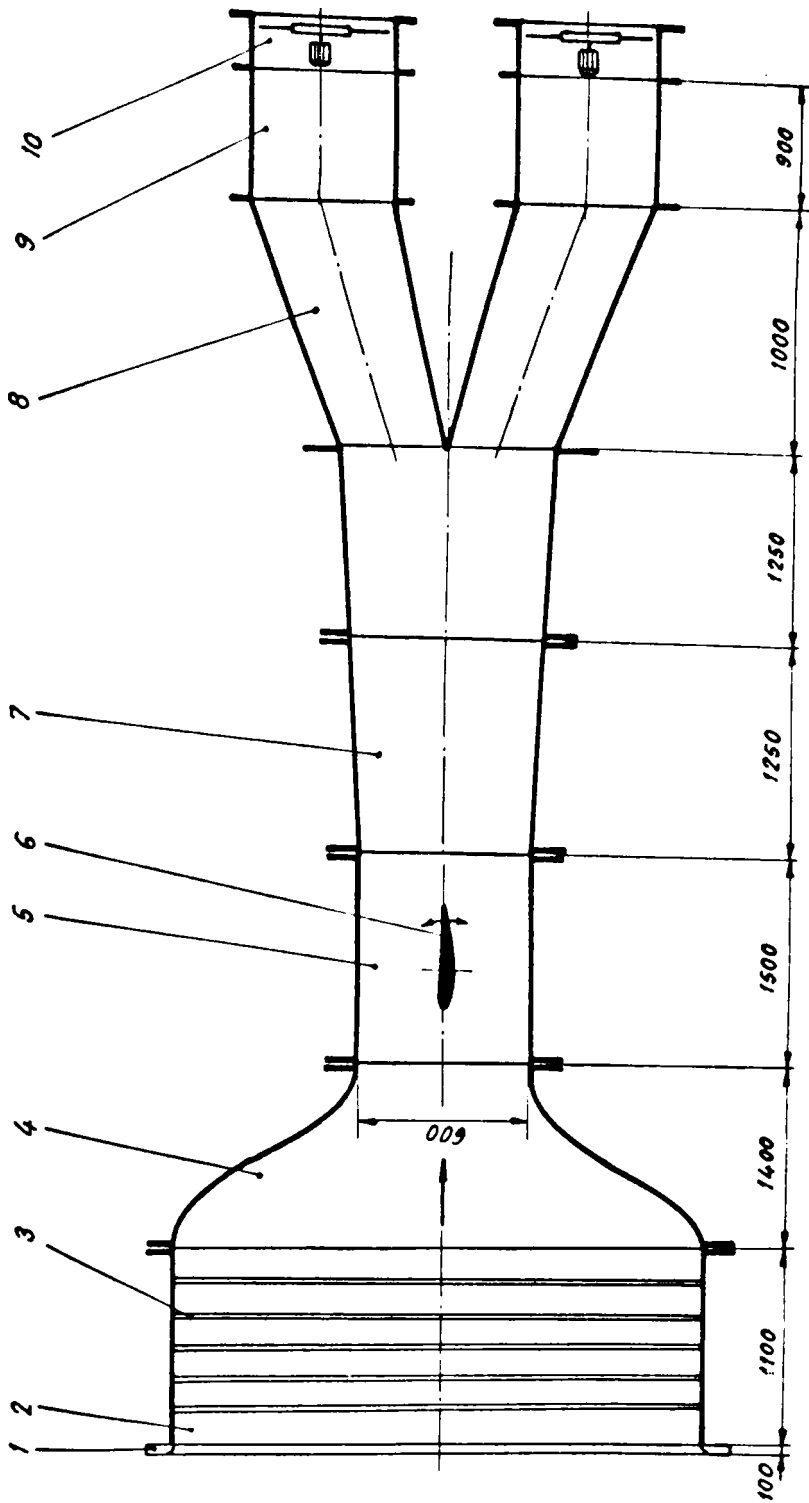


Fig. 5.1.1 Schilke instalatei experimentale

Beach, USA. Excepție face gradul de turbulență mai ridicat al tunelului nostru, însă trebuie avut în vedere dimensiunile mai mici și construcția tunelului în circuit deschis.

5.2 Modelul experimental

Pentru studiul experimental a fost luat profilul NACA (fig. 5.2.1) a cărui geometrie se caracterizează prin /77/ : curbura maximă $f/l = 4\%$; grosimea maximă $d/l = 12\%$; poziția curburii maxime $x_f/l = 40\%$; poziția grosimii maxime $x_d/l = 30\%$.

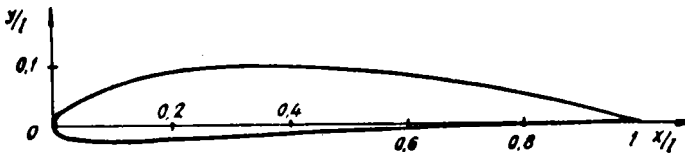


Fig.5.2.1 Profilul NACA 4412

Modelul experimental (fig.5.2.2) s-a construit din lemn de tei, finisat, vopsit și lustruit. Caracteristicile modelului sînt : lungimea corzii $l = 0,6$ m și anvergura $L = 0,3$ m.

Pe suprafața profilului, în secțiunea mediană a anvergurii, au fost aplicate un număr de 41 de prize de presiune (22 pe extradados, 17 pe intrados și cîte unul în bordul de atac și respectiv bordul de fugă). Prizele sînt dispuse normal la suprafață și au diametrul orificiului $d = 1$ mm. Legătura dintre prizele de presiune și instrumentul de măsură s-a făcut prin intermediul unor țevi metalice scoase prin axul modelului, racordate cu furtune la un comutator de presiune cu fluid magnetic (fig.5.2.3).

Comutatorul de presiune este rezultatul preocupărilor colectivului de ferohidrodinamică al Laboratorului de mașini hidraulice în domeniul aplicării fluidelor magnetice în tehnică. Comutatorul este obiectul unei cereri de brevet de invenție. Avantajul pe care îl oferă este înlocuirea unui instrument multiplu de măsurare a presiunii cu un instrument simplu. În acest fel, eroarea de măsură a instrumentului se reduce la eroarea datorată unui singur aparat.

Pentru măsurarea presiunii pe suprafața profilului s-a utilizat un micromanometru cu alcool clasa de precizie 1.

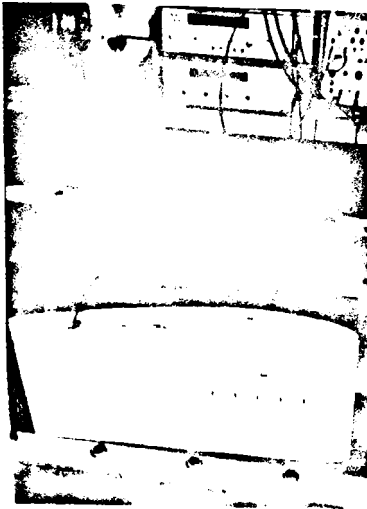


Fig. 5.2.3 Modelul experimental



Fig. 5.2.3 Comutatorul de presiune și instrumentul de măsurare a presiunii

5.3 Măsurarea vitezei și a turbulenței

Pentru măsurarea vitezei medii și a cantităților fluctuante, s-a folosit sistemul DISA 55Doo, aflat în dotarea Laboratorului de mașini hidraulice. Sistemul (fig. 5.2) cuprinde: termoanemometre de temperatură constantă, liniarizatoare, voltmetre numerice, voltmetre de valoare efectivă, corelator analog, traductori cu fir sau film și aparatură auxiliară pentru etalonarea și deplasarea în tunel de traductoarelor. Ca traductori, ai schimbului de energie dintre fluid și sistemul de măsură, s-au utilizat sonde DISA cu fir de wolfram cu diametrul firului $d_f = 5\mu\text{m}$ și lungimea $l_f = 1,2\text{ mm}$.

Termoanemometria cu fir cald, datorită complexității curgerilor studiate și a aparatului folosite, a făcut obiectul a numeroase cercetări privind sistemele de măsurare, traductorii și metodele de analiză a semnalelor /1, 17, 21, 36, 47, 78, 91/.

Legătura dintre transferul de căldură a firului și viteza curentului este dată de legea lui King /17, 78/,

$$Nu = A + BU^n \quad (5.3.1)$$

unde: $Nu = Q_c d_f (\pi d_f l_f) \lambda (T_w - T_o)$ este numărul Nusselt bazat pe diametrul firului, A și B sînt constante; n - exponent. Aici, Q_c este transferul de căldură, λ conductivitatea termică, T_w temperatura absolută a firului și T_o temperatura absolută a fluidului.

Incercările de a obține în relația (5.3.1) constante universale au întâmpinat greutăți datorită factorilor de care depinde natura schimbului de căldură /37,78/. Din această cauză, în practică, evaluarea constantelor A, B și exponentul n se face într-o instalație de etalonare. Etalonarea firului se efectuează în mod obișnuit prin măsurarea căderii de tensiune E la o serie de viteze medii U care acoperă domeniul de viteze măsurat (fig.5.3.1). Datorită neliniarității, corelația $E = E(U)$, care se obține este incomodă în apl caș practice. Din acest punct de vedere, mult mai avantajoase sînt corelațiile liniare de forma

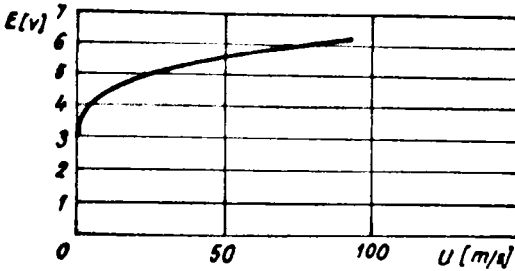


Fig.5.3.1 Curbă tipică de etalonare pentru o sondă DISA (sist.neliniarizat)

unde k este panta dreptei. Astfel de curbe de etalonare pot fi realizate prin intermediul liniarizatoarelor, introduse

$$E = k U \quad (5.3.2)$$

în sistemul de măsură. Klatt /47/ analizează cele două sisteme de măsură, neliniarizat și liniarizat, pentru care obține valori apropiate la turbulențe $u^2/U^2 = 15\%$. Pentru măsurătorile efectuate în lucrare s-a putut estima, pe baza distribuțiilor de viteză pe profil, că vitezele medii nu depășesc 40 m/s, iar datorită nivelului scăzut al turbulenței al tunelului (prin analogie cu măsurătorile lui Nakayama /28,59/) s-a presupus, și s-a verificat ulterior, că nivelul turbulenței în dîră nu depășește valoarea $\sqrt{u^2}/U = 15\%$.

În aceste condiții poate fi utilizat sistemul de măsurare liniarizat. Sistemele folosite la măsurători, curbele de etalonare obținute, precum și modul de prelucrare a semnalelor, pentru fiecare caz în parte, sînt prezentate în continuare. Schematic, în fig. 5.3.2 este dat sistemul măsură a vitezei medii U în stratul limită. Ca traductor s-a folosit o sondă standard tip PL4 cu un singur fir. Etalonarea sondei a fost realizată în instalația de etalonare DISA 55 A 22 (fig.5.3.4), care lucrează pe același principiu ca și instalația experimentală, prin absorbție. Curba de etalonare (fig. 5.3.3) arată o foarte bună liniaritate în domeniul de viteze $U = 5 - 40$ m/s, pentru care $k = 1/10$. Mărimile din fig.5.3.3 au următoarele semnificații: R_0 - rezistența firului ($d = 5 \mu m$) la temperatura ambiantă, R_1 - rezistența de supraîncălzire ($R_1 = a R_0$ cu $a = 1,8$ recomandat de firmă), V_0 - tensiunea punții la viteză

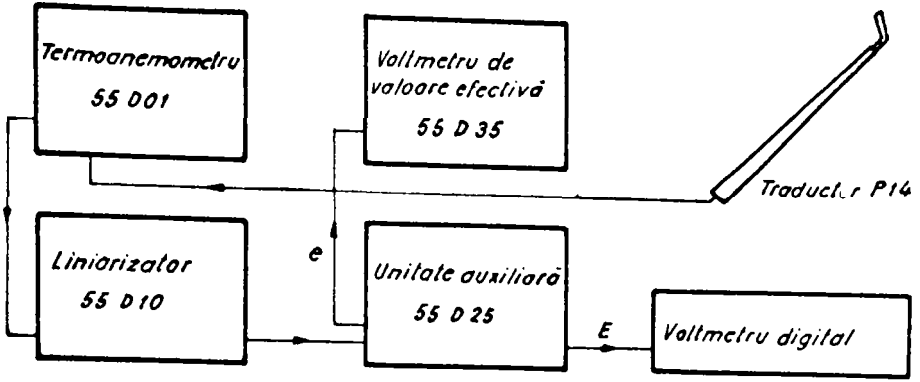


Fig. 5.3.2 Schema sistemului de măsură a vitezei și turbulenței în stratul limită

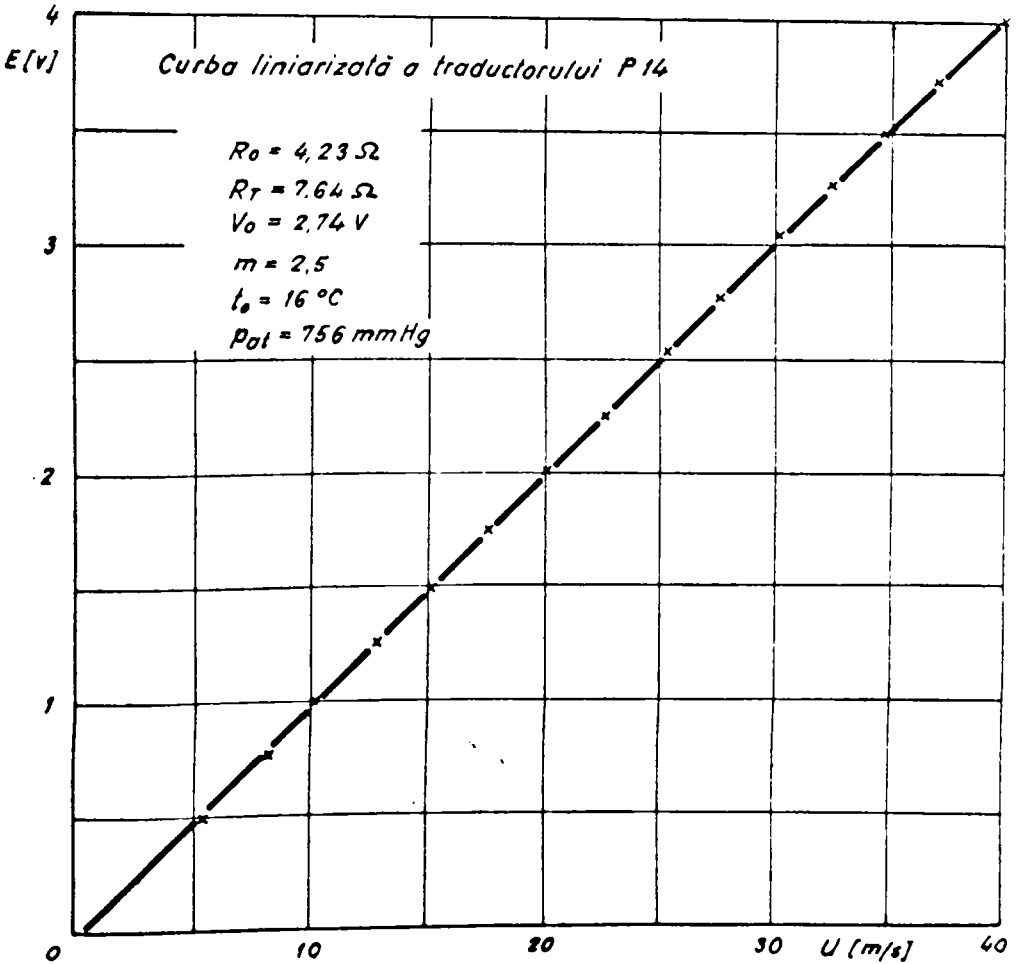


Fig. 5.3.3 Curba de etalonare a sondei DISA tip P14

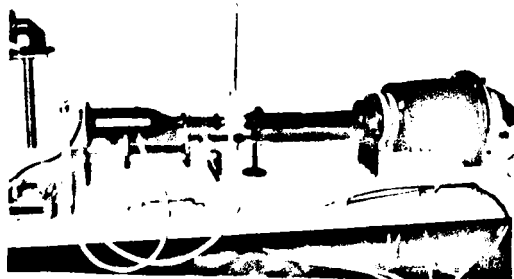


Fig. 5.3.4 Instalația de etalonare DISA 55 A 22

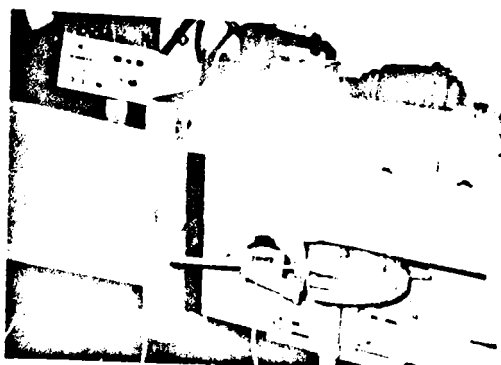


Fig. 5.3.5 Dispozitivul de poziționare și deplasare a sondei

nulă și m - exponentul fixat la liniarizator (stabilit prin tatonare).

În punctul de măsură pe profil suportii sondei, dispuși la 90° și cu o lungime de circa 7 mm în raport cu axa sondei, au fost orientați în direcția curgerii. Poziționarea și deplasarea sondei, normal la suprafața profilului, s-a efectuat cu ajutorul unui dispozitiv construit special (fig. 5.3.5), respectiv cu un mecanism de deplasare fină tip DISA. Pentru măsurarea căderii de tensiune E s-a folosit un voltmetru digital, care a realizat o mediere a semnalului timp de 10 s. În fiecare punct s-au citit 4-6 valori pe baza cărora s-a obținut valoarea medie. În general, valorile citite au oscilat cu abatere mai mică de 1% în jurul valorii medii.

Pentru măsurătorile de turbulență în stratul limită și în dîră și ale vitezei medii în dîră s-a folosit o sondă tip P63 cu două fire ($d = 5 \mu m$) dispuse în planul XOY (fig. 5.3.6). Firele sînt inclinate, în raport cu axa Y, cu unghiurile α și β ($\alpha = 45^\circ$, $\beta = -45^\circ$). În dîră deplasarea sondei s-a făcut după o direcție normală la axa centrală a camerei de lucru. Linia paralelă cu aceasta, care trece prin bordul de fugă, s-a considerat drept axă de referință. În stratul limită deplasarea sondei s-a efectuat normal la suprafața profilului. Măsurătorile au constat în determinarea componentelor, vitezei medii și ale fluctuațiilor acestora, după direcția de curgere (U și u) și transversală (V și v), normală la prima. De asemenea, au fost efectuate măsurători ale efortului de frecare sau corelația $-\overline{uv}$.

Sistemul de măsură pentru componentele vitezei medii U și V este prezentat schematic în fig. 5.3.7, iar în fig. 5.3.8 curba de

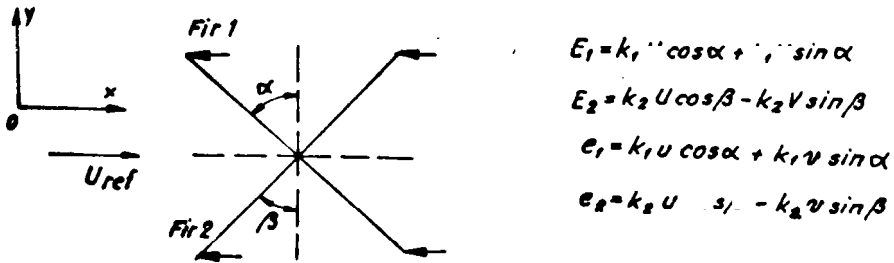


Fig. 5.3.6 Configurația sondei X

etalonare a sondei, care arată o foarte bună liniaritate în domeniul de viteze $U = 5 - 30$ m/s. Pentru ambele fire panta dreptei este $k_1 = k_2 = k = 1/10$. În conformitate cu /36/ componentele vitezei se obțin din legea cosinusului

$$U = \frac{1}{2k} (E_1 + E_2) \quad (5.3.3)$$

$$V = \frac{1}{2k} (E_1 - E_2) \quad (5.3.4)$$

unde E_1 și E_2 reprezintă căderile de tensiune pe cele două fire. Pentru măsurarea acestora s-au folosit două voltmetre numerice. Ca principiu și metodologie de măsurare s-a respectat procedeul utilizat la măsurătorile cu sonda simplă cu un singur fir.

Pentru determinarea turbulenței și ale corelației $-\overline{UV}$ s-au folosit sistemul din fig. 5.3.9. Componentele mediate ale turbulenței s-au obținut de la două voltmetre de valoare efectivă prin intermediul unui sumator de semnale fluctuante. Ținând seama de relațiile de mediere se obține

$$\sqrt{\overline{u^2}} = \frac{1}{2kk_s} \left[(\overline{e_1 + e_2})^2 \right]^{\frac{1}{2}} = \frac{1}{2kk_s} (\overline{e_s^2})^{\frac{1}{2}} \quad (5.3.5)$$

$$\sqrt{\overline{v^2}} = \frac{1}{2kk_s} \left[(\overline{e_1 - e_2})^2 \right]^{\frac{1}{2}} = \frac{1}{2kk_s} (\overline{e_D^2})^{\frac{1}{2}} \quad (5.3.6)$$

unde e_s și e_D sînt semnalele preluate de la sumator, $k = 1/10$ este panta dreptei de etalonare (fig. 5.3.8), iar k_s este factorul de amplificare al sumatorului ($k_s = 0,33$ pentru sumatorul DISA 55D71).

Corelația $-\overline{UV}$ a fost măsurată cu ajutorul unui corelator analog. Factorul de corelație R_{AB} este dat de

$$R_{AB} = R'_{AB} G_A G_B = G_A G_B \overline{e_s e_D} = 4k^2 k_s^2 \overline{UV} \quad (5.3.7)$$

unde R'_{AB} este valoarea citită la instrument, G_A și G_B sînt constantele de atenuare ale celor două canale A și B ale corelatoru-

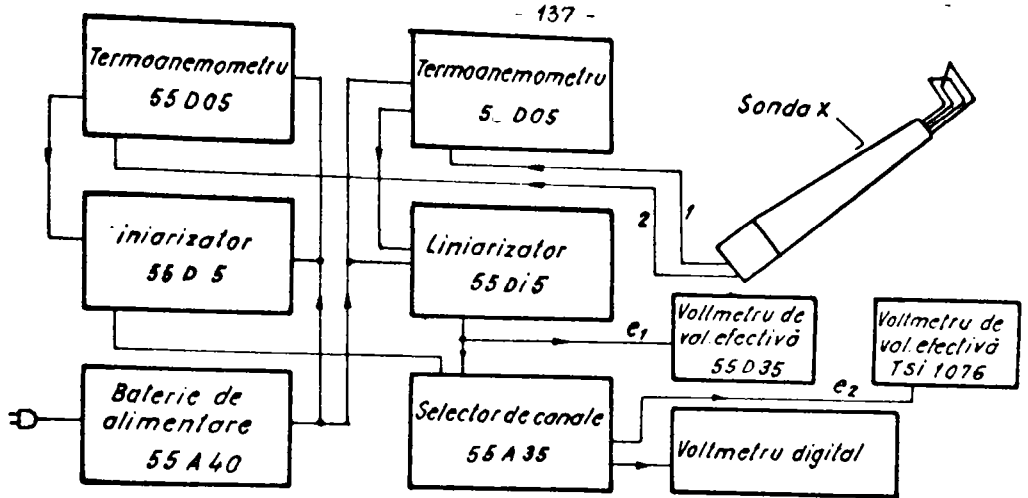


Fig.5.3.7 Schema sistemului de măsură pentru componentele vitezei medii U și V

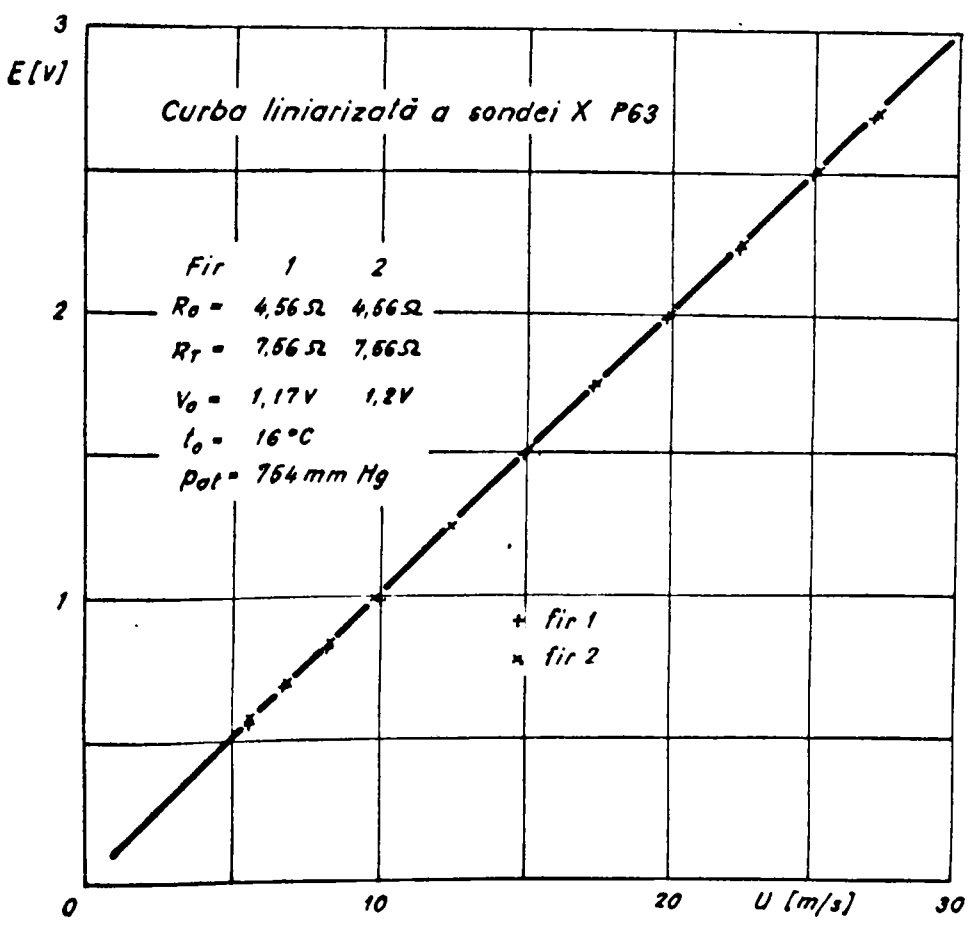


Fig.5.3.8 Curba de etalonare a sondei X

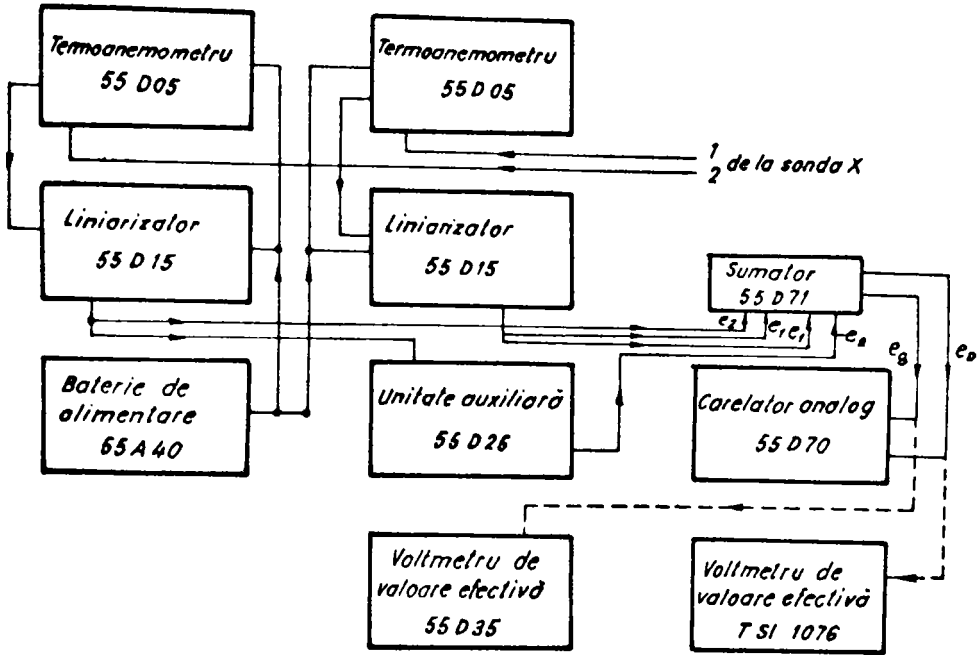


Fig.5.3.9 Schema sistemului de măsură a componentelor turbulenței (linie întreruptă) și a corelației $-\overline{uv}$

ruului; e_a , e_b , k și k_s au aceleași semnificații din (5.3.5) și (5.3.6)

Din (5.3.7) se obține

$$\overline{uv} = \frac{R_{AB}}{4K^2 K_s^2} = \frac{R'_{AB} G_A G_B}{4K^2 K_s^2} \quad (5.3.8)$$

In general, timpul de integrare T , atât la măsurarea componentelor turbulenței, cât și la măsurarea factorului de corelație R'_{AB} , a fost $T \gg 30$ s.

5.4 Rezultate experimentale și comparații cu rezultate teoretice

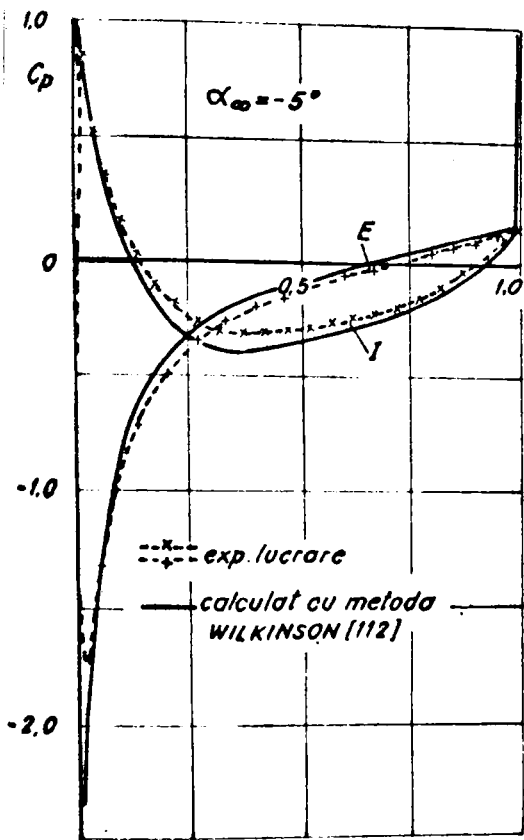
5.4.1 Cîmpul de presiuni și viteze pe suprafața profilului

Rezultatele măsurătorilor de presiune, obținute de la orificiile dispuse normal pe suprafața profilului, sînt reprezentate în fig.5.4.1 a,c ; 5.4.2 a,c și 5.4.3 a,c sub forma coeficientului de presiune definit prin

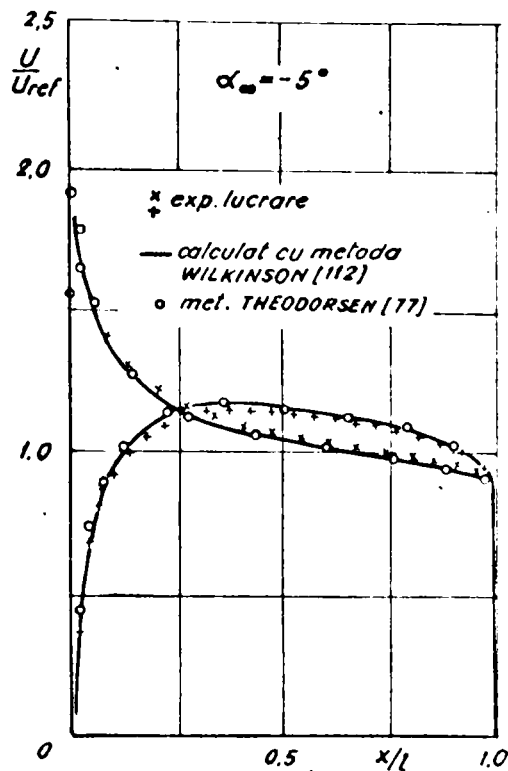
$$C_p = \frac{p - p_{ref}}{\frac{1}{2} \rho U_{ref}^2} = 1 - \left[\frac{U}{U_{ref}} \right]^2 \quad (5.4.1)$$

în care p_{ref} și U_{ref} sînt presiunea statică, respectiv viteza curentului neperturbat într-o secțiune situată la o distanță suficient de mare în amonte de profil. Deoarece, pe baza verificărilor efectuate în timpul măsurătorilor, s-a constatat că prezența profilului provoacă distorsionarea profilului vitezei în secțiunea transversală la ieșirea din contracție (datorită unei distanțe relativ mici față de profil), fără a afecta profilului vitezei în secțiunea normală, s-a considerat ca viteză de referință viteza curentului din camera de lucru în absența profilului. Din calculul vitezei medii în secțiunea de intrare în tunel, în prezența profilului, a rezultat că în domeniul de incidențe $\alpha \in [-5^\circ, +5^\circ]$ valoarea acesteia se menține în jurul valorii considerate cu o abatere relativă mai mică de 0,5 %, însă cu creșterea incidenței viteza medie scade, abaterea maximă fiind de 1,6 % la $\alpha = 10^\circ$. Aceste abateri au o influență mică asupra coeficientului de presiune C_p (fig.5.4.3 c) dar pot fi importante la calculul coeficienților de portanță și rezistență la înaintare. Drept urmare, calculul acestor coeficienți s-a făcut în raport cu viteza medie a curentului în secțiunea de la intrarea în camera de lucru.

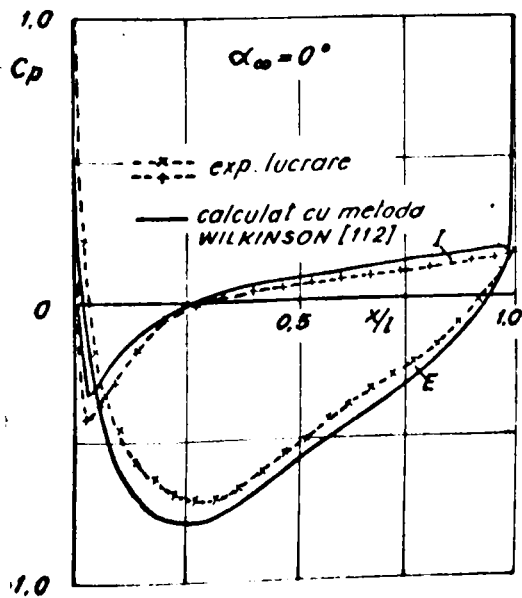
Pe baza distribuțiilor experimentale de presiuni au fost calculate distribuțiile de viteză reprezentate în fig.5.4.1 b,d ; 5.4.2 b,c și 5.4.3 b. Comparativ în aceste figuri sînt date și distribuțiile de presiuni, respectiv viteză, obținute teoretic, în ipoteza curgerii potențiale, cu metoda ecuațiilor integrale - Wilkin-son /112/ (secț.3.1.3). Pentru distribuțiile de viteză (fig.5.4.1 b,d ; 5.4.2 b,d și 5.4.3 b) sînt figurate și valorile teoretice, după Riegels /77/, calculate cu metoda transformărilor conforme - Theodorsen /98,116,117/. Aceste comparații arată că, pentru domeniul de incidențe $\alpha \in (-5^\circ, +5^\circ)$, la care curentul nu se desprinde de



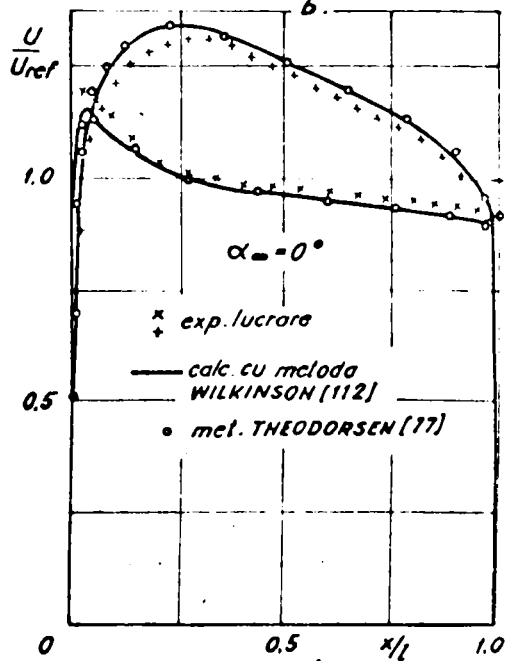
a.



b.

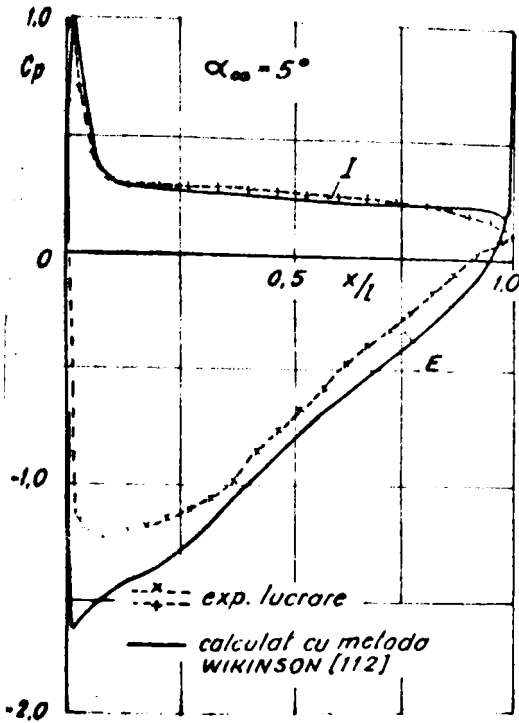


c.

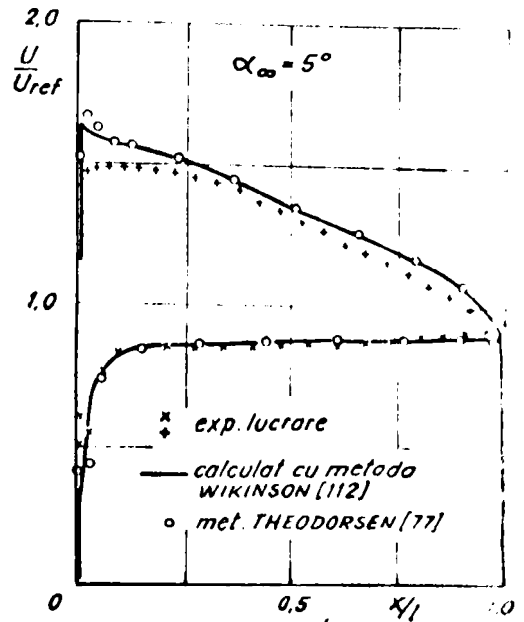


d.

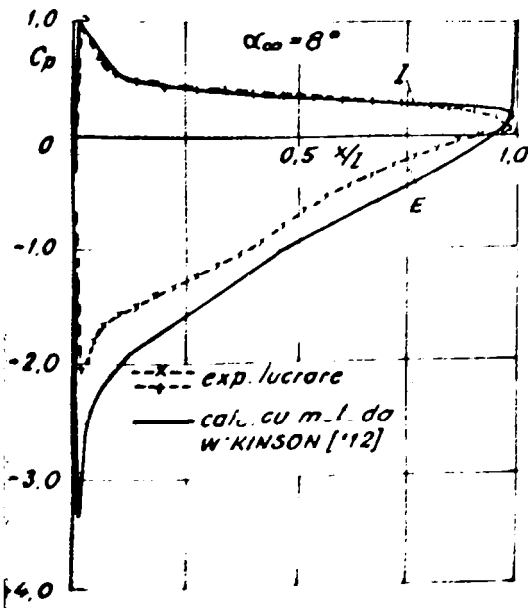
Fig. 5.4.1 Distribuții de presiuni și viteze pe profilul NACA 4412



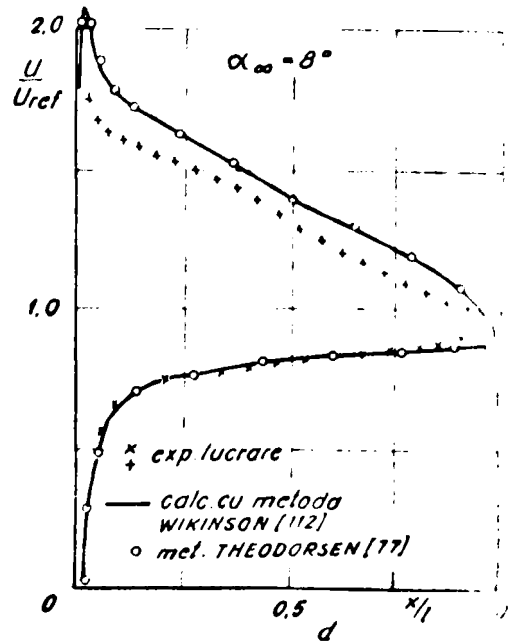
a.



b.



c.



d.

Fig. 5.4. 2 Distribuții de presiuni și viteză pe profilul NACA 4412

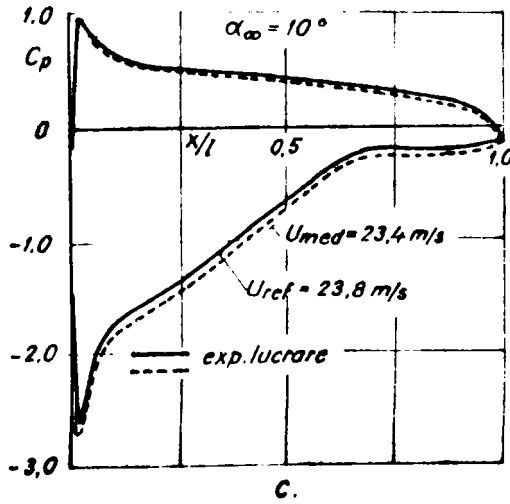
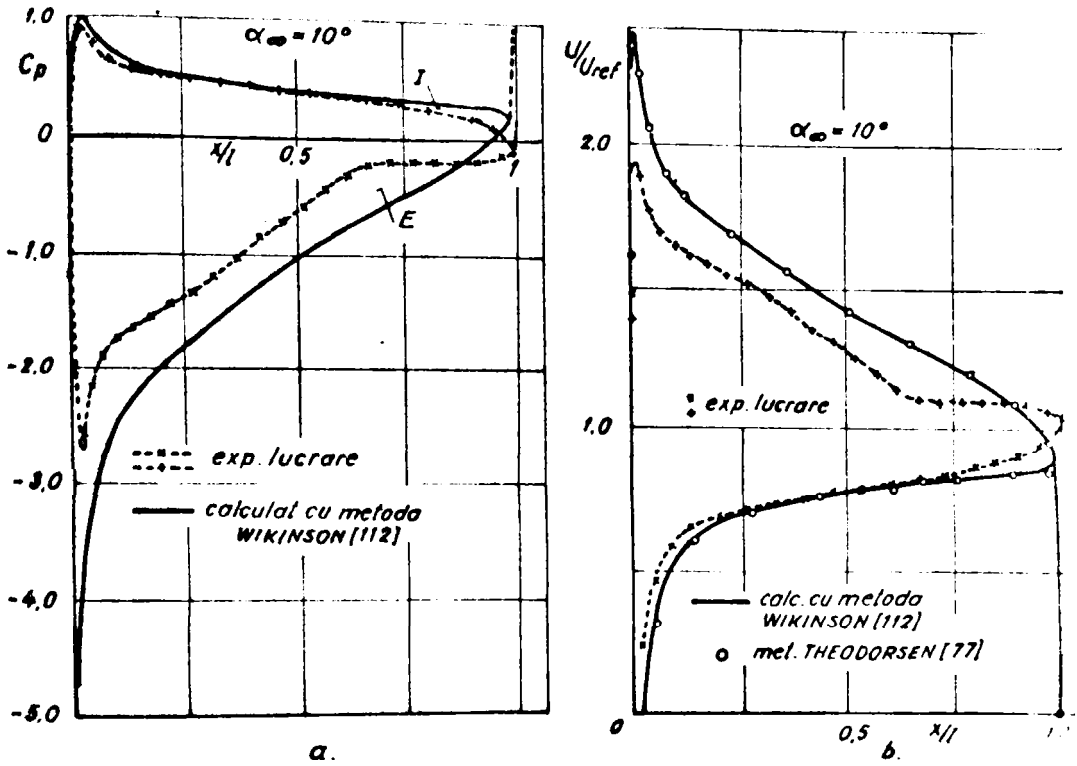


Fig. 5.4.3 Distribuții de presiuni și viteză pe profilul NACA 4412

profil, concordanța teorie-experiment este satisfăcătoare. La incidențe $\alpha_{\infty} > 5^{\circ}$ diferențele între valorile teoretice și experimentale cresc cu incidența. Acestea se datorează desprinderii pe extrasos, în apropierea bordului de fugă, fapt observat atât din distribuțiile experimentale de presiuni (fig.5.4.2 c ; 5.4.3 a), prin apariția unei zone de presiune constantă, cât și din calculul teoretic al stratului limită. Existența desprinderii la bordul de fugă a fost confirmată și prin măsurători de viteză în stratul limită, prelucrate sub formă globală, care arată o creștere însemnată a parametrului de formă H_{12} ($> 2,6$ pentru $\alpha_{\infty} \in [5^{\circ}, 10^{\circ}]$). De remarcat că, deși apariția desprinderii determină diferențe importante între câmpul de presiuni obținut teoretic și cel experimental, din comparațiile prezentate rezultă că metoda de calcul /112/ respectivă, pe o porțiune mare din suprafața profilului, panta variației reale. De asemenea, metoda oferă rezultate într-o concordanță foarte bună cu metoda Theodorsen /98, 116, 117/, considerată ca metodă de referință în studiul curgerii potențiale din jurul profilelor izolate.

5.4.2 Coeficienți de portanță și rezistență la înaintare

Valorile coeficienților de portanță C_a , obținute din distribuțiile experimentale de

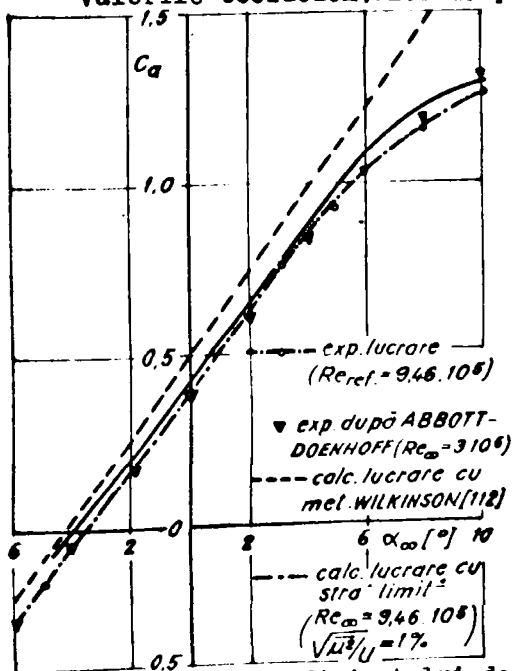


Fig.5.4.4 Variația coeficientului de portanță cu unghiul de incidență

tribuițiile experimentale de p.r.s.un., s. date în fig. 5.4.4. Pentru comparație, în această figură, au fost reprezentate valorile experimentale, după Abbott și Doenhoff /117/. Concordanța bună între valorile experimentale, obținute în instalații și p. în moduri diferite, atestă valabilitatea măsurătorilor efectuate în lucrare. Diferențele mici care apar la incidențe mari ($\alpha_{\infty} = 8^{\circ}, 10^{\circ}$) pot fi puse pe seama numerelor Reynolds mult diferite.

În ceea ce privește coeficientul de portanță calculați, cu metoda Wilkinson /112/, în ipoteza curgerii

potențiale, rezultă abateri considerabile între teorie și experiment. Aceste abateri cresc cu incidența și în deosebi la incidențele pentru care stratul limită se desprinde. Prin urmare, prezența stratului limită modifică circulația în jurul profilului și are ca efect modificarea distribuției de presiuni, respectiv a portanței, în raport cu mișcarea fără frecare. Așa cum a fost arătat în secț.3.3 micșorarea circulației, datorită stratului limită, este echivalentă cu o micșorare a incidenței cu $\Delta\alpha\omega_2$ la care se adaugă micșorarea incidenței cu $\Delta\alpha\omega_1$ datorită efectului de coardă. Folosind metoda din secț.3.3, particularizată pentru profile dispuse în curent nelimitat /122/, a fost calculată modificarea totală a incidenței $\Delta\alpha\omega = \Delta\alpha\omega_1 + \Delta\alpha\omega_2$. Pentru calculul stratului limită s-au folosit metodele din secț.3.2. Ca valoare a turbulenței în curgerea exterioară s-a luat $\sqrt{u^2}/U = 1\%$ (obținută experimental). Rezultatele, prezentate în fig.5.4.4, arată o apropiere satisfăcătoare între teorie și experiment.

Determinarea experimentală și teoretică a coeficienților de rezistență la înaintare C_w , reprezentată în fig.5.4.5 sub forma polarei $C_a = C_a(C_w)$, s-a făcut pe baza relației /88/

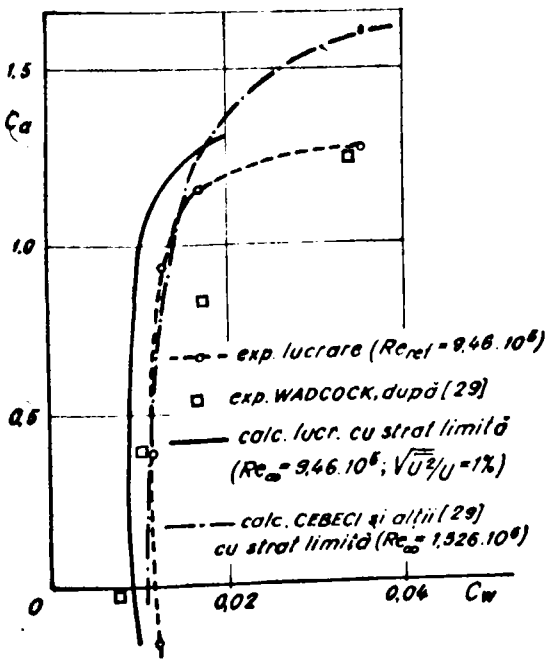


Fig.5.4.5 Polara profilului

$$C_w = 2 \frac{\sigma_{2\omega}}{l} \quad (5.4.2)$$

în care

$$\frac{\sigma_{2\omega}}{l} = \int_{-\infty}^{+\infty} \frac{u}{U_\infty} \left(1 - \frac{u}{U_\infty}\right) d\left(\frac{y}{l}\right) \quad (5.4.3)$$

reprezintă grosimea adimensională a pierderii de impuls a dîrei, considerată într-o secțiune în aval de bordul de fuga unde presiunea statică devine egală cu presiunea curentului neperturbat. Date fiind dificultățile în determinarea experimentală a lui $\sigma_{2\omega}$ (camera de lucru relativ scurtă), în lucrare s-a folosit metoda Jones /88/. Pentru calculul teoretic al lui C_w , după Schlichting /88/, $\sigma_{2\omega}$ poate fi obținut din relația :

$$\frac{\sigma_{2\omega}}{l} = \frac{\sigma_{2f}}{l} \left(\frac{U_f}{U_\infty}\right)^{3,2} \quad (5.4.4)$$

in care δ_{2f} este grosimea pierderii de impuls la intrarea in difuzor
 $\delta_{2f} = \delta_{2f}^+ + \delta_{2f}^-$ (indicele "f" se referă la bordul de fugă, iar indicele "+" la extradadosul, respectiv intradosul profilului) și U_f este viteza potențială la bordul de fugă.

După cum se poate vedea din fig.5.4.5 polara experimentală și calculată, prin teoria stratului limită, prezintă o bună apropiere în domeniul de incidențe $\alpha_\infty \in (-5^\circ, +5^\circ)$, însă la incidențe mai pozitive ($\alpha_\infty = 8^\circ$ și mai ales $\alpha_\infty = 10^\circ$) apar diferențe semnificative între teorie și experiment. Aceste abateri rezidă, în principal, din calculul stratului limită. Calculele arată o desprindere mai puțin pronunțată decât cea posibilă în realitate, așa cum rezultă din distribuțiile măsurate de presiuni. Cauzele, pot fi în aproximațiile metodei de calcul [27,39], însă mai ales în stabilirea punctului de tranziție. Așa cum au arătat Cebeci și alții [29] în cazul desprinderii, modificări mici ale punctului de tranziție produc modificări mari ale poziției desprinderii, respectiv ale parametrilor stratului limită și prin urmare, ale coeficienților de portanță și rezistență calculați. În cazul în care stratul limită nu se desprinde, tranziția influențează mai puțin parametrii calculați.

Comparativ cu valorile măsurate de Wadcock, după [29], sau calculate prin teoria stratului limită de Cebeci și alții [29] (fig.5.4.5), rezultatele din lucrare sînt bine corelate cu acestea pentru un domeniu larg de incidențe, deși au fost obținute prin procedee diferite, atît din punct de vedere al investigațiilor experimentale, cît și al celor teoretice.

Ca o verificare a coeficientului de rezistență la înaintare C_w , obținut experimental, au fost determinați coeficienții de rezistență datorită formei profilului C_w' și datorită frecării C_w'' . Coeficientul C_w' s-a calculat din distribuțiile experimentale de presiuni, iar C_w'' pe baza coeficientului global de frecare C_{fr} al profilului. Pentru calculul coeficientului de frecare s-a folosit relația de definiție [88/

$$C_{fr} = \frac{\int_S \tau_o \cos \vartheta \, d(\frac{S}{l})}{\frac{1}{2} \rho U_\infty^2} \quad (5.4.5)$$

in care τ_o este efortul de frecare la perete (rel.2.2.5), ϑ este unghiul dintre tangenta la profil și direcția vitezei U_∞ și S este coordonata măsurată în lungul suprafeței.

Variația coeficientului de frecare pe extradados și intrados, respectiv ca valoare totală, este dată în fig.5.4.6. Această indici

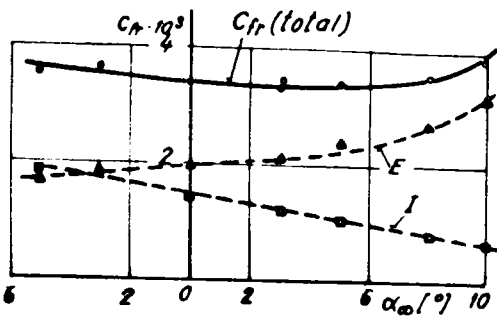


Fig. 5.4.6 Variația coeficientului de frecare cu unghiul de incidență

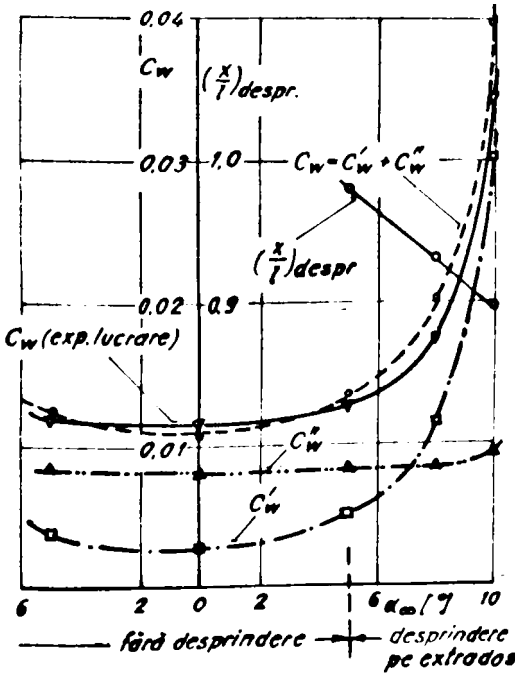


Fig. 5.4.7 Variația coeficienților de rezistență cu unghiul de incidență

mentală a lui C_w , respectiv la calculul lui C_w' (număr insuficient de prize de presiune în zona bordului de atac).

5.4.3 Profile ale curgerii medii în stratul limită

Rezultatele primare ale măsurătorilor în stratul limită, efec-

o creștere cu incidența a coeficientului de frecare pe extradados și o scădere pe intrados, în timp ce, valoarea totală se menține aproximativ constantă.

Variația coeficienților de rezistență, reprezentată în fig. 5.4.7, arată ca rezistența datorită formei profilului crește semnificativ cu incidența la valori ale lui $\alpha_\omega > 5^\circ$, care corespund „parții desprinderii”. Prin urmare, modificarea distribuției de presiune în raport cu cea ideală, datorită, în special, desprinderii stratului limită (fig. 5.4.2 - 5.4.3), are ca efect creșterea rezistenței de formă. Coeficientul de rezistență datorită frecării C_w'' se menține constant pe un domeniu larg de incidențe cu tendință de creștere la incidențe $\alpha_\omega > 8^\circ$.

O concordanță bună s-a obținut între coeficientul de rezistență la înaintare C_w și suma coeficienților C_w' și C_w'' și cel obținut din măsurători. Abaterile de aproximativ 16 % care apar la $\alpha_\omega = 8^\circ$ și 10° se datorează unor erori posibile în metoda de determinare experi-

tuate cu termoanemometrul cu fir încălzit (sistemul din fig.5.3.2) sînt prezentate în fig.5.4.8 - 5.4.9 sub forma profilelor de viteză medie U , raportată la viteza de referință U_{ref} , în funcție de distanța adimensională y/l (normală la suprafața profilului) la diferite locații x/l . În aceleași figuri este dată și dezvoltarea stratului limită prin grosimea adimensională δ/l .

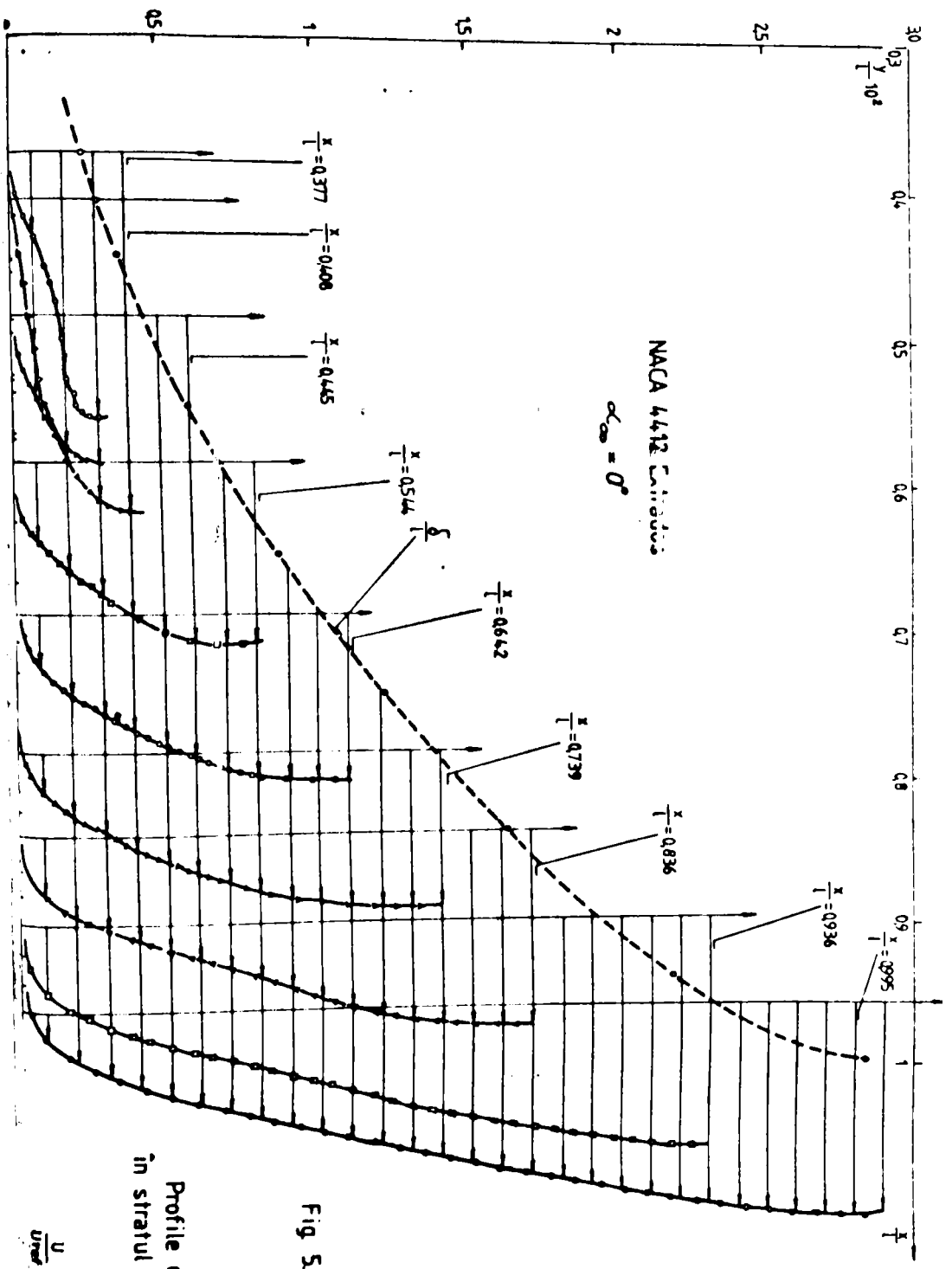
Măsurătorile arată că la incidența considerată stratul limită nu se desprinde de profil. Acesta prezintă o dezvoltare aproape liniară pe intrados, în timp ce pe extrados crește semnificativ în apropierea bordului de fugă. Viteza medie la marginea stratului limită se află într-o bună corelare cu viteza U calculată din distribuțiile de presiuni (fig.5.4.1 d), ceea ce este în concordanță cu rezultatul lui Prandtl ($\partial p / \partial y = 0$ în stratul limită). Pe extrados, profilele de viteză prezintă o distorsionare în regiunea $0,377 \leq x/l \leq 0,445$, asociată zonei de tranziție, iar în regiunea $0,544 \leq x/l \leq 0,739$ și aproape tot intradosul investigat profilele de viteză prezintă forme asemenea. Tranziția laminar-turbulent și similaritatea profilelor de viteză medie vor fi discutate în secțiunile următoare.

5.4.4 Coeficientul de frecare la perete

Coeficientul de frecare locală C_f a fost obținut pe baza reprezentării lui Clauser /30/. Aceasta permite determinarea vitezei de frecare la perete $u_* = \sqrt{\tau_0 / \rho}$ prin fixarea logaritmică a profilelor de viteză medie din stratul limită. Legea universală utilizată este dată de ecuația lui Prandtl /88,126,128/

$$\frac{U}{u_*} = 2,5 \ln \frac{y u_*}{\nu} + 5,5 \quad (5.4.6)$$

În fig.5.4.10 - 5.4.11 se observă că, pe de o parte, similaritatea profilelor de viteză, pe de altă parte, absența desprinderii nu au creat dificultăți în reprezentare și prin urmare, relația (5.4.6) este satisfăcută în toate secțiunile analizate. Aceasta este și o confirmare a corectitudinii măsurătorilor efectuate. Pe extrados (fig.5.4.10), în apropierea bordului de fugă ($x/l > 0,836$), regiunea de perete, cuprinsă între straturile interioare și exterioare, se îngustează treptat. De asemenea, o îngustare, mai pronunțată, apare și la $x/l = 0,445$. Dacă, la $x/l = 0,445$ micșorarea regiunii de perete este asociată zonei de tranziție în care stratul limită nu este în totalitate turbulent, micșorarea regiunii de perete în apropierea bordului de fugă trebuie asociată gradientului de presiune, mai puternic în această zonă (fig.5.4.1 c,d). Pe intrados (fig.5.4.11), unde gra-



Profile de viteză în stratul limită.

Fig 5.4.8

$\frac{u}{U_{\infty}}$

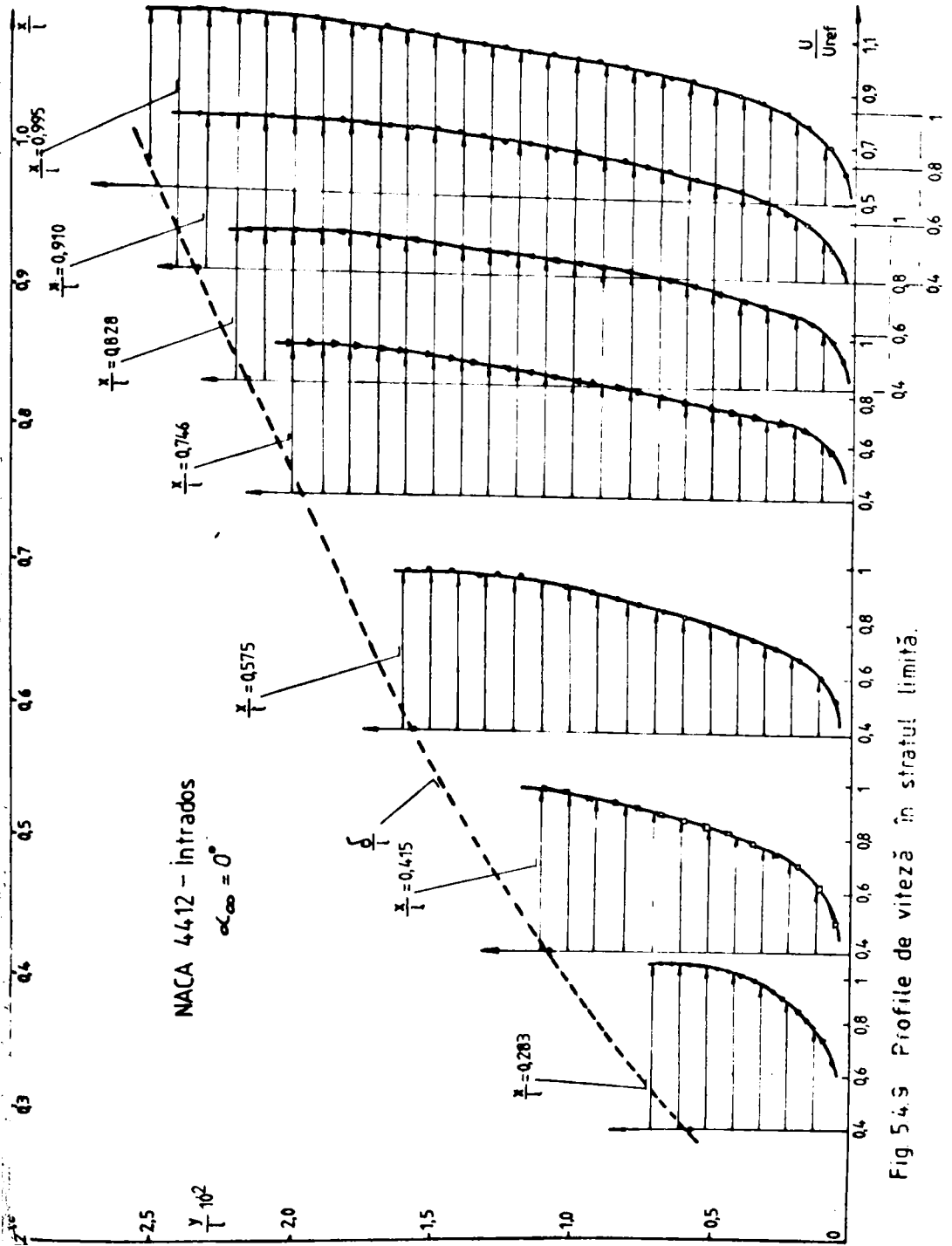


Fig 54.9 Profile de viteză în stratul limită.

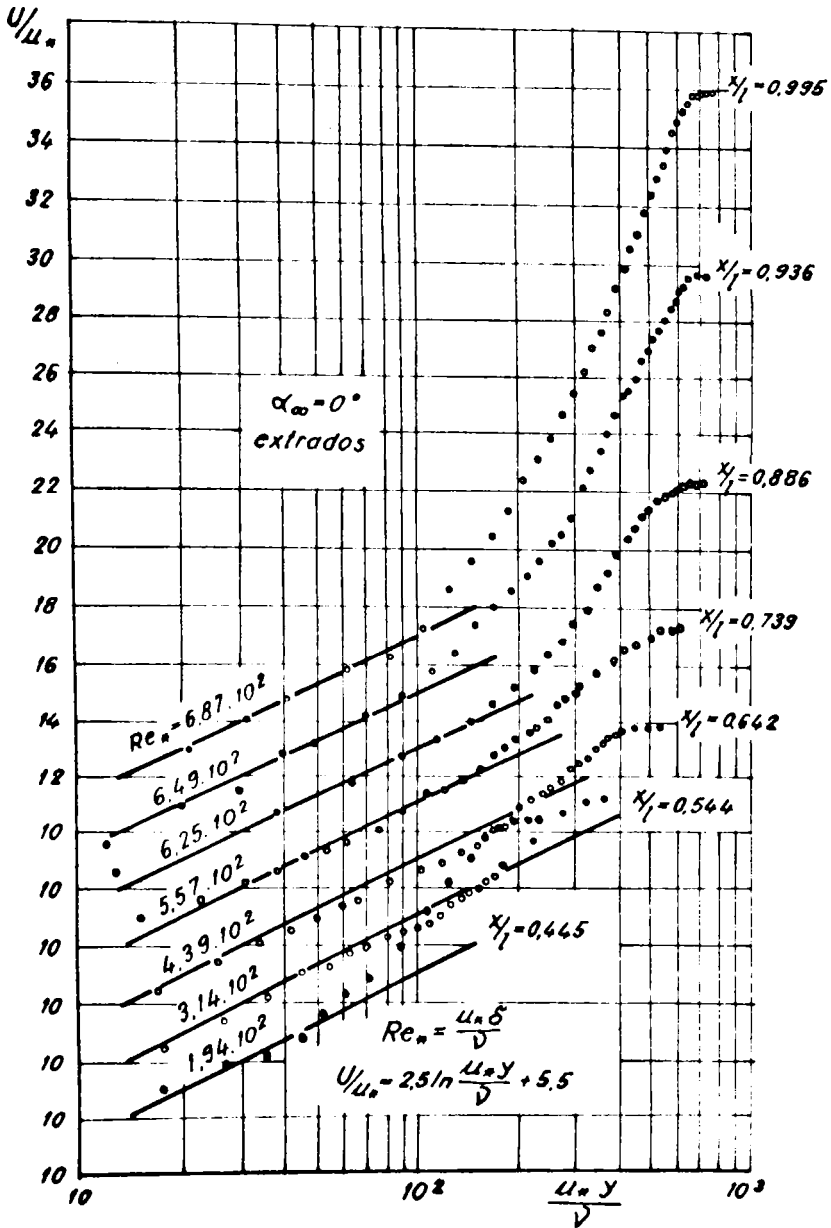


Fig.5.4.10. Reprezentarea semilogaritmică a profilelor de viteză medie în stratul limită pe extrados

dientul de presiune este slab, regiunea de perete se menține aproximativ în aceleași limite.

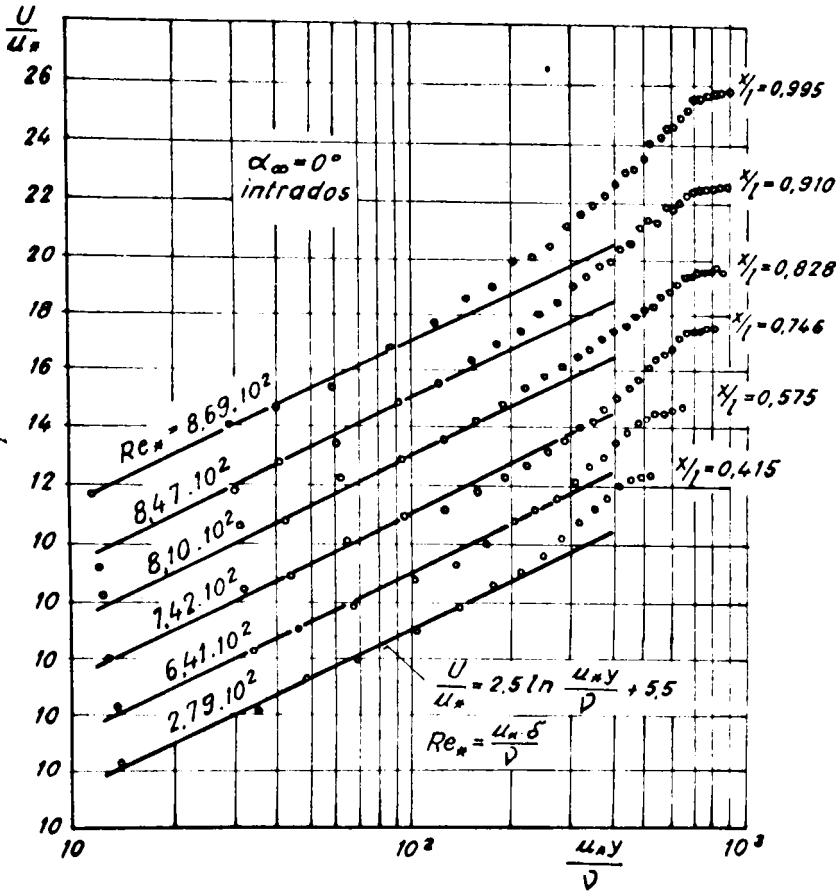


Fig.5.4.11 Reprezentarea semilogaritmică a profilurilor de viteză medie în stratul limită pe intradós

Variația coeficientului de frecare locală C_f în stratul limita turbulent este reprezentată în fig.5.4.12, comparativ cu valorile calculate cu metoda Head /27,39/. Calculele au fost efectuate luind în punctul de start valori obținute experimental. Așa cum rezultă din fig.5.4.12 a, pe extradós există o corelare mai slabă între teorie și experiment. Cauza abaterilor existente în apropierea punctului de start poate fi explicată în poziția acestuia care, în cazul de față, se afla în zona de tranziție și este posibil ca stratul limită să nu fie complet turbulent. Pe intradós (fig.5.4.12 b), unde stratul limită este sigur turbulent, concordanța teorie-expe-

riment este foarte bună.

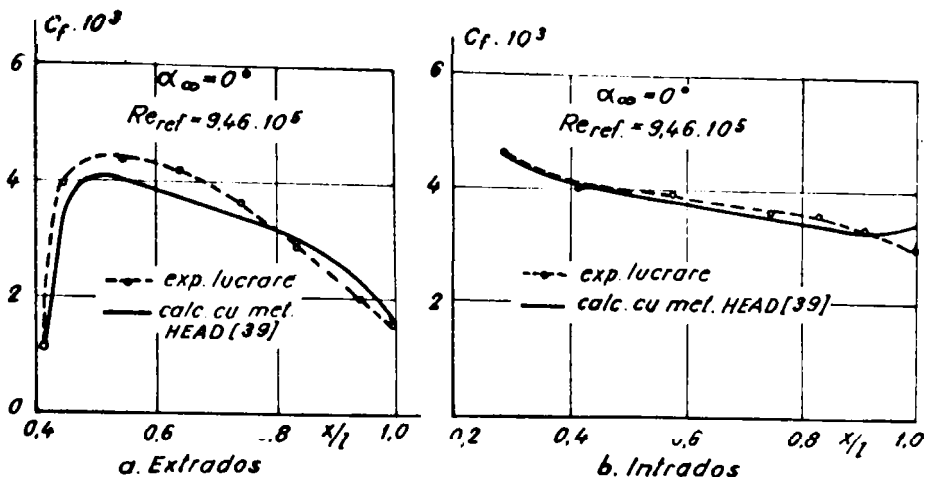


Fig.5.4.12 Variația coeficientului de frecare în stratul limita turbulent

5.4.5 Mărimile globale ale stratului limita

Profilele de viteză medie au fost integrate în stratul limită sub forma mărimilor cunoscute ; grosimea de eliminare δ_1 (relația (1.3.1)), grosimea pierderii de impuls δ_2 (relația (1.3.2)) și parametrul de formă al profilului vitezei $H_{12} = \delta_1 / \delta_2$. Variația acestor parametri este dată în fig.5.4.13. Comparativ în această figură s-au reprezentat parametri calculați cu metodele din secț.3.2. Calculele au fost efectuate în două moduri ;

- primul, în care s-a calculat numai stratul limită turbulent cu metoda Head /27,39/, în punctul de start fiind considerate valori obținute experimental, și

- al doilea, în care stratul limită s-a calculat în totalitate; laminar cu metoda Thwaites /27,79/, turbulent cu metoda Head /27,39/. Pentru stabilirea punctului de tranziție s-a folosit criteriul lui Van Driest și Blumer /106/, cu valoarea turbulenței în curgerea exterioră $\sqrt{u^*}/U = 1\%$ obținută experimental.

Analiza rezultatelor arată, în general, o concordanță satisfăcătoare între teorie și experiment. O corelare bună s-a obținut pentru grosimea de impuls δ_2 , atât pe extrados (fig.5.4.13 a), cât și pe intrados (fig.5.4.13 b). În ambele cazuri parametrul de formă H_{12} calculat (fig.5.4.13 c;d) este superior celui obținut prin măsurători. Aceasta este în concordanță și cu alte comparații întâlnite

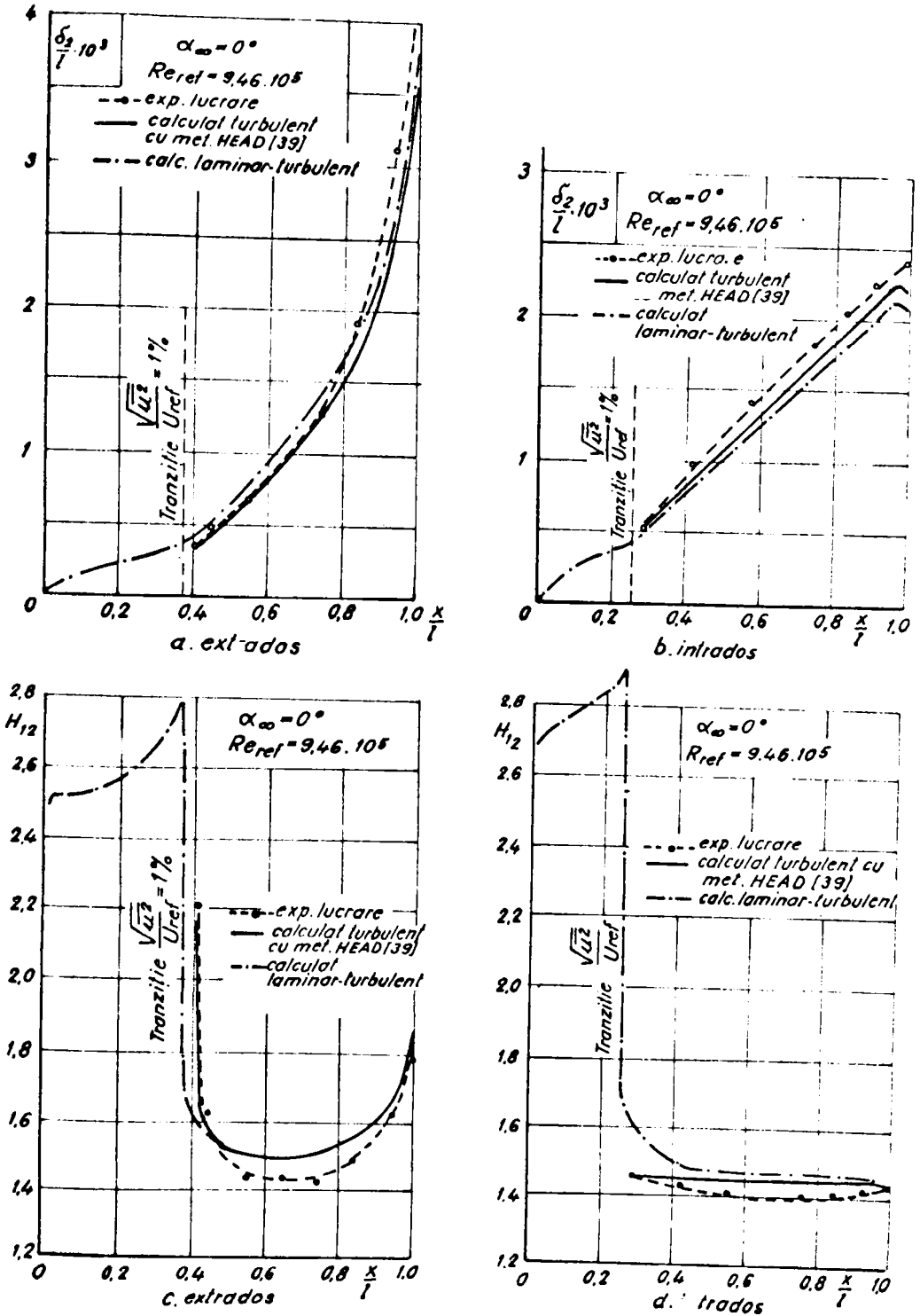


Fig. 5.4.13 Variația parametrilor globali ai stratului limită

în literatură /99/ (sect.3.2, fig.3.2.5). În ceea ce privește punctul de tranziție, rezultă că valoarea calculată, cu criteriul dat de Van Driest și Blumer /106/, se situează în zona de tranziție observată experimental. În această zonă parametrul de formă H_{12} (fig.5.4.13 c) prezintă valori ridicate ($H_{12} \approx 2,2$) caracteristice saltului laminar-turbulent. Comparînd poziția punctului de tranziție cu distribuția de presiuni (fig.5.4.1 e) rezultă că în acest punct presiunea este foarte apropiată de valoarea minimă. Aceasta confirmă rezultatele întîlnite în literatură /88/ prin care tranziția este asociată punctului de presiune minimă. La numere Reynolds $Re_\infty = 10^6 - 10^7$ și gradienti de presiune relativ soăzuți tranziția are loc la distanță mică de acest punct ceea ce este în concordanță cu rezultatele din lucrare.

Parametrii σ_2 și H_{12} au fost folosiți să verifice relația (2.4.17), dată de Ludwig și Tillmann /54/, la calculul coeficientului de frecare local C_f . Si în acest caz s-a obținut o corespondență bună, abaterile fiind sub 5 % în raport cu valorile obținute din măsurători.

5.4.6 Profile ale fluctuațiilor de viteză în stratul limită

Rezultatele primare ale eforturilor Reynolds, obținute prin măsurători, sînt date în fig.5.4.14, în care sînt reprezentate componentele normale $\overline{u^2}$ și $\overline{v^2}$ și fig.5.4.15, în care sînt reprezentate eforturile de frecare $-\overline{uv}$. Ele sînt rezultatul medierii analoge ale semnalelor fluctuante liniarizate, raportate la viteza de referință U_{ref} , obținute de la termoanemometrul cu fir încălzit (sist. din fig.5.3.7 și 5.3.9). În fig.5.4.15 prin semicercuri la $y/l = 0$ sînt reprezentate valorile $(u_* / U_{ref})^2$, unde u_* este determinat din fig.5.4.10 - 5.4.11. Extinderea valorilor $-\overline{uv} / U_{ref}^2$ spre suprafața profilului arată o bună corespondență cu valorile la perete.

Distribuțiile $\overline{u^2}$, $\overline{v^2}$ și $-\overline{uv}$ în stratul limită arată tendințele acestora, bine acceptate /59/, în gradienti de presiune pozitivi, moderați sau slabi. Eforturile Reynolds cresc cu distanța y/l pînă la o valoare maximă. Punctul corespunzător acestei valori este situat la distanță de perete. Pentru a analiza variația acestor eforturi în lungul suprafeței profilului, în fig.5.4.16 este dată variația gradientului de presiune, reprezentat prin parametrul lui Clauser /30/ $\pi = (\sigma_1 / \sigma_0) dp/dx$. Pe extradados, în regiunea $0,739 < x/l < 1$, π prezintă o variație accentuată și drept urmare intensitățile longitudinale $\overline{u^2}$ cresc cu π , în timp ce intensitățile transversale $\overline{v^2}$ se mențin în jurul aceluiași valori. Distanța de la perete, asociată valorilor maxime, de asemenea, crește cu π . Pe intrados, unde π se menține aproape constant, atît $\overline{u^2}$ cît și $\overline{v^2}$ variază slab în lungul suprafeței, valorile maxime fiind situate apro-

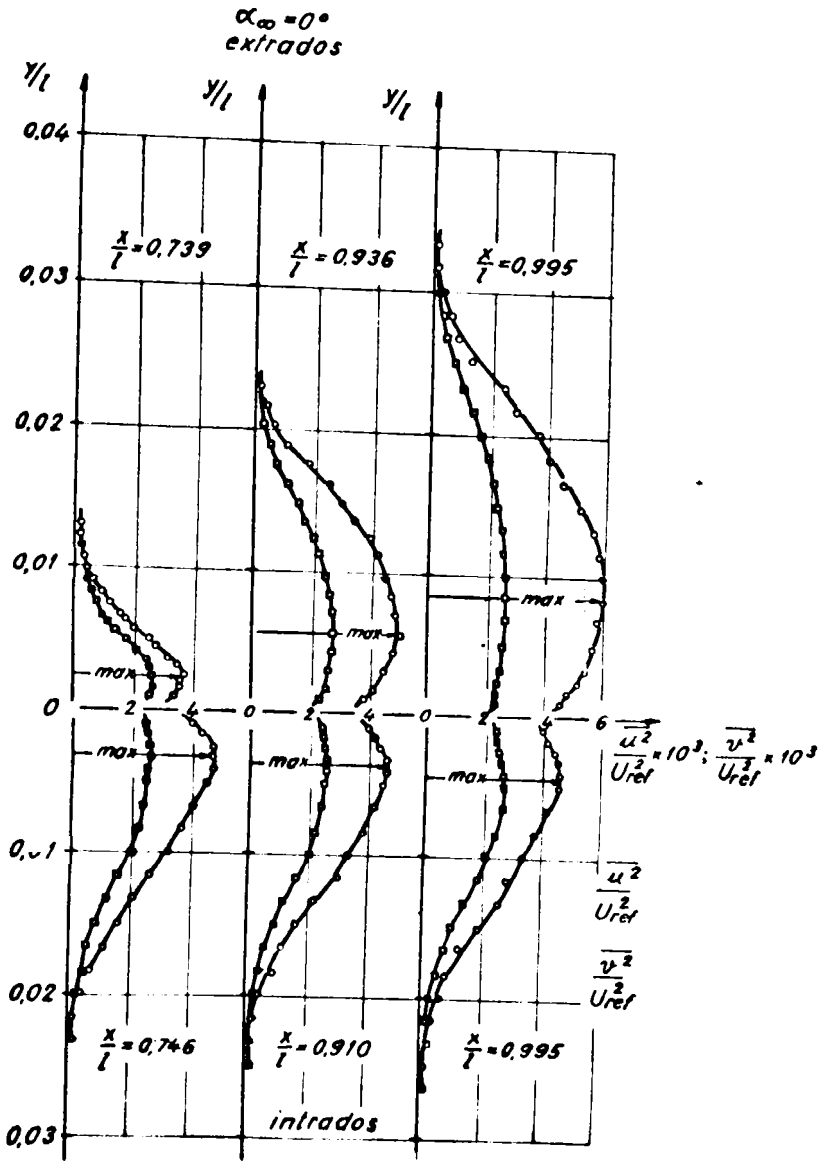


Fig 5.4.14 Profile ale fluctuațiilor de viteză în stratul limită

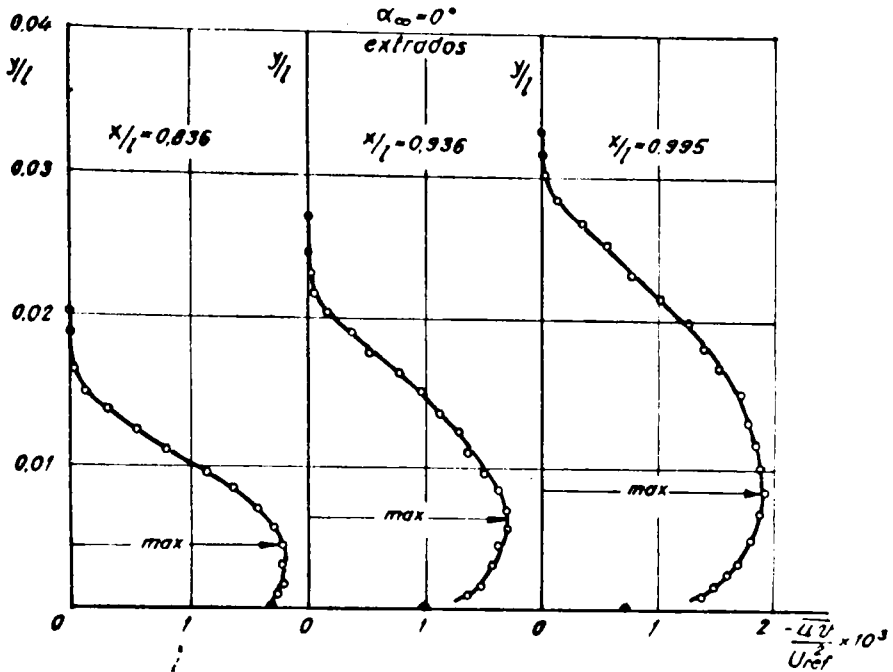


Fig.5.4.15 Profilele ale eforturilor de frecare în stratul limită

ximativ la aceeași distanță de perete. Regiunea intradosului ($\pi \approx \text{const}$) confirmă ipoteza similitudinii locale (sect.2.4) adică, pentru $\pi = \text{const}$ stratul limită turbulent se găsește în "cvasiechilibru", iar profilele de viteză sînt asemenea. Aceasta poate fi observată din fig.5.4.9, cît și din fig.5.4.8 în regiunea $0,544 \leq x/l \leq 0,739$ pe extrados, pentru care, de asemenea, $\pi \approx \text{const}$. Dacă ipoteza similitudinii locale este valabilă pentru profilul vitezei în stratul limită, este necesar să vedem dacă aceasta este valabilă și pentru cantitățile fluctuante. În acest scop, în fig.5.4.17 - 5.4.18 s-a reprezentat variația în stratul limită a energiei cinetice datorită turbulenței $\overline{q^2}$ raportată la viteza de frecare la perete u_*^2 , unde

$$\overline{q^2} = \frac{1}{2} (\overline{u^2} + \overline{v^2}) \quad (5.4.7)$$

în care componenta normală $\overline{w^2}$ nu a fost luată în considerare, deoarece în stratul limită este comparativ inferioară celorlalte componente /28,59/. Reprezentarea s-a făcut într-o scară semilo-

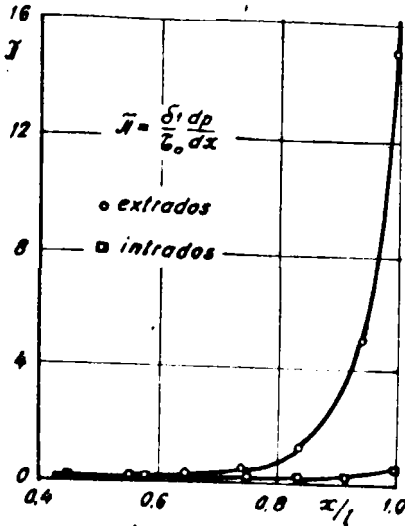


Fig.5.4.16 Variația parametru-
lui $\bar{\kappa}$ pe profil

(fig.5.4.10-5.4.11). După cum se observă din fig.5.4.17, pe extrados apar diferențe mari între profilele turbulenței. Aceasta porțiune corespunde unei variații mai accentuate a lui $\bar{\kappa}$ (fig.5.4.16). Valorile $\bar{\kappa}^2 / u_*^2$ cresc cu $\bar{\kappa}$ și, în mod asemănător, se modifică poziția valorilor maxime față de perete. În contrast, pe intrados (fig.5.4.18), unde $\bar{\kappa}$ variază foarte slab, profilele sînt foarte apropiate. Este, deci, posibil ca la $\bar{\kappa}$ riguros constant să apară o suprapunere a profilelor turbulenței și, prin urmare, ipoteza similitudinii locale să fie satisfăcută în acest caz. Din nefericire nu dispunem de date

experimentale care să poată verifica sau infirma aceasta.

5.4.7 Corelații între mărimile curgerii medii și cantitățile fluctuante

Așa cum am arătat în secțiunea 5.4.6, mărimea gradientului de presiune, indicat prin parametrul lui Clauser $\bar{\kappa}$, este responsabilă de gradienti mari, în raport cu distanța y , ale eforturilor Reynolds. Pe extrados, în apropierea bordului de fugă $x/l \approx 0,936$ unde $\bar{\kappa}$ crește puternic, deviația vitezei de la legea logaritmică uzuală este mare (fig.5.4.10). De asemenea, eforturile de frecare $(-\overline{uv})$ (fig.5.4.15) prezintă variații mari cu distanța de la perete. Valoarea maximă $(-\overline{uv})_{\max}$ depășește valoarea la perete u_*^2 (în regiunea $x/l \approx 0,936$, $(-\overline{uv})_{\max} > 1,5 u_*^2$). Aceasta sugerează că, în această regiune, profilele de viteză medie (fig. 5.4.8) pot fi descrise prin profilul universal de viteză propus de Perry și Schofield /59,129/ pentru straturi limită în gradienti de presiune, moderati la foarte mari, în care $(-\overline{uv})_{\max} \gg 1,5 u_*^2$. Scara de viteză U_s și scara de lungime Δ , pentru regiunea exterioră și regiunea dominantă dintre straturile interioare și exterioare, sînt date prin

$$U_s = 8 \left(\frac{\Delta}{l} \right)^{\frac{1}{2}} U_M \quad (5.4.8)$$

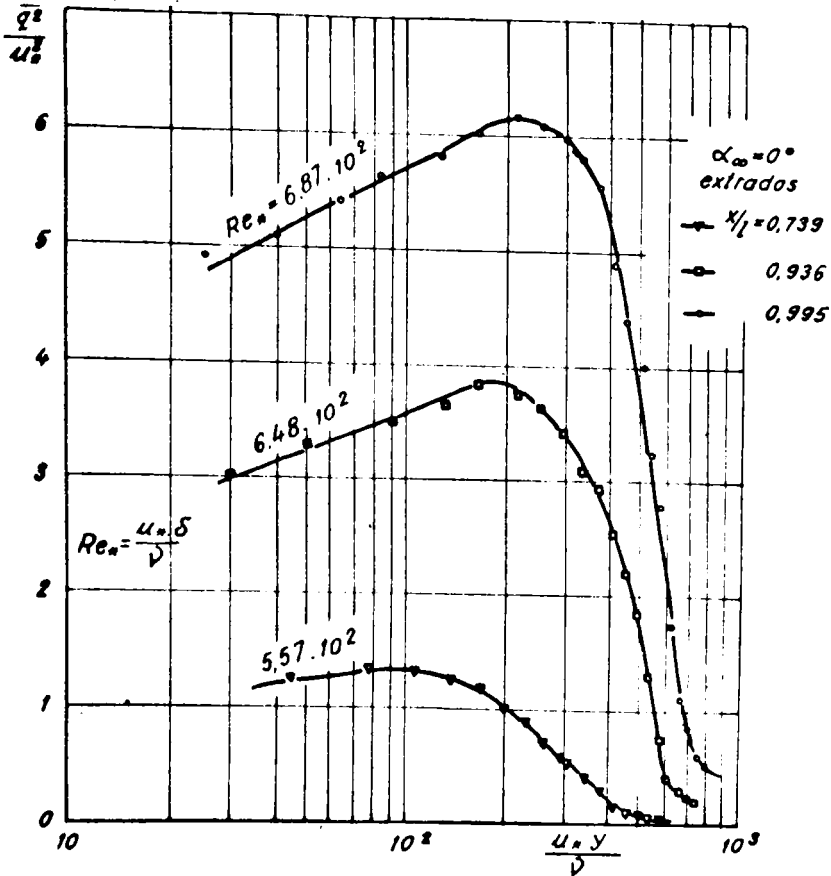


Fig.5.4.17 Reprezentarea semilogaritmică a profilurilor de energie cinetică a turbulenței pe extrados

$$\Delta = 2,86 \delta_1 \frac{U_e}{U_s} \quad (5.4.9)$$

unde $U_M = (-\overline{uv})_{\max}$, L este distanța y de la perete asociată valorii maxime $(-\overline{uv})_{\max}$, iar U_0 este viteza medie la marginea stratului limită.

Reprezentarea profilurilor de viteză sub forma propusă de Perry și Schofield

$$\frac{U_0 - U}{U_s} = f\left(\frac{y}{\Delta}\right) \quad (5.4.10)$$

este dată în fig.5.4.19. Se observă în această figură că pentru $x/l \gg 0,936$ măsurătorile efectuate în lucrare, se încadrează foarte bine în limitele de variație a datelor utilizate de Perry

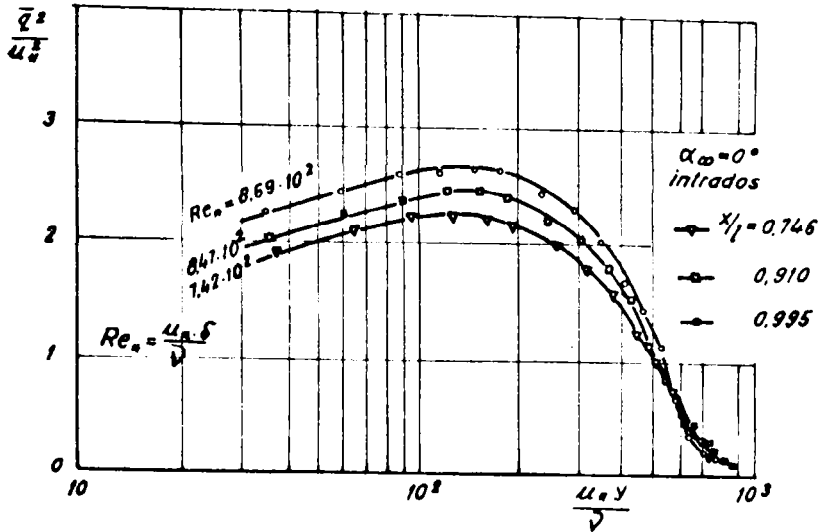


Fig.5.4.18 Reprezentarea semilogaritmică a profilurilor de energie cinetică a turbulenței pe intrados

și Schofield (după /59/). Aceasta dovedește, încă o dată, corectitudinea măsurătorilor. La $x/l = 0,836$ datele tind să se abată de la profilul universal, însă aici $u_*^2 < (-\overline{uv})_{\max} < 1,5 u_*^2$ ceea ce nu mai corespunde cu condiția de mai sus.

Considerând variația energiei cinetice datorita turbulenței în stratul limită (fig.5.4.17) se constată că valorile maxime $\overline{q^2}_{\max} / u_*^2$ pe suprafața profilului (fig.5.4.20) se află într-o bună concordanță cu datele experimentale ale lui Nakayama /59/, prelucrate în mod corespunzător. Măsurătorile lui Nakayama au fost efectuate asupra unui profil "convențional", de grosime maximă relativă $d/l = 10\%$, la un număr Reynolds $Re_{ref} = 1,2 \cdot 10^6$. O analiză a distribuțiilor de presiuni, respectiv de viteză (fig.5.4.1 c,d) ale profilului NACA 4412 în comparație cu cele ale profilului "convențional" /59/ a putut stabili o asociere între variația acestora și variația turbulenței maxime (fig.5.4.20). Aceasta a sugerat ideea de a realiza o corelație între energie cinetică a turbulenței maxime și viteza medie pe profil. În fig.5.4.21 este prezentată o astfel de corelație în care

$$C_{\max} = \frac{\overline{q^2}_{\max}}{U_{ref}^2} \left(\frac{U}{U_{ref}} \right)^2 \quad (5.4.11)$$

unde U/U_{ref} este viteza adimensională pe profil (fig.5.4.1 d).

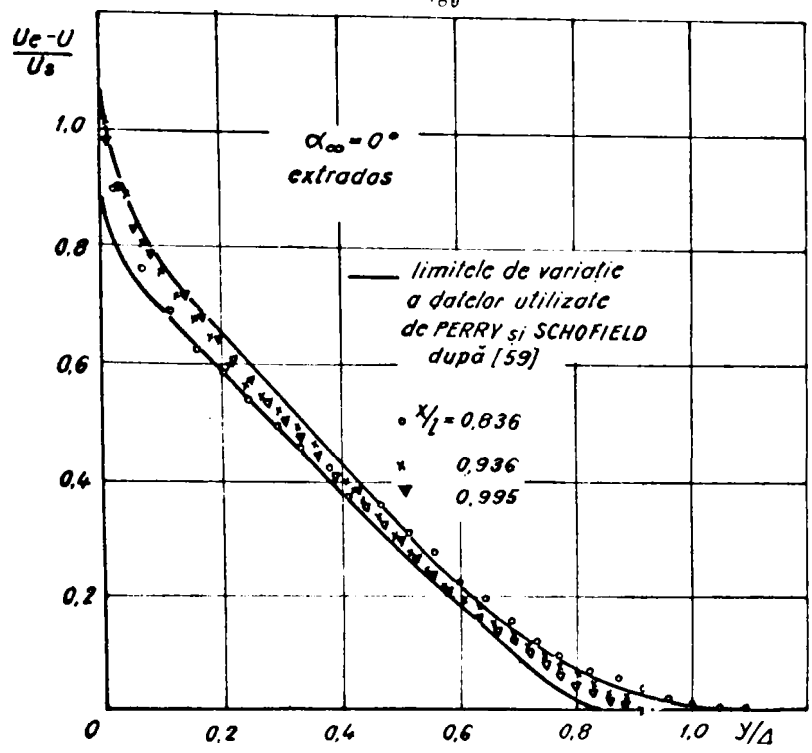


Fig.5.4.19. Comparații între profilele de viteză medie din stratul limită cu profilele Perry-Schofield

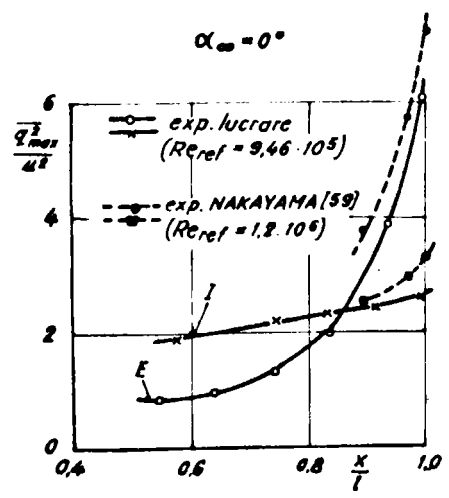


Fig.5.4.20. Variația energiei cinetice maxime a turbulenței pe profil

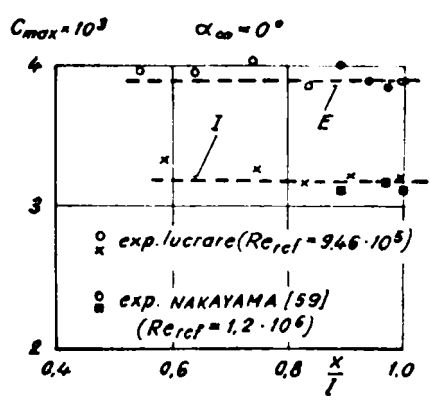


Fig.5.4.21. Corelarea energiei cinetice maxime a turbulenței cu viteza la marginea stratului limită

Rezultatele arată că, în această formă, coeficientul $C_{t \max}$ se menține aproximativ constant, cu valori diferite pe extrados și intrados, și este într-o deplină concordanță cu datele lui Nakayama /59/. Un rezultat identic se obține dacă în locul relației (5.4.11) se ia

$$C_{t \max} = \frac{\overline{q_{t \max}^2}}{U_{\tau}^2} \left(\frac{U}{U_{\text{ref}}} \right)^2 \quad (5.4.12)$$

denumit în lucrare "coeficientul turbulenței maxime pe profil", în

oare $U_{\tau} = U_{\text{ref}} \sqrt{C_{fr}/2}$ reprezintă o viteză medie de frecare a profilului, calculată din coeficientul total de frecare C_{fr} (fig.5.4.6). În fig.5.4.22 se observă că valorile lui $C_{t \max}$ pe extrados și intrados pot fi înlocuite, cu o bună aproximație, prin valoarea medie $C_{t \max} \approx 1,05$. Lipsa unor date (valoarea lui C_{fr}) face imposibilă verificarea rezultatelor, obținute în lucrare, cu date experimentale cunoscute din literatură. Oricum, este de așteptat ca valorile lui $C_{t \max}$

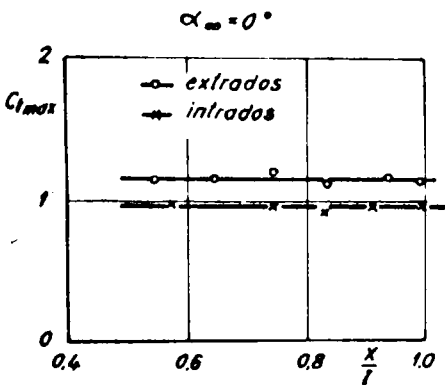


Fig.5.4.22 Variația coeficientului de turbulență maximă pe profil

să fie influențate de numărul Reynolds deoarece turbulența este dependentă de acesta.

5.4.8 Asupra calculului pulsațiilor de presiune pe suprafața profilului

Problema determinării pulsațiilor de presiune la perete, de un mare interes în practică /118/, a fost obiectul a numeroase cercetări /119,120,124,125,128,130/, însă pînă în prezent fără prea mult succes. În curgeri turbulente incompresibile legătura între pulsațiile de presiune p și fluctuațiile de viteză este dată de ecuația lui Poisson /118,128/

$$\frac{\partial^2 p}{\partial x_i^2} = -\rho \sigma \quad (5.4.13)$$

unde termenul sursă σ este reprezentat în notație tensorială prin

$$\sigma = 2 \frac{\partial u_i}{\partial x_j} \frac{\partial u_j}{\partial x_i} + \frac{\partial^2}{\partial x_i \partial x_j} (u_i u_j - \overline{u_i u_j}) \quad (5.4.14)$$

care reprezintă o legătură complexă între componentele vitezei me-

dii și componentele vitezelor fluctuante în direcția x_i . Soluționarea ecuației (5.4.13) devine aproape imposibilă, chiar în cazuri mult simplificate. În cazul mișcării omogene și izotrope primul termen din (5.4.14) dispare, iar eforturile Reynolds $\overline{u_i u_j}$ sînt nule dacă $i \neq j$. Beatchelor /119/, Uberoi /130/ și Kraichnan /125/ au calculat pulsația de presiune în funcție de fluctuația de viteză, obținînd

$$\left[\overline{p^2} \right]^{\frac{1}{2}} = a \varphi U^2 \quad (5.4.15)$$

în care, din calcule, $a = 0,6 - 0,7$. Lipsa unor măsurători face ca valorile experimentale a lui a să fie necunoscute. Totuși, sînt disponibile rezultate experimentale ale valorilor lui $\overline{p^2}$, măsurate la perete /131/, raportate la efortul de frecare ζ_0 la perete. Astfel

$$\left[\overline{p^2} \right]_0^{\frac{1}{2}} = b \zeta_0 \quad (5.4.16)$$

unde $b = 2,2 + 2,8$ /118, 123, 131/.

În cazul turbulenței anizotrope, pulsațiile de presiune cresc cu grosimea stratului limită. Simpson și alții /129/ prezintă următoarea relație

$$\frac{\overline{p^2}}{\zeta_0^2} = 0,52 \alpha^{0,9} \left(\ln \frac{u_* \delta}{\nu} + 9,24 \right) \quad (5.4.17)$$

care corelează calculele lui Panton și Linebarger /127/ pentru o curgere fără gradient de presiune, cu $\alpha = 1; 2$ și 3 și valoarea parametrului Π al lui Coles /31/ (secț. 2.4 b) de $\Pi = 0,6$ (cazul plăcii plane). Aici, α este raportul scării de lungime în direcția curgerii la scările de lungime în celelalte direcții, care influențează puternic corelația spațială a lui v . În termeni ai numărului Reynolds, format cu grosimea de deplasare δ_1 , după Coles și Hirst /129/

$$\frac{u_* \delta}{\nu} = \frac{k}{1 + \Pi} \left(\frac{u_e \delta_1}{\nu} - 65 \right) \quad (5.4.18)$$

unde $k = 0,41$. Parametrul Π poate fi calculat din următoarea relație /121/

$$\frac{\delta_1}{\delta} = \frac{1}{k} \frac{u_*}{u_e} \left(\frac{11}{12} + \Pi \right) \quad (5.4.19)$$

O analiză a rezultatelor, teoretice și experimentale prezentate în /129/ (Table 1) arată că valorile $\overline{p^2} / \zeta_0^2$ calculate de Panton și Linebarger /127/ pentru $\Pi = 1,5; 3; 6$ și $\alpha = 1,2$ nu sînt verificate de relațiile (5.4.17) și (5.4.18), în schimb unele

rezultate experimentale (tabelul 1), pentru care α nu este disponibil, sînt într-o bună corespondență cu aceste relații numai dacă $\alpha \approx 2$. Considerînd prin α raportul

$$\alpha = \frac{l}{L_c} \quad (5.4.20)$$

în care l = lungimea peretelui canalului și L_c = lățimea canalului, raport care, evident, influențează componenta normală la perete v^2 , atunci valoarea $\alpha \approx 2$ poate fi plauzibilă. Aceasta a sugerat ideea ca, pe baza măsurătorilor efectuate în lucrare, să se calculeze pulsațiile de presiune pe profilul NACA 4412. În acest scop, profilul a fost asimilat cu o placă pentru care rezultă $\alpha = 2$. Rezultatele obținute din măsurători și calculate cu relațiile (5.4.17) - (5.4.19) sînt date în tabelul 1. Din acest tabel se constată că valorile $\overline{p^2}/\overline{v_0^2}$ prezintă o apropiere satisfăcătoare cu datele experimentale obținute pentru straturi limită în echilibru, neechilibru și respectiv pe profil. De asemenea, se observă că $\overline{p^2}/\overline{v_0^2}$ variază foarte slab în lungul suprafeței profilului, însă avînd în vedere că $\overline{v_0}$ scade înspre bordul de fugă (îndeosebi pe extrados) rezultă că și pulsațiile de presiune $\overline{p^2}$ vor scădea. Energia cinetică datorită turbulenței, fig.5.4.17 - 5.4.18, crește cu X/l , ceea ce nu exclude o legătură, asemănătoare curgerii medii, între fluctuațiile de presiune și cele de viteză. Edificațiile în acest sens ar putea fi și rescalarea pulsațiilor de presiune în raport cu efortul maxim de frecare în stratul limită

$\overline{v_M} = \overline{\rho U_M^2} = \overline{\rho (-\overline{U^2})_{\max}}$. Tabelul 1 arată că, pe extrados, valorile $\overline{p^2}/\overline{v_M^2}$ scad mult în apropierea bordului de fugă. Această corespunde unei creșteri a parametrului de formă H_{12} , respectiv a efortului de frecare $(-\overline{U^2})_{\max}$, și este într-o deplină concordanță cu concluziile lui Simpson și alții /129/. Valoarea $\overline{p^2}/\overline{v_M^2}$ obținută la bordul de fugă este în corespondență bună cu date experimentale obținute la valori apropiate ale lui H_{12} , însă la $X/l = 0,836$, unde $H_{12} = 1,4$, valoarea $\overline{p^2}/\overline{v_M^2}$ se abate mult față de experiment. O cauză a acestor abateri ar putea fi, în acest caz, diferențele mult mai semnificative ale numerelor Reynolds Re_{d_1} .

În secț.5.4.7 a fost analizată curgerea în regiunea exterioră a stratului limită și a rezultat că în apropierea bordului de fugă ($X/l > 0,836$ pe extrados) aceasta verifică profilele universale de viteză propuse de Perry și Schofield /59,129/. Simpson și alții /129/ propun aici o dependență de forma :

Tabelul 1

Autori	$\frac{\Sigma}{I}$	$Re_{\delta 1} = \frac{U_e \cdot \delta_1}{V}$ exp.	$\frac{U_e}{U_e}$ exp.	$\frac{\delta_1}{\delta}$ exp.	$\frac{U_e \cdot \delta}{V}$ exp.	Π din rd. (5.4.19)	$H_{1,2}$ exp.	$\frac{U_e \cdot \delta}{V}$ rel. (5.4.18)	$\frac{U_n}{U_e}$ exp. (5.4.17)	$\frac{P_2}{G_2}$ rel.	$\frac{P_2}{G_n}$	$\frac{[P_2]^{1/2}}{E_0}$ $\frac{[P_2]^{1/2}}{E_0}$ rel. (5.4.16)	α	Obs.
Date exp.	0.544	1097	0.0471	0.165	314	0.515	1.443	279	-	14.55	-	3.813		
	lucrare	1546	0.0458	0.162	439	0.529	1.438	397	-	14.87	-	3.856		
profil	0.739	1896	0.0430	0.146	557	0.478	1.425	508	-	15.10	-	3.886		
	NACA 4412	0.836	3147	0.0381	0.192	625	1.147	1.491	589	0.0391	15.21	13.71	3.90	2
$\alpha_m = 0^\circ$	0.936	5080	0.0316	0.247	649	2.290	1.624	625	0.0419	15.25	4.93	3.905		
	extrados	0.995	6573	0.0278	0.265	687	2.990	1.778	687	0.0460	15.30	1.75	3.910	
= date exp. dupa [129] =														
L/H echilibr	28400	0.0291	0.201	4112	1.92	1.56	3979	0.0546	16.8	1.54	4.099		-	masuratori
SCHLOEMER-neechil.	14600	0.0296	0.199	2172	1.84	1.58	2098	0.0563	18.9	1.44	4.347		-	cu productori
HAHN - profil	48000	0.030	0.133	10827	0.9	1.33	10344	0.038	19.6	7.5	4.427		-	pirotectrici
* valori calculate din relatie (5.4.19), * valori estimate din ec. str. limitate in echilibr [129], * valori estimate din ec. (5.4.22) [129]														
Date exp.	0.415	1719	0.0434	0.210	279	1.069	1.425	255	-	14.43	-	3.799		
lucrare	0.575	1964	0.0441	0.126	641	0.265	1.415	578	-	15.24	-	3.904		
	profil	0.746	2200	0.0424	0.131	742	0.347	1.401	674	-	15.38	-	3.922	2
NACA 4412	0.828	2567	0.0421	0.133	810	0.381	1.413	743	-	15.46	-	3.933		
	$\alpha_m = 0^\circ$	0.910	2843	0.0406	0.136	847	0.458	1.421	762	-	15.51	-	3.938	
intrados	0.995	3344	0.0389	0.138	869	0.541	1.435	800	-	15.53	-	3.941		

$$p \sim \zeta_M \left(\frac{\Delta}{L}\right)^{\frac{1}{2}} \sim \zeta_M \left(\frac{d_1}{L} \frac{U_e}{U_M}\right)^{\frac{1}{3}} \quad (5.4.21)$$

Însă lipsa unor date experimentale suficiente nu a permis stabilirea completă a acesteia. Totuși, se așteaptă ca la $\zeta_M/\zeta_0 < 1,5$ să se obțină o valoare a lui p^2/ζ_M^2 apropiată de 9 care este de ordinul valorii în curgeri fără gradient de presiune. Această observație este în corespondență cu datele lui Hahn (tabelul 1) și cu datele lui Simpson și alții prezentate în /129/ (Table 2). Ținând seama că datele lui Simpson și alții, obținute la un număr Reynolds Re_{d_1} mai mic, sînt mai ridicate decît cele ale lui Hahn, atunci este posibil ca valoarea $p^2/\zeta_M^2 \approx 14$ calculată la $x/L = 0,856$ ($\zeta_M/\zeta_0 < 1,5$) să fie realistă, deoarece Re_{d_1} este mult mai scăzut. O alta remarcă, care trebuie făcută, este că, în datele experimentale (tabelul 1), ζ_M este estimat de Simpson și alții /129/ din relația

$$\frac{\zeta_M}{\rho U_e^2} = \left[\frac{1}{6,55} \left(1 - \frac{1}{H_{12}} \right) \right]^2 \quad (5.4.22)$$

în raport cu care rezultatele obținute prin măsurători, în lucrare, sînt inferioare.

În ceea ce privește relația (5.4.17), valabilă în cazul mișcării omogene și izotrope /130/, din tabelul 1 se observă ca valorile sînt mai mici cu aproximativ 50 % decît cele obținute în curgeri turbulente anizotrope.

5.4.9 Profile ale curgerii medii în dîra

În fig.5.4.23 ($\alpha_\omega = 0^\circ$) și fig.5.4.24 ($\alpha_\omega = 5^\circ$) sînt reprezentate rezultatele măsurătorilor asupra componentelor vitezei medii, U după direcția de curgere și V în direcție transversală. Măsurătorile au fost efectuate cu termoanemometrul cu fir încălzit (sistemul din fig.5.3.7) în diferite secțiuni transversale ale dîrei. Ca axă a dîrei a fost considerată direcția ce trece prin bordul de fugă al profilului paralelă cu axa tunelului. În general, rezultatele arată o dîră puternic dezvoltată în apropierea bordului de fuga care treptat se amortizează în aval, proces în care vitezele se uniformizează. Acest proces nu a fost prins în totalitate datorită camerei de lucru relativ scurtă. La $\alpha_\omega = 0^\circ$ (fig.5.4.23) profilele componente longitudinale prezintă o simetrie apropiată față de o axă care își schimbă poziția în raport cu cea inițială. Cu creșterea incidenței la $\alpha_\omega = 5^\circ$ (fig.5.4.24) profilele devin asimetrice în apropierea bordului de fugă, unde se simte influența îngustării canalului dintre intradosul profilului și peretele late-

ral al tunelului. Treptat în aval, prin procesul de omogenizare, dîra se uniformizează. În general, componentele transversale au valori mult mai mici în comparație cu cele longitudinale, iar profilele sînt mult mai asimetrice.

5.4.10 Profile ale fluctuațiilor de viteză în dîră

Rezultatele măsurătorilor asupra eforturilor Reynolds sînt date în fig.5.4.25 - 5.4.28. Ele sînt rezultatul medierii analoge ale semnalelor fluctuante liniarizate, obținute de la termomometrul cu fir încălzit (sist.din fig.5.3.7 și 5.3.9). În general, turbulența are valori ridicate în dîră, cu valori maxime pînă la 8 - 10 % la $\alpha_\omega = 0^\circ$ (fig.5.4.25 - 5.4.26) și de 11 - 14 % la $\alpha_\omega = 5^\circ$, în timp ce, în curgerea esteroară turbulența se menține constantă în jurul valorii de 1 %. Distribuțiile componente longitudinale $\sqrt{u^2}$ au valori mai ridicate în raport cu cele transversale $\sqrt{v^2}$ și cresc mult cu incidența. Aceasta afectează în măsură mult mai mică componentele transversale care, în general, nu își modifică forma profilului. În ceea ce privește eforturile de frecare $-\overline{uv} / U_{ref}^2$ (fig.5.4.25 ; 5.4.26 și 5.4.28), acestea prezintă o asimetrie pronunțată, cu valori mult mai mari înspre intrados și sînt puternic influențate de incidență. În aval de bordul de fugă profilele se amortizează cu distanța și tind spre o formă simetrică.

5.4.11 Concluzii

Au fost obținute și analiza cîmpurile de presiune și viteză pe suprafața profilului NACA 4412, cîmpurile de viteză și ale eforturilor turbulente în stratul limită și în dîră, într-o curgere incompresibilă la un număr Reynolds, format cu coarda, $Re_{ref} = 9,46 \cdot 10^5$. Rezultatele au dat posibilitatea determinării caracteristicilor profilului, verificarea unor relații frecvent utilizate în teoria stratului limită și a unor metode de calcul folosite în lucrare. Pe baza rezultatelor obținute pot fi conturate următoarele concluzii :

a. Cîmpurile de presiune și viteză se află într-o bună concordanță cu teoria potențială, propusă de Wilkinson /112/, în domeniul de incidențe rîră desprindere (fig.5.4.1). Apariția și dezvoltarea desprinderii cu incidența (fig.5.4.7) determină modificări importante în distribuția presiunilor (fig.5.4.2 - 5.4.3) ceea ce are ca efect creșterea rezistenței la înaintare (fig.5.4.5), în special datorită formei și mai puțin datorită frecării (fig.5.4.7), și micșorarea portanței (fig.5.4.4). Utilizarea teoriei stratului

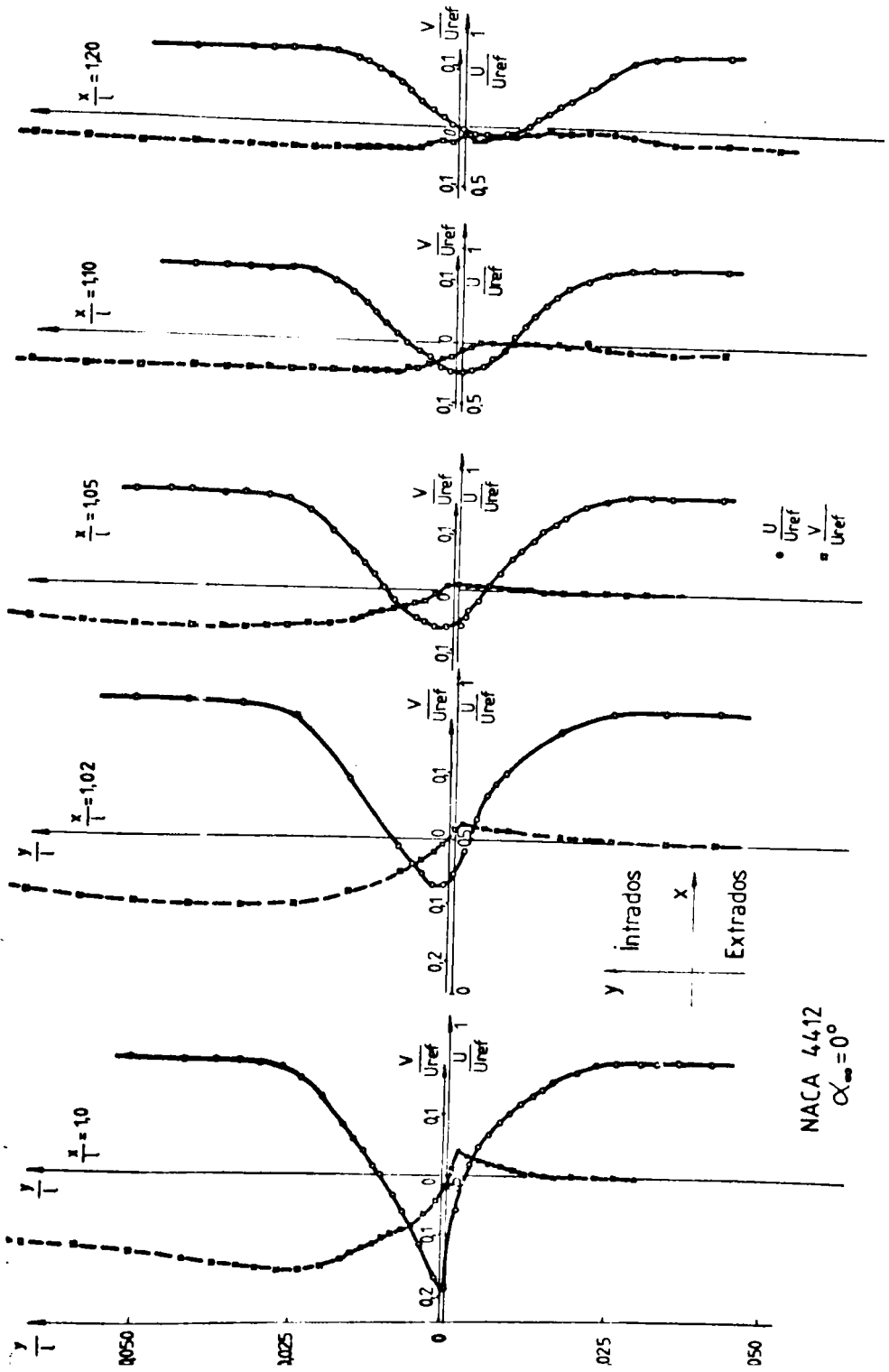


Fig. 5.423 Profile de viteză în dîră.

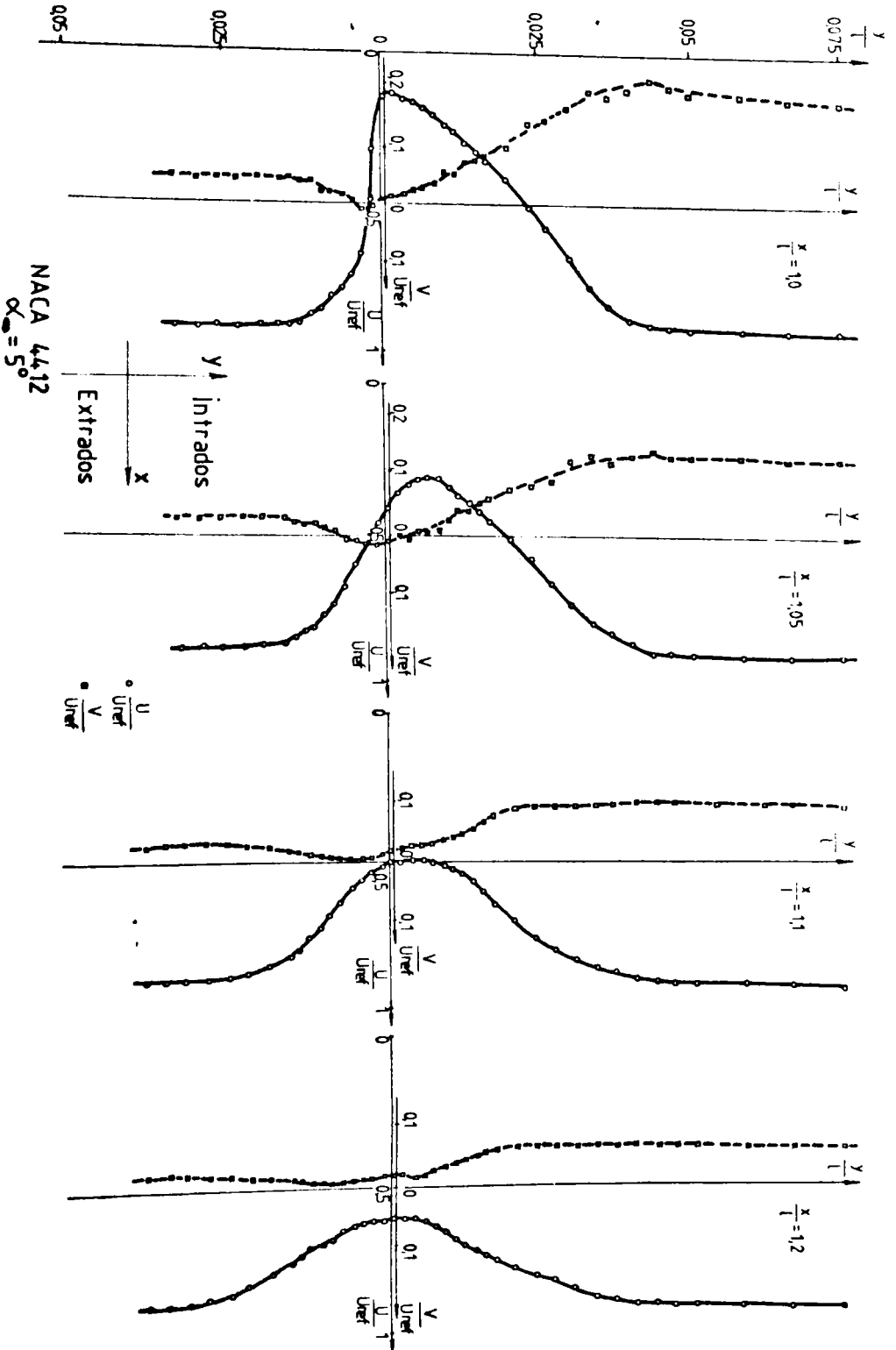


Fig. 5.4.24 Profile de viteză în dîră.

NACA 44.12
 $\alpha_{\infty} = 5^{\circ}$

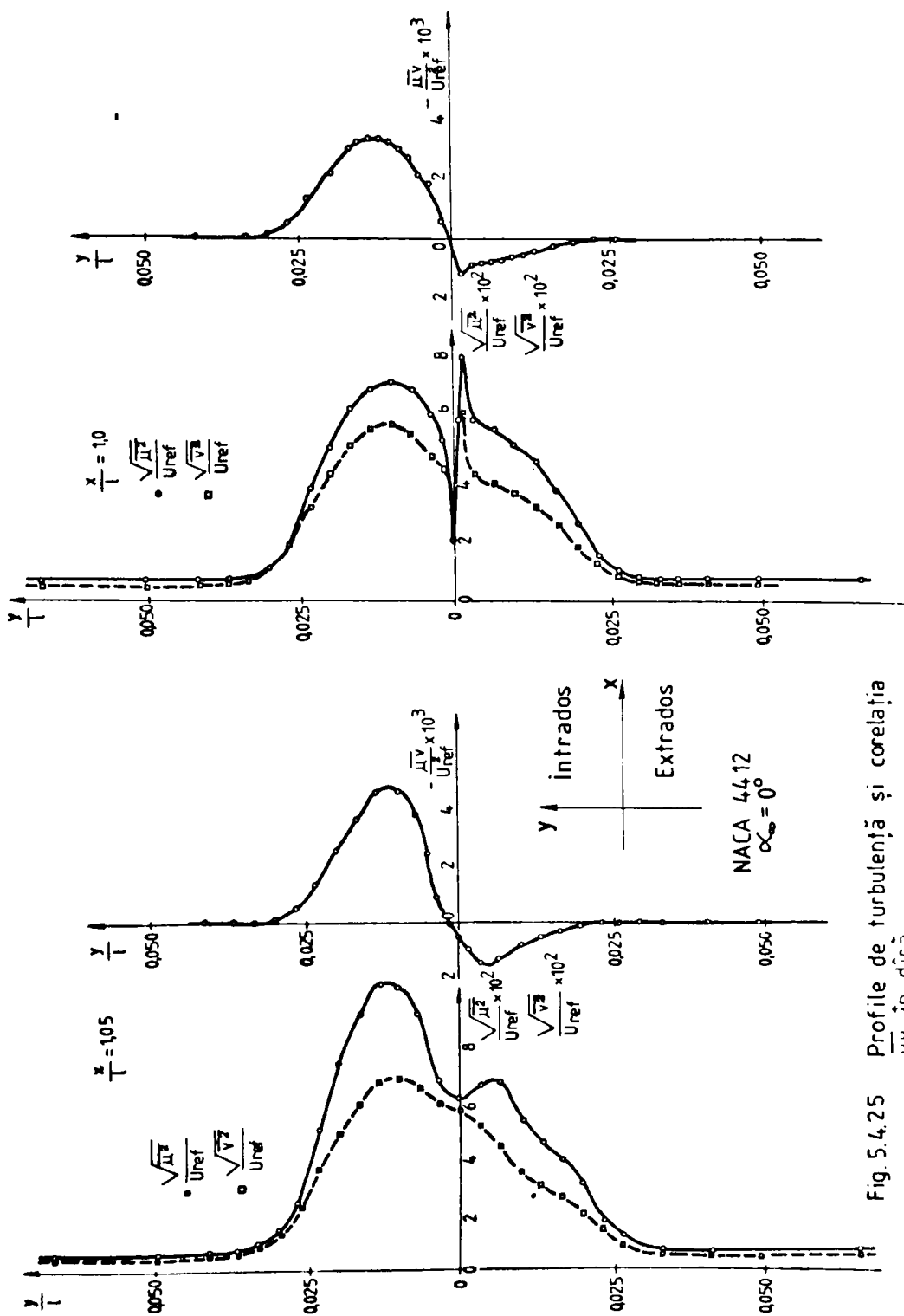


Fig. 5.4.25 Profile de turbulență și corelația -uv în diră.

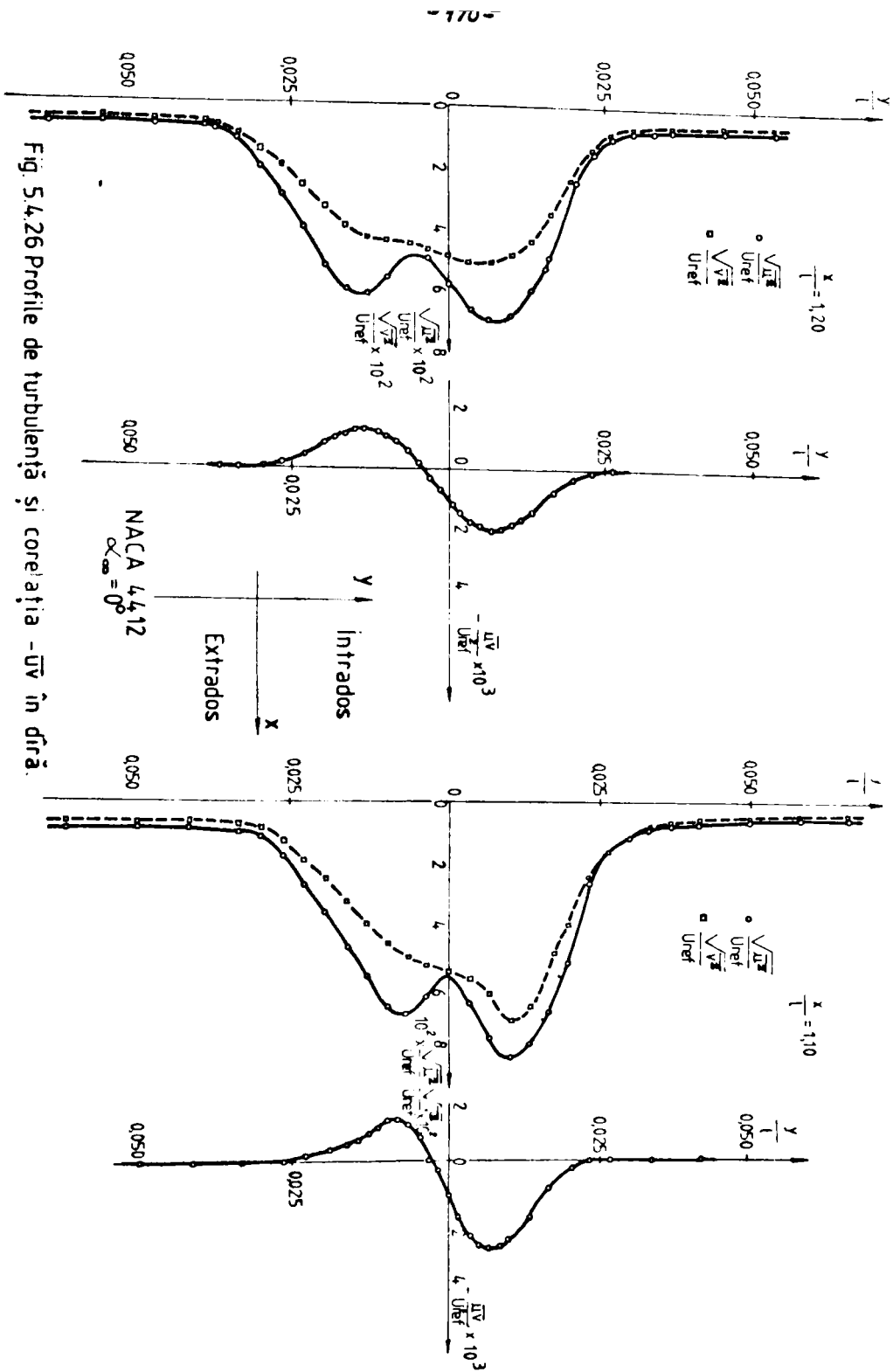


Fig. 5.4.26 Profile de turbulență și corelația $-uv$ în dîră.

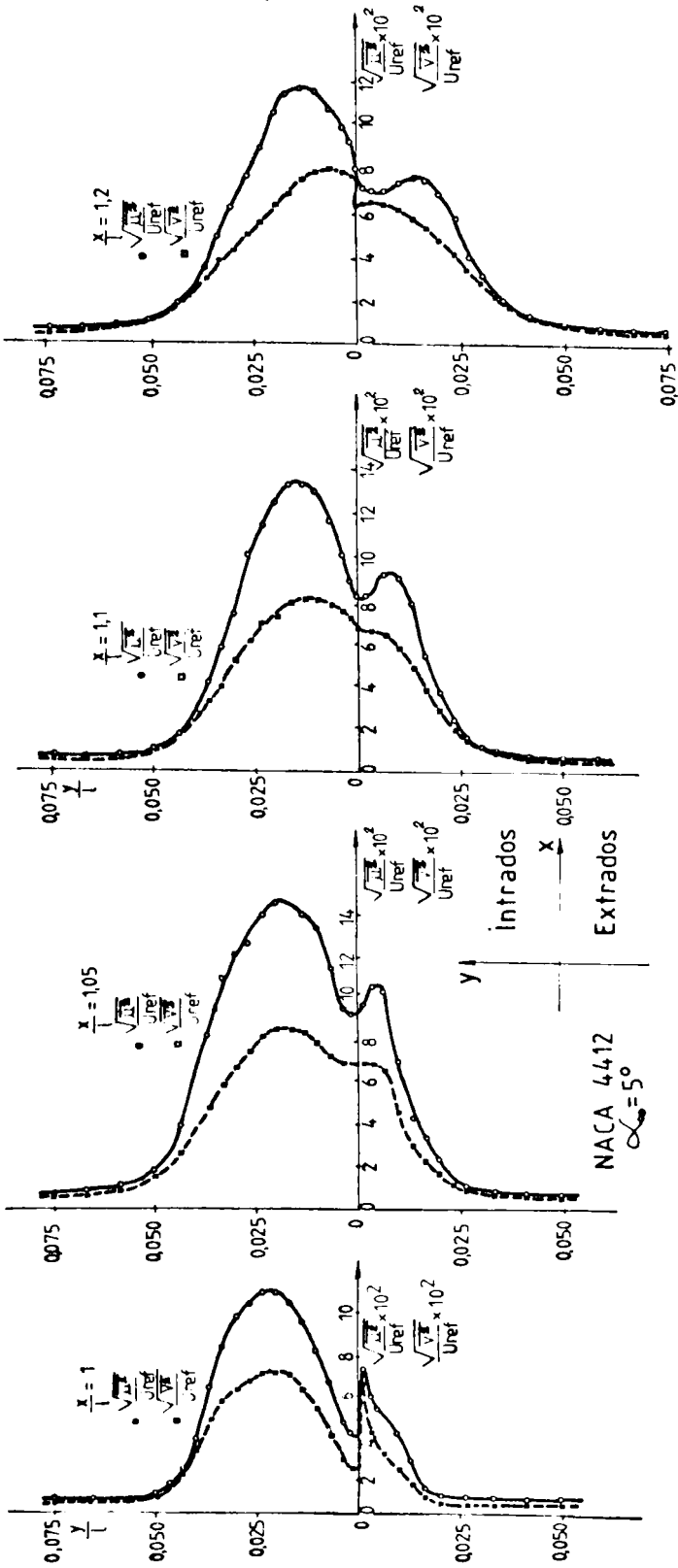


Fig. 5.4.27 Profile de turbulență în diră.

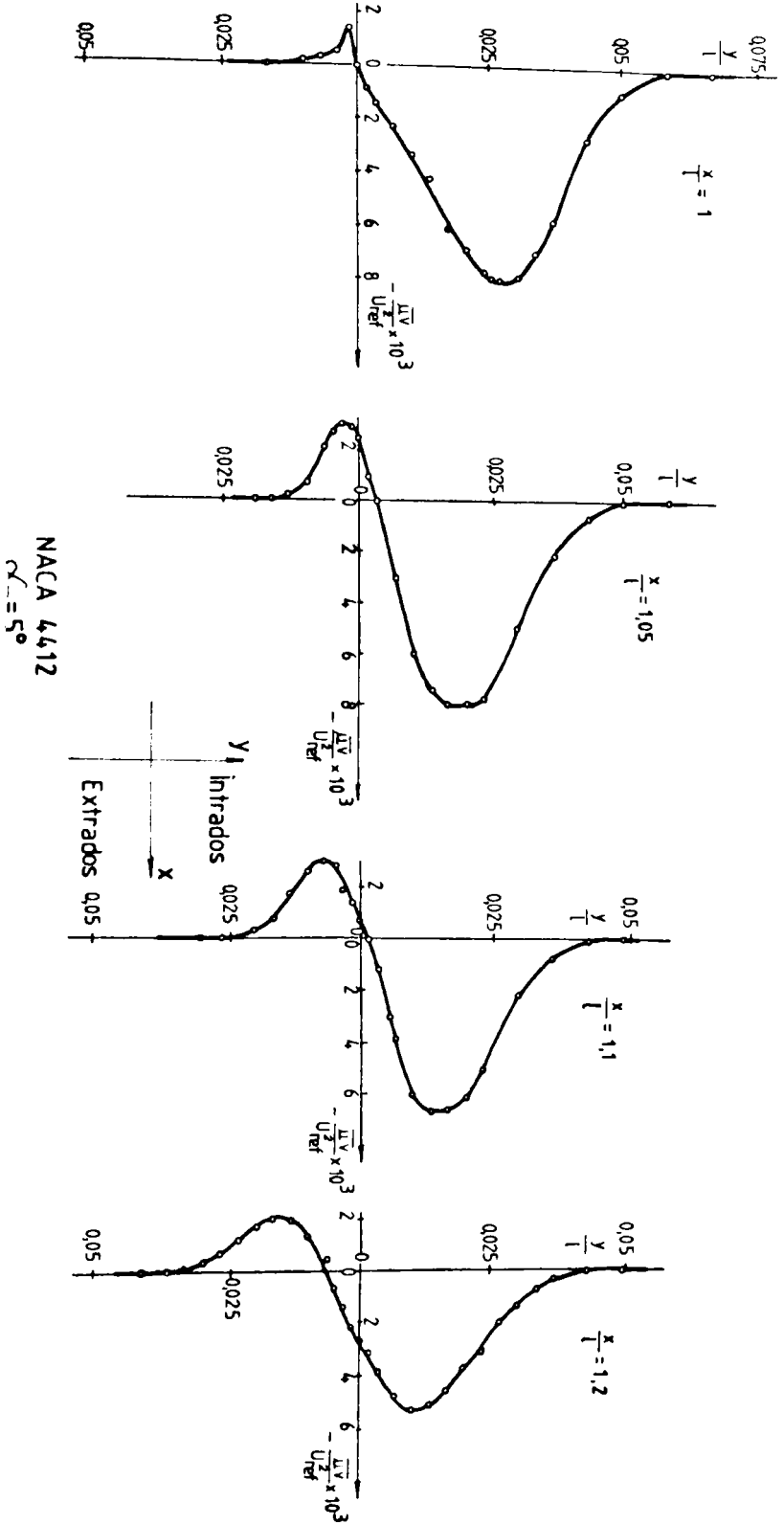


Fig. 5.428 Profile ale corelației $\overline{u'v'}$ în dîră.

limită la calculul acestor caracteristici s-a dovedit un instrument suficient de precis (fig.5.4.4 - 5.4.5) și util aplicațiilor practice. Metodele propuse în cap.3 oferă rezultate într-o corespondență bună cu cele obținute prin metode mai complexe /16,27,29/ (fig.5.4.5), însă care solicită un volum însemnat de timp și calcule.

b. Măsurătorile asupra curgerii medii în stratul limita au fost găsite a fi în raport cu gradientii de presiune pozitivi, indicați prin parametrul π al lui Clauser /30/. Pe porțiunile în care $\pi \approx \text{const.}$ (fig.5.4.16) profilele de viteză medie (fig. 5.4.8 - 5.4.11) au forme asemenea și prin urmare, sînt în corespondență cu ipoteza similitudinii locale. În aceste zone, profilele de viteză verifică pe regiuni mai întinse legea universală a peretelui dată de Prandtl /88,126,128/. În apropierea bîrdului de fugă pe extradados ($0,836 \leq x/l \leq 1$), unde π crește mult, regiunea de perete se îngustează treptat cu creșterea lui π . Aici, profilele de viteză medie sînt în concordanță cu profilele universale propuse de Perry și Schofield /59,129/ (fig.5.4.19). În apropierea punctului de presiune minimă pe extradados ($0,377 < x/l < 0,445$) are loc atît deformarea profilelor de viteză în stratul limită (fig. 5.4.8), cît și îngustarea pronunțată a regiunii de perete (fig. 5.4.10). Această zonă s-a dovedit asociată zonei de tranziție și este în corespondență cu rezultate din literatură /88/.

c. Rezultatele obținute prin prelucrarea globală a măsurătorilor de viteză medie, în forma mărimilor cunoscute ale stratului limită (grosimile δ_1 și δ_2 , parametrul de formă H_{12} și coeficientul de frecare C_f) au stat la baza verificării metodelor de calcul folosite în lucrare (secț.3.2). În urma comparațiilor făcute (fig.5.4.12 - 5.4.13) rezultă o congruență satisfăcătoare între rezultatele obținute prin calcule și cele experimentale.

d. Distribuțiile eforturilor turbulente în stratul limita $\overline{u^2}$, $\overline{v^2}$ și $-\overline{uv}$ arată tendința acestora, bine acceptată /59/, în gradienti de presiune pozitivi. În regiunea în care parametrul π crește mult ($0,739 < x/l \leq 1$ pe extradados) componenta longitudinală $\overline{u^2}$ (fig.5.4.10) și eforturile de frecare $-\overline{uv}$ (fig.5.4.15) cresc cu π , în timp ce, componenta transversală se menține în jurul aceluiași valori. În toate aceste cazuri valoarea maximă este situată la distanță de perete. În mod similar, energia cinetică a turbulenței $\overline{q^2}$ (fig.5.4.17 - 5.4.18), raportată la viteza de frecare u_*^2 , arată creșteri mari în regiunea de variație accentuată a lui π (fig.5.4.17). În regiunea unde $\pi \approx \text{const}$ profilele

sînt foarte apropiate, ceea ce, prin analogie cu profilele de viteză medie, poate fi în corespondență cu ipoteza similitudinii locale. O corelare a valorilor maxime ale energiei cinetice turbulente $\overline{Q^2}_{\max}$, raportate la o viteză globală de frecare U_f^2 (corespunzătoare coeficientului de frecare al profilului C_{fr}), este posibilă cu viteza medie adimensională pe profil U/U_{ref} . Coeficientul de corelație $C_{t \max}$ (rel.5.4.12)), denumit în lucrare "coeficientul turbulenței maxime pe profil", este constant pe suprafața profilului și are valori apropiate pe extrados și intrados (fig.5.4.22).

e. Caracteristicile în dîra profilului la incidența $\alpha_{\infty} = 0^\circ$ (fig.5.4.23 ; 5.4.25 - 5.4.26) au fost găsite a fi apropiate de acelea obținute pentru profile convenționale /59/ și nu diferă cu mult de dîrele plăcii plane sau de profilelor simetrice. Cu excepția unei zone foarte apropiate bordului de fugă, profilele de viteză medie și distribuțiile eforturilor turbulente prezintă o simetrie apropiată. Cu creșterea incidenței la $\alpha_{\infty} = 5^\circ$ (fig.5.4.24 ; 5.4.27-5.4.28) în regiunea liniei centrale a dîrei, și imediat în aval de bordul de fugă, interacțiunea celor două straturi limită, de pe extrados și intrados, care se datorează unor gradienti de presiune mult mai puternici (fig.5.4.2 a), crează o zonă intensă de amestec unde intensitățile longitudinale $\overline{U^2}$ și eforturile de frecare $-\overline{Uv}$ cresc. În acest caz asimetria dîrei este mult mai pronunțată. În general, intensitățile transversale variază slab în lungul dîrei și își modifică slab profilul.

f. În lucrare a fost efectuat un studiu asupra calculului pulsațiilor de presiune p^2 , pe suprafața profilului, în corelație cu mărimile globale ale stratului limită, după Simpson și alții /129/. Rezultatele obținute (tabelul 1), asimilînd profilul cu o placă dispusă între doi pereți plani, s-au dovedit într-o bună concordanță cu date experimentale, însă lipsa unor informații privind valoarea factorului \mathcal{C} nu dau posibilitatea să fie confirmate în totalitate. Totuși, calculele arată că pulsațiile de presiune p^2 scad cu creșterea parametrului Π , respectiv cu creșterea energiei cinetice a turbulenței $\overline{Q^2}$. Sub formă adimensională, raportate la efortul de frecare la perete τ_0 , valorile p^2/τ_0^2 se mențin aproape constante pe suprafața profilului, însă, raportate la efortul maxim de frecare τ_M din stratul limită, valorile p^2/τ_M^2 scad mult cu creșterea parametrului de formă H_{12} . Acestea din urmă, sînt în deplină concordanță cu ipotezele lui Simpson și alții /129/ și, de asemenea, cu rezultate obținute pe cale experimentală (tabelul 1).

Ca o concluzie generală, măsurătorile efectuate asupra profilului NACA 4412 au dat posibilitatea unei analize în profunzime a curgerii reale, bidimensionale și incompresibile, din jurul și în dâra profilului. Pe baza rezultatelor obținute s-a dovedit că alegerea metodelor de calcul a curgerii potențiale și a parametrilor stratului limită, făcută în urma unor analize critice asupra metodelor cunoscute în literatură, este pe deplin justificată. Acestea permit evaluarea, cu o precizie satisfăcătoare, a caracteristicilor profilului, dispus în rețea sau funcționând izolat, în curgerea cu frecare.

6. CONSIDERAȚII FINALE

În prezenta lucrare au fost abordate două aspecte importante privind aplicațiile teoriei stratului limită la studiul curgerii fluidelor reale în rețele plane de profile. Un prim aspect îl constituie calculul pierderilor hidraulice și al caracteristicilor energetice pentru o rețea dată, sau problema directă. Al doilea aspect este proiectarea rețelelor, optimizate prin teoria stratului limită, fiind cunoscute elementele cinematice și unghiulare de la intrarea și ieșirea din rețea, sau problema inversă. Aceste probleme au fost orientate, în principal, la studiul curgerii în rețele destinate turbinelor hidraulice, în scopul îmbunătățirii performanțelor energetice și cavitaționale.

În strînsă corelare cu problemele legate de soluționarea curgerii potențiale și a curgerii în stratul limită, în lucrare, au fost efectuate cercetări experimentale asupra profilului NACA 4412.

6.1 Concluzii finale

6.1.1 Problema directă

Rezolvarea problemei directe implică o tratare în etape, astfel că, determinarea cât mai corectă a pierderilor în rețea este posibilă dacă, în fiecare etapă de calcul se obține o soluționare adecvată. În acest scop, în lucrare, pe baza unor analize critice privind metodele de calcul a curgerii potențiale și a parametrilor stratului limită, se prezintă un model de calcul al pierderilor hidraulice în rețele plane de profile. Pe baza relațiilor stabilite și a rezultatelor obținute, comparativ cu date experimentale, pot fi conturate următoarele concluzii :

6.1.1.1 La calculul potențial, respectiv al distribuțiilor de viteză, s-a folosit metoda ecuațiilor integrale propusă de Martensen cu îmbunătățirile aduse de Wilkinson. Confruntarea cu date experimentale, provenite atât din măsurători preluate din

literatură, asupra rețelelor de profile MHT-1-12 % și NACA 8410, cît și din măsurătorile efectuate, în lucrare, asupra profilului izolat NACA 4412 a dovedit că metoda asigură o soluționare satisfăcătoare a problemei. Analiza cîmpurilor de presiuni arată o corespondență bună cu experimentul în domeniul de incidențe fără desprinderi sau cu desprinderi mici ale curentului de pe profil. Rezultate similare, în toate cazurile analizate, s-au obținut și la calculul coeficienților de portanță. La profilul izolat NACA 4412 metoda a fost verificată comparativ cu metoda transformărilor conforme a lui Theodorsen rezultînd o concordanță excelentă.

Pentru a înlătura dificultățile privind utilizarea metodei la profile la care coordonatele nu sînt date în raport cu distribuția de grosime dispusă normal la schelet, în lucrare, a fost stabilit un procedeu de modificare a reprezentării profilului. Acesta s-a dovedit deosebit de util în aplicații practice (ex. profilul MHT-1-12 %).

6.1.1.2 În rezolvarea problemelor de strat limită s-au folosit metode integrale, Thwaites pentru stratul limită laminar și Head pentru stratul limită turbulent. Acestea sînt convenabile din punct de vedere aplicativ și al preciziei de calcul. Analiza unor rezultate din literatură arată o corelare bună între parametri calculați și obținuți experimental. În lucrare, metodele au fost verificate cu date obținute prin măsurători asupra profilului NACA 4412. Comparațiile efectuate asupra mărimilor de interes, grosimea de impuls δ_2 , factorul de formă H_{12} și coeficientul de frecare C_f , justifică alegerea metodelor și sînt într-o deplină corespondență cu rezultatele din literatură. De remarcă concordanța bună între punctul de tranziție calculat cu criteriul dat de Van Driest și Blumer și zona de tranziție obținută pe cale experimentală.

Pentru extinderea metodei Head la soluționarea stratului complet turbulent, în lucrare, a fost stabilit un procedeu iterativ de calcul a valorilor inițiale ale grosimii de impuls δ_2 și parametrului de formă H_{12} . Pe baza verificărilor efectuate, prin modele diferite de analiză, s-a dovedit valabilitatea și utilitatea relațiilor stabilite.

6.1.1.3 Pentru calculul pierderilor în rețea a fost stabilită o metodă unitară, comodă în aplicații practice și care s-a dovedit satisfăcător de precisă. La baza metodei stă analiza influenței stratului limită asupra curgerii potențiale și analiza curgerii în dîra rețelei. Influența stratului limită se manifestă

prin suma a trei efecte : de coardă, de curbură și de grosime. Acestea modifică circulația pe profil, echivalentă cu o micșorare a incidenței. În mod corespunzător se modifică elementele cinematice și unghiulare de la intrarea și ieșirea din rețea, pentru care s-au dedus relații de calcul. Relația de calcul a pierderilor a fost stabilită pe baza analiza curgerii în dâra rețelei, prin utilizarea teoremei impulsului, pe un volum de control cuprins între planul bordului de fugă și planul curgerii omogene în aval. O îmbunătățire considerabilă a valorilor calculate se realizează dacă proiecția, pe axa rețelei Y , a grosimilor stratului limită de la bordul de fugă d_{if} și d_{ef} se face în raport cu unghiul de instalare β_s , luat diferit față de alte metode. De asemenea, o îmbunătățire a preciziei s-a obținut prin calculul efectelor stratului limită, de curbură și grosime, în 5 puncte pe suprafața profilului.

Metoda propusă a fost aplicată la calculul pierderilor hidraulice și al caracteristicilor energetice pentru mai multe geometrii de rețele formate cu profilele MHT-1-12 % și NACA 0410, investigate experimental în instalații diferite. Rezultatele obținute arată, în general, o concordanță satisfăcătoare între valorile calculate și cele obținute prin măsurători. Condiția care se impune este să nu se producă desprinderea totală a curenților de profil. Este important de remarcat că la unghiuri de instalare $\beta_s = 30^\circ$ și 60° , frecvent utilizate la turbinele hidraulice, concordanța teorie-experiment este foarte bună.

6.1.1.4 Soluționarea problemei directe a rețelelor de profile, prin complexitatea problemelor ce necesită a fi rezolvate în fiecare etapă de calcul, implică un volum însemnat de timp și calcule. Pentru ca modelul de calcul propus să devină accesibil și util aplicațiilor practice s-au elaborat o serie de programe de calcul. Acestea au dat posibilitatea să fie analizate un număr mare de rețele. În scopul îmbunătățirii preciziei au fost folosite procedee numerice moderne de calcul. Programele au fost concepute în limbaj Basic și rulate pe calculatorul HP 9845-S din dotarea Catedrei de mașini hidraulice.

6.1.2 Problema inversă

Problema optimizării a fost rezolvată, în principiu, pe baza teoriei lui Le Foll. Aceasta dă posibilitatea ca stratul limită nedesprins să fie reprezentat într-un spațiu numit plan imagine în care : ordonata L este parametrul de formă a lui Koenbrodt și abscisa X un număr Reynolds local al stratului limită. În acest plan se poate optimiza, prin impunerea unui strat

limită cu pierderi minime, distribuția de viteză asociată extradodusului profilului din rețea. Profilul se dimensionează prin intermediul unei metode potențiale de soluționare inversă a curgerii din rețea. Relațiile stabilite, rezultatele obținute și mai ales exemplele numerice rezolvate permit formularea următoarelor concluzii:

6.1.2.1 Pentru reprezentarea în planul imagine a straturilor limită, laminare și turbulente, sînt necesare două funcții: coeficientul de disipație C_D și funcția $M(C_D, C_F, H_{12})$. În lucrare, aceste funcții au fost obținute, pentru stratul limită laminar pe baza metodei lui Tani, iar pentru stratul limită turbulent s-au utilizat relații pentru curgeri mai generale și parțial relații în ipoteza stratului limită în echilibru. Stabilitatea stratului laminar a fost delimitată prin transpunerea în planul imagine a curbei lui Schlichting. Pentru stratul limită turbulent, stabilitatea este delimitată prin curba lui Clauser.

6.1.2.2 Problema reprezentării în planul imagine a curbei corespunzătoare distribuției optime de viteză constă, atât din optimizarea stratului limită laminar, cît și a stratului limită turbulent. Deoarece, la rețelele de turbină stratul limită laminar se întinde pe o regiune restrînsă din suprafața profilului, datorită curgerii la numere Reynolds și turbulențe relativ ridicate, procesul de optimizare constă, în principal, din optimizarea stratului limită turbulent. În lucrare, problema a fost rezolvată în concordanță cu parametrii specifici rețelelor de turbină și a factorilor de influență asupra pierderilor. Rezultatele au stabilit că, în stratul limită turbulent, curba optimă trebuie dusă în apropierea curbei $M = 0$. Reprezentarea în planul imagine a fost astfel realizată ca distribuția de viteză să prezinte un palier de viteză aproximativ constantă. Acesta s-a dovedit într-o corespondență excelentă cu distribuțiile de grosimi NACA folosite la dimensionarea profilului din rețea. O parte importantă o constituie decelerarea distribuției de viteză. În general, optimizarea decelerării în planul imagine este dificil de realizat. De aceea, la proiectarea unei rețele se impune analiza mai multor variante de curbe imagine. Pe baza pierderilor se poate stabili variația optimă.

6.1.2.3 Legătura între planul imagine și datele de proiectare ale rețelei este dată de numărul Reynolds Re_F și contribuția extradodusului la circulația pe profil, definită prin V_{med} . Aceste mărimi stabilesc poziția punctului final F al curbei în planul

imagine. Poziția punctului de tranziție este dată de valoarea turbulenței în curgerea exterioară stratului limită. Pentru a facilita optimizarea unei rețele cerute, în lucrare, a fost construit un plan imagine în care au fost stabilite curbe universale destinate proiectării rețelelor de turbină. Pe baza acestor curbe se obțin distribuții de viteză care nu produc desprinderea stratului limită, sînt independente de condițiile de la intrare și ieșire din rețea și geometria rețelei, iar pentru aceeași valoare a lui V_{med} nu depind de numărul Reynolds Re_F .

6.1.2.4 Analiza curgerii, cu metoda directă, în rețele optimizate prin planul imagine arată că dimensionarea rețelei se realizează în domeniul optim de funcționare în apropierea valorii minime a pierderii. Poziția punctului de proiectare și valoarea coeficientului de pierdere ζ_r depind de valoarea lui V_{med} , respectiv a coeficientului de portanță. La valori scăzute a lui V_{med} pierderile cresc, iar punctul de proiectare se deplasează spre valori mici ale unghiului de intrare β_1 . Turbulența în curgerea exterioară la valori peste 2% afectează slab coeficienții de pierdere ζ_r , însă aceștia scad semnificativ cu creșterea numărului Reynolds Re_F .

6.1.2.5 Problema proiectării unui rotor de turbină, cu rețele optimizate prin planul imagine, prezintă unele dificultăți legate de realizarea în toate secțiunile a unor rețele formate din aceeași familie de profile. Pentru a înlătura aceste dificultăți, în lucrare, se propune o metodă de proiectare care s-a dovedit eficientă. Metoda constă în dimensionarea unui profil generator obținut din optimizarea rețelei de la butuc. Acesta se modifică corespunzător pentru celelalte secțiuni, astfel: scheletul în raport cu curbura maximă, pentru care s-au dedus relații semiempirice de calcul, iar funcția de grosime în raport cu grosimea maximă stabilită din considerente de rezistență. Rezultatele obținute la proiectarea unui rotor de turbină axială arată următoarele: i) la optimizarea rețelei de la butuc partea de decelerare a distribuției de viteză pe extradados influențează atât pierderile, cât și extinderea domeniului optim de funcționare. O formă concavă a distribuției de viteză în regiunea de decelerare și o decelerare puternică în apropierea bordului de fușă sînt avantajoase, ii) curburile profilelor dimensionate se încadrează în valorile frecvent utilizate la turbine; în general, au valori ușor inferioare celor admise la metode potențiale, iii) în secțiunile de rotor distribuțiile de viteză sînt aplatizate cu forme asemenea,

iv) din analiza pierderilor rezultă că punctul de proiectare se află în domeniul optim de funcționare al rețelei, însă coeficienții de pierdere cresc cu raza rotorului, respectiv cu micșorarea circulației pe profil.

6.1.2.6 Rezultatele obținute în rezolvarea problemei inverse justifică efortul depus pentru stabilirea unor relații și metode de calcul și proiectare, completate cu programe de calculator. Acestea fac accesibilă utilizarea teoriei stratului limită la studiul complex al curgerii fluidelor reale în rotorii turbinelor hidraulice axiale. Pe baza verificărilor efectuate cu metoda de analiză directă a curgerii (care, în confruntarea cu experimentul, a arătat o precizie satisfăcătoare) s-a dovedit utilitatea și eficiența acestui instrument în proiectarea optimizată a rețelelor de profile.

6.1.3 Partea experimentală

Au fost obținute și analizate cîmpurile de presiuni, de viteză și ale eforturilor Reynolds în curgerea din jurul și în dîra profilului izolat NACA 4412 la un număr Reynolds format cu coarda, $Re_{ref} = 9,46 \cdot 10^5$. Acestea au dat posibilitatea determinării caracteristicilor profilului și a parametrilor stratului limită, pe baza cărora au fost verificate metode și relații folosite în lucrare. Avînd în vedere că unele rezultate au fost obiectul unor analize în secț.6.1.1 în această secțiune vor fi analizate numai rezultatele referitoare la măsurătorile de strat limită și turbulență. Acestea permit următoarele concluzii :

6.1.3.1 Profilele de viteză și turbulență în stratul limită au fost găsite a fi în corespondență cu variația gradientului de presiune pe profil, indicat prin parametrul Π al lui Clauser. Pe porțiunile în care $\Pi \approx \text{const}$ profilele de viteză medie, într-o deplină concordanță cu ipoteza similitudinii locale, sînt similare. Într-un mod asemănător au fost găsite și profilele de energie cinetică a turbulenței. În aceste zone, profilele de viteză verifică, pe o întindere relativ mare, legea universală a peretelui dată de Prandtl, valabilă în regiunea dominantă dintre straturile interioare și exterioare ale curgerii din stratul limită. Cu creșterea lui Π , pe extradados în apropierea bordului de fugă, regiunea de perete se micșorează treptat în concordanță cu creșterea turbulenței în direcția curgerii \bar{u}^2 și a eforturilor de frecare $-\bar{u}v$. Aici, profilele de viteză medie verifică profilele universale propuse de Perry și Schofield. O micșorare semnificativă a regiunii de perete, asociată unor profile de viteză deformate, are loc în

zona de tranziție aflată în apropierea punctului de presiune minimă pe profil.

Măsurătorile de turbulență în stratul limită au permis stabilirea unei corelații între energia cinetică maximă a turbulenței \overline{q}_{max}^2 și viteza medie pe profil U . Coeficientul de corelație C_{tmax} stabilit, în lucrare denumit "coeficientul turbulenței maxime", s-a dovedit a fi constant pe profil cu valori apropiate pe extradós și intradós.

6.1.3.2 În ceea ce privește curgerea în dîră măsurătorile arată că la incidența $\alpha_{\infty} = 0^{\circ}$ dîra profilului nu diferă cu mult de acelea ale plăcii plane sau ale profilelor simetrice. Cu creșterea incidenței la $\alpha_{\infty} = 5^{\circ}$, respectiv a gradientului de presiune pe profil, interacțiunea celor două straturi limită, pe extradós și intradós, crează o intensă zonă de amestec în regiunea centrală a dîrei și imediata vecinătate a bordului de fugă. Curgerea se modifică rapid cu creșterea intensității turbulenței și a eforturilor de frecare. În această zonă dîra devine puternic asimetrică. În aval, prin procesul de omogenizare, dîra se amortizează treptat.

6.1.3.3 Pe baza mărimilor stratului limită, obținute prin măsurători, a fost efectuat un studiu privind calculul pulsațiilor de presiune la perete. Calcule efectuate, pe baza relațiilor stabilite de Simpson și alții, au condus la rezultate într-o bună concordanță cu date experimentale. Pulsațiile de presiune \overline{p}^2 scad cu creșterea gradientului de presiune, respectiv cu creșterea turbulenței. Raportate la efortul de frecare la perete ζ_0 , valorile \overline{p}^2/ζ_0^2 se mențin aproximativ constante pe profil, în schimb, raportate la efortul maxim de frecare ζ_M din stratul limită, valorile \overline{p}^2/ζ_M^2 scad cu creșterea parametrului de formă H_{12} . Ultimele sînt în corespondență bună cu ipotezele lui Simpson și alții și, de asemenea, cu rezultate obținute prin măsurători.

6.2 Contribuții personale

Obiectivele propuse în cadrul lucrării de față au avut ca scop stabilirea unei metode de calcul a pierderilor hidraulice în rețea și a unei metode pentru proiectarea rețelelor optimizate care să funcționeze cu pierderi minime. Rezolvarea acestor probleme s-a făcut pe baza teoriei stratului limită. În aceste condiții studiile efectuate conțin unele elemente de originalitate aduse, atât la metodele auxiliare folosite în cadrul temei, cît și la rezolvarea problemelor care au făcut obiectul cercetărilor. Aceste

elemente vor fi date în cele ce urmează ;

6.2.1 Pentru a face accesibilă metoda Wilkinson la rezolvarea directă a curgerii potențiale în jurul profilelor dispuse în rețea, sau izolate, reprezentate în mod diferit de aceea cerută de metodă (ou distribuția de grosimi dispusă după normala la schelet), a fost conceput un procedeu numeric, util și eficient, de modificare a reprezentării coordonatelor. La partea de dimensionare, deficițară în ceea ce privește forma profilului la bordul de fugă, s-a găsit curba optimă a scheletului în această zonă, adecvată distribuțiilor de viteză obținute prin planul imagine.

6.2.2 Calculul parametrilor stratului limită turbulent cu metoda Head presupune integrarea numerică a unui sistem de două ecuații diferențiale. Pentru a înlătura dificultățile legate de stabilirea valorilor inițiale, la calculul stratului limită considerat complet turbulent, s-a dedus un procedeu iterativ de calcul al mărimilor : grosimea de impuls σ_2 și parametrul de formă H_{12} . Relațiile au fost stabilite din ecuațiile de bază în ipoteza că pe o regiune restrânsă, în apropierea bordului de atac, parametrul H_{12} se menține aproximativ constant.

6.2.3 Pentru calculul pierderilor în rețea a fost stabilită și folosită o metodă unitară, completă și comodă în aplicații practice. La calculul influenței stratului limită asupra curgerii potențiale s-a luat suplimentar efectul de coardă, iar efectele de curbură și grosime s-au considerat în 5 puncte pe suprafața profilului. Relațiile de calcul a unghiurilor de la intrare β_1' și ieșire β_2' din rețea s-au obținut în raport cu modificarea totală a circulației. La stabilirea formulei de calcul a pierderilor, pe baza analizei curgerii în dîră, proiecția pe axa rețelei Y a grosimilor stratului limită la bordul de fugă σ_{yf} și σ_{xf} s-a luat în raport cu unghiul de instalare β_3 . Prin relațiile stabilite metoda poate fi aplicată și la calculul corecțiilor elementelor unghiulare ale rețelei pentru a obține în curgerea reală aceeași portanță ca și în curgerea potențială. De asemenea, cu rezultate bune, prin particularizare, metoda poate fi aplicată și la studiul curgerii reale în jurul profilelor izolate.

6.2.4 Pentru utilizarea teoriei generale a lui Le Foll, în procesul de optimizare al rețelelor plane de profile, s-a reanalizat reprezentarea parametrilor straturilor limită, laminare și turbulente, în planul imagine. În acest scop, au fost folosite relații mai generale pentru calculul acestor parametri, care în ca-

zului teoriei lui Le Foll au fost considerați în ipoteza similitudinii locale. În consecință au fost stabilite și relațiile de transpunere ale funcțiilor M și C_D în planul imagine.

6.2.5 A fost stabilită reprezentarea în planul imagine a curbei corespunzătoare distribuției de viteză, optime, pe extradodusul profilului dispus în rețea de turbină axială. Problema a fost rezolvată, în principal, din optimizarea stratului limită turbulent. Pentru a obține pierderi minime, în stratul limită turbulent curba imagine a fost reprezentată în apropierea curbei $M = 0$, astfel ca distribuția de viteză să realizeze un palier de viteză aproximativ constantă. Pentru integrarea numerică a curbei din planul imagine s-a conceput un procedeu de calcul a funcțiilor M și C_D în orice punct al acesteia. În acest mod a devenit accesibilă calculatorului.

6.2.6 Pentru dimensionarea rețelelor optimizate de turbine s-a construit un plan imagine universal din care se obțin distribuții de viteză, la diferite valori ale numărului Reynolds Re_F , independente de condițiile de la intrarea și ieșirea din rețea și geometria rețelei. În planul imagine, au fost determinate corelațiile dintre numărul Reynolds Re_F , contribuția extradodusului la circulația pe profil V_{med} și coordonatele X , L_F ale punctului final F al curbei imagine. Pentru calculul mărimilor Re_F și V_{med} corespunzătoare datelor de proiectare ale rețelei, s-au stabilit relații semiempirice și valorile coeficienților care intervin în acestea.

6.2.7 În vederea aplicării teoriei stratului limită la proiectarea rotoarelor de turbine hidraulice se propune o metodă în care dimensionarea secțiunilor de rotor se obține prin utilizarea unei familii de profile derivate dintr-un profil generator. Problema dimensionării profilului generator a fost rezolvată prin optimizarea rețelei de la butuc. Pentru celelalte secțiuni se modifică adecvat scheletul acestuia în raport cu curbura maximă obținută din ecuația caracteristică a scheletului. Pentru calculul unghiului $\Delta\theta$ (format de tangentele duse la schelet în bordul de atac și de fugă), s-a stabilit o relație empirică de legătură între acesta și coeficientul de portanță cerut de rețea.

6.2.8 Pentru efectuarea măsurătorilor de strat limită și turbulență asupra profilului izolat NACA 4412 au fost concepute și proiectate modelul experimental și dispozitivul de deplasare a traductorului în tunelul aerodinamic. De asemenea, au fost concepute o serie de sisteme de măsură avînd la bază termoanemometrul

ou fir încălzit, sistemul DISA 55 D 00. Măsurătorile de turbulență în stratul limită au permis stabilirea unui coeficient de corelație C_{tmax} , denumit în lucrare "coeficientul turbulenței maxime, între energia cinetică maximă a turbulenței $\overline{q^2}_{max}$ și viteza medie pe profil U ,

6.2.9 Pe baza metodelor și relațiilor utilizate au fost concepute și realizate programe de calcul în limbaj Basic care au fost rulate pe calculatorul Hewlett-Packard HP 9845 S. Programele au fost folosite la rezolvarea următoarelor probleme : i) rezolvarea directă și inversă a curgerii potențiale în jurul profilelor funcționând în rețea sau izolat, ii) calculul parametrilor stratului limită laminar, cu stabilirea punctului de tranziție și (iii) turbulent, iii) calculul pierderilor hidraulice în rețea, iv) calculul caracteristicilor profilelor izolate dispuse într-un curent de fluid real, v) calculul și reprezentarea grafică a funcțiilor M și C_D în planul imagine, vi) calculul distribuției de viteză pe extradosul profilului, prin integrarea numerică a curbei din planul imagine și vii) prelucrarea datelor experimentale.

6.3 Perspective

Cercetările efectuate și concluziile care se desprind din acestea oferă posibilitatea continuării lor, atât din punct de vedere teoretic, cât și experimental ;

6.3.1 Continuarea cercetărilor teoretice va trebui axată în deosebi pe utilizarea teoriei stratului limită la optimizarea rețelelor de profile. Cu preponderență ele se pot extinde la : i) stabilirea unei relații mai generale a coeficientului de disipație C_D care, în prezent, a fost considerat în ipoteza stratului limită turbulent în echilibru, ii) optimizarea rețelelor de turbină în cazul funcționării la numere Reynolds mici ($Re < 5 \cdot 10^5$), la care problema decelerării trebuie reanalizată, și iii) calculul aproximativ al pierderilor în rețea când proiectarea se află în fază de curbă imagine. Aceasta ar permite economisirea unui volum important de muncă.

6.3.2 Cercetările experimentale vor trebui orientate spre încercarea în laborator a unor rețele de profile, dimensionate teoretic în urma unor analize profunde a curgerii, și investigații experimentale asupra unor rotoți de turbină hidraulică, proiectați prin teoria stratului limită.

6.3.3 Ca scop final, cercetările teoretice și experimentale trebuie să aibă în vedere îmbunătățirea metodelor și relațiilor de calcul, care să conducă la diagrama universală a rețelelor de

profile, capabilă să ofere, în orice moment, proiectantului de mașini hidraulice informațiile necesare privind rețeaua optimă.

În încheiere autorul își exprimă speranța că lucrarea prezentată, prin studiile elaborate, a reușit să-și aducă o modestă contribuție la problematica deosebit de complexă a curgerii fluidelor reale în rețele plane de profile, dovedindu-se utilă celor ce au preocupări în acest domeniu.

B I B L I O G R A F I E

1. Acrivlelillis M., Hot-Wire Measurements in Flows of Low and High Turbulence Intensity, DISA Information, Nr.22, 1977
2. Angot A., Elemente de matematici, edit. tehnică, București, 1966
3. Anton I., Turbine hidraulice, edit. Facla, 1979
4. Anton I., Influența parametrilor geometrici și cinematici asupra caracteristicilor energetice și cavitaționale ale turbinelor axiale, St. și cerc. de mec. aplicată, Tom.30, nr.3, 1971
5. Anton I., Diametrul optim al butucului la turbinele Kaplan, Rev. "Construcții de mașini", anul XXIII număr jubiliar, Reșița 200 - sept., 1971
6. Anton V., Cercetări experimentale privind influența geometriei unor rețele de profile asupra caracteristicilor lor energetice și cavitaționale. Teză de doctorat, Timișoara 1971
7. Anton V., Caracteristicile energetice ale rețelei de profile MHT-1-12 % la $t/\tau = 0,75$, Buletinul IPT, Seria Mecanică, 1972
8. Anton I., Popa O., Repartiția potențial-teoretică a presiunilor pe conturul profilului hidrodinamic MHT-1-12 %, St. cerc. șt. tehn. Timișoara, VIII, 3-4, 1961
9. Anton I., Ionescu D., Călin Gh., Calculul pierderilor hidraulice într-o rețea plană de profile, St. Cerc. Mec. Apl. Tom. 43, Nr.5-6, 1984, p.439-450
10. Anton I., Ionescu D., Călin Gh., Über das Le Foll-verfahren zur Optimierung der Grenzschicht, Rev. Roum. Sci. Techn. Mec. Appl. Tome 30, Nr.2-3, p.149-160, București, 1985
11. Anton I., Ionescu D., Călin Gh., Proprietățile generale ale stratului limită în reprezentarea Le Foll, Conf. maș. hidraulice și hidrodinamică, Timișoara, 1985
12. Anton I., Ionescu D., Călin Gh., Stabilirea unei distribuții de viteză optimizate pe un profil aerodinamic, Conf. maș. hidraulice și hidrodinamică, Timișoara, 1985
13. Assasa G.M., Papailiou K.D., An Integral Method for Calculating Turbulent Boundary Layer With Separation, ASME, Journal of Fluids Engineering, vol.101, p.110-116, 1979

14. Betchelor G.K., An introduction to fluid dynamics. Cambridge, 1967
15. Bradshaw P., Calculation of Boundary-Layer Development Using the Turbulent Energy Equations. V. Wakes near a Trailing Edge, NPL Aero Report 1285, 1969
16. Bradshaw P., Ferris D.H., Atwell M.P., Calculation of boundary-layer development using the turbulent energy equation, J. Fluid Mech., 28, 593, 1967
17. Bradshaw P., An Introduction to Turbulence and its Measurement, Pergamon Press, 1971
18. Bradshaw P., Ferris D.H., Applications of a General Method of Calculating Turbulent Shear Layers, ASME, Journal of Basic Engineering, P 345-352, 1972
19. Bradshaw P., Turbulence, Springer-Verlag, Berlin, 1976
20. Bradshaw P., Cebeci T., Whitelaw J.H., Engineering Calculation Methods for Turbulent Flows, Academic, 1981
21. Brunn H.H., Interpretation of X-Hot-Wire Signals, DISA Information, Nr.18, 1975
22. Carafoli F., Aerodinamica, Ed. tehnică, București, 1951
23. Carafoli F., Constantinescu V.N., Dinamica fluidelor incompresibile, Ed. Academiei RSR, București, 1981
24. Călin Gh., Calculul pierderilor hidraulice în rețele plane de profile prin metoda stratului limită. Comparație cu experimentul, Conf. maș. hidraulice și hidrodinamică, Timișoara, 1985
25. Călin Gh., Influența porțiunii laminare a stratului limită asupra pierderilor hidraulice în rețele de profile, Conf. maș. hidraulice și hidrodinamică, Timișoara, 1985
26. Cebeci T., Smith A.M.O., Analysis of Turbulent Boundary Layers, Academic, 1974
27. Cebeci T., Bradshaw P., Momentum transfer in boundary layer, Mc Graw-Hill/Hemisphere, Washington, DC, 1977
28. Cebeci T., Numerical and Physical Aspects of Aerodynamic Flows, Springer, vol. II, 1984
29. Cebeci T., Clarcck R.W., Chang K.C., Halsey N.D., Lee K., Airfoils with separation and the resulting wakes, J. Fluid Mech., vol. 163, pp. 323-347, 1986
30. Clauser F., Turbulent Boundary Layer in Adverse Pressure Gradients, J. Aero. Sci., Nr. 21, p. 91-108, 1954

31. Coles D., The Structure of Turbulent Boundary Layer, J.Fluid Mech., Nr.1, p.191-226, 1956
32. Coles D., Remarks on the Equilibrium Turbulent Boundary Layer, J.Aero.Sci., p.495-506, 1957.
33. Collatz L., Funktional Analysis und Numerische Matematik, Springer-Verlag, Berlin, 1964
34. Dancea I., Programarea calculatoarelor numerice pentru rezolvarea problemelor cu caracter tehnic și de cercetare științifică, Ed.Dacia, Cluj, 1973
35. Davis H., Kottas H., Moody A.M.G., The Influence of Reynolds Number on the Performance of Turbomachinery, Trans.ACM3, vol.73, p.499-509, 1951
36. Doyoub A.H., A New Method for Correcting Turbulence Data Caused by Angle Deviation from the Nominal 45° -X-wire Probes, Dantec Information Nr.2, 1986
37. Felsch K.O., Beitrag zur Berechnung turbulenter Grenzschichten in zweidimensionaler inkompressibler Strömung, Dissertation, Karlsruhe, 1965
38. Fernholz H., Halbempirische Gesetze zur Berechnung turbulenter Grenzschichten nach der Methode der Integralbedingungen, Ing.Arch., Nr.33, p.384-385, 1964
39. Head M.R., Eintrainement in the Turbulent Boundary Layer, A.R.C., R. et M. 3152, 1960
40. Head M.R., Improved eintrainement method for calculating turbulent boundary layers, A.R.C., 31043, 1970
41. Hinze J.O., Turbulence, Mc Graw-Hill Book Company, London, 1959
42. Anton I., Ionescu D., O metodă aproximativă pentru calculul stratului limită laminar, St.cerc'mec.apl. Tom 27, Nr.6, p.1117-1126, București, 1968
43. Ionescu D., Desprinderea stratului limită turbulent, Conf. maș.hidraulice și hidrodinamică, Timișoara, 1985
44. Isay W.H., Beitrag zur Potentialströmung durch axiale Schaufelgitter, ZAMM Nr.33, 1953
45. Jacob K., Erweiterung des Martensen-Verfahrens auf Einzelränder Gitterprofile mit eckiger Hinterkante oder sehr kleinem Abundungsradius. Aerodynamische Versuchsanstalt, Göttingen, Bericht 67 A 21, 1967
46. Jacob K., Riegels F.W., The calculation of the pressure distribution over aerofoil sections of finite thickness with and without flaps and slats. Z.Flugwiss. 11, 9, p. 357-367, 1963

47. Klatt F., A Study of Systematic Errors in Measurements with the Constant-Temperature Anemometer in High-Turbulence Flows with and without Hot-Wire Signal Linearization, DISA Information Nr.14, 1973
48. Landau L., Lifchitz E., Mecanique des fluides, Ed. Mir, Moscow, 1971
49. Le Foll J., O theory of representation of the properties of boundary layers on a plane. Proc. seminar on Advanced problems in turbomachinery, V.K.I., March 29-30, 1965
50. Leschin A.F., Rascet lopaski rabocih kolec osebnih turbin, Energomašinstroenie, 5, P.49, 1953
51. Lieblein S., Loss and Stall Analysis of Compressor Cascades, ASME Paper, Nr.58, P.91, 1958
52. Lieblein S., Roundbush Theoretical loss relation for low speed, two-dimensional cascade flow, NACA TN 3662, 1956
53. Lotjanski L.G., Mehanika židkosti i gaza. Nauka, Moskva, 1970
54. Ludwig H., Tillmann W., Untersuchungen über die Wandschubspannung in turbulenten Reibungsschichten, Ing. Arch., Nr.17, P.288-299, 1949
55. Martensen K., Berechnung der Druckverteilung an Gitterprofilen in ebener Potentialströmung mit einer Fredholm-schen Integralgleichung. Arch, Rat. Mech. Analysis. Nr.3, p.235-270, 1959
56. Mellor G.L., Gibson G.L., Equilibrium Turbulent Boundary Layer, J-Fluid Mec., Nr.24, p.226-253, 1966
57. Micula G., Funcții spline și aplicații, Edit. Tehnică, 1978
58. Murai H., Theory on the Mutual Interference of Blade Elements in a Cascade, Rep. of the Institute of High Speed Mechanics, Tohoku Univ., vol.4, p.1-10, k954
59. Nakayama A., Characteristics of the flow around conventional and supercritical airfoils, J.Fluid.Mech., vol.160, p.155-179, 1985
60. Nujin S.G., Postroenie potentsialnogo potoka nesjimaemoi židkosti okolo krilovih profilei proizvolnoi formi. PMM, Tom 11, vip.1, 1947
61. Numachi F., Murai H., Theoretical Research on Profile Form of Blade Element Suitable for Arrangement in a Straight Grate. Rep.4, Mem.Inst.High Speed Mech., Nr.2, 1952

62. Orovşanu T., Mecanica fluidelor viscoase, Ed. Academiei RSR, Bucureşti, 1967
63. Papailiou K.D., An investigation on Le Foll's Method Used for Blade Optimization Based on Boundary Layer Concepts, V.K.I. TN 61, 1969
64. Papailiou K.D., Boundary Layer Optimization for the Design of High Turning Axial Flow Compressor Blades, ASME Headquarters, Paper Nr.70-GT-88, 1970
65. Papailiou K.D., Optimisation des dispositifs decelerateurs à forte charge fondée sur une théorie integral de la couche limite, Thèse de doctorat, L'Université Claude Bernard de Lyon, 1974
66. Patel R.P., An Improved Law for Skin Friction in an Incompressible Turbulent Boundary Layer in any Pressure Gradient, Dep. of Mec. Eng., McGill University, Montreal, Rep. 62-64, 1962
67. Pavel D., Zarea St., Turbine hidraulice şi echipamente hidroenergetice, vol. I, Ed. did. şi pedagogică, Bucureşti, 1965
68. Popa O., Contribuţii teoretice la calculul reţelelor de profile folosite în construcţia maşinilor hidraulice. Comunicările conf. dr. maş. hidraulice, Timişoara, 1964
69. Popa O., The extension of the Oicle Theorem to the Cauchy Integral Representation of Holomorphic Functions. Bul. I.P. Timişoara, Tom. 15(2), Fasc. 1, 1970
70. Popa O., The determination of general relation between the aerodynamic properties of a single airfoil and those of the same airfoil arranged in an arbitrary cascade, Proceedings of the fourth conference on fluid machinery, Budapest, 1972
71. Popa O., Mişcări potenţiale şi teoria hidrodinamicii reţelelor de profile. I.P. Timişoara, 1980
72. Popa O., Mecanica fluidelor şi măsurii hidraulice, I.P. Timişoara, 1980
73. Povh I.L., Metodi rascieta soprotivlenia ploskih rešetok, obtekaemih realnoi jidcostiu, Energiomaşinostroenie, tehničeskaja gitromechanika, 5, p.74, 1953
74. Povh I.L., Vlianie viakosti na velicenu i napravlenie scrostri za rešetevoi, Energiomaşinostroenie, 5, p.66, 1953
75. Reynolds A.J., Curgeri turbulente in tehnică, Traducere din limba engleză, Ed. tehnică, Bucureşti, 1982

76. Rhaden G.H., Effects of Reynolds Number on the Flows of Air Through a Cascade of Compressor Blades, ARC Report 2919, 1956
77. Riegels F.W., Aerodynamische Profile, R.Oldenbourg München, 1958
78. Rodi W., A New Method of Analysing Hot-Wire Signals in Highly Turbulent flow, and Its Evaluation in a Round Jet, DISA Information, Nr.17, 1975
79. Rosenhead L., Laminar Boundary Layer, Oxford University Press, 1963
80. Rotta J., Similar Solutions of Turbulent Boundary Layers, J. Aero.Sci. vol.22, p.215, 1955
81. Rotta J., Recent Developments in Calculation Methods for Turbulent Boundary Layers With Pressure Gradients and Heat Transfer, J.of Applied Mechanics, Trans.ASM π , vol.33, Series π ., p.429-437, 1966
82. Rotta J., Turbulent Boundary Layers in Incompressible Flow, Progress in Aero.Sci., vol.2, 1962
83. Samoilovici G.S., Rasclot gidrodinamiceskih resetok, PMM, Tom 14, vfp.2, 1950
84. Schetz J.A., Jannone J., A Study of Linearized Approximations to the Boundary-Layer Equations, ASM π , Journal of Applied Mechanics, Paper Nr.65-APMV-6, 1965
85. Schlichting H., Scholz H., Über die theoretische Berechnung der Strömungsverluste eines ebenen Schaufelgitters, Ing. Arch. Nr.1, 1952
86. Schlichting H., Berechnung der reibungslosen incompressiblen Strömung für ein vorgegebenes ebenes Schaufelgittern, VDI Forsch. Heft 447, Düsseldorf, 1955
87. Schlichting H., Application of Boundary-Layer Theory in Turbomachinery, ASM π , Journal of Basic Engineering, p.543-551, 1959
88. Schlichting H., Boundary-Layer Theory, Mc.Graw-Hill Book Company, New York, 1968
89. Scholz N., Ergänzerung zum Grenzschriftquadraturverfahren von π .Truckenbrodt, Ing.Arch.29, 82-92, 1960
90. Scholz N., Aerodynamik der Schaufelgitter, BDI, Verlag G. Braun, Karlsruhe, 1965

91. Siuru W.D., Logan F., Use of a Slating Hot-Wire to Make Measure-Roughened Tube, DISA Information, Nr.21, 1977
92. Smirnov V.I., Curs de matematici superioare, Ed. Tehnică, vol.I (1953), vol.II (1954), vol.III, București, 1953
93. Speidel L., Scholz N., Untersuchungen über die Strömungsverluste in ebene Schaufelgittern, VDI Forsch-Heft 464, Düsseldorf, 1955
94. Stoicovici M., Paletă turbină bulb obținută prin metoda analitică, metoda transformărilor conforme. Exemplu de calcul - model varianta 2B. Protocol înaintat la ICFR, 1973
95. Stuart D.J.K., Analysis of Reynolds Number Effects in Fluid Flow Through Two-Dimensional Cascades, ARC Report 2920, 1956
96. Stratford B.S., The prediction of separation of the turbulent boundary layer, J.Fluid.Mech., Vol.5, p.1-16, 1959
97. Tani I., On the solution of the Laminar Boundary Layer Equations, 50 Jahre Grenzschichtforschung, Akademie-Verlag, Berlin, 1956
98. Theodorsen Th., Theory of wing sections of arbitrary shape, NACA, Rep.411, 1931
99. Thompson B.G.J., A Critical Review of Existing Methods of Calculating the Turbulent Boundary Layer, AIAA Journal, vol.3, p.746-747, 1965
100. Townsend A.A., The properties of equilibrium boundary layer, J.Fluid Mech., Vol.1, p.561-573, 1956
101. Townsend A.A., The flow in a turbulent boundary layer after a change in a Surface roughness, J.Fluid.Mech., 26, p.255, 1966
102. Truckenbrodt E., Ein Quadraturverfahren zur Berechnung des Laminaren und turbulenten Reibungsschicht bei ebener und rotationssymmetrischer Strömung. Ing.Arch., 20, p.211, 1952
103. Truckenbrodt E., Ein Quadraturverfahren zur Berechnung der Reibungsschicht an angeströmten rotierenden Drehkörpern, Ing.Arch. 22, p.21, 1954
104. Truckenbrodt E. Neuere Erkenntnisse über die Berechnung von Strömungsgrenzschichten mittels einfacher Quadraturformeln. Ing.Arch. 43, Teil I, p.9, 1973

105. Truckenbrodt K., Neue Erkenntnisse über die Berechnung von Strömungsgrenzschichten mittels einfacher Quadraturformeln. Ing.Arch. 43, Teil II, p.136, 1974
106. Van Driest K.R., Blumer C.B., Boundary layer transition. Freestream turbulence and pressure gradient effects. AIAA Journal, p.1303-1306, 1963
107. Van Dyke M., Perturbation methods in fluid mechanics. Academic, 1964
108. Vraciu G., Popa A., Metode numerice cu aplicații în tehnica de calcul, Scrisul românesc, vol.1, Craiova, 1982
109. Walz A., Strömungs- und Temperatur-Grenzschichten, Braun-Verlag, Karlsruhe, 1965
110. Weber J., The calculation of the pressure distribution on the surface of thick cambered wings and the design of wings with given pressure distribution. R et M., Nr.3026, 1955
111. Weinig F., Die Strömung um die Schaufeln von Turbomaschinen, J.A.Barth, Leipzig, 1935
112. Wilkinson D.H., A numerical solution of the analysis and design problems for the flows past one or more aerofoils or cascades, R. et M., Nr.3545, 1968
113. Worthing A.G., Geffner J., Prelucrarea datelor experimentale, Traducere din limba engleză, Ed.technică, București, 1959
114. Wortmann F.X., Ein Beitrag zum Entwurf von Laminarprofilen für Segelflugzeuge und Hubschrauber, Z.f.Flugwiss.3, Heft 10, 1955
115. Zidaru G., Hidrodinamica rețelelor de profile, I.P.București, 1974
116. Zidaru G., Mișcări potențiale și hidrodinamica rețelelor de profile. Ed.didact.și pedagog., București, 1981
117. Abbott A.H., Von Doenhoff A.E., Theory of wing sections, Dover, New York, 1959
118. Anton I., Cavitația, vol.I, Ed.Acad.R.S.R., București, 1981
119. Batchelor G.K., Pressure fluctuations in isotropic turbulence, Proceedings of the Cambridge Philosophical Society, 47, 1951
120. Batchelor G.K., Theory of homogeneous turbulence, Cambridge University Press, 1956

121. Cebeci T., Chang K.C., Bradshaw P., Solution of hyperbolic system of turbulence-model equations by the "box" scheme, Computer methods in applied mechanics and engineering, 22(1980), p.213-227, North-Holland publishing Company
122. Ionescu D., Influența stratului limită asupra curgerii în jurul unui profil singular, Conf. maș. hidraulice și hidro-dinamică, Timișoara, 1985
123. Favre A., ș.a., La turbulence en mécanique des fluides, Gauthier-Villars, Paris, 1976
124. Kim J., Moin P., Moser R., Turbulence statistics in fully developed channel flow at low Reynolds number, J. Fluid Mech., vol. 177, 1987
125. Kraichnan R.H., Pressure fluctuations in turbulent flow over a flat plate, J. Acoust. Soc. Am., 28, 1956
126. Nagomo Y., Hishida M., Improved form of the k- ϵ model for wall turbulent shear flows, J. Fluids Eng. Trans. ASME, vol. 109, June 1987
127. Panton R.L., Linebarger J.H., Wall pressure spectra calculations for equilibrium boundary layers, J. Fluid. Mech., vol. 65, part. 2, pp. 261-287, 1974
128. Perry A.E., Henbest S., Chang M.S., A theoretical and experimental study of wall turbulence, J. Fluid. Mech., vol. 105, 1986
129. Simpson R.L., Ghodbane M., Mc Grath B.E., Surface pressure fluctuations in a separating turbulent boundary layer, J. Fluid Mech., vol. 177, 1987
130. Uberoi M.S., Correlations involving pressure in homogeneous turbulence, NACA, Tech. Note 3116, 1954
131. Willmarth W.W., Pressure fluctuations beneath turbulent boundary layers, Ann. Rev. Fluid Mech. 5, 1975